



วารสาร

ISSN 0125-0369

# วิทยาศาสตร์เกษตร

## AGRICULTURAL SCIENCE JOURNAL

ปีที่ 52 ฉบับที่ 2 (พิเศษ) 2564

Vol. 52 No. 2 (Suppl.) 2021



การประชุมวิชาการ

วิทยาการหลังการเก็บเกี่ยวแห่งชาติ ครั้งที่ 18

(ประชุมออนไลน์)

8-9 มิถุนายน 2564

“2 ทศวรรษ นวัตกรรมเทคโนโลยีหลังการเก็บเกี่ยว  
สู่การพัฒนาที่ยั่งยืน”



จัดโดย ศูนย์วิจัยเทคโนโลยีหลังการเก็บเกี่ยว คณฑ์เกษตรศาสตร์ มหาวิทยาลัยเชียงใหม่  
ร่วมกับ ศูนย์นวัตกรรมเทคโนโลยีหลังการเก็บเกี่ยว กระทรวงการอุดมศึกษา วิทยาศาสตร์ วิจัยและนวัตกรรม



# วารสารวิทยาศาสตร์เกษตร

## AGRICULTURAL SCIENCE JOURNAL

การประชุมวิชาการ  
วิทยาการหลังการเก็บเกี่ยวแห่งชาติ ครั้งที่ 18  
18<sup>th</sup> National Postharvest Technology Conference  
(ประชุมออนไลน์)

8-9 มิถุนายน 2564

จัดโดย

ศูนย์วิจัยเทคโนโลยีหลังการเก็บเกี่ยว คณะเกษตรศาสตร์ มหาวิทยาลัยเชียงใหม่  
ร่วมกับ

ศูนย์นวัตกรรมเทคโนโลยีหลังการเก็บเกี่ยว  
กระทรวงการอุดมศึกษา วิทยาศาสตร์ วิจัยและนวัตกรรม



บทบรรณาธิการ

วารสารวิทยาศาสตร์เกษตรและปัปพิเศษนี้ สมาคมวิทยาศาสตร์การเกษตรแห่งประเทศไทยในพระบรมราชูปถัมภ์ ได้จัดทำขึ้นเพื่อเผยแพร่องค์ความรู้ ผลงานวิชาการทางด้านวิชาการเกษตรสู่สาธารณะ ประกอบด้วยบทความจาก การประชุมวิชาการวิทยาการ หลังการเก็บเกี่ยวแห่งชาติ ครั้งที่ 18 (ประชุมออนไลน์) ระหว่างวันที่ 8-9 มิถุนายน 2564 จัดโดยศูนย์วิจัยเทคโนโลยีหลังการเก็บเกี่ยว คณะเกษตรศาสตร์ มหาวิทยาลัยเชียงใหม่ ร่วมกับ ศูนย์นวัตกรรมเทคโนโลยีหลังการเก็บเกี่ยว กระทรวงการอุดมศึกษา วิทยาศาสตร์ วิจัยและวัฒนธรรม

การจัดประชุมวิชาการวิทยาการหลังการเก็บเกี่ยวแห่งชาติประจำปี 2564 นี้ เป็นเวทีให้นักวิจัย นักวิชาการ นิสิต และนักศึกษาได้แลกเปลี่ยนความรู้ ปัญหา และประสบการณ์ ซึ่งจะทำให้เกิดการสร้างเครือข่ายปฏิบัติการวิจัย รวมทั้งอาจเกิดการพัฒนาแนวทางการวิจัย เพื่อเป็นประโยชน์ต่อผู้เข้าร่วมประชุมวิชาการ ตลอดจนบุคคลที่ไม่สนใจงานด้านเทคโนโลยีหลังการเก็บเกี่ยว เพื่อใช้เป็นแหล่งค้นคว้าในการศึกษาและวิจัยต่อไป

สมาคมวิทยาศาสตร์การเกษตรฯ ได้ร่วมขอขอบคุณยินดีกับกรรมเทคโนโลยีหลังการเก็บเกี่ยว ที่ได้สนับสนุนค่าใช้จ่ายในการจัดทำวารสารวิทยาศาสตร์เกษตรชั้นนำ ตลอดจนเชิญชวนนักวิชาการ และผู้สนใจด้านวิทยาการหลังการ เก็บเกี่ยว และการเก็บรักษาผลผลิตหลังการเก็บเกี่ยว สมควรเป็นมาตรฐานของสมาคมวิทยาศาสตร์การเกษตรฯ และเสนอขอบความนับถือ เพื่อลงพิมพ์ในวารสารวิทยาศาสตร์เกษตรของสมาคมวิทยาศาสตร์การเกษตรฯ ในโอกาสต่อไป

## รองศาสตราจารย์ ศกร คุณวุฒิพิทิรัตน บรรณาธิการวารสารวิทยาศาสตร์เกษตร

## คำนำ

ศูนย์นวัตกรรมเทคโนโลยีหลังการเก็บเกี่ยวได้ดำเนินการจัดการประชุมวิชาการวิทยาการหลังการเก็บเกี่ยวระดับชาติ ต่อเนื่องเป็นประจำทุกปี ในปี 2564 นี้ เป็นการจัดการประชุมครั้งที่ 18 ซึ่งครอบคลุม 20 ปีการดำเนินงานศูนย์นวัตกรรมเทคโนโลยีหลังการเก็บเกี่ยว ภายใต้ชื่อ “การประชุมวิชาการวิทยาการหลังการเก็บเกี่ยวแห่งชาติ ครั้งที่ 18: ทศวรรษ นวัตกรรมเทคโนโลยีหลังการเก็บเกี่ยวสู่การพัฒนาที่ยั่งยืน” โดยศูนย์วิจัยเทคโนโลยีหลังการเก็บเกี่ยว คณะเกษตรศาสตร์ หน่วยงานร่วมมหาวิทยาลัยเชียงใหม่ เป็นเจ้าภาพในการจัดประชุม ร่วมกับศูนย์นวัตกรรมเทคโนโลยีหลังการเก็บเกี่ยว กระทรวงการอุดมศึกษา วิทยาศาสตร์ วิจัยและนวัตกรรม ซึ่งมีวัตถุประสงค์เพื่อเป็นการเผยแพร่ผลการวิจัยทางด้านเทคโนโลยีหลังการเก็บเกี่ยวของ นักวิชาการ นักวิจัย นิสิต นักศึกษา ตลอดจนผู้ที่เกี่ยวข้องทั้งจากภาครัฐและเอกชนสู่สาธารณะ และเกิดการแลกเปลี่ยนองค์ความรู้ ปัญหา ตลอดจนประสบการณ์ ซึ่งจะก่อให้เกิดความร่วมมือในด้านงานวิจัย และนำไปสู่แนวทางการพัฒนาการวิจัยที่จะช่วยเพิ่มศักยภาพในการแข่งขันของสินค้าเกษตรไทยในตลาดโลก

สำหรับการประชุมครั้งนี้ ได้รับเกียรติจากผู้บรรยายพิเศษทั้งจากภาครัฐและภาคเอกชนที่จะถ่ายทอดความรู้และประสบการณ์ที่เกี่ยวข้องกับทางด้านการจัดการหลังการเก็บเกี่ยว ทางผู้จัดหวังว่าผลงานวิจัยที่นำเสนอในที่ประชุมนี้ จะเป็นประโยชน์ต่อผู้เข้าร่วมประชุม รวมทั้งผู้ที่สนใจ

ทางคณะกรรมการดำเนินงานจัดประชุมวิชาการฯ ขอขอบคุณ ศูนย์นวัตกรรมเทคโนโลยีหลังการเก็บเกี่ยว กระทรวงการอุดมศึกษา วิทยาศาสตร์ วิจัยและนวัตกรรม ที่สนับสนุนงบประมาณการจัดประชุม อีกทั้งมหा�วิทยาลัยร่วมภายใต้ศูนย์นวัตกรรมเทคโนโลยีหลังการเก็บเกี่ยว ประกอบไปด้วยมหาวิทยาลัยเชียงใหม่ มหาวิทยาลัยเกษตรศาสตร์ มหาวิทยาลัยขอนแก่น และมหาวิทยาลัยเทคโนโลยีพะจุmom เกล้าฯ นนว รวมทั้งนักวิจัยจากภาครัฐ ภาคเอกชน และทุกภาคส่วนที่เกี่ยวข้องที่ให้การสนับสนุนการประชุมในครั้งนี้ บรรลุวัตถุประสงค์และประสบความสำเร็จด้วยดี จึงขอขอบคุณมา ณ โอกาสนี้

ผู้ช่วยศาสตราจารย์ ดร. เยาวลักษณ์ จันทร์บาง  
ประธานคณะกรรมการอำนวยการ  
การประชุมวิชาการวิทยาการหลังการเก็บเกี่ยวแห่งชาติ ครั้งที่ 18



# วิทยาศาสตร์เกษตร

## AGRICULTURAL SCIENCE JOURNAL

ปีที่ 52 ฉบับที่ 2 (พิเศษ) 2564

Vol. 52 No. 2 (Suppl.) 2021

### การประชุมวิชาการ วิทยาการหลังการเก็บเกี่ยวแห่งชาติ ครั้งที่ 18

#### Postharvest Safety

- 8 การใช้ช่องปลดปล่อยไออกไซด์คาร์บอนในกล่องห้องเย็นเพื่อลดความชื้นและลดค่าความชื้นของผลไม้ในระหว่างการเก็บรักษา<sup>มธุรส หมุนทองวัฒนา สุริยันธ์ สุกานพาณิช มัณฑนา บัวหนอง และ พนิดา บุญฤทธิ์ชัย</sup>
- 12 ผลของความร้อนแบบฟลูอิดไดซ์เบดระดับห้องปฏิบัติการต่อดั่งวงข้าวโพด มอดแห้ง และคุณภาพการสีของข้าวพันธุ์ข้าวดอกมะลิ 105<sup>กัลยา บุญสู่ฯ ดาวรา บันทุรัตน์ วิญญา ช่างเรือ และ เยาวลักษณ์ จันทร์บ้าง</sup>
- 16 การใช้ดินเบาจากประเทศไทยเพื่อควบคุมดั่งวงข้าวโพดและมอดแห้งในเมล็ดข้าว<sup>พชรคนัย ใจคำ ภรรภัสสร วงศ์พ่อท์ สิริกา คำภิไชย กรวัฒน์ อรรถกิจสกุล และ เยาวลักษณ์ จันทร์บ้าง</sup>
- 20 ผลของอุณหภูมิในการให้ความร้อนด้วยคลื่นความถี่วิทยุต่อกลุ่มพันธุ์ข้าวในระหว่างการเก็บรักษา<sup>ศิริพร เชื้อขัน รัชวิช สีรัชโนนันท์ และ สงวนศักดิ์ ธนาพรพูนพงษ์</sup>
- 24 ความเป็นไปได้ในการพับสารพิษตกค้างในเนื้อและเปลือกของส้มสายน้ำผึ้ง<sup>ชัยณรงค์ รัตนกรีฑากุล จุฬารัตน์ พัฒนาทร บัญญากุล์มน์ เอกอิษัตวิกุล พิสุทธิ์ เชี่ยวนะ สารเสริญ วงศ์สุวรรณ และ รัตติยา พงศ์พิสุทธิ์</sup>

#### Postharvest Biology Mechanism

- 28 ผลของดัชนีเก็บเกี่ยวต่อคุณภาพทางเคมีและกายภาพของผลอินทรีย์พันธุ์ปาชี<sup>ปราสาท ชมภร์ตัน พิมานภาร์ เชาว์วุฒิพัฒน์ วุฒิกรรณ์ อ่อนตา สุกานดา แซ่เงย กัลยาณมิตร และแพรวพรวน จอมงาม</sup>
- 32 การเปลี่ยนแปลงคุณภาพและสารสำคัญของมะม่วงน้ำดอกไม้ที่เคลือบด้วย Chitosan-based Multicoating ระหว่างการวางจำหน่าย<sup>นันทawan หัตถมาศ ปิยะศักดิ์ ชลุ่มพฤกษ์ มัณฑนา บัวหนอง พนิดา บุญฤทธิ์ชัย และเฉลิมชัย วงศ์อารี</sup>
- 36 ลักษณะทางสัณฐานวิทยาและกายภาพ-เคมีของกล้วยทิพรส<sup>สมศักดิ์ ใจตรง พิชญานิล โคตรลุน และสุชาราดี บัวพก</sup>
- 41 เปรียบเทียบคุณภาพหลังการเก็บเกี่ยวของผลมะเขือเทศ พันธุ์สแนคสลิม 502 และ พันธุ์ PC3 (A9) เพื่อการส่งเสริมอาชีพใหม่ให้กับเกษตรกรในพื้นที่สูงชากของ บ้านบ่อเหมืองน้อย อำเภอนาแห้ว จังหวัดเลย<sup>ปิยทัศน์ ทองໄตวภาพ นิติมา วงศ์ชีรี และพนิดา บุญฤทธิ์ชัย</sup>
- 45 ผลของเอทิลีนและ 1-MCP ต่อการเติบโตของพืชและดอกไม้ในกลุ่ม QoI และ DMI ของเชื้อรา *Colletotrichum siamense* สาเหตุโรคแคนแทรคในสขของมะม่วงที่ต้านทานข้ามต่อสารเคมีในกลุ่ม benzimidazole<sup>รัตติยา พงศ์พิสุทธิ์ ชัยณรงค์ รัตนกรีฑากุล และสันติชิติ บินคาเดอร์</sup>

- 53 การตรวจสอดเชื้อรา *Aspergillus flavus* ที่สร้างสารพิษของฟลาทอกซินโดยไพรเมอร์ afI R  
ชัยณรงค์ รัตนกรีฑากุล สรวเสริญ รังสุวรรณ รตตยา พงศ์พิสุทธา และ พิสุทธิ์ เชียวนะ
- 57 ความหลากหลายทางชีวภาพของ *Colletotrichum capsici* สาเหตุโรคแอนแทรคโนสของพริกและการตอบสนองต่อสารเคมีป้องกันกำจัดเชื้อรา  
รตตยา พงศ์พิสุทธา ชัยณรงค์ รัตนกรีฑากุล สันติ บินคาดอร์ ชุดima นิมนาล รัญญาลักษณ์ ไทยแท้ นุชนารถ ศรีสุข และศุภนันท์ญา จันทร์ครี
- 61 การสำรวจโรคผลเน่าของลำไยหลังการเก็บเกี่ยว  
เอมลิน พิพัฒน์วงศ์ ดนัย บุณยเกียรติ ฉันกลักษณ์ติยานน พิมพ์ใจ สีหานาม และ อรุณมา เรืองวงศ์
- 65 ผลของความร้อนจากคลื่นความถี่วิทยุที่มีต่อปริมาณแอนไฮยา닌ในข้าวเปลือกพันธุ์เจ้า มช. 107  
รวิมล วงศ์พ่�า ณัฐศักดิ์ กฤติกาเมษ วิบูลย์ ช่างเรือ เยาวลักษณ์ จันทร์บาง และ ณัฐรัตน์ หมื่นนานี
- 69 อิทธิพลของคลื่นความถี่วิทยุต่อการเปลี่ยนแปลงคุณภาพหลังการเก็บเกี่ยวเมล็ดกาแฟ arabica  
ณัฐรัตน์ หมื่นนานี อรุณมา เรืองวงศ์ อังสนา อัครพิศาล และ เยาวลักษณ์ จันทร์บาง

## Postharvest Logistics

- 73 ผลของอุณหภูมิและบรรจุภัณฑ์ต่อคุณภาพและอายุการเก็บรักษาสำหรับพวงองุ่น  
นิภาพร ธรรมชาติ ภัลยา ศรีพงษ์ อภิรดี อุทัยรัตน์กิจ และ ผ่องเพ็ญ จิตอาวีร์รัตน์
- 77 การศึกษาความเป็นไปได้ของการพัฒนาผลิตภัณฑ์กล้วยหอมทองสุกได้ระดับไม่บรรจุภัณฑ์คำปีก ตามความต้องการของสหกรณ์การเกษตรท่าယาง จ.เพชรบุรี  
นิติมา วงศ์ชัย พิรญาณี นิลมงคล พฤกษ์ ชูสัน្ឋ จุฑามาศ พร้อมบุญ และเฉลิมชัย วงศ์อาวี
- 81 การยึดอายุการเก็บรักษาผลลำไยสดโดยบรรจุภัณฑ์ที่ปิดผนึกด้วยฟิล์มแบบเจาะรูขนาดไม่คง  
จุฑามาศ พร้อมบุญ ตรีสสา ชีพนุรัตน์ วิชชุดา เดาดี อัจฉราพร อันที ศุภารัตน์ ชุมเมือง และเฉลิมชัย วงศ์อาวี
- 85 ผลของกล่องบรรจุแบบดัดแปลงบรรยกาศโดยใช้หน้าต่างชิล์โคนเมมเบรนต่อคุณภาพและอายุการเก็บรักษา  
เงาะโรงเรียน เรวติ ชัยราช และวีราเวทย์ อุทิริ
- 89 การใช้สารละลายโซเดียมเมตาไบซัลไฟต์และกรดออกซิลิกเพื่อลดการเกิดสีน้ำตาลของเปลือกผลลำไยระหว่างการเก็บรักษา  
จุฑามาศ พร้อมบุญ กาญจนา วรราชภร์ ประนพ์ เพ็ญไชยา สมไกรน์ น้อยจินดา และ เฉลิมชัย วงศ์อาวี
- 93 ผลของแคลเซียมคลอไรด์และบรรจุภัณฑ์สภาพบรรยกาศแบบดัดแปลงต่อคุณภาพของลำไยสดพร้อมบริโภค<sup>สิทธิชัย เตชะดิลก ภัลย์ ภัลยานมิตร นิติราษฎร์ แก้วคำ แพรวพรรณ จอมงาม และ ดวงใจ น้อยวัน</sup>
- 97 ผลของการเคลือบผิวด้วยเซลล์ที่มีผงเปลือกมะม่วงแก้วขาวมีนเป็นส่วนประกอบต่อคุณภาพระหว่างการเก็บรักษาของหอมแดงตัดแต่งสด  
พนิดา พิมพ์สุวรรณ วีราเวทย์ อุทิริ เรวติ ชัยราช วัชรพงษ์ วัฒนกุล อุดมลย์ อภินันทร์ นิตยา ภูงาม และ จินดาณี แสงกาญจนวนิช
- 102 ผลของสารเคลือบผิวไนฟ์ต่อคุณภาพของส้มเขียวหวานกว่าการขันส่งแบบจำลอง  
ครรณา เผ่งผล ณัฐชา ชื่นเนียม และวิลาวัลย์ คำป่วน
- 107 ผลจากการไม่ต่อเนื่องของห่วงโซ่ความเย็นต่อคุณภาพภายหลังการเก็บเกี่ยวของผักสดคอกสัตว์  
วินทร์ ณีวรรณ ดาวร บันทูรัตน์ และ วิบูลย์ ช่างเรือ
- 111 ผลของกรดออกซิลิกและเมทิลจัลส์โมนแนสต์ต่อคุณภาพและอายุการเก็บรักษาของใบไบร์ฟาระหว่างการเก็บรักษาที่อุณหภูมิต่ำ  
อินทิรา ลิจันทร์พร นันท์ชันก นันทะไชย และปาลิตา ตั้งอนุรัตน์

115 ผลของ Indole-3-Acetic Acid จากแบคทีเรีย (*Micrococcus yunnanensis*) ต่ออายุการปักเจกันของดอกกลั่วย์ไม้สกุล hairyพันธุ์ขาวสนาน อัญชิสา อินอิwa สาวิตรา ตระกูลน่าเลื่อมใส และ อันดาชญาน์ มงคลชัยพฤกษ์

## Postharvest Machinery

- 119 การลดความชื้นกาแฟสดอราบิกาโดยใช้พลังงานแสงอาทิตย์แบบควบคุมอุณหภูมิอัตโนมัติ พงษ์รวี นามวงศ์ บริชา อาณันท์รัตนกุล สนอง อมฤกษ์ มนพ รักษาดิ นิติ ผูกจิต สวิศ จันทร์เจนจบ บริญญวัฒน์ อุษุทองอินทร์ คชธร อ่างบุญพงษ์ และศรีญญา นาปลูก
- 122 การคัดแยกเมล็ดพันธุ์ดาวเรืองด้วยวิธีเคราะห์ภาพถ่ายและโครงข่ายไบโภสทธิเทียมแบบจดจำรูปแบบ พุนพัฒน์ พุนพ้อຍ และ ประนอม ยังคำนัน

## คำแนะนำสำหรับผู้เขียน (ฉบับปกติ)

วารสารวิทยาศาสตร์เกษตร (Agricultural Science Journal) ของสมาคมวิทยาศาสตร์การเกษตรแห่งประเทศไทย ในพระบรมราชูปถัมภ์ เป็นวารสารที่เผยแพร่ บทวิจารณ์ (Review article) บทความวิจัย (Research article) และ บทความวิจัยสั้น (Short communication) มาเป็นเวลากว่า 40 ปี ปัจจุบันได้เปลี่ยนชื่อจาก ข่าวสารวิทยาศาสตร์การเกษตร (Asst Newsletter) ตั้งแต่ฉบับที่ 1 ปีที่ 30 (มกราคม 2540)

### วัตถุประสงค์

เพื่อเผยแพร่ผลงานวิจัยในวงการวิทยาศาสตร์ การเกษตร ได้แก่ เกษตรวิทยา ศาสตร์สัตวบาล กีฏวิทยา คหกรรมศาสตร์ ปฐพ่วงวิทยา โรคพืช พืชสวน พืชไร่ สัตว์เลี้ยง และนิเทศศาสตร์การเกษตร เทคโนโลยีชีวภาพ เศรษฐศาสตร์เกษตร วิศวกรรมเกษตร สัตว์น้ำ ป่าไม้ นิเวศวิทยา และสิ่งแวดล้อมทางการเกษตร และอุตสาหกรรมเกษตร ข้อกำหนดเกี่ยวกับบทความวิชาการที่จะส่งตีพิมพ์ในวารสารนี้

1. เป็นผลงานวิชาการที่ไม่เคยเผยแพร่ที่ใดมาก่อน
2. เป็นผลงานที่ผ่านการพิจารณาจากผู้ทรงคุณวุฒิไม่น้อยกว่า 2 ท่าน
3. ผลงานที่ส่งต้องเรียบเรียงถูกต้องตามรูปแบบที่วารสารวิทยาศาสตร์เกษตรกำหนดโดยย่างเคร่งครัด หลักเกณฑ์ทั่วไป

1. จัดพิมพ์ต้นฉบับด้วยโปรแกรมไมโครซอฟต์เวิร์ด (Microsoft Word)

บทวิจารณ์ (Review article) และบทความวิจัย (Research article) จำนวนไม่เกิน 15 หน้า

บทความวิจัยสั้น (Short communication) จำนวนไม่เกิน 4 หน้า

2. ตัวอักษรที่ใช้ในการจัดพิมพ์ กำหนดให้ใช้ รูปแบบอักษร TH Sarabun New (จัดรูปแบบการพิมพ์ ดังแสดงในเวปไซต์วารสาร <http://agscij.agr.ku.ac.th/>)

3. จัดหน้ากระดาษขนาด Letter (18.5 × 25.5 เซนติเมตร) แบบ left-aligned เก็บระยะบรรทัดเท่ากับ 1 และระบุหมายเลขบรรทัดแบบต่อเนื่องทั้งเอกสาร

4. ตารางและภาพที่ใช้ประกอบในบทความ ควรแนบไฟล์ต้นฉบับของตาราง และภาพนั้นมาด้วย

5. กำหนดให้ใช้เครื่องหมาย en dash (-) ระหว่างตัวเลขทุกตำแหน่งในเนื้อหา ไม่ใช้ hyphen (-)

6. ชื่อลاتินของเงินสและสเปชีส และชื่อเอนไซม์ให้เขียนด้วยตัวเคียง และให้หน่วยในระบบ SI

### วิธีการจัดทำต้นฉบับ

1. ชื่อเรื่อง มีทั้งภาษาไทยและภาษาอังกฤษ และกำหนดชื่อเรื่องอย่างย่อทั้งภาษาไทยและภาษาอังกฤษ เพื่อให้เป็นหัวเรื่อง (Running heads)
2. ชื่อผู้เขียน ระบุชื่อเต็มของผู้เขียน ทั้งชื่อภาษาไทย และภาษาอังกฤษ
3. หน่วยงานของผู้เขียน ระบุชื่อหน่วยงาน จังหวัด รหัสไปรษณีย์ ทั้งภาษาไทยและภาษาอังกฤษ
4. บทคัดย่อ มีทั้งภาษาไทยและภาษาอังกฤษ ความยาวไม่เกิน 300 คำ และระบุคำสำคัญ จำนวนไม่เกิน 5 คำทั้งภาษาไทยและภาษาอังกฤษ
5. คำนำ เรียบเรียงโดยแสดงถึงความสำคัญและที่มาของงานวิจัย ตรวจเอกสารที่เกี่ยวข้อง และวัตถุประสงค์ของวิจัย
6. อุปกรณ์และวิธีการ เรียบเรียงโดยแสดงวิธีการศึกษาตามขั้นตอน อธิบายหน่วยทดลอง และแผนการทดลอง ที่ใช้แสดงสมการเชิงสถิติพร้อมคำอธิบาย และระบุสถานที่ทดลองหรือสถานที่จัดเก็บตัวอย่าง และข้อมูล
7. ผลการทดลองและวิจารณ์ เรียบเรียงผลการทดลอง และวิจารณ์ผลการทดลอง โดยแสดงภาพและตาราง เป็นภาษา อังกฤษเท่านั้น และอ้างถึงภาพ และตาราง ตามลำดับในเนื้อหา โดยใช้คำว่า Figure ในการอ้างอิงภาพ และใช้คำว่า Table ในการอ้างอิงตาราง
8. สรุป สรุปผลการศึกษาให้สอดคล้องกับวัตถุประสงค์ และไม่ซ้ำซ้อนกับผลการศึกษา และวิจารณ์
9. กิตติกรรมประกาศ อาจมีหรือไม่มีก็ได้ เรียบเรียงย่อหน้าเดียวแบบกระชับ ระบุแหล่งทุนวิจัยบุคคล และหน่วยงานที่ให้ความอนุเคราะห์หรือมีส่วนร่วมในงานวิจัย
10. เอกสารอ้างอิง เรียบเรียงเอกสารอ้างอิงโดยใช้ภาษาอังกฤษทั้งหมด ในกรณีเอกสารอ้างอิงเป็นภาษาไทย ให้ปรับเป็นภาษาอังกฤษ และต่อท้ายเอกสารอ้างอิงนั้นด้วยคำว่า (in Thai) เรียงลำดับเอกสารอ้างอิงตามตัวอักษรของนามสกุลผู้แต่งคนแรก ทั้งนี้ ผู้แต่งต้องตรวจสอบจำนวนเอกสารอ้างอิงให้ตรงกับในเนื้อหา

### วิธีการเขียนเอกสารอ้างอิง

#### 1. การเขียนอ้างอิงในเนื้อหา

ใช้นามสกุลของผู้แต่งคนแรก และตามด้วยปี เช่น Keonouchanh (2002), Hanna and Riley (2014) และ Pantelic *et al.* (2011) เป็นต้น กรณีมีผู้เขียนหลายคน ให้เรียงตามปีจากน้อยไปมาก ถ้าเป็นปีเดียวกันเรียงตามลำดับ ตัวอักษร ค้นเอกสารด้วยเครื่องหมาย “;” เช่น (Schukken *et al.*, 1994; Tummaruk *et al.*, 2001) กรณีผู้เขียนคนเดียวกันหรือกลุ่มเดียวกัน ให้เรียงตามปี ค้นด้วยเครื่องหมาย “;” เช่น (Serenius and Stalder 2004;

2007) กรณีผู้เขียนคนเดียวกันหรือกลุ่มเดียวกันในปีเดียวกัน ให้ใช้ข้อชี้แจงกำกับตามลำดับ ค้นด้วยเครื่องหมาย “;” เช่น (Department of Livestock Development, 2014a; 2014b)

## 2. การเขียนอ้างอิงในส่วนเอกสารอ้างอิง

ให้เรียงลำดับเอกสารอ้างอิงตามตัวอักษรภาษาอังกฤษของนามสกุลของผู้แต่งคนแรก ตามด้วยคำย่อชื่อ ชื่อกลาง (ถ้ามี) ของผู้แต่ง หรือใช้ชื่อเต็มหน่วยงาน

แล้วตามด้วยปีที่ตีพิมพ์ ให้ใช้ชื่อย่อของสารตามคำแนะนำของ NCBI (<http://www.ncbi.nlm.nih.gov/journals/>) กรณีที่ใช้เอกสารอ้างอิงเป็นภาษาไทย ให้ปรับเป็นภาษาอังกฤษและต่อ ท้ายเอกสารอ้างอิงนั้นด้วยคำว่า (in Thai) และกำหนดให้รูปแบบการเขียนเอกสารอ้างอิงแต่ละประเภท ดังนี้

<b>หนังสือ/ตำรา</b>	Mauseth, J.D. 2014. Botany: An Introduction to Plant Biology. 5 <sup>th</sup> edition. Jones & Bartlett Learning, MA, USA. 696 pp.
<b>บทความในวารสารวิชาการ</b>	Hanna, L.L.H. and D.G. Riley. 2014. Mapping genomic markers to closest feature using the R package Map2NCBI. <i>Livest. Sci.</i> 162: 59–65. Pantelic, V., L. Sretenovic, D. Ostojic-Andric, S. Trivunovic, M. M. Petrovic, S. Alevica and D. Ruzic-Music. 2011. Heritability and genetic correlation of production and reproduction traits of Simmental cows. <i>Afr. J. Biotechnol.</i> 10: 7117–7121.
<b>บทความในเอกสารการประชุมวิชาการ</b>	Rushunju, B.G., P. Jitareerat, M. Buanong, V. Srilaong and A. Uthairatanakij. 2016. The effect of UV-B treatment on physicochemical and sensory quality of king oyster mushroom ( <i>Pleurotus eryngii</i> ) during cold storage. In Proc. the 54 <sup>th</sup> Kasetsart University Annual Conference, 2–5 February 2016. p.1141. (in Thai)
<b>วิทยานิพนธ์</b>	Keonouchanh, S. 2002. Genetic Analysis of Sows Longevity and Lifetime Productivity in Two Purebred Swine Herds. MS Thesis, Chulalongkorn University, Bangkok. (in Thai)
<b>บทความในเวบไซต์</b>	VanRaden, P.M. 2011. Findhap.f90. Available Source: <a href="http://aipl.arsusda.gov/software/findhap">http://aipl.arsusda.gov/software/findhap</a> , September 26, 2014.

## การส่งต้นฉบับ

ผู้เขียนต้องส่งไฟล์ต้นฉบับที่จัดเตรียมเนื้อหาตามรูปแบบข้างต้นถึงบรรณาธิการผ่านอีเมลล์ thaiagrics@gmail.com ทั้งรูปแบบ Doc และ PDF หากมีภาพประกอบ ขอให้แนบไฟล์รูปภาพแยกจากต้นฉบับ ซึ่งรูปแบบไฟล์ภาพที่ใช้เป็น TIFF หรือ JPEG เท่านั้น กำหนดให้ภาพขาวดำและภาพสีที่มีความละเอียดอย่างน้อย 300 dpi ขึ้นไป

## การตรวจแก้ไขและการยอมรับการตีพิมพ์

- การติดต่อผู้เขียนเพื่อการตรวจแก้ไขหรือตอบรับ/ปฏิเสธการตีพิมพ์ จะกระทำผ่าน e-mail
- กองบรรณาธิการส่วนสิทธิในการตรวจแก้ไข ต้นฉบับที่จะส่งไปตีพิมพ์ทุกรายการตามที่เห็นสมควร โดยจัดส่ง ต้นฉบับที่แก้ไขแล้วให้ผู้เขียนเพื่อตรวจสอบความถูกต้องและยืนยันอีกครั้งก่อนการตีพิมพ์
- เมื่อบทความได้รับการตีพิมพ์เรียบร้อยแล้ว กองบรรณาธิการจะจัดส่ง Reprint ผลงานในรูปแบบ PDF ให้ผู้เขียนทาง e-mail

## คำแนะนำสำหรับผู้เขียน (ฉบับพิเศษ)

รายละเอียดและรูปแบบข้อกำหนดต่างๆ สำหรับเตรียมต้นฉบับต้องเป็นดังนี้

**ต้นฉบับเรื่องเต็ม** จำนวนไม่เกิน 4 หน้ากระดาษ ส่ง hard copy จำนวน 1 ชุด พร้อมไฟล์ โดยพิมพ์ด้วยโปรแกรม Microsoft Word for Windows เวอร์ชัน 97 ขึ้นไป โดยให้รูปแบบฟอนต์เป็น Cordia New ทั้งฉบับ (ขนาดของตัวอักษรให้ดูในรายละเอียดของแต่ละหัวข้อ)

ขนาดกระดาษต้นฉบับ ใช้กระดาษขนาด A4 สีขาว พิมพ์แบบ Portrait โดยตั้งค่าหน้ากระดาษ (page setup) ส่วนระยะขอบ (Margins) ดังนี้ ด้านบน (Top) 1 นิ้ว ด้านล่าง (Bottom) 0.75 นิ้ว ด้านซ้าย (Left) 1 นิ้ว ด้านขวา (Right) 0.75 นิ้ว ขอบเย็บกระดาษ (Gutter) ไม่ต้องใส่ค่า Gutter หรือ 0 นิ้ว หัวกระดาษ (Header) 0.5 นิ้ว ท้ายกระดาษ (Footer) 0.5 นิ้ว

### โดยมีลำดับดังนี้

**ชื่อเรื่อง :** อยู่ชิดขอบบนของหน้า มีทั้งภาษาไทยและภาษาอังกฤษ (แยกกันคนละบรรทัด) ชื่อเรื่องแต่ละภาษามีความยาวไม่เกิน 2 บรรทัด แต่ให้อธิบายสาระของเรื่องได้ กำหนดให้ใช้ฟอนต์ Cordia New ขนาด 15 points พิมพ์ตัวหนา (bold) และจัดให้อยู่กึ่งกลางหน้ากระดาษ

**ชื่อผู้เขียนและคณะ :** เว้น 1 บรรทัดจากชื่อเรื่องภาษาอังกฤษ ให้ใช้ชื่อเต็ม มีทั้งภาษาไทยและภาษาอังกฤษ (แยกคนละบรรทัด) ให้ครบถ้วนคน และต้องใส่เชิงอรา (Footnote) (รายละเอียดเชิงอราให้ดูอยู่หน้าถัดไป) เป็นแบบลำดับตัวเลข (ยกกำลัง) กำกับไว้ท้ายนามสกุลให้ครบถ้วนคน ชื่อผู้เขียนกำหนดให้ใช้ฟอนต์ Cordia New ขนาด 12 points พิมพ์ตัวหนา (bold) จัดขึ้นด้วยชื่อของหน้ากระดาษ

การแทรกเชิงอรา (Footnote) ให้ใช้แบบ ลำดับตัวเลขอัตโนมัติ (1, 2, 3, ...) โดยใช้ฟอนต์แบบ Cordia New ขนาด 10 points และจัดข้อความชิดขอบซ้ายของหน้ากระดาษ

**บทคัดย่อ (Abstract) :** มีทั้งภาษาไทยและภาษาอังกฤษ โดยขึ้นด้วยบทคัดย่อภาษาอังกฤษก่อนแล้วจึงตามด้วยบทคัดย่อภาษาไทย โดยมีรายละเอียดดังนี้

คำว่า "Abstract" และ "บทคัดย่อ" ให้ใช้ฟอนต์ Cordia New ขนาด 14 points และพิมพ์ตัวหนา (bold) จัดกึ่งกลางหน้ากระดาษ

ส่วนเนื้อหาของตัวบทคัดย่อ ทั้งภาษาอังกฤษและภาษาไทย ให้ใช้ฟอนต์ Cordia New ขนาด 14 points บรรทัดแรกของย่อหน้าให้เยื่องมาทางขวา 0.5 นิ้ว และจัดข้อความในแต่ละย่อหน้าแบบข้อความชิดขอบ (Justified) บทคัดย่อเป็นการสรุปสารสำคัญของเรื่อง โดยเฉพาะอย่างยิ่ง วัตถุประสงค์วิธีการและผล ไม่ควรเกิน 300 คำ

**เนื้อหา (Text) :** ประกอบด้วยส่วนต่างๆ คือ คำนำ อุปกรณ์และวิธีการ ผล วิจารณ์ผล สรุป และเอกสารอ้างอิง ทุกส่วนให้ทำตามข้อกำหนดดังนี้คือ

เมื่อขึ้นส่วนเนื้อหน้าใหม่ ให้วัน 1 บรรทัดเสมอ (ย่อหน้าต่างๆ ในส่วนเดียวกันไม่ต้องเว้นบรรทัด) โดย คำนำ อุปกรณ์ และวิธีการ ผล วิจารณ์ผล สรุป และเอกสารอ้างอิง กำหนดให้ใช้ฟอนต์ Cordia New ขนาด 14 points พิมพ์ตัวหนา (bold) จัดกึ่งกลางหน้ากระดาษ

ส่วนของเนื้อหาข้อความในแต่ละย่อหน้า กำหนดให้ใช้ฟอนต์ Cordia New ขนาด 14 points บรรทัดแรกของแต่ละย่อหน้าให้เยื่องเข้ามาทางขวา 0.5 นิ้ว และจัดข้อความแต่ละย่อหน้าแบบข้อความชิดขอบ (Justified)

เนื้อหาส่วนต่างๆ ควรมีลักษณะดังต่อไปนี้

1. **คำนำ (Introduction) :** เพื่อกล่าวถึงปัญหา ที่มา วัตถุประสงค์การวิจัย และรวมถึงการตรวจเอกสาร (Literature review) ด้วย

2. **อุปกรณ์และวิธีการ (Materials and Methods) :** ควรประกอบด้วย คำอธิบายเกี่ยวกับเครื่องมือและอุปกรณ์ที่ใช้ในการทดลอง โดยไม่ต้องระบุหมายเลขอ้างอิง คำอธิบายถึงวิธีการที่ใช้ทดลอง การเขียนอุปกรณ์และวิธีการ ให้เขียนเป็นส่วนเดียวกัน ไม่ต้องแยกหัวข้อ

3. **ผลการทดลอง (Results) :** เป็นการเสนอผลของการวิจัย แต่ไม่ควรอธิบายยีดยาวย ถ้าเป็นไปได้ ควรควบคู่ไปกับการใช้ตาราง กราฟ หรือภาพ ประกอบการอธิบาย คำอธิบายควรจะทัดกระชัด และเป็นอิสระกับเนื้อเรื่อง คำอธิบายและตัวอักษรต่างๆ ใน

ตาราง กราฟและภาพ ต้องเป็นภาษาอังกฤษเท่านั้น โดยใช้ฟอนต์ Cordia New ขนาด 14 points (หรือเล็กกว่า แต่ยังต้องสามารถอ่านได้อย่างชัดเจน)

**4. วิจารณ์ผล (Discussion) :** เป็นการวิเคราะห์ผลการทดลองหรือการวิจัย โดยมีลักษณะดังต่อไปนี้

- (1) เพื่อให้คล้อยตามถึงความสมพนธ์หรือหลักการที่มาจากการทดลอง
- (2) สนับสนุนหรือคัดค้านทฤษฎีที่มีผู้เสนอมาก่อน
- (3) เปรียบเทียบกับผลการวิจัยและการตีความหมายของผู้อื่น
- (4) ชี้ให้เห็นประเด็นที่เด่นหรือสำคัญของผลการวิจัย

ควรพยายามเน้นถึงปัญหาหรือข้อโต้แย้งในสาระสำคัญของเรื่องที่กำลังพูดถึง ตลอดจนข้อเสนอแนะเพื่อการวิจัยในอนาคตและลู่ทางที่จะนำไปใช้ประโยชน์

**5. สรุป (Summary) :** เป็นการย่อสาระสำคัญและประจักษ์พยานของผลการวิจัย

**6. คำขอบคุณ (Acknowledgements) :** อาจมีหรือไม่มีก็ได้ เป็นการแสดงความขอบคุณแก่ผู้ที่ช่วยเหลือให้งานวิจัยและการเตรียมเอกสารลุล่วงไปด้วยดี แต่มิได้เป็นผู้ร่วมทำงานวิจัยด้วย

**7. เอกสารอ้างอิง (Literature cited) :** ดูรายละเอียดในคำแนะนำสำหรับผู้เขียนฉบับปกติ

**8. ภาพประกอบ (Illustration) :** ดูรายละเอียดในคำแนะนำสำหรับผู้เขียนฉบับปกติและ

การแทรกภาพควรมีการจัดรูปแบบภาพ (Format picture) ดังนี้ รูปแบบ (Layout), ลักษณะการตัดคำ (Wrapping style), แบบข้างหลังข้อความ (Behind text)

**9. การเขียนคำไทยเป็นภาษาอังกฤษหรืออักษรโรมัน :** ให้ใช้ระบบของราชบัณฑิตยสถาน

การตรวจแก้ไข คณะกรรมการขอสงวนสิทธิ์ในการตรวจแก้ไขเรื่องที่ส่งมาพิมพ์ทุกเรื่องตามแต่จะเห็นสมควร ในกรณีที่จำเป็นจะส่งต้นฉบับที่แก้ไขแล้วกลับคืนผู้เขียน เพื่อความเห็นชอบอีกครั้งหนึ่ง

## การใช้ซองปลดปล่อยไออกไซด์เจือจุลินทรีย์และคุณภาพของต้นอ่อนหัวไชเท้า (ไควาระ) ในระหว่างการเก็บรักษา

**Application of Ethanol Vapor Released Pad on Microbial Growth Inhibition and Quality of Radish Microgreen (Kaiware) during Storage**

มธุรส ขุมทองวัฒนา<sup>1</sup> สุริยันธ์ สุภาพวนิช<sup>2</sup> มันนา บัวหนอง<sup>1,3</sup> และ พนิดา บุญฤทธิ์ช่องไชย<sup>1,3</sup>  
Mathurot khumthongwattana<sup>1</sup>, Suriyan Supapvanich<sup>2</sup>, Mantana Buanong<sup>1,3</sup> and Panida Boonyarithongchai<sup>1,3</sup>

### Abstract

Application of ethanol vapor released pad on microbial growth inhibition and quality of kaiware was investigated. Kaiware was separately packed into the plastic tray sealed with PP film containing 0.6 g ethanol vapor released pad and without ethanol vapor released pad (control) then stored at 10 °C for 8 days. The result showed that the ethanol vapor treatments could delay microbial growth when compared with non-ethanol vapor released pad (control) treatment. The 0.6 g ethanol vapor pad delayed the increase of total bacteria, coliform and yeast as compared to control during storage. This ethanol pad treatment also maintained phenolic content, chlorophyll content higher than the control throughout of the storage. The visual appearance of kaiware kept in package with 0.6 g ethanol vapor pad was revealed better appearance including freshness, greenness than the control. While as the control set showed the water soaking symptom, yellowing, wilting leaves and fermented smell of kaiware on day 6 of storage. Moreover, this ethanol treatment also induced antioxidant activity both in DPPH and FRAP (2.69%, 1.42 µmol TE/g FW) than control (2.23%, 1.31 µmol TE/g FW) in day 8 of storage.

**Keywords:** ethanol, radish microgreen (kaiware), microbial growth inhibition, quality

### บทคัดย่อ

การศึกษาผลของการใช้ซองปลดปล่อยไออกไซด์เจือจุลินทรีย์และคุณภาพของต้นอ่อนหัวไชเท้าโดยนำไควาระมาบรรจุในถาดพลาสติกปิดผนึกความร้อนด้วยพลาสติกฟิล์ม PP แล้วแปะเป็นสองทวิตเมนต์ ได้แก่ ไส้ซองปลดปล่อยไออกไซด์เจือจุลินทรีย์และไม่ไส้ซองปลดปล่อยไออกไซด์เจือจุลินทรีย์ (ชุดควบคุม) แล้วนำไปเก็บรักษาที่อุณหภูมิ 10 องศาเซลเซียส เป็นเวลา 8 วัน พบว่าต้นอ่อนหัวไชเท้าที่บรรจุของปลดปล่อยเจือจุลินทรีย์สามารถลดจำนวนเชื้อจุลินทรีย์ได้ดีกว่าต้นอ่อนหัวไชเท้าที่ไม่บรรจุของปลดปล่อยเจือจุลินทรีย์ โดยต้นอ่อนหัวไชเท้าที่บรรจุของปลดปล่อยเจือจุลินทรีย์ ขนาด 0.6 กรัม สามารถยับยั้งการเจริญเติบโตของเชื้อแบคทีเรียทั้งหมด เชื้อโคลีฟอร์ม และเชื้อยีสต์ได้ดีกว่าชุดควบคุมตลอดระยะเวลาการเก็บรักษา นอกจากนั้นยังมีปริมาณสารประกอบฟีโนอลิกและปริมาณคลอโรฟิลล์ สูงกว่าไควาระชุดควบคุม และยังมีลักษณะปราศจากภัย nok ได้แก่ ความสด และสีเขียวมากกว่าชุดควบคุมซึ่งมีอาการใบเหลือง เนื้ยว และมีกลิ่นเหม็นในวันที่ 6 ของการเก็บรักษา ซึ่งต้นอ่อนหัวไชเท้าที่บรรจุของปลดปล่อยเจือจุลินทรีย์ ขนาด 0.6 กรัม บรรทุนกิจกรรมการต้านอนุมูลอิสระซึ่งตรวจสอบโดยวิธี DPPH และ FRAP เท่ากับร้อยละ 2.69 และ 1.42 µmol TE/g FW ซึ่งแตกต่างกันทางสถิติอย่างมีนัยสำคัญ ( $P < 0.01$ ) กับไควาระชุดควบคุมที่มีค่าเท่ากับ 2.23% และ 1.31 µmol TE/g FW ในวันที่ 8 ของการเก็บรักษา

**คำสำคัญ :** เจือจุลินทรีย์ ไสว์ ไควาระ คุณภาพ

<sup>1</sup> สาขาวิชาเทคโนโลยีหลังการเก็บเกี่ยว คณะทรัพยากริชีวภาพและเทคโนโลยี มหาวิทยาลัยเทคโนโลยีพระจอมเกล้าธนบุรี กทม. 10150

<sup>1</sup> Postharvest Technology, School of Bioresources and Technology, King Mongkut's University of Technology Thonburi, Bangkok 10150, Thailand

<sup>2</sup> ภาควิชาคหศสตร์เกษตร คณะคหศสตร์อุตสาหกรรมและเทคโนโลยี สถาบันเทคโนโลยีพระจอมเกล้าเจ้าคุณทหารลาดกระบัง กทม. 10520

<sup>2</sup> Department of Agricultural Education, School of Industrial Education and Technology, King Mongkut's Institute of Technology Ladkrabang, Bangkok 10520, Thailand.

<sup>3</sup> ศูนย์นวัตกรรมเทคโนโลยีหลังการเก็บเกี่ยว กระทรวงการอุดมศึกษา วิทยาศาสตร์ วิจัยและนวัตกรรม กทม. 10400

<sup>3</sup> Postharvest Technology Innovation Center, Ministry of Higher Education, Science, Research and Innovation, Bangkok 10400, Thailand.

## คำนำ

ไมโครกรีน (Microgreens) คือ ต้นอ่อนหรือต้นกล้าขนาดเล็กของพืช ที่มีระยะเวลาการออกประมาณ 7-21 วัน ผักกาดหัวหรือหัวไชเท้าที่นำมาเพาะเป็นต้นอ่อนมีเชื้อเรียกว่า “ไคราเระ” ไคราเระอุดมไปด้วยวิตามินเอ วิตามินซี และโพแทสเซียมสูง (อภิชาตและพัชรี, 2558) ต้นอ่อนหัวไชเท้า มีรสชาติออกซ่า เผ็ดเล็กน้อย มีกลิ่นและรสชาติเฉพาะตัว เมื่อเปรียบเทียบกับผักที่เก็บเกี่ยวนวัยบริูรรณ์ ต้นอ่อนจะมีสารอาหารมากกว่า 5-10 เท่า แม้ว่าต้นอ่อนจะมีคุณค่าทางโภชนา สูง มีวิธีการปลูกที่ง่ายและใช้ระยะเวลาสั้น แต่เกิดการเสื่อมสภาพได้อย่างรวดเร็วหลังการเก็บเกี่ยว เช่นกัน โดยปกติต้นอ่อน จะมีอายุการเก็บรักษา 3-7 วัน ที่อุณหภูมิ 4-7 องศาเซลเซียส (ชนากัทร, 2558) ซึ่งปัจจัยที่ส่งผลต่อการเสื่อมเสียของต้นอ่อน ส่วนใหญ่มักเกิดจากการเปลี่ยนแปลงของสีใบ อาการชำรุด และการเข้าทำลายจากเชื้อแบคทีเรีย โดยไออกไซด์ออกทานอล (ethanol vapour) นั้นจัดเป็นสารเคมีจำพวก GRAS (generally recognised as safe) ที่มีความปลอดภัยต่อผู้บริโภค (Utama et al., 2002) ซึ่งทำหน้าที่เป็นสารยับยั้งการเจริญเติบโตของจุลินทรีย์ที่มีประสิทธิภาพ การปลดปล่อยไออกไซด์ออกทานอล นิยมใช้วิธีการบรรจุภัณฑ์อบบนวัตถุดูดซับแล้วบรรจุในซอง (sachet) ซึ่งมีการเจาะรูขนาดเล็กระดับไมโคร เพื่อควบคุมสภาพ การซึมผ่านให้ออกของออกทานอลแพร์ฟานออกมาสู่บริเวณซ่องว่างภายในบรรจุภัณฑ์ (Candir et al., 2012) ตัวอย่างการใช้ AVs กับผักและผลไม้ เช่น หอมแดงสดปอกเปลือก (พัชรี และคณะ, 2558) ไออกไซด์ออกทานอลที่ปล่อยจากซองบรรจุเข้าสู่บรรยากาศ ของบรรจุภัณฑ์สามารถช่วยลดอัตราการเจริญของเชื้อจุลินทรีย์ และมีความปลอดภัยต่อการบริโภค ดังนั้นผู้วิจัยจึงมีความสนใจที่ จะศึกษาการใช้ไออกไซด์ออกทานอลในการลดปริมาณเชื้อจุลินทรีย์และรักษาคุณภาพของต้นอ่อนไคราเระระหว่างการเก็บรักษา

## อุปกรณ์และวิธีการ

เก็บเกี่ยwtต้นอ่อนไคราเรมาล้างทำความสะอาดด้วยน้ำแล้วนำไปตากลับ จากนั้นทำให้สะเด็ดน้ำและแบ่งต้นอ่อนไคราเร ออกเป็น 2 ชุดทดลอง โดยชุดทดลองที่ 1 ต้นอ่อนไคราเรเข็น้ำกลับ (ชุดควบคุมที่ไม่บรรจุของปลดปล่อยไออกไซด์ออกทานอล) ชุดการทดลองที่ 2 ที่บรรจุของปลดปล่อยไออกไซด์ออกทานอลปริมาณ 0.6 กรัม จากนั้นนำต้นอ่อนไคราเรแต่ละชุดทดลอง บรรจุลงในถุงพลาสติก Polypropylene (PP) ขนาด 14x19x3.0 เซนติเมตร (TR-18-3.5) กล่องละ 20 กรัม จากนั้นปิดด้วย PP Film โดยระยะเวลาการเก็บรักษาในวันที่ 0, 2, 4, 6 และ 8 วันแต่ละวันแต่ละชุดทดลองจะแบ่งออกเป็น 4 ชั้น นำไปเก็บในตู้เย็นที่อุณหภูมิ 10 องศาเซลเซียส เพื่อศึกษาปริมาณเชื้อจุลินทรีย์และคุณภาพของต้นอ่อนไคราเรและการวิเคราะห์ผลในวันที่ 0, 2, 4, 6 และ 8

1. กิจกรรมการต้านอนุมูลอิสระโดยวิธี DPPH ความสามารถในการรีดิวช์เฟอร์กิของสารต้านอนุมูลอิสระ (FRAP) ปริมาณสารประกอบฟีโนลิก (Phenolic content) และปริมาณคลอโรฟิลล์ (Chlorophyll content)

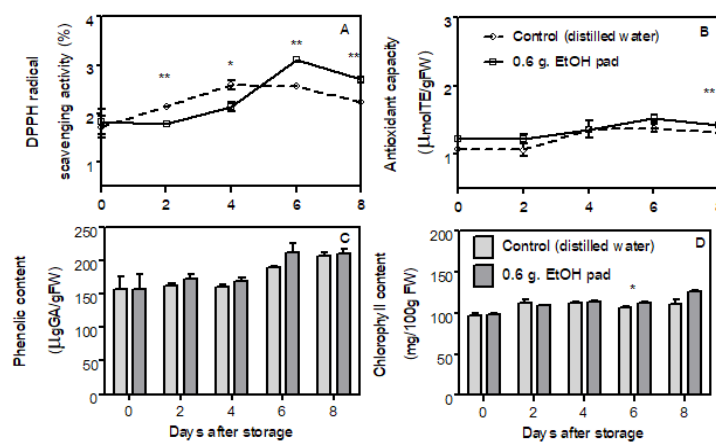


Figure 1 DPPH radical scavenging activity (A) antioxidant capacity (B) phenolic content (C) and chlorophyll content (D) of kaiware at 0.6 g. EtOH during storage at 10°C for 8 d compared to untreated (control).

Figure 1 พบว่าต้นอ่อนไคราเรที่บรรจุของปลดปล่อยออกทานอลขนาด 0.6 กรัม มีความสามารถในการรักษาต้น กิจกรรมการต้านอนุมูลอิสระซึ่งตรวจสอบโดยวิธี DPPH และ FRAP เท่ากับอย่าง 2.69 และ 1.42 μmol TE/g FW ซึ่งแตกต่าง กันทางสถิติอย่างมีนัยสำคัญ ( $P<0.01$ ) กับต้นอ่อนไคราเรชุดควบคุมที่มีค่าเท่ากับ 2.23% และ 1.31 μmol TE/g FW ในวันที่

8 ของการเก็บรักษา และมีปริมาณสารประกอบฟืนอลิกและปริมาณคลอโรฟิลล์สูงกว่าต้นอ่อนไคware เนื่องจากความคงทนลดระยะเวลาการเก็บรักษาที่อุณหภูมิ 10 องศาเซลเซียส เป็นเวลา 8 วัน

2. ปริมาณของเชื้อแบคทีเรียทั้งหมด (Total microbial count) ปริมาณเชื้อโคลิฟอร์ม (Coliform) และปริมาณเชื้อยีสต์ (Yeast)

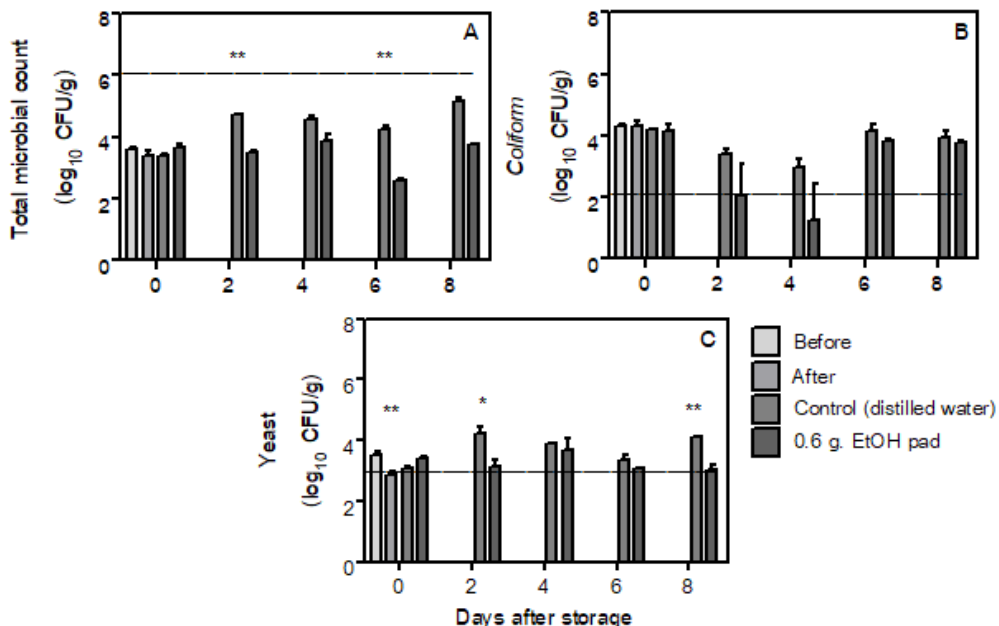


Figure 2 Total microbial count (A) Coliform (B) and Yeast (C) of kaiware at 0.6 g. EtOH during storage at 10°C for 8 d compared to untreated (control).

Figure 2 พบว่าในวันที่ 2 และ 6 ของการเก็บรักษา ต้นอ่อนไคware ที่บรรจุของปลดปล่อยไօระเหยอทานอล 0.6 กรัม สามารถช่วยการเพิ่มขึ้นของปริมาณเชื้อแบคทีเรียทั้งหมดได้เท่ากับ 3.52 และ 2.58 log<sub>10</sub>CFU ต่อกรัมน้ำหนักสด ซึ่งแตกต่างกันทางสถิติอย่างมีนัยสำคัญ ( $p<0.01$ ) กับต้นอ่อนไคware ที่บรรจุของปลดปล่อยไօระเหยอทานอล 0.6 กรัม สามารถช่วยการเพิ่มขึ้นของปริมาณเชื้อโคลิฟอร์ม และเชื้อยีสต์ได้ดีกว่าต้นอ่อนไคware ที่บรรจุของไօระเหยอทานอล 0.6 กรัม สามารถช่วยการเพิ่มขึ้นของปริมาณเชื้อโคลิฟอร์ม และเชื้อยีสต์ได้ดีกว่าต้นอ่อนไคware ที่บรรจุของไօระเหยอทานอล 0.6 กรัม ให้คงทนกว่าต้นอ่อนไคware ที่อุณหภูมิ 10 องศาเซลเซียส เป็นเวลา 8 วัน

#### วิจารณ์ผลการทดลอง

ต้นอ่อนไคware ที่บรรจุของปลดปล่อยอทานอลขนาด 0.6 กรัม สามารถกระตุ้นกิจกรรมการต้านอนุมูลอิสระซึ่งตรวจสอบโดยวิธี DPPH และ FRAP ได้สูงกว่าต้นอ่อนไคware ที่บรรจุของคลอโรฟิลล์สูงกว่าต้นอ่อนไคware ที่บรรจุของฟืนอลิกและปริมาณคลอโรฟิลล์สูงกว่าต้นอ่อนไคware ที่บรรจุของไօระเหยอทานอล 0.6 กรัม จากการศึกษาก่อนหน้านี้ Xu et al., (2012) รายงานว่า ไօระเหยอทานอลสามารถรักษาคุณภาพของผักและผลไม้ได้อย่างมีประสิทธิภาพและเพิ่มความสามารถในการต้านอนุมูลอิสระโดยการช่วยเพิ่มปริมาณฟืนอลิกในดอกบรอกโคลี และไօระเหยอทานอลยังสามารถช่วยลดการเพิ่มขึ้นของปริมาณเชื้อจุลินทรีย์ทั้งหมดและปริมาณยีสต์และราดได้ดีในมะลกอสุกตัดแต่งพร้อมบริโภค (วีเวทย์ และคณะ, 2555) ซึ่งต้นอ่อนไคware ที่บรรจุของปลดปล่อยอทานอลขนาด 0.6 กรัม สามารถช่วยการเพิ่มขึ้นของเชื้อแบคทีเรียทั้งหมด เชื้อโคลิฟอร์ม และเชื้อยีสต์ได้ดีกว่าต้นอ่อนไคware ที่บรรจุของไօระเหยอทานอล 0.6 กรัม ให้คงทนกว่าต้นอ่อนไคware ที่บรรจุของจุลินทรีย์ส่งผลให้เกิดการเปลี่ยนแปลงของเซลล์เมมเบรนของเชื้อจุลินทรีย์และนำไปสู่การตายของเชื้อจุลินทรีย์ในที่สุด

## สรุปผลการทดลอง

ต้นอ่อนไคราเวะที่บรรจุของปลดปล่อยออกซิเจนลดขนาด 0.6 กรัม ให้ลักษณะปวกภายนอกที่ดี ได้แก่ ความสด และสีเขียวมากกว่าต้นอ่อนไคราเวะชุดควบคุม สามารถรักษาต้นสารต้านอนุมูลอิสระได้ดีกว่าต้นอ่อนไคราเวะชุดควบคุม และสามารถช่วยลดการเพิ่มน้ำหนักของเชือกแบนที่เรียกวัสดุ เชือกโคลิฟอร์มและเชือกยีสต์ ได้ดีกว่าต้นอ่อนไคราเวะชุดควบคุมตลอดระยะเวลาการเก็บรักษาที่อุณหภูมิ 10 องศาเซลเซียส เป็นเวลา 8 วัน

### คำขอบคุณ

งานวิจัยนี้ได้รับการสนับสนุนงบประมาณจากศูนย์นวัตกรรมเทคโนโลยีหลังการเก็บเกี่ยว กระทรวงการอุดมศึกษา วิทยาศาสตร์ วิจัยและนวัตกรรม และขอขอบคุณ The United Graduate School of Agricultural Science (UGSAS), Gifu University, Japan ที่เอื้อเฟื้อคุปกรน์ในการทำวิจัยครั้งนี้

### เอกสารอ้างอิง

- ชนากัทร พรายมี. 2558. เมล็ดองอกเพาะกินเพื่อสุขภาพเพาะขยายรายได้ดี. กรุงเทพฯ: สำนักพิมพ์เอ็มไอเอส หน้า 5-7.
- พัชรี มะลิตา, วีราทร์ อุทิเม และ ฤทธิรงค์ พฤฒิมกุล. 2558. การพัฒนาของคุณภาพกลีบประกายของผลไม้ในบรรจุภัณฑ์แยกที่พลาสติก ห้องเดงสุดปอกเปลือก. วารสารวิทยาศาสตร์เกษตรฯ 46(3/1 พิเศษ): 223-226.
- วีราทร์ อุทิเม, เอกธิษฐ์ อ่อนصاد และเวรดิ ชัยราช. 2555. วารสารเกษตรพวงจอมเกล้า วารสารเกษตรพวงจอมเกล้า 30(2): 39-49.
- อกิชาติ ศรีละอاد และพัชรี สำโรงเย็น. 2558. เมล็ดองอก. กรุงเทพฯ: นาค่า อินเตอร์เมดีย. หน้า 9-10.
- Candir, E., A. E. Ozdemir, O. Kamiloglu, E. M. Soylu, R. Dilbaz and D. Ustun. 2012. Modified atmosphere packaging and ethanol vapor to control decay of "Red Globe" table grapes during storage. Postharvest Biology and Technology 63(1): 98–106.
- Utama, I.M.S., R.B.H. Wills, S. Ben-Yehoshua and C. Kuek. 2002. In vitro efficacy of plant volatiles for inhibiting the growth of fruit and vegetable decay microorganisms. Journal of Agricultural and Food Chemistry 50: 6371-6377.
- Xu, F., X. Chen, P. Jin, X. Wang, J. Wang and Y. Zheng. 2012. Effect of ethanol treatment on quality and antioxidant activity in postharvest broccoli florets. European Food Research and Technology 235(5): 793–800.

**ผลของความร้อนแบบฟลูอิดไดซ์เบดระดับห้องปฏิบัติการ  
ต่อตัวงวงข้าวโพด มอดแป้ง และคุณภาพการสีของข้าวพันธุ์ข้าวดอกมะลิ 105  
Effects of Laboratory Scale Fluidized Bed Heat Treatment on Maize Weevil, (*Sitophilus zeamais*),  
Red Flour Beetle (*Tribolium castaneum*) and Milling Quality of Rice cv. Khao Dawk Mali 105**

กัลยา บุญสร้าง<sup>1</sup> ดาวร บันทูรัตน์<sup>1,2,3</sup> วิบูลย์ ช่างเรือ<sup>1,2,3</sup> และ เยาวลักษณ์ จันทร์บาง<sup>1,3,4</sup>  
Kunlayaa Boonsa-nga<sup>1</sup>, Damom Bunturat<sup>1,2,3</sup>, Viboon Changrue<sup>1,2,3</sup> and Yaowaluk Chanbang<sup>1,3,4</sup>

### Abstract

The efficacy of heat fluidized bed (FDB) was studied for controlling stored product insects on rough rice using laboratorial heat fluidized bed equipment and the milling quality of rice later was examined. Rough rice cv. Khao Dawk Mali 105 (13% mc wet basis) infested with insects were treated with FDB. The results showed that maize weevil, *Sitophilus zeamais* Motschulsky (internal feeders) performed higher tolerance for heat than red flour beetle *Tribolium castaneum* (Herbst). At the velocity speed 3.7 m/s, 50°C for 90 seconds, the mortality of maize weevil treated by FDB was significant different ( $P<0.01$ ). Pupal stage as an FDB tolerant stage of maize weevil was treated with 50, 55, 60 and 65 °C for 60, 90, 120, 150, 180 and 240 seconds. FDB heat treatment at 55 °C for 150 seconds, 60 °C for 90 seconds and 65°C for 60 seconds caused 100% mortality. At the velocity speed 3.7 m/s, 40°C for 120 seconds, the mortality of red flour beetle was significant different ( $P<0.01$ ). Egg stage as an FDB tolerant stage of red flour beetle was treated with 40, 45 and 50 °C for 120, 150, 180 and 240 seconds. The result showed that FDB heat treatment at 40 °C for 180 seconds, 45 °C for 180 seconds and 50 °C for 120 seconds caused 100% mortality. The percentage of whole kernels and head rice was not difference compared with control. In case of the milling quality, the percentage of whole kernels and head rice was similar to control. However, milled rice was yellow color with the increased of  $b^*$  value, and the decreased of  $L^*$  value and whiteness index. The moisture content and amylose content were decreased.

**Keywords:** heat treatment, fluidized bed, paddy

### บทคัดย่อ

การศึกษาผลของความร้อนแบบฟลูอิดไดซ์เบด ในการควบคุมแมลงศัตรูโรงเก็บข้าวเปลือก ด้วยเครื่องมือที่ทำให้เกิดสภาวะฟลูอิดไดซ์เบดในระดับห้องปฏิบัติการ รวมถึงคุณภาพการสี โดยนำข้าวเปลือกพันธุ์ข้าวดอกมะลิ 105 ความชื้น 13 เปอร์เซ็นต์ (สูตรเปรี้ยง) ที่มีแมลงเข้าทำลาย นำมารักษาด้วยเทคนิคฟลูอิดไดซ์เบด พบร่วม ตัวงวงข้าวโพด (กลุ่มกัดกินภายในเมล็ด) มีความทนทานต่อความร้อนแบบฟลูอิดไดซ์เบดมากกว่ามอดแป้ง (กลุ่มกัดกินภายนอกเมล็ด) โดยตัวงวงข้าวโพดจะอยู่ไช่ หนอน ดักแด้ และตัวเต็มวัย มีอัตราการตายแตกต่างกันอย่างมีนัยสำคัญยังทางสถิติ ( $P<0.01$ ) ที่ความเร็วลม 3.7 m/s อุณหภูมิ 50°C ระยะเวลา 90 วินาที เมื่อใช้ระดับดักแด้ซึ่งเป็นระดับที่ทนทานต่อความร้อนแบบฟลูอิดไดซ์เบด ไปผ่านความร้อนที่ 50, 55, 60 และ 65°C ระยะเวลา 60, 90, 120, 150, 180 และ 240 วินาที พบร่วม ดักแด้เมื่ออัตราการตายอย่างสมบูรณ์ ที่อุณหภูมิ 55°C 150 วินาที, 60°C 90 วินาที และ 65°C 60 วินาที ตามลำดับ สำหรับมอดแป้งพบอัตราการตายแตกต่างกันอย่างมีนัยสำคัญยังทางสถิติ ( $P<0.01$ ) ที่ความเร็วลม 3.7 m/s อุณหภูมิ 40 °C 120 วินาที พบร่วมตัวการตายแตกต่างกันอย่างมีนัยสำคัญยังทางสถิติ เมื่อนำระดับไช่เป็นระดับที่ทนทานต่อความร้อนแบบฟลูอิดไดซ์เบด ไปผ่านความร้อนที่อุณหภูมิ 40, 45, และ 50 °C ระยะเวลา 120, 150, 180 และ 240 วินาที พบร่วม ไช่เมื่ออัตราการตายอย่างสมบูรณ์ที่ 40 °C 180 วินาที, 45°C 180 วินาที และ 50°C 120 วินาที ตามลำดับ คุณภาพการสี พบร่วม ไม่เปอร์เซ็นต์ข้าวเต็มเมล็ดและต้นข้าวไม่แตกต่างจากชุดควบคุมอย่างไรก็ตาม พบร่วม ข้าวสารมีสีเหลืองมากขึ้น สอดคล้องกับค่า  $b^*$  ที่เพิ่มขึ้น ค่า  $L^*$  และต้นข้าวความขาวลดลง ส่วนความชื้นและอัมโมนีโอลด์ ลดลงด้วย

**คำสำคัญ:** ความร้อน ฟลูอิดไดซ์เบด ข้าวเปลือก

<sup>1</sup> ศูนย์วิจัยเทคโนโลยีหลังการเก็บเกี่ยว คณะเกษตรศาสตร์ มหาวิทยาลัยเชียงใหม่ เชียงใหม่ 50200

<sup>1</sup> Postharvest Technology Research Institute, Faculty of Agriculture, Chiang Mai University, Chiang Mai 50200, Thailand

<sup>2</sup> ภาควิชาวิศวกรรมเครื่องยนต์ คณะวิศวกรรมศาสตร์ มหาวิทยาลัยเชียงใหม่ เชียงใหม่ 50200

<sup>2</sup> Department of Mechanical Engineering, Faculty of Engineering, Chiang Mai University, Chiang Mai 50200, Thailand

<sup>3</sup> ศูนย์นวัตกรรมเทคโนโลยีหลังการเก็บเกี่ยว กระทรวงการอุดมศึกษา วิทยาศาสตร์ วิจัยและนวัตกรรม กรุงเทพฯ 10400

<sup>3</sup> Postharvest Technology Innovation Center, Ministry of Higher Education, Science, Research and Innovation, Bangkok 10400, Thailand

<sup>4</sup> ภาควิชาชีววิทยาและโรคพืช คณะเกษตรศาสตร์ มหาวิทยาลัยเชียงใหม่ เชียงใหม่ 50200

<sup>4</sup> Department of Entomology and Plant Pathology, Faculty of Agriculture, Chiang Mai University, Chiang Mai 50200, Thailand

## คำนำ

การทดลองนี้ได้นำเทคนิคการให้ความร้อนแบบฟลูอิดไดซ์เบด ซึ่งเป็นเทคโนโลยีที่มีอยู่แล้วในโรงสีข้าว ปกติใช้ลดความชื้นข้าวเปลือก มาทดสอบประสิทธิภาพในการกำจัดด้วงวงข้าวโพดและมอดแห้ง ซึ่งเทคนิคนี้เป็นวิธีการอบเมล็ดพืชโดยใช้กระแสลงมีผลทำให้เมล็ดข้าวเปลือกกลอยอยู่ในอากาศ มีักษณะคล้ายกับของไฟล์ มีผลให้น้ำระเหยจากผิวเมล็ดได้อย่างรวดเร็วภายใน 1-2 นาที นอกจากนั้นความร้อนแบบฟลูอิดไดซ์เบดสามารถควบคุมและกำจัดแมลงศัตรูในโรงเก็บ โดย Evans and Dermott (1979) และ Abd El-Aziz (2011) พบว่าเมล็ดข้าวสาลีที่มีตัวอ่อนของด้วงวงข้าว (*Sitophilus oryzae* (L.)) มอดข้าวเปลือก (*Rhyzopertha dominica* (Fabricius)) และผีเสื้อข้าวเปลือก (*Sitotroga cerealella* (Oliv.)) เมื่อผ่านความร้อนจากรอบแบบฟลูอิดไดซ์เบดที่อุณหภูมิ 60, 70 และ 80 °C เวลา 12, 6 และ 4 นาที ที่ผิวของเมล็ดข้าวสาลีมีอุณหภูมิ 59, 62 และ 65 °C ทำให้แมลงตายทั้งหมด เช่นเดียวกับ Pande and Mishra (2013) พบว่า ความร้อนแบบฟลูอิดไดซ์เบดที่อุณหภูมิ 80 °C เวลา 60 วินาที ทำให้ด้วงตัวเยาว์มีอัตราการตาย 100 เปอร์เซ็นต์ในการศึกษาครั้นี้จึงเป็นการศึกษาประสิทธิภาพของระบบความร้อนแบบฟลูอิดไดซ์เบดที่มีใช้ในโรงสีเพื่อใช้ในการลดความชื้นอยู่แล้ว อาจนำมาใช้ในการควบคุมแมลงศัตรูโรงเก็บระหว่างการเก็บรักษาข้าวเปลือก ด้วยการจัดสภาพของความร้อนจากเทคนิคฟลูอิดไดซ์เบดที่ให้ความร้อนต่ำสุด ระยะเวลาต้องที่สุด แต่มีผลในการกำจัดแมลงและรักษาคุณภาพผลผลิตได้

## อุปกรณ์และวิธีการ

**การศึกษาระยะการเจริญเติบโตของด้วงวงข้าวโพดและมอดแห้ง ที่มีความทนทานต่อความร้อนแบบฟลูอิดไดซ์เบด การเลี้ยงเพิ่มปริมาณแมลงระยะต่าง ๆ**

ด้วงวงข้าวโพด เลี้ยงเพิ่มปริมาณในห้องปฏิบัติการ ที่อุณหภูมิ 28 °C และความชื้นสัมพัทธ์ 75 % ปรับความชื้นข้าวเปลือกเท่ากับ 15-18 % ปล่อยแมลงตัวเต็มวัย (คละเพศ) ประมาณ 200 ตัว ใส่ลงในขวดพลาสติกที่บรรจุข้าวเปลือก 3/4 ของขวด ปล่อยให้แมลงผสมพันธุ์และวางไข่ 3 วัน แยกตัวเต็มวัยออก (เจนวิทัย และคณะ, 2554) สำหรับมอดแห้ง เลี้ยงด้วยแบ่งสาลี น้ำหนัก 200 กรัมต่อขวด ปล่อยแมลงตัวเต็มวัย (คละเพศ) ประมาณ 100-200 ตัว ปล่อยให้แมลงผสมพันธุ์และวางไข่ 5 วัน แยกตัวเต็มวัยออกและเลี้ยงแมลงให้ได้ระยะไข่ หนอน ตักแต่ และตัวเต็มวัย (เนตรนภา และคณะ, 2554)

### การศึกษาระยะการเจริญเติบโตของแมลง ที่มีความทนทานต่อความร้อนแบบฟลูอิดไดซ์เบด

ข้าวเปลือกพันธุ์ขาวดอกมะลิ 105 ความชื้น 13 % น้ำหนัก 200 กรัม นำมาร่อนความร้อนด้วยเครื่องมือที่ทำให้เกิดสภาวะฟลูอิดไดซ์เบดในระดับห้องปฏิบัติการ (Christison Scientific, UK) ใส่แมลงระยะไข่ หนอน ตักแต่ และตัวเต็มวัย ในถุงผ้าจำนวน 100 ตัวต่อระยะ ด้วงวงข้าวโพด ทดสอบที่ระดับความเร็วลม 3.7 m/s อุณหภูมิ 50 °C เวลา 90 วินาที และมอดแห้งที่ระดับความเร็วลม 3.7 m/s ที่อุณหภูมิ 40 °C เวลา 120 วินาที บันทึกอัตราการตายของแมลง หลังจากการทดลอง 5-6 สปดาห์ เปรียบเทียบกับข้าวเปลือกชุดควบคุมที่ไม่ได้ผ่านความร้อน นำมาร้านประเมินค่าเฉลี่ยด้วย Abbott's formula (Abbott, 1925) วิเคราะห์ความแปรปรวน (analysis of variance) และเปรียบเทียบค่าเฉลี่ยด้วย least significant difference (LSD)

### การศึกษาอุณหภูมิและระยะเวลาที่เหมาะสมที่ทำให้ด้วงวงข้าวโพด และมอดแห้งตายอย่างสมบูรณ์

นำด้วงวงข้าวโพด และมอดแห้งระยะทันทาน (ผลจากการทดลองข้างต้น) มาทดสอบผ่านความร้อนจากฟลูอิดไดซ์เบด ในช่วงเวลา 60-240 วินาที ปรับระดับความร้อน ตั้งแต่ 50-65 °C เพื่อหาระยะเวลาและอุณหภูมิที่เหมาะสมในการกำจัดด้วงวงข้าวโพดและมอดแห้งในระยะที่ทนทานที่สุด จำนวนแมลงที่ทดสอบ 100 ตัวต่อชั้า จำนวน 4 ชั้า ดำเนินการทดลองเช่นเดียวกับการทดลองข้างต้น

นำข้าวเปลือกที่ผ่านความร้อนจากฟลูอิดไดซ์เบดในระดับห้องปฏิบัติการไปตรวจสอบคุณภาพทางกายภาพ คุณภาพการสี และคุณภาพทางเคมี บางประการ ได้แก่ ความชื้น อุณหภูมิเมล็ด สีข้าวสาร ต้นข้าว และปริมาณไข่โลส แล้วนำข้อมูลไปวิเคราะห์ความแปรปรวน (analysis of variance) และเปรียบเทียบค่าเฉลี่ยด้วย least significant difference (LSD)

## ผล

**การศึกษาระยะการเจริญเติบโตของด้วงวงข้าวโพดและมอดแห้ง ที่มีความทนทานต่อความร้อนแบบฟลูอิดไดซ์เบด**

อัตราการตายของด้วงวงข้าวโพดระยะไข่ หนอน ตักแต่ และตัวเต็มวัย เมื่อผ่านความร้อนที่ระดับความเร็วลม 3.7 m/s อุณหภูมิ 50 °C ระยะเวลา 90 วินาที มีอัตราการตายแตกต่างกันอย่างมีนัยสำคัญทางสถิติ ( $P < 0.01$ ) เท่ากับ

$36.75 \pm 7.63$  และ  $100 \pm 0.00$  เปอร์เซ็นต์ ตามลำดับ สำหรับมอดแป้ง ที่อุณหภูมิ  $40^{\circ}\text{C}$  ระยะเวลา 120 วินาที มีอัตราการตายแตกต่างกันอย่างมีนัยสำคัญยิ่งทางสถิติ ( $P<0.01$ ) เท่ากับ  $7.25 \pm 3.59$ ,  $32.25 \pm 14.57$ ,  $100.00 \pm 0.00$  และ  $12.75 \pm 7.27$  เปอร์เซ็นต์ ตามลำดับ ดังนั้นด้วยวงข้าวโพด ระยะดักแด้ และมอดแป้งระยะไข่เป็นระยะที่ทนต่อความร้อนจากฟลูอิดไดซ์เบดมากที่สุด

### การศึกษาอุณหภูมิและระยะเวลาที่เหมาะสมที่ทำให้ด้วงวงข้าวโพด และมอดแป้งตายอย่างสมบูรณ์

ด้วงวงข้าวโพดระยะดักแด้ (ระยะทันทนา) มีอัตราการตายอย่างสมบูรณ์ ที่  $55^{\circ}\text{C}$  150 วินาที,  $60^{\circ}\text{C}$  90 วินาที และ  $65^{\circ}\text{C}$  60 วินาที ตามลำดับ และมอดแป้งระยะไข่ (ระยะทันทนา) มีอัตราการตายอย่างสมบูรณ์ ที่  $40^{\circ}\text{C}$  180 วินาที,  $45^{\circ}\text{C}$  180 วินาที และ  $50^{\circ}\text{C}$  120 วินาที ตามลำดับ (Table 1-2)

**Table 1** Average mortality of pupal maize weevils after exposed to fluidized bed heat treatment at combination of temperature ( $50$ ,  $55$ ,  $60$  and  $65^{\circ}\text{C}$ ) and exposure time ( $60$ ,  $90$ ,  $120$ ,  $150$ ,  $180$  and  $240$  seconds)

Time (seconds)	Mortality of pupal maize weevil (%) $\pm$ SE* at various temperature ( $^{\circ}\text{C}$ )			
	50	55	60	65
Control	$4.50 \pm 1.73$ c	$9.00 \pm 3.56$ c	$7.75 \pm 3.10$ b	$7.75 \pm 3.30$ b
60	$0.00 \pm 0.00$ c	$0.00 \pm 0.00$ d	$0.50 \pm 0.58$ c	$100.00 \pm 0.00$ a
90	$0.00 \pm 0.00$ c	$96.00 \pm 4.76$ b	$100.00 \pm 0.00$ a	$100.00 \pm 0.00$ a
120	$0.00 \pm 0.00$ c	$99.00 \pm 1.41$ ab	$100.00 \pm 0.00$ a	$100.00 \pm 0.00$ a
150	$58.75 \pm 13.15$ b	$100.00 \pm 0.00$ a	$100.00 \pm 0.00$ a	$100.00 \pm 0.00$ a
180	$68.50 \pm 12.45$ b	$100.00 \pm 0.00$ a	$100.00 \pm 0.00$ a	$100.00 \pm 0.00$ a
240	$85.50 \pm 5.45$ a	$100.00 \pm 0.00$ a	$100.00 \pm 0.00$ a	$100.00 \pm 0.00$ a
CV (%)	23.13	3.21	1.64	1.44

\* Means followed by the same letter within column are not significantly different from each other at  $P<0.01$  according to least significant difference (LSD) Test

**Table 2** Average mortality of egg red flour beetle after exposed to fluidized bed heat treatment at combination of temperature ( $40$ ,  $45$  and  $50^{\circ}\text{C}$ ) and exposure time ( $120$ ,  $150$ ,  $180$  and  $240$  seconds)

Time (seconds)	Mortality of egg red flour beetle (%) $\pm$ SE* at various temperature ( $^{\circ}\text{C}$ )		
	40	45	50
Control	$3.00 \pm 1.63$ c	$8.00 \pm 4.55$ c	$8.00 \pm 2.16$ b
120	$6.50 \pm 4.65$ c	$95.00 \pm 2.58$ b	$100.00 \pm 0.00$ a
150	$84.75 \pm 10.63$ b	$98.50 \pm 1.29$ a	$100.00 \pm 0.00$ a
180	$100.00 \pm 0.00$ a	$100.00 \pm 0.00$ a	$100.00 \pm 0.00$ a
240	$100.00 \pm 0.00$ a	$100.00 \pm 0.00$ a	$100.00 \pm 0.00$ a
CV (%)	8.90	3.00	1.18

\* Means followed by the same letter within column are not significantly different from each other at  $P<0.01$  according to least significant difference (LSD) Test

### คุณภาพของข้าวเปลือกที่ผ่านความร้อนโดยเครื่องมือที่ทำให้เกิดสภาพฟลูอิดไดซ์เบดในระดับห้องปฏิบัติการ

ข้าวเปลือกที่ผ่านความร้อนแบบฟลูอิดไดซ์เบดที่อุณหภูมิระหว่าง  $40\text{-}50$  องศาเซลเซียส มีความชื้นไม่แตกต่างกับชุดควบคุม แต่เมื่ออุณหภูมิเพิ่มสูงขึ้นความชื้นข้าวเปลือกจะลดลงอย่างมีนัยสำคัญทางสถิติ ( $P<0.01$ ) เมื่อสีเป็นข้าวสาร พบร่วมกับสารมีสีเหลืองมากขึ้น ซึ่งสอดคล้องกับค่า L\* (ความสว่าง) และดูเหมือนความชื้นที่ลดลงเมื่ออุณหภูมิสูงขึ้น ในขณะที่ค่า b\* (สีเหลือง) เพิ่มขึ้นตามอุณหภูมิที่สูงขึ้น ส่วนปริมาณอมิโน酳ลดลง เมื่อพิจารณาคุณภาพการสีพบว่า เปอร์เซ็นต์ข้าวเต้มเมล็ดและต้นข้าวไม่แตกต่างกันทางสถิติ มีค่าระหว่างร้อยละ  $41\text{-}44$  ซึ่งอยู่ในระดับดี (Table 3)

**Table 3** Moisture content, grain temperature, color values ( $L^*$ ,  $b^*$ ), whiteness index, whole kernels and head rice and amylose content of rice cv. Khao Dawk Mali 105 when exposed to fluidized bed heat treatment at various temperatures and exposure times for completely killing pupal maize weevil and egg red flour beetle.

Treatment	Moisture content (%)	grain temperature (°C)	Color values**		Whiteness index	Whole kernels and Head rice (%)	Amylose (%)
			$L^*$	$B^*$			
40C180S	11.90 abc	35.33 d	69.50 a	10.49 bc	67.72 a	43.14 ns	14.45 c
45C180S	12.00 ab	41.67 c	68.81 a	10.93 b	66.92 a	42.28 ns	14.53 c
50C120S	11.83 bc	46.67 b	69.49 a	10.27 bc	67.78 a	42.65 ns	14.92 b
55C150S	11.70 c	53.67 a	65.63 c	13.43 a	62.85 bc	42.02 ns	14.78 bc
60C90S	11.73 c	54.67 a	65.26 c	12.98 a	62.69 c	42.62 ns	14.45 c
65C60S	11.83 bc	56.67 a	67.14 b	13.52 a	64.20 b	41.51 ns	15.02 b
Control	12.07 a	29.67 e	68.83 a	9.64 c	67.35 a	44.07 ns	15.39 a
CV (%)	1.02	3.03	1.25	4.62	1.26	2.29	1.39

\* Means followed by the same letter within column are not significantly different from each other at  $P<0.01$  according to least significant difference (LSD) Test

### วิจารณ์ผล

ด้วยวงวงข้าวโพดระยำดักแด้ และมอดเป็นระยะๆ เป็นระยะที่ทนทานต่อความร้อนแบบฟลูอิดไดซ์เบด เนื่องจากระยะๆ แล้วดักแด้ของแมลงเป็นระยะที่มีกิจกรรมและการหายใจต่ำกว่าระยะอื่น ดังนั้นการสูญเสียน้ำจึงลดลง (Chapman, 1998) ผลการทดลองครั้งนี้สอดคล้องกับรายงานของ ใจทิพย์ และคณะ (2553) ที่พบว่าระยะตัวเต็มวัยของด้วยวงข้าวโพดอ่อนแอต่อความร้อนมากกว่าระยะอื่น ความร้อนจากระบบฟลูอิดไดซ์เบดในการอบข้าวเปลือกเมื่อแรกเข้าโรงสีเป็นความร้อนที่ 42-65°C ระยะเวลาประมาณ 5-10 นาที สามารถกำจัดด้วยวงข้าวโพด หรือมีผลในกำจัดแมลงที่ติดมาจากการแปรลักษณะหลังการเก็บเกี่ยวได้

### สรุป

ด้วยวงข้าวโพดในระยะดักแด้ และมอดเป็นในระยะๆ ทนทานต่อความร้อนแบบฟลูอิดไดซ์เบดมากที่สุด มีอัตราการตายอย่างสมบูรณ์ที่ 55 °C 150 วินาที, 60 °C 90 วินาที และ 65 °C 60 วินาที และ 40 °C 180 วินาที, 45 °C 180 วินาที และ 50 °C 120 วินาที ตามลำดับ และส่งผลให้คุณภาพข้าวเปลี่ยนแปลงเล็กน้อย

### คำขอบคุณ

ขอขอบคุณ คุณยืนวัตกรรมเทคโนโลยีหลังการเก็บเกี่ยว กระทรวงการอุดมศึกษา วิทยาศาสตร์ วิจัยและนวัตกรรม สำหรับการสนับสนุนทุนศึกษาวิจัย

### เอกสารอ้างอิง

- เจนวิทัย ทางาน, เยาวลักษณ์ จันทร์บ่าง และไสว นุรุณพานิชพันธุ์. 2554. ประสิทธิภาพของก๊าซโคลโอนในการควบคุมด้วยวงข้าวในข้าวสาร. วารสาร วิทยาศาสตร์เกษตร 42 (1 พิเศษ): 410-413.
- ใจทิพย์ อุไรรัตน์, อรุณรา เพชรชาติ และพรทิพย์ วิสาพาทานนท์. 2553. การควบคุมด้วยวงข้าวโพด *Sitophilus zeamais* Motschulsky (Coleoptera: Curculionidae) ศัตรูข้าวหลังเก็บเกี่ยวด้วยการใช้ความร้อน. การประชุมทางวิชาการของมหาวิทยาลัยเกษตรศาสตร์ ครั้งที่ 48. หน้า 54-64.
- เนตรนาภา ศรีส่องสม, เยาวลักษณ์ จันทร์บ่าง และไสว นุรุณพานิชพันธุ์.. 2554. ประสิทธิภาพของสารเฝามูลของข้าวในวงข้าวโพด. วารสารเกษตร 27 (2): 155-164.
- Abbott, W. S. 1925. A method of computing the effectiveness of insecticide. Journal of Economic Entomology 18: 265-267.
- Abd El-Aziz, S. E. 2011. Control strategies of stored product pests. Journal of Entomology 8(2): 101-122.
- Chapman, R. F. 1998. Reproductive system: male. pp. 268-294. In: R. F. Chapman (ed.). *The insects: Structure and Function*. Cambridge University, Cambridge.
- Evans, D. E. and T. Dermott. 1979. The potential of fluidized-bed techniques in insect control. p: 222-229.
- Pande, R. and H. N. Mishra. 2013. Effect of fluidized bed heat treatment on insect mortality, proximate composition and antinutritional content of stored green gram (*Vigna radiata*) seeds. Journal of Food Chemistry and Nutrition 01 (02): 94-99.

## การใช้ดินเบาจากประเทศไทยเพื่อควบคุมด้วงงวงข้าวโพดและมดแดงในเมล็ดข้าว

พัชรданัย ใจคำ<sup>1</sup> วรรภิมล วงศ์พ่าห์<sup>2</sup> สิริญา คัมภีร์<sup>1</sup> กรวัฒน์ อรรถสิงหา<sup>1</sup> และ เยาวลักษณ์ จันทร์บ่าง<sup>1,2\*</sup>  
Patcharadanai Jaikhum<sup>1</sup>, Wornwimol Wangspa<sup>2</sup>, Siriya Kumpiro<sup>1</sup>, Korrawat Attasopa<sup>1</sup> and Yaowaluk Chanbang<sup>1,2\*</sup>

## Abstract

Maize weevil (*Sitophilus zeamais* Motschulsky) is the primary stored product insect pest of rice infested inside rice kernel and red flour beetle (*Tribolium castaneum* Herbst) infested on damaged grain. The damage from those 2 species caused quantity and quality losses. The objective of this experiment is to study the efficacy of diatomaceous earth (DE) from Nam Jo Subdistrict, Mae Tha District, Lampang Province to control those insects in organic paddy. The contact toxicity of DE (250 microns) on maize weevil was examined by mixing with paddy (14% mc) at the ratio of 250, 750 and 1,000 mg/1 kg. The experiment was done for 3 replications. Results showed that 100% mortality of maize weevil was found in the treatment of 750 and 1,000 mg/1 kg on day 7 compared with 0% mortality in untreated control. For contact toxicity on red flour beetle, DE (125 microns) was mixed with water at 0,10 and 20% (w/v) and then painted on filter paper. The test was done on 12-day-old larvae and pupae for 3 replications. The result showed that mortalities of 12-day-old larvae were  $4.17\pm2.71$ ,  $9.17\pm1.54$  and  $10.83\pm2.39\%$  , respectively whereas mortalities of pupae were  $7.50\pm1.12$ ,  $16.67\pm4.21\%$  and  $26.67\pm4.01\%$  , respectively. Then eggs, young larvae (6 days old), pupae and adults were tested again in the same pattern with 5 replications. The mortalities of young larvae were 0,  $92.00\pm3.39$  and  $61.00\pm15.68\%$  , respectively while mortalities of other stages were less than 20% after day 3. In conclusion, DE at 750 mg/kg was enough as the grain admixture for control maize weevil and DE at 10% (w/v) was appropriate for painting on the surface to control young larvae of red flour beetle.

**Keywords:** diatomaceous earth, seed mixed, contact toxicity, stored product insect

บทคัดย่อ

ตัวง่วงข้าวโพด (*Sitophilus zeamais* Motschulsky) เป็นแมลงศัตรุสำคัญที่เข้าทำลายภายในเมล็ดข้าวในโรงเก็บและมอดเปร่ง (*Tribolium castaneum* Herbst) เป็นแมลงที่เข้าทำลายข้าว การทำลายของแมลงทั้งสองชนิดนี้ส่งผลให้มีเมล็ดข้าวสูญเสียเงินมากและคุณภาพ การวิจัยนี้มีวัตถุประสงค์เพื่อศึกษาประสิทธิภาพของดินเบาจากพื้นที่ตำบลน้ำใจ อำเภอแม่ทะ จังหวัดลำปาง ในการควบคุมตัวง่วงข้าวโพดและมอดเปร่งในข้าวเปลือกอินทรีย์ และทดสอบพิษทางสัมผัสต่อตัวง่วงข้าวโพด โดยคลุกข้าวเปลือก (14% mc) ที่มีความชื้นเริ่มต้น 14% กับดินเบา ขนาด 250 ไมครอน อัตรา 250, 500, 750 และ 1,000 มิลลิกรัม/ข้าวเปลือก 1 กิโลกรัม จำนวน 3 ชั้นต่อกรวยวิธี พบร่วมกับ กรรมวิธีใช้ดินเบาขนาด 750 และ 1,000 มิลลิกรัม/ข้าวเปลือก 1 กิโลกรัม พบร่วม พบการตายของตัวง่วงข้าวโพดเป็น 100% หลังได้สัมผัสดินเบาเป็นเวลา 7 วัน เปรียบเทียบกับชุมควบคุมที่ไม่พบร่วมการตายของแมลง ส่วนการทดสอบพิษทางสัมผัสต่อมอดเปร่ง โดยใช้ดินเบา ขนาด 125 ไมครอนผสมน้ำที่ความเข้มข้น 0, 10 และ 20 % (w/v) ทางบนกระดาษกรอง จำนวน 3 ชั้นต่อกรวยวิธี กับหนอนอายุ 12 วันและตักแต่ พบร่วม หนอนอายุ 12 วัน มีการตาย  $4.17 \pm 2.71$ ,  $10.83 \pm 2.39$  และ  $9.17 \pm 1.54\%$  ตามลำดับ ส่วนตักแต่เมื่อยืดตัว ทราบว่าตัวง่วงข้าวโพดเปร่งระยะไกล หนอนวัยอ่อน (อายุ 6 วัน) ตักแต่ และตัวเต็มวัย จำนวน 5 ชั้นต่อกรวยวิธี พบร่วม เฉพาะหนอนวัยอ่อนมีการตาย  $0.92.00 \pm 3.39$  และ  $61.00 \pm 15.68\%$  ตามลำดับ หลังสัมผัสดินเบาเป็นเวลา 3 วัน ขณะที่มอดเปร่งระยะอ่อน ตายน้อยกว่า 20 % สรุปได้ว่า ดินเบาอัตรา 750 มิลลิกรัม/ กิโลกรัม เพียงพอในการคลุกเมล็ดป้องกันตัวง่วงข้าวโพด และดินเบาสมน้ำความเข้มข้นตั้งแต่ 10% เม泓ะสมในการทำพืชป้องกันหนอนวัยอ่อนมอดเปร่ง

**คำสำคัญ:** ดินเปา คลากเมล็ด พิษทางสัมผัส แมลงศัตรูผลิตผลในโรงเก็บ

<sup>1</sup> ภาควิชาภาษาไทยและโศภิช คณะเกษตรศาสตร์ มหาวิทยาลัยเชียงใหม่ เชียงใหม่ 50200

<sup>1</sup> Department of Entomology and Plant Pathology, Faculty of Agriculture, Chiang Mai University, Chiang Mai, 50200

<sup>2</sup> ศูนย์วิจัยเทคโนโลยีหลังการเก็บเกี่ยว คณะเกษตรศาสตร์ มหาวิทยาลัยเชียงใหม่ เรียนใหม่ 50200

<sup>2</sup> Postharvest Technology Research Center, Faculty of Agriculture, Chiang Mai University, Chiang Mai, 50200

Corresponding author: lukksu@hotmail.com

## คำนำ

การเก็บรักษาเมล็ดข้าวหลังการเก็บเกี่ยวมักประสบปัญหาการเข้าทำลายของแมลงศัตรูโรงเก็บโดยเฉพาะ ตัวงวงข้าวโพด (*maize weevil: Sitophilus zeamais Motschulsky*) กัดกินเมล็ด และตัวอ่อนกัดกินอาศัยอยู่ในเมล็ด และมอดแป้ง (*red flour beetle: Tribolium castaneum (Herbst)*) ที่จะระเหยนและตัวเต็มวัยมักเข้าทำลายหัวในผลผลิตที่ตัวงวงข้าวโพดทำลายมาก่อน แมลงดังกล่าวส่งผลให้ข้าวเกิดความเสียหายทั้งทางด้านปริมาณและคุณภาพ สำหรับมอดแป้งเป็นเมล็ดที่เข้าทำลายหลังจากที่เมล็ดอื่นทำลายเมล็ดพืชเป็นรู หรือรอยแตกแล้ว ทำให้ผลผลิตที่อาศัยอยู่มีกลิ่นเหม็น (พรพิพิญและคณะ, 2548) การป้องกันกำจัดแมลงศัตรูโรงเก็บส่วนใหญ่มักใช้สารเคมีคลุกเมล็ด ซึ่งส่งผลเสียต่อสุขภาพของผู้ใช้และสิ่งแวดล้อม และสามารถทำให้เมลงสร้างความต้านทานต่อสารเคมีได้ หากมีการใช้ในระยะเวลานาน การใช้ดินเบ้าเป็นอีกทางเลือกหนึ่งที่มีการใช้ควบคุมแมลงศัตรูโรงเก็บร่วมกับวิธีการอื่น โดยส่วนใหญ่มักใช้ในการคลุกเมล็ดและผสมน้ำท่าฟผนังและพื้นผิวโรงเก็บ (Stathers et al., 2004) ดินเบ้าเป็นสาที่ได้จากการรวมชาติไม่ละลายน้ำ ประกอบด้วยซิลิกา 60-93% ความชื้นประมาณ 2-6% ไม่ติดไฟ มีความปลดภัยต่อมนุษย์และสัตว์เลี้ยงลูกด้วยนม มีการนำมาใช้เพื่อกำจัดแมลงทางการเกษตร (Lusic and Korunic, 2018) การศึกษาครั้นนี้มีวัตถุประสงค์เพื่อหาอัตราที่เหมาะสมต่อรูปแบบการใช้ดินเบ้าป้องกันกำจัดตัวงวงข้าวโพด และมอดแป้งศัตรูของข้าวระหว่างการเก็บรักษา

## อุปกรณ์และวิธีการ

### การเตรียมดินเบ้า

นำก้อนดินเบ้าที่ได้รับจากต่ำบาน้ำใจ จำกอนแม่ทะ จังหวัดลำปาง บดเป็นผงละเอียด จากก้นน้ำมาร่อนผ่านตะแกรงร่อนแยกขนาด 250 และ 125 ไมโครเมตร เพื่อใช้ในการทดลอง

### การเพาะเลี้ยงเพิ่มปริมาณตัวงวงข้าวโพดและมอดแป้ง

ตัวงวงข้าวโพดและมอดแป้งที่ใช้ในการทดลองได้จากห้องปฏิบัติการแมลงศัตรูโรงเก็บ ภาควิชาภัณฑ์วิทยาและโภคปีช คณะเกษตรศาสตร์ มหาวิทยาลัยเชียงใหม่ เลี้ยงในห้องปฏิบัติการที่อุณหภูมิ 28 – 33 องศาเซลเซียส ความชื้นสัมพัทธ์ 75 เปอร์เซ็นต์ เลี้ยงตัวงวงข้าวโพดโดยใช้ข้าวเปลือกเลี้ยงเป็นอาหาร จนเป็นตัวเต็มวัยอายุไม่เกิน 2 สัปดาห์ ส่วนมอดแป้งเพาะเลี้ยงด้วยข้าวกล้องบดละเอียด หลังจากนั้นร่อนแยกระยะไข่ (อายุ 3-5 วันหลังวางไข่) หนอง (อายุ 6 วัน และ 12 วัน) ระยะตักแต่ และตัวเต็มวัย (ไม่เกิน 2 สัปดาห์) ร่อนแยกมอดแป้งในระยะต่าง ๆ ได้กล้องจุลทรรศน์สเตรโอด ทำการเขี่ยตัวอย่างแมลงระยะต่าง ๆ ด้วยพู่กันเพื่อแยกออกมาใช้ในการทดลอง

### ประสิทธิภาพของดินเบ้าในการกำจัดตัวงวงข้าวโพด

วางแผนการทดลองแบบแบบสุ่มสมบูรณ์ (CRD) จำนวน 3 ชั้้า โดยมีกรวยวิธีคืออัตราดินเบ้าที่ใช้คลุกกับตัวอย่างข้าวจำนวน 5 กรวยวิธี โดยการนำข้าวเปลือกพันธุ์ข้าวอกมะลิ 105 มาปรับความชื้นของเมล็ดให้อยู่ที่ประมาณ 14% ขั้งข้าวเปลือกประมาณ 200 กรัม จำนวน 15 กระบอก เพื่อคลุกกับดินเบ้าที่มีอุ่นภาคขนาด 250 ไมโครเมตร อัตรา 250, 500, 750 และ 1,000 มิลลิกรัมต่อ ข้าวเปลือก 1 กิโลกรัม นำตัวเต็มวัยตัวงวงข้าวโพดอายุไม่เกิน 1 สัปดาห์ ชั้้าละ 40 ตัว ปล่อยลงในข้าวเปลือกที่คลุกดินเบ้าที่บรรจุในระบบอุ่นพลาสติกแล้ว นำตัวอย่างวางไว้ในห้องที่มีอุณหภูมิ 28 – 33 องศาเซลเซียส ความชื้นสัมพัทธ์ 75 เปอร์เซ็นต์ ทำการตรวจสอบด้วย Abbott's formula (Abbott, 1925) วิเคราะห์ความแปรปรวน และเปรียบเทียบความแตกต่างของค่าเฉลี่ยการตายด้วยวิธี Least Significant Difference (LSD)

### ประสิทธิภาพของดินเบ้าในการกำจัดมอดแป้ง

นำดินเบ้าที่มีอุ่นภาคขนาด 125 ไมโครเมตร ทำเป็นสารเขวนลดอยดินเบ้าที่ความเข้มข้น 3 กรัมต่อน้ำ 30 มิลลิลิตร (10%) และ 6 กรัมต่อน้ำ 30 มิลลิลิตร (20%) ทางบนกระดาษกรองที่วางไว้ในจานแก้วขนาดเส้นผ่าศูนย์กลาง 9 เซนติเมตร ให้ทั่ว ปล่อยให้แห้งเป็นเวลา 3 ชั่วโมง แล้วนำไปทำการทดลอง 2 ชุด โดยการทดลองชุดที่ 1 ทดสอบกับตัวหนองที่อายุ 12 วัน และตัวเต็มวัยของมอดแป้งที่อายุ 1 สัปดาห์ วางแผนการทดลองแบบ CRD จำนวน 3 ชั้้า การทดลองชุดที่ 2 ทดสอบกับตัวหนองที่อายุ 6 วัน ตักแต่ และตัวเต็มวัยของมอดแป้งที่อายุ 1 สัปดาห์ วางแผนการทดลองแบบ CRD จำนวน 5 ชั้้า วางบนกระดาษกรองที่ทาสารเขวนลดดินเบ้าแต่ละความเข้มข้นในจานแก้ว จำนวน 20 ตัวต่อจาน ใช้น้ำกลั่นทากกระดาษกรองเป็นชุดควบคุม ปิดฝ่าแล้ววางไว้ในห้องปฏิบัติการที่มีอุณหภูมิ 28 – 33 องศาเซลเซียส ความชื้นสัมพัทธ์ 75 เปอร์เซ็นต์ ทำการตรวจสอบด้วยวิธี LSD หากพบการตายในชุดควบคุม ทำการปรับค่าเบอร์เรนต์การตายด้วย Abbott's formula (Abbott, 1925)

## ผล

### ประสิทธิภาพของดินนาในการกำจัดตัวงวงข้าวโพด

ตัวงวงข้าวโพดในข้าวเปลือกที่คลุกด้วยดินนาที่มีอนุภาค 250 ไมโครเมตร ที่อัตรา 0 (ชุดควบคุม), 250, 500, 750 และ 1,000 มิลลิกรัมต่อข้าวเปลือก 1 กิโลกรัม มีอัตราการตายแตกต่างกันทางสถิติ ( $P<0.05$ ) หลังจากสัมผัสข้าวเปลือกที่คลุกดินนา 1 วัน และการตายเพิ่มขึ้นในวันที่ 7 แตกต่างอย่างมีนัยสำคัญทางสถิติ ( $P<0.05$ ) อัตราการตายเป็น 0,  $45.8\pm19.1$ ,  $85.0\pm34.0$ ,  $88.3\pm35.4$  และ  $100.0\pm0.0\%$  ตามลำดับ (Table 1)

**Table 1.** Percentage mortality of *Sitophilus zeamais* adult after 7 days of exposure with four dose rates of 250 microns diatomaceous earth (DE)

Weight of diatomaceous earth (g/rough rice 1 Kg)	1 day	7 days
Untreated (control)	$0.0\pm0.0$ b	$0.0\pm0.0$ c
250	$12.5\pm1.5$ ab	$45.8\pm19.1$ b
500	$10.0\pm0.6$ ab	$85.0\pm34.0$ a
750	$32.5\pm3.5$ a	$88.3\pm35.4$ a
1,000	$22.5\pm3.6$ a	$100.0\pm0.0$ a

Means within the column followed by different letters are significantly different at 95% confidence level ( $P<0.05$ ) by Least Significant Difference (LSD) comparison.

### ประสิทธิภาพของดินนาในการกำจัดอดแป้ง

หลังจากมอดแป้งอายุ 12 วันสัมผัสกับดินนาขนาดอนุภาค 125 ไมโครเมตร ที่อัตราความเข้มข้น 0 (ชุดควบคุม), 10 และ 20% ที่ทابนกระดาษกรองและวางไว้ในจานแก้ว (petri dish) พบว่ามีการตายที่ไม่มีความแตกต่างกันทางสถิติ ( $P>0.05$ ) ส่วนผลการทดสอบในระยะดักแด้ พบร่วมกับการตายที่แตกต่างกันอย่างมีนัยสำคัญทางสถิติ คือ  $7.50\pm1.1$  (ชุดควบคุม),  $16.67\pm4.2$  (10% DE) และ  $26.67\pm4.01$  (20% DE) ตามลำดับ (Table 2) และเมื่อทำการทดลองซ้ำ กับมอดแป้งระยะไข่หนอน (อายุ 6 วัน) ดักแด้ และตัวเต็มวัย พบร่วมกับการตายที่ไม่มีความแตกต่างกันอย่างมีนัยสำคัญทางสถิติ ( $P>0.05$ ) โดยมีการตาย 0,  $92.0\pm3$  และ  $61.0\pm15.7\%$  ตามลำดับ (Table 3)

**Table 2.** Percentage mortality of *Tribolium castaneum* larvae (12 days old) and pupae after 3 days of exposure with two concentrations of 125 microns diatomaceous earth (DE)

DE concentrations (%)	Older larvae (12 days old)	Pupae
Untreated (control)	$4.17 \pm 2.7$ a	$7.50 \pm 1.1$ b
10	$9.17 \pm 1.5$ a	$16.67 \pm 4.2$ ab
20	$10.83 \pm 2.4$ a	$26.67 \pm 4.01$ a

Means within the column followed by different letters are significantly different at 95% confidence level ( $P<0.05$ ) by Least Significant Difference (LSD) comparison.

**Table 3.** Percentage mortality different stages of *Tribolium castaneum* after 3 days of exposure with two concentrations of 125 microns diatomaceous earth (DE)

DE concentrations (%)	Eggs	Young larvae (6 days old)	Pupae	Adults
Untreated (control)	$0.0\pm0.0$ a	$0.0\pm0.0$ c	$10.0\pm6.1$ ab	$0.0\pm0.0$ a
10	$5.0\pm3.2$ a	$92.0\pm3.4$ a	$19.0\pm5.8$ a	$0.0\pm0.0$ a
20	$0.0\pm0.0$ a	$61.0\pm15.7$ b	$3.0\pm3.0$ b	$2.0\pm1.2$ a

Means within the column followed by different letters are significantly different at 95% confidence level ( $P<0.05$ ) by Least Significant Difference (LSD) comparison.

## วิจารณ์ผล

ด้วยง่วงข้าวโพดในข้าวเปลือกที่คลุกด้วยดินเบาที่มีอนุภาค 250 ไมโครเมตร เริ่มพิบการตายหลังจากสัมผัสดินเบา 1 วัน และอัตราการคลุก 1,000 มิลลิกรัมต่อข้าวเปลือก 1 กิโลกรัม สามารถทำให้ด้วยง่วงข้าวโพดตายได้ 100% ในวันที่ 7 หลังการสัมผัสดินเบา ในอัตราเดียวกันนี้ Chanbang et al. (2008) พบร่วมดินเบาที่ทำเป็นสารกำจัดแมลงเป็นการค้าสามารถทำให้มอดหัวป้อม (*Rhyzopertha dominica*) ตายได้ 46-100% เช่นกัน ในการศึกษาครั้งนี้ ผลของการใช้ดินเบาทางวัสดุพื้นผิวป้องกันกำจัดมอดเป็นมีผลทำให้มอดแห้งระยำบนอายุ 12 วัน และดักแด้ที่สัมผัสถกบดินเบาเมื่อการตายต่ำกว่า 30 เปอร์เซ็นต์ และเมื่อนำมาทดสอบกับมอดแห้งระยำตัวเต็มวัย ระยะไข่ หนอนวัยอ่อน (อายุ 6 วัน) และทดสอบกับดักแด้อีกครั้งโดยใช้ดินเบาขนาดอนุภาค 125 ไมครอน พบร่วมดินเบาที่นำมาทำอยู่บนพื้นผิววัสดุ มีผลกับหนอนวัยอ่อนมีการตายที่แตกต่างอย่างมีนัยสำคัญทางสถิติเมื่อเทียบกับหนอนที่ไม่ได้สัมผัสดินเบา โดยทำให้หนอนวัยอ่อนเมื่อติดรากรตายสูงกว่า 61 เปอร์เซ็นต์ เช่นเดียวกับ Vayias and Athanassiou (2003) ได้รายงานในทำงดีเยิกันว่าหนอนวัยอ่อนของมอดแห้ง *Tribolium confusum* มีความอ่อนแอต่อดินเบา เมื่อเทียบกับระยำตัวเต็มวัย ซึ่งมีการใช้ดินเบาขนาด 8-12 ไมครอน เมื่อพิจารณาขนาดแห้งระยำในระยำบนชั้นของถุงภายในออกเมล็ดจะมีการเคลื่อนไหว คลานอยู่ในกองประปนอยู่กับข้าว ซึ่งทำให้มีโอกาสที่จะสัมผัสดินเบา และทำให้มอดแห้งที่คลานอยู่มีโอกาสลดได้น้อยลง เนื่องจากดินเบาเมื่อผลต่อแมลงเมื่อแมลงสัมผัสและดูดซับไขมันที่ผ่านลำตัวของแมลงจนทำให้เกิดการขาดน้ำและตายในที่สุด อย่างไรก็ตามยังมีปัจจัยอื่นมาเกี่ยวข้องกับประสิทธิภาพของดินเบา เช่น อุณหภูมิและความชื้นสัมพัทธ์ของสภาพบรรจุภัณฑ์ที่ส่งผลให้แมลงได้รับผลกระทบจากการขาดน้ำเพิ่มมากขึ้น เมื่อความชื้นสัมพัทธ์ในสภาพแวดล้อมลดลง (Chanbang et al., 2007)

## สรุป

การใช้ดินเบาคลุกเมล็ดข้าวเปลือกในอัตรา 1,000 มิลลิกรัมต่อ 1 กิโลกรัม สามารถใช้ป้องกันกำจัดด้วยง่วงข้าวโพดได้ทำให้ด้วยง่วงข้าวโพดตาย 100 เปอร์เซ็นต์หลังจากสัมผัสดีเมล็ดที่คลุกด้วยดินเบาเป็นเวลา 7 วัน และการใช้สารเคมีกลอยดินเบาที่ระดับความเข้มข้น 10 เปอร์เซ็นต์ทาผิววัสดุมีผลทำให้มอดแห้ง ในระยำบนวัยอ่อน (อายุ 6 วัน) มีการตาย 61 เปอร์เซ็นต์ หลังจากการสัมผัสดินเบาเป็นเวลา 3 วัน

## คำขอบคุณ

ขอขอบคุณบริษัท เอสซีจี ชีเมเนต์ จำกัด สำหรับสนับสนุนการวิจัย

## เอกสารอ้างอิง

- พรพิพย์ วิสาทานนท์, ฤกษ์ นาลวัฒน์, บุษรา จันทร์แก้วมนี, ใจพิพย์ อุไรรัตน์, รังสิมา เก่งกาพานิช, กรณิกร์ เพ็งคุ้ม, จิราภรณ์ ทองพันธ์, ดวงสมร สุทธิสุทธิ, ลักษณา ร่วมยืน ละภาวนี หนูชนะภัย. 2548. แมลงที่พบในผลิตผลเกษตรและภัยป้องกันกำจัด. สำนักวิจัยและพัฒนาวิทยาการ หลังการเก็บ เกี่ยวและแปรรูปผลิตผลเกษตรฯ กรมวิชาการเกษตร. กรุงเทพมหานคร: ชุมนุมสหกรณ์การเกษตรแห่งประเทศไทย. 158 หน้า.
- Abbott, W.S. 1925. A method of computing the effectiveness of an insecticide. Journal of Economic Entomology 18: 265-267.
- Chanbang, Y., F.H. Arthur, G.E. Wilde and J.E. Throne. 2007. Efficacy of diatomaceous earth to control *Rhyzopertha dominica* (F.) (Coleoptera: Bostrichidae) in rough rice: Impacts of temperature and relative humidity. Crop Protection 26: 923-929.
- Chanbang, Y., F.H. Arthur, G.E. Wilde and J.E. Throne. 2008. Control of *Rhyzopertha dominica* in stored rough rice through a combination of diatomaceous earth and varietal resistance. Insect Science 15: 455-460.
- Lasic, D. and Z. Korunic. 2018. Diatomaceous earth, a natural insecticide for stored grain protection: recent Progress and perspectives. pp. 219-247 In: Lasic, D. (Ed.). Diatom Nanotechnology: Progress and Emerging Applications.
- Stathers, T.E., M. Denniff and P. Golob. 2004. The efficacy and persistence of diatomaceous earth admixed with commodity against four tropical stored product beetle pests. Journal of Stored Products Research 40(1): 113-123.
- Vayias, B.J. and C.G. Athanassiou. 2003. Factors affecting the insecticidal efficacy of the diatomaceous earth formulation SilicoSec against adults and larvae of the confused flour beetle, *Tribolium confusum* DuVal (Coleoptera: Tenebrionidae). Laboratory of Agricultural Zoology and Entomology 23(2004): 565-573.

## ผลของอุณหภูมิในการให้ความร้อนด้วยคลื่นความถี่วิทยุต่อคุณภาพเมล็ดพันธุ์ข้าวในระหว่างการเก็บรักษา

### Effect of Radio Frequency Heating Temperature on Rice Seed Quality during Storage

ศิราพร เชื้ออวน<sup>1</sup> รัชรังสิ ราชนิพนธ์<sup>1</sup> และ สงวนศักดิ์ ธนาพรพูนพงษ์<sup>2</sup>  
Siraporn Chuea-uan<sup>1</sup>, Ratcharangsri Ratchaniphon<sup>1</sup> and Sa-nguansak Thanapornpoonpong<sup>2</sup>

#### Abstract

The purpose of this research was to study the effect of radio frequency (RF) heat temperature at 27.12 MHz and power of 15 kW on the seed quality of San Pa Tong 1 rice during storage at 10.5% initial seed moisture. The experimental design was split plot with 4 replications. The main factors were hot air-dried seed (control 1), hot air-dried seed and fumigated with phosphine (control 2), RF heated seed at 55, 60 and 65 °C. The sub-plots was storage period (0, 1, 2, 3, 4, 5, 6, 7 and 8 months). Packed 5 kg in plastic sack, size 38 X 48 cm. Stored in a closed container. It was found that RF heating at 55 and 60 °C had germination, germination index and vigor of rice seed were not statistically different from control 1 and control 2. The germination of rice seeds was not statistically different during storage. The germination index was the highest at the 4<sup>th</sup> month. The vigor test with the accelerated aging method was not statistically different between the 2<sup>nd</sup> to 8<sup>th</sup> months. Therefore, RF heating at 55°C to dispose insects can be used without affecting on rice seed quality throughout the storage period.

**Keywords:** radio frequency, seed, storage

#### บทคัดย่อ

งานวิจัยนี้มีวัตถุประสงค์เพื่อศึกษาผลของการให้ความร้อนด้วยคลื่นความถี่วิทยุ (RF) ที่ความถี่ 27.12 MHz ระดับพลังงาน 15 kW ต่อคุณภาพเมล็ดพันธุ์ข้าวสันป่าตอง 1 ในระหว่างการเก็บรักษา ที่ความชื้นเมล็ดพันธุ์เริ่มต้น 10.50 เปอร์เซ็นต์ วางแผนการทดลองแบบ split plot จำนวน 4 ชั้น ปัจจัยหลัก คือ วิธีการอบ ได้แก่ การอบแห้งด้วยลมร้อน (ชุดควบคุม 1) และ การอบแห้งด้วยลมร้อนร่วมกับการรมด้วยฟอสฟีน (ชุดควบคุม 2) เมล็ดพันธุ์ที่ให้ความร้อนด้วย RF ที่อุณหภูมิ 55, 60 และ 65 องศาเซลเซียส ปัจจัยรอง คือ ระยะเวลาในการเก็บรักษา (0, 1, 2, 3, 4, 5, 6, 7 และ 8 เดือน) น้ำหนัก 5 กิโลกรัม บรรจุในกระสอบพลาสติกขนาด 38X48 เซนติเมตร เก็บรักษาไว้ในภาชนะปิด พบร่องการให้ความร้อนด้วย RF ที่อุณหภูมิ 55 และ 60 องศาเซลเซียส เมล็ดพันธุ์ข้าวมีความคงอก ดัชนีความคงอก และความแข็งแรงไม่แตกต่างจากชุดควบคุม 1 และชุดควบคุม 2 ในระหว่างการเก็บรักษาเมล็ดพันธุ์ข้าวมีความคงอกไม่แตกต่างกันทางสถิติ ค่าดัชนีความคงอกมีค่าสูงสุดในเดือนที่ 4 ความแข็งแรงโดยวิธีเร่งอายุไม่มีความแตกต่างกันทางสถิติระหว่างเดือนที่ 2 ถึง 8 ดังนั้นการให้ความร้อนด้วย RF ที่อุณหภูมิ 55 องศาเซลเซียส เพื่อกำจัดแมลงสามารถใช้ได้โดยไม่มีผลต่อคุณภาพเมล็ดพันธุ์ข้าวตลอดระยะเวลาการเก็บรักษา

**คำสำคัญ:** คลื่นความถี่วิทยุ เมล็ดพันธุ์ การเก็บรักษา

#### คำนำ

กระบวนการปรับปรุงสภาพเมล็ดพันธุ์ข้าวของศูนย์เมล็ดพันธุ์ข้าว กรมการข้าว หลังจากเมล็ดพันธุ์ข้าวผ่านการทำความสะอาด และการอบลดความชื้นแล้ว เมล็ดพันธุ์ข้าวจะถูกนำไปคัดลอกสารเคมีป้องกันโคงโคและแมลงเป็นขั้นตอนสุดท้ายก่อนบรรจุเมล็ดพันธุ์ลงในกระสอบพลาสติกสำหรับการเก็บรักษา เพื่อรักษาความสดใหม่ สารเคมีที่ใช้คือคลอร์มาลีดพันธุ์เพื่อป้องกันกำจัดแมลงที่ติดมากับเมล็ดพันธุ์ข้าว ได้แก่ สารคลอร์ไฟฟิฟอส (chlorpyrifos) และในระหว่างการเก็บรักษาจะใช้การรมด้วยสารฟอสฟีน (phosphine) เพื่อป้องกันแมลงศัตรูข้าวในโรงเก็บด้วย แต่ในปี 2563 ได้มีประกาศกระทรวงอุตสาหกรรม เรื่อง บัญชีรายชื่อวัตถุอันตราย (ฉบับที่ 6) ให้ยกเลิกการใช้สารคลอร์ไฟฟิฟอส โดยมีผลบังคับใช้ตั้งแต่วันที่ 1 มิถุนายน 2563 (ราชกิจจานุเบกษา, 2563) จึงทำให้กระบวนการปรับปรุงสภาพเมล็ดพันธุ์ข้าวไม่สามารถคัดลอกสารเคมีป้องกันกำจัดแมลง ประกอบกับการเก็บรักษาเมล็ดพันธุ์ข้าวของศูนย์เมล็ดพันธุ์ข้าวเก็บรักษาในสภาพเปิด (open storage) แมลงศัตรูข้าวสามารถสร้างความเสียหาย

<sup>1</sup> ศูนย์เมล็ดพันธุ์เชียงใหม่ กองเมล็ดพันธุ์ข้าว กรมการข้าว เชียงใหม่ 50230

<sup>1</sup> Chiang Mai Rice Seed Center, Rice Seed Division, Rice Department, Chiang Mai 50230, Thailand

<sup>2</sup> ภาควิชาพืชศาสตร์และปูร్వพืชศาสตร์ คณะเกษตรศาสตร์ มหาวิทยาลัยเชียงใหม่ เชียงใหม่ 50200

<sup>2</sup> Department of Plant and Soil Sciences, Faculty of Agriculture, Chiang Mai University, Chiang Mai 50200, Thailand

ให้กับเมล็ดพันธุ์ข้าวที่เก็บรักษา ทำให้สูญเสียคุณภาพของเมล็ดพันธุ์ข้าว ส่งผลให้คุณภาพไม่ผ่านมาตรฐานเมล็ดพันธุ์สำหรับจำหน่าย

ความร้อนจากคลื่นความถี่วิทยุ (radio frequency : RF) เกิดขึ้นจากคลื่นแม่เหล็กไฟฟ้าในระดับความถี่วิทยุ ถูกปล่อยผ่านไปยังวัตถุที่มีคุณสมบัติได้อิเล็กทริก ทำให้วัตถุที่มีพันธะโมเลกุล 2 ข้าว เช่น โมเลกุลของน้ำ เมื่อโมเลกุลของทิศทางของคลื่นแม่เหล็กไฟฟ้าจะเกิดการสั่นสะเทือน ทำให้เกิดพลังงานสะสมเป็นความร้อนจากการเสียดทานของโมเลกุล (Nijhuis *et al.*, 1998) ซึ่งเกิดความร้อนภายในวัตถุอย่างรวดเร็วและทั่วถึงในระยะเวลาสั้น วัตถุที่มีน้ำเป็นองค์ประกอบจะมีความร้อนเกิดขึ้นภายใน แมลงซึ่งมีน้ำบริโภค 70 เปอร์เซ็นต์ สามารถดูดซับพลังงานได้เร็วและก่อให้เกิดความร้อนในตัวแมลงได้เร็วกว่าเมล็ดข้าวเปลือกจึงเกิดความร้อนขึ้นมากกว่าและรวดเร็วกว่า แมลงอาจตายได้อย่างรวดเร็วโดยที่เมล็ดข้าวยังไม่ถูกทำลายและไม่มีผลต่อกุณภาพของข้าว (สถาบันวิจัยเทคโนโลยีหลังการเก็บเกี่ยว, 2551) นอกจากนี้ กฤษณา (2552) พบว่าการให้ความร้อนจาก RF ความถี่ 27.12 MHz อุณหภูมิ 70 องศาเซลเซียส ระยะเวลา 150 วินาทีขึ้นไป สามารถกำจัดมอดหัวป้อมในระยะตัวเต็มวัยได้ 100 เปอร์เซ็นต์ และการให้ความร้อนด้วย RF ระยะเวลา 220 วินาที ในข้าวพันธุ์ข้าวดอกมะลิ 105 สามารถกำจัดผีเสื้อข้าวเปลือกในระยะตัวเด็กได้อย่างสมบูรณ์ (อัมพร และคณะ, 2555) ซึ่งชัชพงษ์ และคณะ (2557) ได้ศึกษาการใช้ RF เพื่อควบคุมมอดพันเดื่อยในข้าวสารพันธุ์ข้าวดอกมะลิ 105 พบร่วมที่ระดับอุณหภูมิ 70 องศาเซลเซียส เป็นระยะเวลา 120 วินาที เป็นการใช้ RF ที่เหมาะสมที่สุดที่ทำให้แมลงตาย 100 เปอร์เซ็นต์ และไม่พบรอบแมลงรุ่นลูก ( $F_1$ ) และการให้ความร้อนจาก RF ที่อุณหภูมิ 65 องศาเซลเซียส เป็นเวลา 90 วินาที ทำให้ตัวเต็มวัยของเหหานังสือตายอย่างสมบูรณ์ และไม่พบรอบรุ่นลูก ( $F_1$ ) (กฤตพจน์ และคณะ 2564) ในด้านคุณภาพของเมล็ดพันธุ์ 试验ศักดิ์ และคณะ (2562) รายงานว่าการให้ความร้อนด้วย RF ที่อุณหภูมิ 55 องศาเซลเซียส เป็นระยะเวลา 3 นาที ไม่มีผลต่อกำลังชี้น ความคงอก และความแข็งแรงของเมล็ดพันธุ์ข้าวเนื่องจากยังไม่มีรายงานผลของการให้ความร้อนด้วย RF ที่อุณหภูมิสูงกว่า 55 องศาเซลเซียส ต่อคุณภาพการเก็บรักษาเมล็ดพันธุ์ข้าว ดังนั้น งานวิจัยนี้จึงมีวัตถุประสงค์เพื่อศึกษาผลของการให้ความร้อนด้วย RF ที่อุณหภูมิ 55, 60 และ 65 องศาเซลเซียส ต่อคุณภาพเมล็ดพันธุ์ข้าวสั้นป่าตอง 1 ในระหว่างการเก็บรักษา

### อุปกรณ์และวิธีการ

เมล็ดพันธุ์ข้าวพันธุ์สั้นป่าตอง 1 ที่ผ่านการปรับปรุงสภาพเมล็ดพันธุ์และอบแห้งด้วยลมร้อนจนที่ความชื้นเริ่มต้น 10.5 เปอร์เซ็นต์ นำมาผ่านความร้อนจาก RF ความถี่ 27.12 MHz ระดับพลังงาน 15 kW โดยวางแผ่นการทดลองแบบ split plot จำนวน 4 ชั้น ปัจจัยหลัก ได้แก่ เมล็ดพันธุ์อบแห้งด้วยลมร้อน (ชุดควบคุม 1) ที่อุณหภูมิ 40 องศาเซลเซียส ระยะเวลา 48 ชั่วโมง อบแห้งด้วยลมร้อนร่วมกับการรวมด้วยฟอสฟีน (ชุดควบคุม 2) เมล็ดพันธุ์ที่ให้ความร้อนด้วย RF ที่อุณหภูมิ 55, 60 และ 65 องศาเซลเซียส ระยะเวลา 0 นาที ปัจจัยรอง ได้แก่ ระยะเวลาในการเก็บรักษา (0, 1, 2, 3, 4, 5, 6, 7 และ 8 เดือน) จากนั้นบรรจุเมล็ดพันธุ์ข้าวจำนวน 5 กิโลกรัม ในกระสอบพลาสติกขนาด 38X48 เซนติเมตร เก็บรักษาไว้ในภาชนะปิด ที่อุณหภูมิห้อง สู่มตรวจสอบคุณภาพเมล็ดพันธุ์ทุก 1 เดือนตลอดระยะเวลาเก็บรักษาได้แก่ ความคงอกเมล็ดพันธุ์ (germination test) โดยวิธี between paper (BP) (ISTA, 2019) ดัชนีการคงอกร่องเมล็ดพันธุ์ (germination index) (AOSA, 2002) ความแข็งแรงโดยวิธีการเร่งอายุ (seed vigor by accelerate aging test) (กองเมล็ดพันธุ์ข้าว, 2564) นำข้อมูลที่ได้ไปวิเคราะห์ความแปรปรวน (analysis of variance) และเปรียบเทียบความแตกต่างของค่าเฉลี่ยคุณภาพเมล็ดพันธุ์ข้าวโดยวิธี least significant difference (LSD) ที่ระดับความเชื่อมั่น 95 เปอร์เซ็นต์

### ผล

การให้ความร้อนด้วย RF ที่อุณหภูมิ 55 และ 60 องศาเซลเซียส เมล็ดพันธุ์ข้าวมีความคงอก ดัชนีความคงอก และความแข็งแรงโดยวิธีเร่งอายุไม่แตกต่างทางสถิติกับการอบแห้งด้วยลมร้อน (ชุดควบคุม 1) และอบแห้งด้วยลมร้อนร่วมกับการรวมด้วยฟอสฟีน (ชุดควบคุม 2) โดยมีความคงอกร่างกาย 94.31, 94.61, 95.92 และ 96.50 เปอร์เซ็นต์ ตามลำดับ ดัชนีความคงอกร่างกาย 23.78, 23.57, 24.25 และ 24.48 ตามลำดับ และมีความแข็งแรงเท่ากับ 89.25, 89.78, 91.22 และ 90.72 เปอร์เซ็นต์ ตามลำดับ (Table 1)

ในระหว่างการเก็บรักษาเมล็ดพันธุ์มีการเปลี่ยนแปลงความชื้นน้อย (10.90 - 12.11 เปอร์เซ็นต์) และมีความคงอกรอยู่ในช่วง 93.95 - 96.90 เปอร์เซ็นต์ ดัชนีความคงอกรอยู่เพิ่มน้ำหนักสูงสุดในการเก็บรักษาเดือนที่ 4 เท่ากับ 29.25 และมีค่าลดเท่ากับ 20.13 ในเดือนที่ 8 ส่วนความแข็งแรงโดยวิธีเร่งอายุมีค่าเพิ่มน้ำหนักเท่ากับ 92.70 - 95.15 เปอร์เซ็นต์ ในระหว่างการเก็บรักษาเดือนที่ 2 ถึงเดือนที่ 8 (Table 1)

Table 1 Moisture content, germination, germination index and vigor of rice seed during storage

Factor	Moisture content (%)	Germination (%)	Germination index	Vigor (%)
<b>Treatment (A)</b>				
Control 1	11.64 b	95.92 a	24.25 a	91.22 a
Control 2	11.98 a	96.50 a	24.48 a	90.72 a
RF 55 °C	11.42 c	94.31 a	23.78 a	89.25 a
RF 60 °C	11.18 d	94.61 a	23.57 a	89.78 a
RF 65 °C	11.08 d	83.67 b	20.00 b	80.81 b
F-test	**	*	**	**
LSD <sub>.05</sub>	0.22	4.28	1.28	2.36
<b>Storage period (B)</b>				
0 month	11.13 cd	75.15 c	16.51 g	76.65 c
1 month	10.90 d	94.90 ab	24.99 c	62.75 d
2 month	11.19 c	95.00 ab	25.17 c	94.40 ab
3 month	11.55 b	95.30 ab	26.99 b	93.40 ab
4 month	12.05 a	93.95 b	29.25 a	92.70 b
5 month	11.98 a	94.15 b	21.81 e	93.25 ab
6 month	12.11 a	96.90 a	21.26 e	95.15 a
7 month	11.06 cd	96.60 a	22.83 d	93.50 ab
8 month	11.19 c	95.05 ab	20.13 f	93.40 ab
F-test	**	**	**	**
LSD <sub>.05</sub>	0.27	2.29	0.78	2.37
A X B	*	*	*	**
C.V.(%)	3.71	3.93	5.34	4.29

Means with different letters within a column indicate a significant difference according to least significant difference (LSD) test

ns = not significant; \* significantly different at 0.05 probability level; \*\* significantly different at 0.01 probability level.

### วิจารณ์ผล

การให้ความร้อนด้วย RF ที่อุณหภูมิ 55 และ 60 องศาเซลเซียส ไม่มีผลต่อความคงอยู่นีการงอก และความแข็งแรง ของเมล็ดพันธุ์ข้าว แต่การให้ความร้อนด้วย RF ที่อุณหภูมิ 65 องศาเซลเซียส มีผลให้คุณภาพเมล็ดพันธุ์ข้าวลดลง ทั้งความคงอยู่ นีการงอก และความแข็งแรง อธิบายได้ว่าอุณหภูมิที่สูงขึ้นจะส่งผลโดยตรงต่อปฏิกิริยาเคมีและกิจกรรมของเยื่อเมล็ดในกระบวนการทางสรีรวิทยาและเคมีต่างๆ ภายในเมล็ด ทำให้เกิดสารประกอบอิสระที่เป็นอันตรายต่อปรัตีนและเนื้อไชเมล็ด ทำลาย (วงศ์จันทร์, 2529) สถาคลล่องกับ ปิยัชตรา (2552) รายงานว่าการให้ความร้อนแก่เมล็ดพันธุ์ข้าวบาร์เลย์ด้วย RF ที่อุณหภูมิ 60, 65, 70 และ 75 องศาเซลเซียส เป็นระยะเวลา 0, 1 และ 3 นาที พบร่วมความคงอยู่ ความมีชีวิต และดัชนีการงอกลดลงเมื่ออุณหภูมิและระยะเวลาเพิ่มขึ้น และการให้ความร้อนด้วย RF ที่อุณหภูมิ 80 องศาเซลเซียส เป็นระยะเวลา 5 นาที มีผลทำให้ความมีชีวิตของเมล็ดพันธุ์ข้าวขาดอกรากมະลิ 105 ลดลง เท่ากับ 12 เปอร์เซ็นต์ (พัฒนา, 2550)

เมล็ดพันธุ์ข้าวมีความคงอยู่สูงตลอดอายุการเก็บรักษาเป็นผลจากการเก็บรักษาในสภาพป้องกันการแผลเปลี่ยนความชื้นได้ดี ทำให้สามารถรักษาไว้ดับความคงอยู่ของเมล็ดพันธุ์ข้าวไว้ได้ตลอดอายุการเก็บรักษา การเก็บรักษา เมล็ดพันธุ์ข้าวสัมปัตติ 1 ในเดือนที่ 0 ให้ความคงอยู่นีการงอก และความแข็งแรงที่ต่ำกว่าการเก็บรักษาในเดือนอื่นๆ เนื่องจากเมล็ดพันธุ์ข้าวสัมปัตติ 1 หลังการเก็บเที่ยงจะมีการพักตัว ประมาณ 8 สัปดาห์ (กรมการข้าว, 2552) เมล็ดพันธุ์ข้าว ที่ผ่านการปรับปรุงสภาพเมล็ดพันธุ์โดยอบแห้งด้วยลมร้อน จะทำให้ระยะเวลาการพักตัวลดลง ดังนั้นการเก็บรักษาในเดือนที่ 1 เมล็ดพันธุ์ข้าวจึงมีความคงอยู่และดัชนีความคงอยู่เพิ่มขึ้น แสดงให้เห็นว่าเมล็ดพันธุ์ข้าวออกจากการพักตัว อย่างไรก็ตามความแข็งแรงจะเพิ่มขึ้นในเดือนที่ 2 จากที่กล่าวมาจะเห็นได้ว่าการให้ความร้อนด้วย RF ที่อุณหภูมิ 55 และ 60 องศาเซลเซียส ไม่มีผลต่อคุณภาพเมล็ดพันธุ์ข้าว ดังนั้นการใช้เครื่องตั้งแบบสำหรับการให้ความร้อนด้วย RF ในกระบวนการคุณหรือกำจัดแมลงในวัสดุ การเกษตร สามารถใช้เป็นทางเลือกให้กับผู้ผลิตเมล็ดพันธุ์ข้าวในกรณีที่ไม่ต้องคุกหรือรวมสาหร่ายจัดแมลง

## สรุป

การให้ความร้อนด้วย RF ที่อุณหภูมิ 55 และ 60 องศาเซลเซียส ไม่มีผลต่อคุณภาพเมล็ดพันธุ์ข้าว ดังนั้นการให้ความร้อนด้วย RF ที่อุณหภูมิ 55 องศาเซลเซียส เพื่อกำจัดแมลง สามารถใช้ได้โดยไม่มีผลต่อคุณภาพเมล็ดพันธุ์ข้าวสันป่าตอง 1 ทั้งความคงดั้นนีการออก และความแข็งแรงของเมล็ดพันธุ์ข้าวตลอดระยะเวลาการเก็บรักษา 8 เดือน

### เอกสารอ้างอิง

- กฤตพจน์ นันตะภูล, ณัฐรุ่งษ์ หมื่นมาณี และเยาวลักษณ์ จันทร์บ่าง. 2564. การใช้คลื่นความถี่วิทยุในการควบคุมเหหงส์อี (Liposcelis entomophila) ในเมล็ดข้าวหอมมะลิ. ганเงห์ตระ 49 (1): 119-129.
- กฤชณา สุเมธ. 2552. ผลของการใช้คลื่นความถี่วิทยุต่อมดหัวป้อม Rhypopertha dominica (F.) และคุณภาพของข้าวสารพันธุ์ข้าวดอกมะลิ 105. วิทยานิพนธ์วิทยาศาสตร์มหาบัณฑิต. มหาวิทยาลัยเชียงใหม่, เชียงใหม่. 69 น.
- กรมการข้าว. 2552. องค์ความรู้เรื่องข้าว. [ออนไลน์]. แหล่งที่มา: <http://www.ricethailand.go.th/Rkb/fact%20sheet/index.php.htm>. (31 พฤษภาคม 2564).
- กองเมล็ดพันธุ์ข้าว. 2564. การเพิ่มประสิทธิภาพการควบคุมและการตรวจสอบคุณภาพเมล็ดพันธุ์ข้าว. เอกสารประกอบการฝึกอบรม. กลุ่มควบคุม คุณภาพ, กองเมล็ดพันธุ์ข้าว, กรมการข้าว. กรุงเทพฯ. 121 น.
- จังจันทร์ ดวงพัตร. 2529. เทคนิคลายเมล็ดพันธุ์. กลุ่มเหหงส์เชือกเขตร. กรุงเทพฯ. 210 น.
- ชาชงช์ ศรีคำ, เยาวลักษณ์ จันทร์บ่าง และมนัสศักดิ์ กาฤติกามนช. 2557. การใช้คลื่นความถี่วิทยุเพื่อควบคุมมดฟันเลือยในข้าวสารพันธุ์ข้าวดอกมะลิ 105. วารสารเกษตร 30 (3): 253-262.
- ปิยลัต วงศ์ราชนราก. 2552. การควบคุมเชื้อร้ายที่ติดมากับเมล็ดพันธุ์โดยการใช้คลื่นความถี่วิทยุเพื่อคงคุณภาพเมล็ดพันธุ์ข้าวบำรุง. วิทยานิพนธ์ ปริญญาโท. มหาวิทยาลัยเชียงใหม่, เชียงใหม่. 62 น.
- พัทยา จันทร์แหง. 2550. ผลของการใช้คลื่นความถี่วิทยุต่อบรรรด์ต้านเชื้อร้ายที่ติดมากับเมล็ดพันธุ์และคุณภาพเมล็ดพันธุ์ข้าวขาวดอกมะลิ 105. วิทยานิพนธ์ปริญญาโท. มหาวิทยาลัยเชียงใหม่, เชียงใหม่. 82 น.
- ราชกิจจานุเบกษา. 2563. ประกาศกระทรวงอุดหนุนกรรມ. เรื่อง บัญชีรายรื่นอุดหนุนตарат (ฉบับที่ 6). เล่ม 137 ตอนพิเศษ 117 ง. หน้า 56-57.
- สงวนศักดิ์ ธนาพูนพงษ์, ชวัลิต อินทร์พงษ์, วิชรัตน์ รัชานันพนธ์ และศรีสวัสดิ์ ทำดี. 2562. ผลของการให้ความร้อนด้วยคลื่นความถี่วิทยุที่มีต่อคุณภาพของเมล็ดพันธุ์ข้าวเหนียวพันธุ์สันป่าตอง 1 ระหว่างการเก็บรักษา. การประชุมทางวิชาการเมล็ดพันธุ์พืชแห่งชาติ ครั้งที่ 16. วันที่ 18-21 มิถุนายน 2562. มหาวิทยาลัยราชภัฏเทพรัตนราชสุดา จังหวัดลพบุรี. หน้า 140-147.
- สถาบันวิจัยเทคโนโลยีเพลิงกากอุตสาหกรรม. เรื่อง บัญชีรายรื่นอุดหนุนตarat (ฉบับที่ 6). รายงานฉบับสมบูรณ์. เรื่องการใช้คลื่นความถี่วิทยุเพื่อเป็นทางเลือกใหม่ในการจัดการหลังการเก็บเกี่ยวผลผลิตทางการเกษตร. [ออนไลน์]. แหล่งที่มา: <https://www.phtnet.org/download/phtic-research/110.pdf>. 62 น. (31 พฤษภาคม 2564).
- อัมพร บัวพุด, เยาวลักษณ์ จันทร์บ่าง และสุชาดา เดิมรศิลป์. 2555. ผลของการใช้ความร้อนด้วยคลื่นความถี่วิทยุต่อมีเสื้อข้าวเปลือกและคุณภาพการสีของข้าวพันธุ์ข้าวดอกมะลิ 105. วารสารเกษตร 28 (2): 137-144.
- Association of Official Seed Analysis (AOSA). 2002. Seed Vigor Testing Handbook (revised 2002). Contribution No. 32 to the Handbook on Seed Testing. Association of Official Seed Analysis, Lincoln. 73 p
- International Seed Testing Association (ISTA). 2019. International Rules for Seed Testing 2019. The International Seed Testing Association (ISTA), Bassersdorf, Switzerland. 300 p.
- Nijhuis, H.H., H.M. Torringa, S. Muresan, D. Yuksel, C. Leguijt and W. Kloek. 1998. Approaches to improving the quality of dried fruit and vegetables. Trends in Food Science and Technology 9: 13-20.

## ความเป็นไปได้ในการพบสารพิษตกค้างในเนื้อและเปลือกของส้มสายน้ำผึ้ง

The Possibility of Pesticide Residue Detection in Pulp and Peel of Tangerine Fruit cv. Sai Num Phung

ชัยณรงค์ รัตนกรีฑากุล<sup>1,2</sup> จุฬารัตน์ พัฒนาทร<sup>3</sup> ปัญญวัฒน์ เอกอิษowitzakul<sup>3</sup> พิสุทธิ์ เชียวนะ<sup>1,2</sup> สรรสเริญ รังสุวรรณ<sup>1,2</sup>  
และ รัตยา พงศ์พิสุทธา<sup>1,2</sup>

Chainarong Rattanakreetakul<sup>1,2</sup>, Jutarat Pattanatorn<sup>3</sup>, Panyawat Aekitsawatwikul<sup>3</sup>, Pisut Keawmanee<sup>1,2</sup>, Sansern Rangsawan<sup>1,2</sup>,  
and Ratiya Pongpisutta<sup>1,2</sup>

### Abstract

Pesticide residues are one of the major problems in the food supply system within the producing countries. Tangerine fruit cv. Sai Num Phung was highly found the maximum residue limits (MRL) exceed to Thai FDA No. 387 (B.E. 2560) pesticides residue in foods. Tangerine fruit cv. Sai Num Phung farm practice of pre-harvest interval (PHI) of 7–15 days was managed. The result of pesticides residue by GT-test kit of 355 tangerine fruit samples from the farm during August 2019 to July 2020 referred 56.6% (199 samples) was unsafe products. For further elucidation, 10 samples of the unsafe result from GT-test kit were separated into pulp and peel of tangerine fruit. The samples were extracted with QuEChERS, and the extracts were analyzed with GC/ MS comparing to 116 standard pesticides. Pesticide residue on fruit pulp was not found to exceed the Thai standard but the residue on the fruit peel was founded. They found pyridaben 8 samples (0.70, 0.76, 0.05, 0.04, 0.03, 0.09, 0.04 and 0.05 mg/kg) ethion 5 samples (19.40, 20.67, 4.63, 3.71 and 11.35 mg/kg), cypermethrin 4 samples (0.40, 1.45, 2.08 and 1.99 mg/kg), tebuconazole 4 samples (1.76, 1.21, 0.17 and 1.27 mg/kg) with the MRL limit at 0.01, 2.00, 0.3 and 0.01 mg/kg, respectively. These referred that the pesticide residues accumulated on tangerine fruit cv. Sai Num Phung peel than the pulp part.

**Keywords:** tangerine fruit, pesticide residue, food safety

### บทคัดย่อ

สารพิษตกค้างในผลผลิตเกษตรเป็นปัญหาที่มีความสำคัญต่อระบบการผลิตสินค้าเกษตรของไทยและทั่วโลก โดยส้มสายน้ำผึ้งจัดเป็นผลผลิตที่ตรวจพบสารพิษตกค้างเกินค่าปริมาณสารพิษตกค้างสูงสุด (MRL) ตามประกาศกระทรวงสาธารณสุข เลขที่ 387 พ.ศ. 2560 เมื่อ อาหารที่มีสารพิษตกค้าง อยู่ปอยครั้ง จากการติดตามแปลงปลูกส้มที่เก็บเกี่ยวโดยใช้ระบบปลดภัยหลังการเก็บเกี่ยว 7-15 วัน ทำการสุมตรวจผลผลิตส้มสายน้ำผึ้งทั้งผลด้วยวิธี GT-test kit จำนวน 355 ตัวอย่าง ในช่วงเดือนสิงหาคม 2562 - กรกฎาคม 2563 พบผลส้มมีสารพิษตกค้างในระดับที่ไม่ปลอดภัยจำนวน 199 ตัวอย่าง คิดเป็น 56.06% จากนั้นสุมผลส้ม 10 ตัวอย่างที่ผลวิเคราะห์ GT-test kit พบไม่ปลอดภัย แยกส่วนเปลือกและเนื้อของส้มสายน้ำผึ้ง นำมาตรวจสารพิษตกค้างโดยสกัดด้วยวิธี QuEChERS และวิเคราะห์สารพิษตกค้างด้วยเครื่อง Gas chromatography mass spectrometry โดยเบรี่ยบเทียบสารพิษมาตรฐาน 116 พารามิเตอร์ ผลการวิเคราะห์ส้มสายน้ำผึ้งแบบแยกเนื้อและเปลือก ในส่วนของเนื้อไม่พบสารพิษตกค้างที่เกินค่ามาตรฐาน ขณะที่เปลือกส้มพบสาร pyridaben จำนวน 8 ตัวอย่าง (0.70, 0.76, 0.05, 0.04, 0.03, 0.09, 0.04 และ 0.05 mg/kg) ethion จำนวน 5 ตัวอย่าง (19.40, 20.67, 4.63, 3.71 และ 11.35 mg/kg) cypermethrin จำนวน 4 ตัวอย่าง (0.40, 1.45, 2.08 และ 1.99 mg/kg) และ tebuconazole จำนวน 4 ตัวอย่าง (1.76, 1.21, 0.17 และ 1.27 mg/kg) จากผลที่ทำให้ทราบ 0.01, 2.00, 0.3 และ 0.01 mg/kg ตามลำดับ ซึ่งชี้ให้เห็นว่าสารพิษตกค้างมีการสะสมบริเวณเปลือกได้มากกว่าบริเวณเนื้อของผลส้มสายน้ำผึ้ง

**คำสำคัญ:** ส้มสายน้ำผึ้ง สารพิษตกค้าง อาหารปลอดภัย

<sup>1</sup> ภาควิชาโรคพืช คณะเกษตร กำแพงแสน มหาวิทยาลัยเกษตรศาสตร์ วิทยาเขตกำแพงแสน จ. นครปฐม 73140

<sup>1</sup> Department of Plant Pathology, Faculty of Agriculture at Kamphaeng Saen, Kasetsart University, Kamphaeng Saen Campus, Nakhon Pathom 73140

<sup>2</sup> ศูนย์นวัตกรรมเทคโนโลยีหลังการเก็บเกี่ยว กระทรวงการอุดมศึกษา วิทยาศาสตร์ วิจัยและนวัตกรรม กทม. 10400

<sup>2</sup> Postharvest Technology Innovation Center, Ministry of Higher Education, Science, Research and Innovation, Bangkok 10400.

<sup>3</sup> บริษัท สยามแม็คโคร จำกัด (มหาชน) 1468 ถนนพัฒนาการ เขตดอนเมือง กทม. 10250

<sup>3</sup> Siam Makro Public Company Limited 1468 Phatthanakan Rd, Suan Luang, Bangkok 10250

คำนำ

สัมจัดเป็นผลไม้ที่ได้รับความนิยมในการบริโภคของประชาชนโดยทั่วไป ในการผลิตส้มมักพบศัตตรูสำคัญหลายชนิดที่ รบกวนการผลิต เช่น โรคราคะเน่าในคนเน่าที่เกิดจากเชื้อรา *Phytophthora parasitica*, เพลี้ยไฟ, ไรเดง, หนอนชอนใบส้ม เป็นต้น (คำไฟวรรณ และคณะ, 2542; นิพนธ์ และคำไฟวรรณ, 2546) สารเคมีป้องกันกำจัดศัตตรูพืชถูกนำมาใช้เป็นทางเลือกในการ ควบคุมและป้องกันกำจัดศัตตรูพืชเพื่อให้มีผลผลิตออกสู่ท้องตลาดตามความต้องการของผู้บริโภค ปัจจุบันสารพิษตกค้างใน ผลผลิตเกษตรมีการควบคุมโดยกระทรวงสาธารณสุข ผ่านทางประกาศกระทรวงสาธารณสุข เลขที่ 387 พ.ศ. 2560 เรื่อง อาหารที่มีสารพิษตกค้าง เพื่อใช้เป็นเกณฑ์ควบคุมปริมาณสารพิษตกค้างที่ป่นปี้ก่อนในผลผลิตเกษตร โดยปัญหาสารพิษ ตกค้างในสัมจัดเป็นผลผลิตที่ได้รับความสนใจจากผู้บริโภค ผู้จำหน่าย ภาครัฐ และองค์กรอิสระเสมอมา โดยในปี 2563 เครือข่ายเตือนภัยสารเคมีกำจัดศัตตรูพืช ได้รายงานว่าส้มสายน้ำผึ้งจากจำนวน 16 ตัวอย่าง คิดเป็น 81% พบริษัทเกิน มาตรฐานที่กฎหมายกำหนด ดังนั้นจึงทำการศึกษาความเป็นไปได้ในการพบสารพิษตกค้างในเนื้อและเปลือกของผลส้มสาย น้ำผึ้งเพื่อช่วยให้ผู้บริโภค มีความมั่นใจในการบริโภคส้มที่ผลิตในประเทศไทยได้

## อุปกรณ์และวิธีการ

## 1 การเก็บตัวอย่างผลผลิต และตรวจสารพิษตกค้างด้วย GT test-kit

ประสานงานกเขตกรุงพื้นที่การผลิตส้มในอำเภอฝาง จังหวัดเชียงใหม่ ทำการสูมเก็บตัวอย่างผลส้มที่มีการเว้นระยะการใช้สารเคมีกำจัดศัตรูพืชก่อนการเก็บเกี่ยวเป็นระยะ 7-15 วัน ในช่วงเดือนสิงหาคม 2562 - กรกฎาคม 2563 นำผลส้มทั้งหมดวิเคราะห์สารพิษทางด้านด้วยชุด GT-test kit (ห้างจีทีการค้า, ไทย) ตามวิธีการของผู้ผลิต ทำการแปลงผลและบันทึกผลตามคำแนะนำของผู้ผลิต แยกตัวอย่างผลส้มที่มีผลการวิเคราะห์อยู่ในเกณฑ์ที่ไม่ปลอดภัยเพื่อใช้ในการทดลองต่อไป

## 2 การวิเคราะห์สารพิษต่อก้างด้วยวิธี QuEChERS

นำอย่างผลลัมที่มีผลการวิเคราะห์สารพิษตกค้างด้วยชุด GT-test kit อยู่ในเกณฑ์ไม่ปลอดภัย แยกส่วนของเนื้อและเปลือกของผลลัมออกจากกัน ทำการสกัดสารพิษตกค้างโดยประยุกต์ใช้วิธีสกัดแบบ QuEChERS ด้วย EN 15662 method (Anastassiades et al., 2003) ด้วยชุดสกัด QuEChERS extract pouch, EN Method (Agilent Technology, USA) กำจัดสิ่งปนเปื้อนด้วย dispersive 15 mL, High Pigment (Agilent Technology, USA) นำของเหลวส่วนบนไประเหยให้หมดด้วย N<sub>2</sub>-evaporator และละลายกลับด้วย acetone:ethyl acetate:cyclohexane (2:1:1) และวิเคราะห์ปริมาณสารพิษด้วยเครื่อง Gas chromatography mass spectrometry รุ่น Agilent 7000D Triple Quadrupole Mass Spectrometer (Agilent Technology, USA) เปรียบเทียบกับสารพิษมาตรฐานจำนวน 116 ชนิด บันทึกปริมาณสารพิษตกค้างที่พบ มีหน่วยเป็นมิลลิกรัมต่อ กิโลกรัม เพื่อนำไปเปรียบเทียบกับปริมาณสารพิษตกค้างสูงสุด (Maximum Residue Limit; MRL) ตามประกาศกระทรวงสาธารณสุข เลขที่ 387 พ.ศ. 2560 เรื่อง อาหารที่มีสารพิษตกค้าง (ราชกิจจานเบกษา, 2560)

၂၈

จากการวิเคราะห์สารพิษตกค้างด้วยชุด GT-test kit ของผลผลิตสำมที่ได้รับจากการใช้สารเคมีกำจัดศัตรูพืชก่อนการเก็บเกี่ยวที่ระยะเวลา 7-15 วัน ในช่วงเดือนสิงหาคม 2562 - กรกฎาคม 2563 จำนวน 355 ตัวอย่าง ผลการวิเคราะห์พบว่ามีผลการวิเคราะห์อยู่ในเกณฑ์ไม่พบสารพิษตกค้าง 12 ตัวอย่าง พบรบสารพิษตกค้างอยู่ในระดับที่ปลодภัย 144 ตัวอย่าง และพบสารพิษตกค้างอยู่ในระดับที่ไม่ปลодภัย 199 ตัวอย่าง คิดเป็น 3.38, 40.56 และ 56.06% ตามลำดับ

จากการวิเคราะห์สารพิษตอกค้างด้วยเครื่อง GC/MS เปรียบเทียบกับสารพิษมาตรฐานจำนวน 116 ชนิด ในส่วนของเนื้อแล่เปลือกของผลส้มที่มีผลวิเคราะห์ด้วย GT-test kit พบรสารพิษตอกค้างอยู่ในระดับที่ไม่ปลดปล่อยจำนวน 10 ตัวอย่าง ส่วนของเนื้อส้มไม่พบสารพิษตอกค้างในทุกตัวอย่างที่ทำการวิเคราะห์ คิดเป็น 100% ส่วนเปลือกส้มพบสารพิษตอกค้างในทุกตัวอย่าง คิดเป็น 100% เมื่อเปรียบเทียบผลการวิเคราะห์กับปริมาณสารพิษตอกค้างสูงสุด (MRL) ตามประกาศกระทรวงสาธารณสุข เลขที่ 387 พ.ศ. 2560 เรื่อง อาหารที่มีสารพิษตอกค้าง พบร่วมเปลือกส้มพบสาร cypermethrin จำนวน 4 ตัวอย่าง (0.40, 1.45, 2.08 และ 1.99 mg/kg) diazinon จำนวน 1 ตัวอย่าง (0.02) ethion จำนวน 5 ตัวอย่าง (19.40, 20.67, 4.63, 3.71 และ 11.35 mg/kg) fipronil จำนวน 1 ตัวอย่าง (0.01) prothiofos จำนวน 3 ตัวอย่าง (0.11, 0.06 และ 0.87) pyridaben จำนวน 8 ตัวอย่าง (0.70, 0.76, 0.05, 0.04, 0.03, 0.09, 0.04 และ 0.05 mg/kg) tebuconazole จำนวน 4 ตัวอย่าง (1.76,

1.21, 0.17 และ 1.27 mg/kg) และ tetradifon จำนวน 2 ตัวอย่าง (0.01 และ 0.02) จากเกณฑ์ที่กำหนด 0.3, 0.01, 2.00, 0.005, 0.01, 0.01, 0.01 และ 0.01 mg/kg ตามลำดับ (Table 1)

Table 1 Analytical report of pesticide residues in peel of tangerine fruit

Pesticide (MRL in Citrus)	Sa1	Sa2	Sa3	Sa4	Sa5	Sa6	Sa7	Sa8	Sa9	Sa10
Bifenthrin (0.05 mg/kg)	ND	ND	ND	ND	ND	0.02	ND	ND	ND	ND
Cyfluthrin (0.3 mg/kg)	ND	ND	ND	ND	ND	ND	0.09	0.08	ND	0.09
Cypermethrin (0.3 mg/kg)	0.03	0.03	0.16	0.12	0.40	0.02	1.45	2.08	0.04	1.99
Diazinon (0.01 mg/kg)	ND	ND	ND	ND	ND	0.02	ND	ND	ND	ND
Ethion (2 mg/kg)	19.40	20.67	4.63	3.71	11.35	0.20	ND	ND	1.30	ND
Fipronil (0.005 mg/kg)	ND	ND	ND	ND	ND	ND	ND	ND	ND	0.01
Lambda- cyhalothrin (0.2 mg/kg )	ND	ND	ND	ND	0.09	0.03	0.07	0.07	ND	0.11
Malathion (7 mg/kg)	ND	ND	ND	ND	ND	ND	1.42	3.27	0.58	1.96
Metalaxyl (5 mg/kg)	ND	ND	0.30	0.24	1.79	ND	0.03	0.03	ND	0.03
Paclbutrazol (0.01 mg/kg)	0.03	0.02	ND	ND	ND	ND	ND	ND	ND	ND
Prothifos (0.01 mg/kg)	ND	ND	0.11	0.06	ND	ND	ND	ND	0.87	ND
Pyridaben (0.01 mg/kg)	0.70	0.76	ND	ND	0.05	0.04	0.03	0.09	0.04	0.05
Tebuconazole (0.01 mg/kg)	ND	ND	ND	ND	ND	ND	1.76	1.21	0.17	1.27
Tetradifon (0.01 mg/kg)	ND	ND	ND	ND	ND	ND	0.01	0.02	ND	ND

LOD = 0.01 mg/kg, ND : not detected

### วิจารณ์

การควบคุมความปลอดภัยทางอาหารในผลิตทางการเกษตร ก่อนนำส่งถึงผู้บริโภค มีการบังคับใช้มาตรฐานต่างๆ ตาม สภากองแขวงแห่งประจำยศินค้าหรือแหล่งจำหน่าย การกระจายสินค้าไปจุดจำหน่าย เช่น ตลาดสด หรือตลาดนัด ซึ่งเป็นตลาด เปิดมีโอกาสที่ความปลอดภัยทางอาหารอาจถูกละเลยได้ ในขณะที่การจำหน่ายผ่านแหล่งจำหน่ายที่แน่นอน เช่น ห้างค้าปลีก (super market) ต้องมีการควบคุมตลอดห่วงโซ่ผลผลิต ทั้งเบลนด์ผลิต และผู้ควบรวมผลผลิตส่งจำหน่าย สิ่งหนึ่งที่เป็นคุณสมบัติ ในการจัดการผลผลิตทางการเกษตรคือการpubสารตอกด้างในผลผลิตที่เกินค่าปริมาณสารพิษตอกด้างสูงสุด (MRL) ตามประกาศ กระทรวงสาธารณสุข เลขที่ 387 พ.ศ. 2560 สำหรับผลผลิตชนิดหนึ่งที่ผลการสูงตรวจพบไม่ปลอดภัยอยู่เสมอ (เครื่อข่ายเดือน กัญสารเคมีกำจัดศัตรูพืช, 2564) การตรวจพบสารตอกด้างในสัมแต่ละพื้นที่มีความแตกต่างกันเนื่องจากสภาพการจัดการ

ศัตตุรูพีช และสิ่งแวดล้อมในการผลิต Julianto (2019) ได้พิจารณาผลิตส้มในพื้นที่พบสารตกค้างชนิด profenofos ที่ไม่เกินค่ามาตรฐานที่กำหนดไว้ ในขณะที่รายงานจากเครือข่ายเตือนภัยสารเคมีกำจัดศัตตุรูพีช (2564) ตรวจพบสารพิษตกค้างที่สูงถึง 54% จากผักผลไม้ที่ผลิตในประเทศไทยและ 56% จากผักผลไม้ที่นำเข้า ทำให้เกิดความกังวลกับผู้บริโภคได้สูง อันเป็นอุปสรรคต่อการใช้อาหารเป็นยาปรุงรสด้วย อย่างไรก็ตามในการศึกษาครั้งนี้ไม่พบสารตกค้างที่เนื้อผลซึ่งใช้รับประทาน แต่สารตกค้างที่พบอยู่ในส่วนของเปลือกผลส้มทุกตัวอย่าง ทั้งนี้จากการตรวจสอบของ Han et al. (2015) ได้รายงานแนวทางการลดสารตกค้างของผลไม้จากสารกำจัดแมลงที่เปลือกของลูกแพร์ ซึ่งผู้บริโภคสามารถนำมาใช้เพื่อลดโอกาสการปนเปื้อนได้ เช่นเดียวกับ ชัยณรงค์ และคณะ (2564) ที่พบว่าสภาพการจัดการแปลงโดยเฉพาะการเร้นระบายน้ำชีดพื้นสารเป็นเวลา 28 วัน มีส่วนลดการพบสารตกค้างในทุเรียน และสารตกค้างที่พบบวบวนเปลือกมีมากกว่าส่วนของเนื้อผล

### สรุป

เกษตรกรที่ประสบปัญหานำส่งผลผลิตส้มสู่ตลาดคุณภาพจะมีการตรวจสอบสารตกค้างในผลผลิตส้ม โดยใช้ชุดตรวจสอบที่สามารถตรวจสารอิหร่านฟอสเฟตและคาร์บามेटเป็นเกณฑ์สำหรับการตัดสินเพื่อเก็บเกี่ยวผลส้ม โดยการใช้วิธีระยะเวลาปลดสาร 7 -15 วัน ทำให้ผู้ผลิตมีโอกาสเก็บผลผลิตส้มผิดพลาดถึง 56% ที่เป็นผลส้มไม่ปลดภัย และจากการสุมตรวจสอบแยกเปลือกและเนื้อด้วยใช้ GC/MS เปรียบเทียบกับสารกำจัดศัตตุรูพีช 116 ชนิด ผลการตรวจไม่พบสารกำจัดศัตตุรูพีชตกค้างที่เนื้อส้ม แต่สำหรับเปลือกส้มพบสารที่มีโอกาสตกค้างมากได้แก่ pyridaben, ethion, cypermethrin รองลงมาได้แก่ tebuconazole, prothiofos สำหรับ diazinon, fipronil และ tetradifon พบได้น้อย

### คำขอบคุณ

ขอขอบคุณห้องปฏิบัติการศิริวิทยาด้านโรคพืช ภาควิชาโรคพืช คณะเกษตร กำแพงแสน มหาวิทยาลัยเกษตรศาสตร์ สำหรับการเชื้อเพลิงสถานที่ และอุปกรณ์ในการทำวิจัย และศูนย์นวัตกรรมเทคโนโลยีหลังการเก็บเกี่ยว ระหว่างการอุดมศึกษา วิทยาศาสตร์วิจัยและนวัตกรรม กรุงเทพมหานคร

### เอกสารอ้างอิง

- เครือข่ายเตือนภัยสารเคมีกำจัดศัตตุรูพีช. 2564. เปรียบเทียบสารพิษตกค้างในผักผลไม้ นำเข้า และผลิตในประเทศไทย ย่างไรไม่แพ้กัน. [ออนไลน์].  
แหล่งที่มา: <https://www.thaipan.org/data/2333>. (28 มีนาคม 2564).
- ชัยณรงค์ รัตนกรีฑากุล, พิสุทธิ์ เชี่ยวณี, รัตตยา พงศ์พิสุทธิ, สรราสิริกุล วงศ์พิสุทธิ, ลักษณ์ บินคาเดอร์, วีระวัฒน์ จิระวังค์ และวีระพันธ์ จิตวงศ์ ชาลิต. 2564. ออกัสการพิษตกค้างในเปลือกและเนื้อของทุเรียนในจังหวัดชุมพร. การประชุมทางวิชาการของมหาวิทยาลัยเกษตรศาสตร์ ครั้งที่ 59 วันที่ 10-12 มีนาคม 2564, มหาวิทยาลัยเกษตรศาสตร์, กรุงเทพฯ. หน้า 354-361.
- นิพนธ์ ทวีชัย และคำไพรวรณ์ ภาครัตน์วุฒิ. 2546. โรคของส้มสาย养成 (ส้มไขกุ้ง) และการป้องกันกำจัด: โครงการถ่ายทอดเทคโนโลยีการจัดการโรคส้มเพื่อเพิ่มผลผลิต. ภาควิชาโรคพืช, คณะเกษตร, มหาวิทยาลัยเกษตรศาสตร์ กรุงเทพฯ.
- ราชกิจจานุเบกษา. 2560. ประกาศกระทรวงสาธารณสุข เลขที่ 387 พ.ศ. 2560 เรื่อง อาหารที่มีสารพิษตกค้าง.  
คำไพรวรณ์ ภาครัตน์วุฒิ. 2542. แมลงและโรคศัตตุรูส้มเขียวหวาน. ใน นานาสาระ สำนักข่าว. 181 หน้า,  
มหาวิทยาลัยเกษตรศาสตร์, กรุงเทพฯ.
- Anastassiades, M., S.J. Lehotay, D. Stajnbaher and F.J. Schenck. 2003. Fast and easy multiresidue method employing acetonitrile extraction/partitioning and "Dispersive Solid-Phase Extraction" for the determination of pesticide residues in produce. Journal of AOAC INTERNATIONAL 86: 412-431.
- Han, J.L., P. Fang, X.M. Xu, X.J., Li-Zheng., H.T. Shen and Y.P. Ren. 2015. Study of the pesticides distribution in peel, pulp and paper bag and the safety of pear bagging. Food Control 54: 338-346.
- Julianto, R. P. D. 2019. Analysis of organofosfat residual pesticidates on orange fruit in Poncokusumo District, Malang District.
- IOSR Journal of Agriculture and Veterinary Science 12: 48-59.

**ผลของดัชนีเก็บเกี่ยวต่อคุณภาพทางเคมีและกายภาพของผลอินทนิลพันธุ์บาร์บี**  
**Effect of Harvesting Index on Physico-chemical Qualities of Date Palm cv. Barhi**

ปภาลี ชุมภูรัตน์<sup>1,2,3</sup> พิมนาภัทร์ เชา沃ตุ๊พัฒน์<sup>1</sup> วุฒิกรรณ์ อ่อนดา<sup>1</sup> สุกานดา แซ่เสง<sup>1</sup> กัลยานอมิตรา<sup>1,3</sup> และแพรวาพรรณ จอมงาม<sup>1,2,3</sup>  
 Pavalee Chompoorat<sup>1,2,3</sup>, Pimnaphat Chaowuttiphat<sup>1</sup>, Wutthikorn Oonta<sup>1</sup>, Sukanda Saeeng<sup>1</sup>, Kal Kalayanamitra<sup>1,3</sup> and  
 Prawphan Jomngam<sup>1,2,3</sup>

**Abstract**

Effect of harvesting index on physico-chemical qualities of date palm cv. Barhi was investigated. Fruit samples were weekly harvested during 17-27 weeks after pollination. Fruit size and, weight, as well as the changes of appearance, total soluble solids, and level of astringency were measured. The results revealed that physico-chemical qualities of date palm were significantly different during 17-27 weeks after pollination. The samples could be grouped into 3 harvesting ranges; namely, 1) 17-20 weeks after pollination 2) 21-24 weeks after pollination and 3) 25-27 weeks after pollination. Herein, date palm harvested at 25-27 weeks after pollination had higher total soluble solids (28.66-34.25%) than the fruit harvested at 17-20 weeks after pollination (5.30-7.90%). The fruit harvested at 17-20 weeks after pollination; however, had higher level of astringency than those harvested at 25-27 weeks after pollination. Nonetheless, harvesting at 17-27 weeks after pollination had no significant effects on size and weight of date palms ( $p>0.05$ ).

**Keywords:** harvesting index, after pollination, date palm

**บทคัดย่อ**

การศึกษาผลของดัชนีเก็บเกี่ยวต่อคุณภาพทางเคมีและกายภาพของผลอินทนิลพันธุ์บาร์บี โดยนำผลอินทนิลที่เก็บเกี่ยวทุกสัปดาห์ในช่วงสัปดาห์ที่ 17-27 หลังผสมเกสร โดยบันทึกผลของขนาดและน้ำหนักผล การเปลี่ยนแปลงลักษณะภายนอก ปริมาณของแข็งทั้งหมดที่ละลายน้ำได้ และความฝาด พบร่องรอยเปลี่ยนแปลงคุณภาพทางกายภาพและเคมีของผลอินทนิล ในช่วงการเก็บเกี่ยวสัปดาห์ที่ 17-27 มีความแตกต่างอย่างมีนัยสำคัญ โดยสามารถแบ่งกลุ่มตัวอย่างได้ทั้งหมด 3 ช่วง คือ 1) ช่วงสัปดาห์ที่ 17-20 หลังผสมเกสร 2) ช่วงสัปดาห์ที่ 21-24 หลังผสมเกสร และ 3) ช่วงสัปดาห์ที่ 25-27 หลังผสมเกสร โดยผลอินทนิลที่เก็บเกี่ยวช่วงสัปดาห์ที่ 25-27 หลังผสมเกสร มีปริมาณของแข็งทั้งหมดที่ละลายน้ำได้เท่ากับ 28.66-34.25% สูงกว่าผลเก็บเกี่ยวในช่วงสัปดาห์ที่ 17-20 หลังผสมเกสร ซึ่งเป็นร่องรอยเท่ากับ 5.30-7.90% ในขณะที่ผลอินทนิลเก็บเกี่ยวช่วงสัปดาห์ที่ 17-20 หลังผสมเกสรได้รับคะแนนการประเมินความฝาดสูงกว่าผลอินทนิลที่เก็บเกี่ยวช่วงสัปดาห์ที่ 25-27 อย่างไรก็ตาม ขนาดผลและน้ำหนักของผลอินทนิลไม่มีความแตกต่างอย่างมีนัยสำคัญ ( $p>0.05$ ) ในช่วงการเก็บเกี่ยวสัปดาห์ที่ 17-27 หลังผสมเกสร

**คำสำคัญ:** ดัชนีเก็บเกี่ยว หลังผสมเกสร อินทนิล

**คำนำ**

อินทนิลเป็นพืชที่มีอายุเก่าแก่ชนิดหนึ่งของโลก ที่ชนิดนี้สามารถเจริญเติบโตได้ในเขตตอบคุณ ซึ่งปลูกมากในแถบประเทศไทยและภูมิภาคอาเซียน สำหรับในประเทศไทยที่จังหวัดสกลนครและเชียงใหม่ (พระประภาและคณะ, 2557) อินทนิลมีคุณค่าทางโภชนาการสูง อุดมไปด้วยสารต้านอนุมูลอิสระ (Odeh et al., 2014) และสารอาหารที่เป็นประโยชน์ต่อร่างกาย เช่น วิตามินเอและวิตามินซี (Parvin et al., 2015) ไม่มีคอลเลสเตอรอล มีไขมันต่ำ ไฟเบอร์สูง ช่วยในระบบย่อยอาหารรวมทั้งสร้างสมดุลของแบคทีเรียในลำไส้ จึงทำให้ระบบขับถ่ายดีขึ้น ซึ่งคุณค่าทางโภชนาการของอินทนิลขึ้นอยู่กับสายพันธุ์ โดยผลอินทนิลสามารถนำมาปรุงอาหารทั้งผลสดและผลแห้ง เนื่องจากมีรสหวาน เป็นที่นิยมในการนำมาปรุงอาหารว่าง

<sup>1</sup> สาขาวิชาเทคโนโลยีหลังการเก็บเกี่ยว คณะวิศวกรรมและอุตสาหกรรมเกษตร มหาวิทยาลัยแม่โจ้ เชียงใหม่ 50290

<sup>1</sup> Department of Postharvest Technology, Faculty of Engineering and Agro-Industry, Maejo University, Chiang Mai 50290

<sup>2</sup> หน่วยวิจัยและพัฒนาผลิตภัณฑ์ทางการเกษตรและอาหารเพื่ออนาคต มหาวิทยาลัยแม่โจ้ เชียงใหม่ 50290

<sup>2</sup> Future of Agriculture and Food Research Development Unit, Maejo University, Chiang Mai 50290

<sup>3</sup> ศูนย์นวัตกรรมเทคโนโลยีหลังการเก็บเกี่ยว กระทรวงการอุดมศึกษา วิทยาศาสตร์ วิจัยและนวัตกรรม กทม. 10400

<sup>3</sup> Postharvest Technology Innovation Center, Ministry of Higher Education, Science, Research and Innovation, Bangkok 10400

คึกคักยังสามารถนำผลไปแปรรูปได้หลากหลายรูปแบบ เพื่อยืดอายุการเก็บรักษารวมถึงการสร้างมูลค่าเพิ่ม เช่น การทำน้ำอินทนิลพร้อมบริโภค การทำน้ำเชื่อมและอบแห้ง (พรประภาและคณะ, 2557) ต้นอินทนิลเริ่มออกผลตั้งแต่อายุ 4-5 ปี ขึ้นอยู่กับสภาพท้องถิ่นที่มีผลต่ออัตราการเจริญเติบโตและการพัฒนา การพิจารณาดัชนีเก็บเกี่ยว สามารถใช้สีของเปลือก โดยจะเปลี่ยนเป็นสีแดงหรือเหลืองแล้วแต่พันธุ์ หรือโดยวินัยอายุ ประมาณ 180-200 วัน หรือ 6-7 เดือน เกษตรกรสามารถใช้มีดตัดที่ท้องถ่าย (น้ำหนัก 6-8 กิโลกรัม) โดยทั่วไปผลผลิตประมาณ 100-150 กิโลกรัม หรือ 8,000 ลูกต่อปีต่อต้น ช่วงเวลาเก็บเกี่ยวควรหลีกเลี่ยงฝน เนื่องจากทำให้เกิดเชื้อร้าได้ โดยทั่วไปการพัฒนาของผลแบ่งออกเป็น 5 ระยะ โดยระยะที่ 1 เริ่มหลังจากการผสมเกสร สีของผลในระยะนี้มีสีครีมถึงสีเขียวอ่อน ระยะที่ 2 มีลักษณะปริมาณน้ำมากและน้ำหนัก ขนาด เพิ่มขึ้น ขึ้นกับพันธุ์ และสถานที่ ระยะที่ 3 สีของผลเปลี่ยนจากเขียวเป็นเหลือง ชมพู หรือแดง หรือสีเหลืองกับแดง ขึ้นอยู่กับสายพันธุ์ ระยะที่ 4 ผลอ่อนนุ่มนิ่มน้ำ เนื่องจากเปลี่ยนเป็นสีน้ำตาลอ่อน และจะค่อยๆ สูญเสียน้ำและเปลี่ยนเป็นน้ำตาล และระยะที่ 5 เป็นระยะสุดท้ายที่ผลจะแห้งเป็นสีน้ำตาลเข้มถึงดำ

อย่างไรก็ตามลักษณะทางกายภาพ ทางเคมีและการยอมรับของผู้บริโภคของผลอินทนิลสุดนั้น มีคุณลักษณะที่แตกต่างกันขึ้นอยู่กับระยะเก็บเกี่ยว เนื่องจากเกษตรกรยังไม่ทราบถึงระยะการเก็บเกี่ยวที่เหมาะสมที่แนะนำของอินทนิลสายพันธุ์บานี ทำให้เก็บเกี่ยวในช่วงเวลาสุกแก่ที่ไม่เหมาะสม การศึกษาข้อมูลระยะการเก็บเกี่ยวที่เหมาะสมสำหรับการนำไปบริโภคผลสดจึงมีความสำคัญ ดังนั้นงานวิจัยนี้จึงมุ่งเน้นเพื่อศึกษาผลของดัชนีเก็บเกี่ยวต่อคุณภาพทางเคมีกายภาพของผลอินทนิลพันธุ์บานี

### อุปกรณ์และวิธีการ

เก็บเกี่ยผลอินทนิลทุกสปดาห์เป็นเวลาทั้งหมด 11 สปดาห์ โดยเริ่มตั้งแต่สปดาห์ที่ 17 ถึงสปดาห์ที่ 27 หลังผสมเกสร เพื่อนำมาวิเคราะห์ลักษณะทางกายภาพและคุณภาพทางเคมีในทุกสปดาห์ ซึ่งผลอินทนิลที่ถูกเก็บเกี่ยวมีระยะการผสมเกสรที่ใกล้เคียงกัน จากแปลงปลูกของเกษตรกร ณ ตำบลแม่แฟกใหม่ อำเภอสันทราย จังหวัดเชียงใหม่ โดยทำการวิเคราะห์ลักษณะทางกายภาพของอินทนิลผลสด สำหรับการเจริญเติบโตของผลอินทนิล โดยการวัดขนาด (กว้างและยาว) และน้ำหนักผล ก่อนนำไปวิเคราะห์ลักษณะทางเคมี (ดังนี้ 1) การให้คะแนนระดับความฝาด ด้วยการหยดเฟอริกคลอไรด์และสังเกตการเปลี่ยนแปลงสีน้ำตาลของผล แล้วประเมินด้วยสายตาและให้คะแนนตามช่วงที่กำหนดไว้ดังนี้ 0 = ไม่มีความฝาด, 1 = มีความฝาด 1-25%, 2 = มีความฝาด 26-50%, 3 = มีความฝาด 51-75% และ 4 = มีความฝาด 76-100% และ 2) วัดปริมาณของแข็งทั้งหมดที่ละลายได้ (total soluble solids; TSS) ด้วยเครื่อง Digital Hand-held Pocket Refractometer (model PAL-1, Atago Co., Tokyo, Japan) จากนั้นนำข้อมูลมาวิเคราะห์ความแปรปรวนทางสถิติและเปรียบเทียบความแตกต่างของค่าเฉลี่ยด้วยวิธี Duncan's new multiple range test (DMRT) ที่ระดับความเชื่อมั่น 95%

### ผลและวิจารณ์การทดลอง

ผลการเปลี่ยนแปลงขนาดและน้ำหนักสดของอินทนิลในแต่ละอายุการเก็บเกี่ยว พบว่าการความกว้างเฉลี่ยเท่ากับ 20 มิลลิเมตร ความยาวเฉลี่ยเท่ากับ 25 มิลลิเมตร และน้ำหนักเฉลี่ยเท่ากับ 8 กรัม (Table 1) จะเห็นได้ว่าเปลี่ยนแปลงการเจริญเติบโตของของอินทนิลผลสดไม่มีความแตกต่างอย่างมีนัยสำคัญ ( $p>0.05$ ) ทั้งในส่วนของความกว้าง ยาวและน้ำหนัก เมื่อถูกทดสอบหลังจากสปดาห์ที่ 17 จนถึง 27 หรือในระยะการเก็บเกี่ยวที่ 1-11 แสดงให้เห็นว่าในช่วงสปดาห์ที่ 17 จนถึง 27 หลังผสมเกสร ช่วงนี้เป็นช่วงที่เจริญเติบโตที่สมบูรณ์พร้อมที่จะเข้าช่วงที่จะสุกแก่ต่อไป จึงทำให้การเปลี่ยนแปลงทางกายภาพไม่แตกต่างกันอย่างมีนัยสำคัญ

Table 1 Width, length and weight of date palm cv. Barhi recorded weekly from 17 to 27 weeks after pollination.

Parameters	Maturity stage (weeks after pollination)										
	17	18	19	20	21	22	23	24	25	26	27
Width (mm)	22.1 <sup>a</sup>	22.9 <sup>a</sup>	22.4 <sup>a</sup>	22.0 <sup>a</sup>	22.3 <sup>a</sup>	22.5 <sup>a</sup>	22.6 <sup>a</sup>	22.53 <sup>a</sup>	22.57 <sup>a</sup>	22.65 <sup>a</sup>	22.72 <sup>a</sup>
Length (mm)	26.2 <sup>ab</sup>	25.8 <sup>ab</sup>	26.5 <sup>ab</sup>	26.0 <sup>ab</sup>	25.8 <sup>ab</sup>	26.7 <sup>a</sup>	27.25 <sup>a</sup>	27.34 <sup>a</sup>	26.91 <sup>a</sup>	25.22 <sup>b</sup>	26.44 <sup>ab</sup>
Weight (g)	8.4 <sup>abc</sup>	7.9 <sup>abc</sup>	7.7 <sup>bc</sup>	8.3 <sup>abc</sup>	8.1 <sup>abc</sup>	8.5 <sup>a</sup>	7.92 <sup>abc</sup>	8.47 <sup>bc</sup>	8.43 <sup>abc</sup>	7.78 <sup>c</sup>	7.92 <sup>abc</sup>

Different letters in the same column denote significant differences at  $p<0.05$ .

สำหรับการเปลี่ยนแปลงปริมาณของแข็งทั้งหมดที่ละลายน้ำได้จะมีความผิดของอินทรัลลัมเพลสต์ในแต่ละอายุการเก็บเกี่ยวที่ 1-4 (สัปดาห์ที่ 17-20 หลังผสมเกสร) 2) ช่วงอายุการเก็บเกี่ยวที่ 5-8 (สัปดาห์ที่ 21-24 หลังผสมเกสร) และ 3) ช่วงอายุการเก็บเกี่ยวที่ 9-11 (สัปดาห์ที่ 25-27 หลังผสมเกสร) โดยปริมาณของแข็งที่ละลายน้ำได้เริ่มต้นที่อยู่การเก็บเกี่ยวที่ 1-4 มีปริมาณเท่ากับ 5.30-7.90% และเพิ่มขึ้นเรื่อยๆ อย่างมีนัยสำคัญ โดยจะเพิ่มขึ้นมากตั้งแต่อายุการเก็บเกี่ยวที่ 9-11 ในช่วงสัปดาห์ที่ 25-27 หลังผสมเกสร ซึ่งมีปริมาณของแข็งที่ละลายน้ำได้เท่ากับ 28.66-34.25% (Figure 1) การที่ปริมาณของแข็งทั้งหมดที่ละลายน้ำ (TSS) ได้เพิ่มขึ้น สาเหตุหนึ่งมาจากการวนการหายใจ เกิดการเปลี่ยนแปลงของแป้งไปเป็นน้ำตาล (Abd Elwahab *et al.*, 2019) จากการสังเกตการเปลี่ยนสีของผลอินทรัลลัมพบว่าเปลี่ยนจากสีเขียวเป็นสีเหลืองในอายุการเก็บเกี่ยวที่ 5 (สัปดาห์ที่ 21 หลังผสมเกสร) (ไม่แสดงข้อมูล) สอดคล้องกับปริมาณของแข็งที่ละลายน้ำได้โดยมีปริมาณที่เพิ่มขึ้น พร้อมกับระดับความผิดที่ลดลง (Figure 2) Feygenberg *et al.* (2010) ได้ทำการประเมินร้อยละสูกแก่ของผลอินทรัลลัมพันธุ์บาร์หีโดยติดตามการเปลี่ยนแปลงของปริมาณการผลิตเอทิลีน พบว่าการเปลี่ยนแปลงสีเหลืองที่เพิ่มขึ้นมีความสัมพันธ์กับปริมาณการผลิตเอทิลีนที่ลดลงของอินทรัลลัมพันธุ์บาร์หี ซึ่งการผลิตเอทิลีนในปริมาณที่สูงสุดนั้นพบเมื่อผลมีสีเหลืองและปริมาณ TSS ต่ำ เท่ากับ 17 % จาก Figure 2 ในส่วนของการเปลี่ยนแปลงความผิดของอินทรัลลัมเพลสต์ในแต่ละอายุการเก็บเกี่ยว จะเห็นได้ว่าคะแนนความผิดในแต่ละอายุการเก็บเกี่ยวลดลงตั้งแต่ 3 คะแนน เหลือ 1 คะแนน เมื่ออายุการเก็บเกี่ยวที่ 9-11 (ในช่วงสัปดาห์ที่ 25-27 หลังผสมเกสร) อาจเนื่องจากระยะเวลาสูกแก่ของผลอินทรัลลัมที่เพิ่มขึ้นส่งผลต่อการลดลงของสารโปรไซยานิดิน (Procyanidins) หรือสารกลุ่มแทนนิน ทำให้การรวมตัวทางพิสิกส์เคมีของสารโปรไซยานิดินกับโปรตีนในน้ำลายลดลง จึงส่งผลต่อการรับรสชาติทางด้านความผิดลดลง (Hammouda *et al.*, 2013)

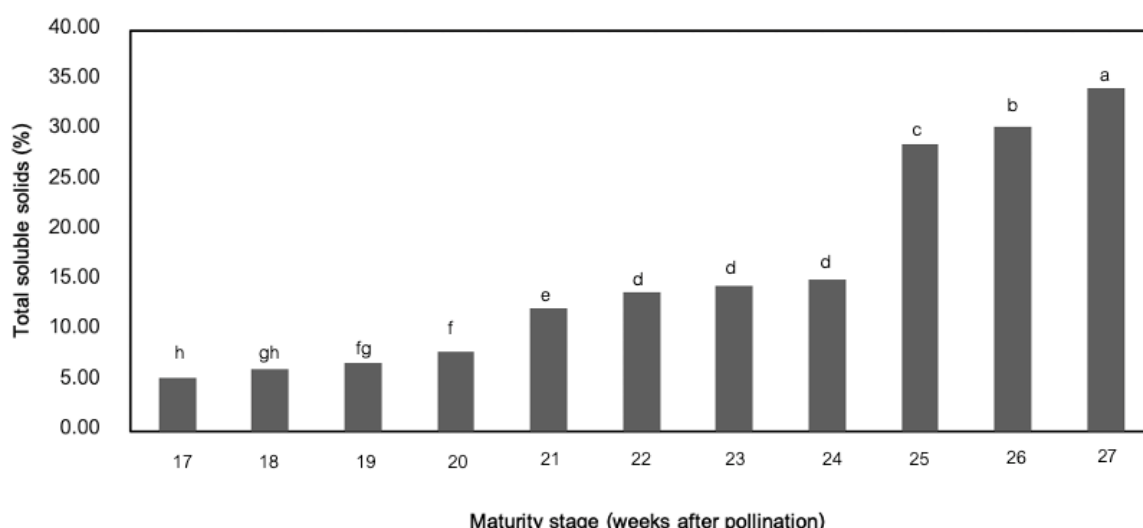


Figure 1 Total soluble solids of date palm cv. Barhi measured weekly from 17 to 27 weeks after pollination. Means with different letters are significantly different at  $p<0.05$ .

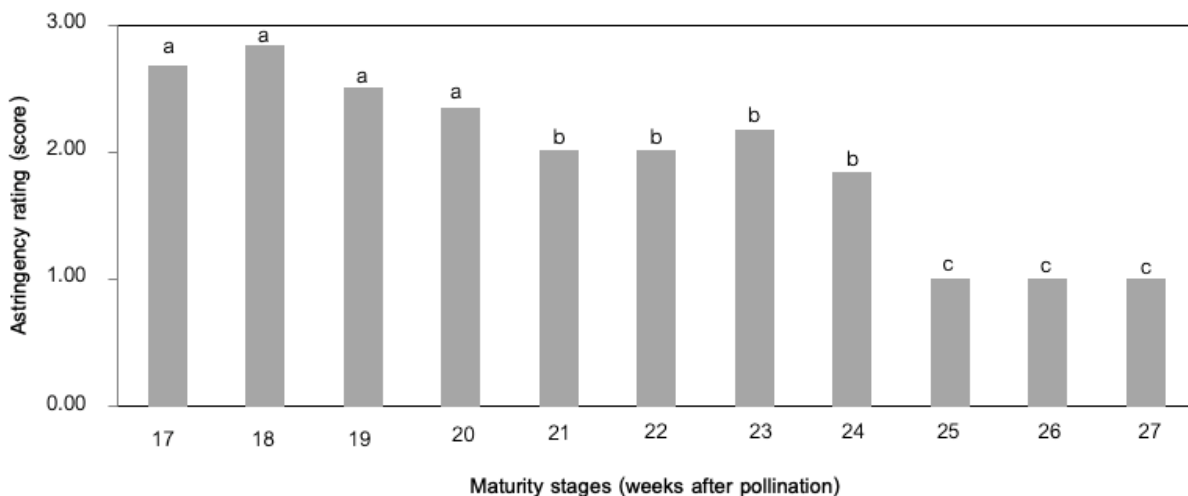


Figure 2 Astringency ratings of date palm cv. Barhi conducted weekly from 17 to 27 weeks after pollination. Means with different letters are significantly different at  $p<0.05$ .

### สรุป

อินทร์ผลลัมไนอาชูการเก็บเกี่ยวของตั้งแต่สัปดาห์ที่ 17-27 หลังผลสม gerean นั้น มีความกว้าง ความยาวรวมทั้งน้ำหนักของผลอินทร์ผลลัมสดไม่แตกต่างกัน โดยปริมาณของแข็งที่ละลายน้ำได้เพิ่มขึ้น คะแนนความฝาดลดลง เมื่ออายุการเก็บเกี่ยวสูงขึ้น โดยอินทร์ผลลัมสามารถเก็บเกี่ยวได้ตั้งแต่อายุการเก็บเกี่ยวที่ 9-11 หรือในช่วงสัปดาห์ที่ 25-27 หลังผลสม gerean เพื่อการบริโภคผลสดหรือแปรรูป

### คำขอบคุณ

ขอขอบคุณส่วนอินทร์ผลลัมบุญมี ห้องปฏิบัติการสาขาวิชาเทคโนโลยีหลังการเก็บเกี่ยว ภาควิชาคดบรรจุผลิตผลเกษตรฯ สาขาวิชาเทคโนโลยีหลังการเก็บเกี่ยว คณะวิศวกรรมและอุตสาหกรรมเกษตร มหาวิทยาลัยแม่โจ้ และศูนย์นวัตกรรมเทคโนโลยี หลังการเก็บเกี่ยว กระทรวงการอุดมศึกษา วิทยาศาสตร์ วิจัยและนวัตกรรม สำหรับการเอื้อเพื่อสถานที่และอุปกรณ์ในการทำวิจัย

### เอกสารอ้างอิง

- พรประภา ชุนทดอม, ทธิรัตน์ บุญทวี, นรินทร์ อาจาวาที, เสาร์ส ร่องขาน และ วิรัฒน์ ศรีวิชา. 2557. คุณภาพของน้ำอินทร์ผลลัมสดในจังหวัดสกลนคร. แก่นเกษตร 48 ฉบับพิเศษ (1): 620- 626.
- Abd Elwahab, S.M., A.M. Abd Allatif, M.A. Farid and S.M. Soliman. 2019. Effect of safe post-harvest alternatives on quality and storage life of "Barhi" date palm. Plant Archives 19(2): 3937-45.
- Feygenberg, O., R. Ben-Arie, E. Pesis, R. Ben-Zvi and Z. Schmilovitch. 2010. Determination of ripening stage in date cultivar 'Barhi' by the level of ethylene emission. Acta Hortic 877: 1019-1024.
- Odeh, I., F. Al-Rimawi, J. Abbadi, L. Obeyat, M. Qabbajeh and A. Hroub. 2014. Effect of harvesting date and variety of date palm on antioxidant capacity, phenolic and flavonoid content of date palm (*Phoenix dactylifera*). Journal of Food and Nutrition Research 2 (8): 499-505.
- Parvin, S., D. Easmin, A. Sheikh, M. Biswas, S. C. D. Sharma, G. S. Jahan, A. Islam, N. Roy and M. S. Shovon. 2015. Nutritional analysis of date fruits (*Phoenix dactylifera* L.) in perspective of Bangladesh. American Journal of Life Sciences 3(4): 274-278.
- Hammouda, H., J.K. Chérif, M. Trabelsi-Ayadi, A. Baron and S. Guyot. 2013. Detailed polyphenol and tannin composition and its variability in Tunisian dates (*Phoenix dactylifera* L.) at different maturity stages. Journal of Agricultural and Food Chemistry 61(13): 3252-3263.

## การเปลี่ยนแปลงคุณภาพและสารสำคัญของมะม่วงน้ำดอกไม้ที่เคลือบด้วย Chitosan-based Multicoating ระหว่างการวางจำหน่าย

**Changes in Quality and Bioactive Compounds of 'Nam Dok Mai' Mango Coated with Chitosan-based Multicoating During Retailing**

นันทวน หัตถมาศ<sup>1,2</sup> ปิยะศักดิ์ ชื่อสุ่มพากษ์<sup>3</sup> มัณฑนา บัวหนอง<sup>1,4</sup> พนิดา บุญฤทธิ์คงไชย<sup>1,4</sup> และเฉลิมชัย วงศ์อารี<sup>1,4</sup>  
Nanthawan Hadthamard<sup>1,2</sup>, Piyasak Chaumpluk<sup>3</sup>, Mantana Buanong<sup>1,4</sup>, Panida Boonyaritthongchai<sup>1,4</sup> and Chalermchai Wongs-Aree<sup>1,4</sup>

### Abstract

Rapid physiological changes during retailing of 'Nam Dok Mai' mango (*Mangifera indica L.*) lead to deterioration and nutrition value loss. In postharvest fruit management, chitosan was used widely to be coating materials integrated with other solutions for maintaining the quality of many fruits. This research investigated the suitability of the molecular weight and concentration of chitosan, bound with a layer of 0.5% (w/v) polystyrene sulfonate (PSS) coated on mango fruit a multilayer coating. Chitosan solutions (CTS) were prepared from the high molecular weight (500-700 kDa; H-CTS) and medium molecular weight (310-375 kDa; M-CTS) at 2 concentrations of 0.5% and 1% (w/v). Mature green 'Nam Dok Mai' mangoes were coated layer by layer as CTS/PSS/CTS and then incubated at 25°C, 65-70% RH. The results showed that the concentrations of chitosan affected mango quality more than the molecular weight. Mango coated with 0.5% M-CTS/0.5% PSS/0.5% M-CTS effectively maintained the fruit quality, especially weight loss, and firmness loss. Increasing total soluble solids, peel and pulp color changes, disease incidence, and reducing antioxidant compounds (phenolic content, flavonoids content, and DPPH activity) were significantly high in uncoated fruits.

**Keywords:** mango, chitosan, multicoating

### บทคัดย่อ

การเปลี่ยนแปลงทางสรีรวิทยาอย่างรวดเร็วระหว่างการวางจำหน่ายของมะม่วงน้ำดอกไม้ นำไปสู่การเสื่อมสภาพและการสูญเสียคุณค่าทางโภชนาการ มีการใช้โคโนเดชานอย่างกว้างขวางร่วมกับสารละลายชนิดอื่นเพื่อเป็นสารเคลือบผิวสำหรับรักษาคุณภาพของผลไม้หลายชนิดหลังการเก็บเกี่ยว งานวิจัยนี้ศึกษาหน้าแห้งนักไม้เล็กและความเข้มข้นของโคโนเดชานที่เหมาะสมสำหรับจับตัวกับชั้นโพลีส์ไตรีนชั้นโพลีฟูเอนต์ความเข้มข้นร้อยละ 0.5 (โดยมวลต่อปริมาตร) ในการเคลือบแบบหลายชั้นบนผลมะม่วง ทั้งนี้สารละลายโคโนเดชานเตรียมจากโคโนเดชานน้ำแห้งนักไม้เล็กลดับสูง (500-700 kDa; H-CTS) และน้ำแห้งนักไม้เล็กลดับกลาง (310-375 kDa; M-CTS) ที่ 2 ความเข้มข้น คือ ร้อยละ 0.5 และร้อยละ 1 (โดยมวลต่อปริมาตร) ทำการเคลือบแบบหลายชั้น (โคโนเดชาน/โพลีส์ไตรีนชั้นโพลีฟูเอนต์/โคโนเดชาน) บนผลมะม่วงน้ำดอกไม้ที่ระยับแก่ไวๆ แล้วนำไปเก็บที่อุณหภูมิ 25 องศาเซลเซียส ความชื้นสัมพันธ์ร้อยละ 65-70 ผลการวิจัยแสดงให้เห็นว่าความเข้มข้นของโคโนเดชานมีผลต่อคุณภาพของมะม่วงมากกว่าหนังนักไม้เล็กของโคโนเดชาน มะม่วงที่เคลือบผิวด้วย M-CTS ความเข้มข้นร้อยละ 0.5 ตามด้วยโพลีส์ไตรีนชั้นโพลีฟูเอนต์ความเข้มข้นร้อยละ 0.5 และปิดท้ายด้วย H-CTS ความเข้มข้นร้อยละ 0.5 เป็นสภาวะที่ดีที่สุดในการรักษาคุณภาพของมะม่วง โดยเฉพาะการลดสูญเสียน้ำหนักและความแห้งเนื้อ ทั้งนี้มะม่วงที่ไม่ได้เคลือบผิวมีปริมาณของแข็งที่ละลายน้ำได้เพิ่มขึ้น มีการเปลี่ยนแปลงสีเปลี่ยนและเนื้อ และมีการเข้าทำลายของโค สารต้านอนุมูลอิสระที่สำคัญ เช่น ปริมาณฟีโนลิก ปริมาณฟลาโวนอยด์ และกิจกรรมการต้านอนุมูลอิสระในรูปของ DPPH) ลดลงมากกว่ามะม่วงที่เคลือบผิวอย่างมีนัยสำคัญทางสถิติ

**คำสำคัญ:** มะม่วง, โคโนเดชาน, การเคลือบผิวแบบหลายชั้น

<sup>1</sup> สาขาวิชาเทคโนโลยีหลังการเก็บเกี่ยว คณะทรัพยากรัชวิภาคและเทคโนโลยี มหาวิทยาลัยเทคโนโลยีพระจอมเกล้าธนบุรี (บางเขน) กรุงเทพฯ 10150

<sup>1</sup> Division of Postharvest Technology, School of Bioresources and Technology, King Mongkut's University of Technology Thonburi (Bangkhunthien), Bangkok 10150

<sup>2</sup> สาขาวิชาเทคโนโลยีพืชและน้ำมูล คณะวิทยาศาสตร์และเทคโนโลยี มหาวิทยาลัยราชภัฏวไลยอลงกรณ์ จังหวัดกาญจนบุรี 711190

<sup>2</sup> Vegetable Integration Technology Program, Faculty of Science and Technology, Kanchanaburi Rajabhat University, Kanchanaburi 711190

<sup>3</sup> ภาควิชาพุชศาสตร์ คณะวิทยาศาสตร์ จุฬาลงกรณ์มหาวิทยาลัย กรุงเทพฯ 10330

<sup>3</sup> Department of Botany, Faculty of Science, Chulalongkorn University, Bangkok 10330

<sup>4</sup> ศูนย์นวัตกรรมเทคโนโลยีหลังการเก็บเกี่ยว กระทรวงการอุดมศึกษา วิทยาศาสตร์ วิจัยและนวัตกรรม กรุงเทพฯ 10400

<sup>4</sup> Postharvest Technology Innovation Center, Ministry of Higher Education, Science, Research and Innovation, Bangkok 10400

## คำนำ

มะม่วงน้ำดอกไม่เป็นผลไม้บริโภคสุกที่อุดมด้วยสารต้านอนุมูลอิสระสำคัญหลายชนิด อีกทั้งยังเป็นผลไม้ที่สร้างมูลค่าสูงให้ประเทศไทย (ศรินทร์, 2558) การเปลี่ยนแปลงทางสรีรวิทยาระหว่างการสุกในช่วงการวางจำหน่าย นำไปสู่การเสียคุณภาพ โดยเฉพาะการเกิดโรคแอนแทรคโนส ซึ่งมีลักษณะเป็นจุดสีดำและอาจรุนแรงถึงขั้นทำให้มะม่วงเน่าเสีย ผลให้มะม่วงมีอายุการเก็บรักษาสั้น (Mattoo & Modi, 1969) โคITOชานเป็นอนุพันธ์ของโคตินที่นิยมใช้เคลือบผิวผักและผลไม้เนื่องจากเป็นสารที่สามารถบริโภคได้อย่างปลอดภัย สามารถควบคุมการแพร่ฝ่านของน้ำและอากาศได้ดี และมีคุณสมบัติต้านจุลทรรศน์ได้หลายชนิด ปัจจุบันมีการนำโคITOชานที่มีประจุบวกจับกับสารต่างชนิดที่มีประจุลบ เพื่อปรับปรุงคุณสมบัติให้ดียิ่งขึ้น (Arnon-Rips & Poverenov, 2018) จึงช่วยรักษาคุณภาพของมะม่วง (Djioua et al., 2010) และเมล่อน (Poverenov et al., 2014) ได้ ในงานวิจัยของ Hadthamard et al. (2019) ใช้สารละลายโพลีสไตรีนชัลฟอเนตเป็นสารประจุลบ เพื่อช่วยให้โคITOชานแตกประจุและทำงานได้ดียิ่งขึ้น อย่างไรก็ตาม ประสีทธิภพของการใช้โคITOชานขึ้นอยู่กับน้ำหนักโมเลกุลและความเข้มข้นที่เหมาะสมกับจำนวนชั้นเคลือบ (Singburaudom & Piasai, 2011; Jongsri et al., 2016) งานวิจัยนี้จึงต้องการศึกษาการเปลี่ยนแปลงคุณภาพและสารสำคัญในมะม่วงน้ำดอกไม้ระหว่างการวางจำหน่าย หลังจากเคลือบผิวมะม่วงด้วย chitosan-based multicoating ที่มีน้ำหนักโมเลกุลและความเข้มข้นแตกต่างกัน

## อุปกรณ์และวิธีการ

### 1. การเตรียมวัสดุบวิจัย

โคITOชาน (chitosan; CTS; Sigma-aldrich) น้ำหนักโมเลกุลสูง (H-CTS: 500-700 kDa) และปานกลาง (M-CTS: 310-375 kDa) ถูกละลายในสารละลายอะซิติกความเข้มข้น 0.5% เพื่อให้แต่ละน้ำหนักโมเลกุลมีความเข้มข้น 0.5% และ 1% (โดยมวลต่อปริมาตร) จากนั้นปรับค่าความเป็นกรดให้ได้ 3 ส่วนโพลีสไตรีนชัลฟอเนต (polystyrene sulfonate, PSS; Sigma-aldrich) ละลายในน้ำกลันให้ได้ความเข้มข้น 0.5% (โดยมวลต่อปริมาตร) และปรับให้มีค่าความเป็นกรด 7

มะม่วงน้ำดอกไม้เบอร์ 4 อายุประมาณ 95-110 วันหลังจากบาน จากจังหวัดประจวบคีรีขันธ์ ถูกนำมาตัดเลือกเฉพาะผลที่ไม่มีโรค มีขนาดและน้ำหนักสม่ำเสมอประมาณ 350-400 กรัม เพื่อนำมาราคาความสะอาดด้วยน้ำประปา แข็งในสารละลายโซเดียมไฮโปคลอไรท์ความเข้มข้น 200 ppm นาน 3 นาที และผึ่งให้แห้ง จากนั้นนำไปจุ่มน้ำในสารเคลือบผิวที่เตรียมไว้ แล้วปั๊บไปมา CTS/PSS/CTS แต่ละชั้นจุ่มครั้งละ 20 วินาที ตามด้วยการล้างในน้ำกลัน และผึ่งให้แห้งก่อนจุ่มน้ำในสารเคลือบชั้นถัดไป วางแผนการทดลองแบบสุ่มสมบูรณ์ จัดเป็น 5 ชุดการทดลองฯ ละ 10 ชั้า ได้แก่ ชุดไม่เคลือบผิว (control) ชุด 0.5% H-CTS coating ชุด 0.5% M-CTS coating ชุด 1% H-CTS coating และชุด 1% M-CTS coating นำแต่ละชุดไปใส่ตะกร้าและเก็บรักษาที่  $25 \pm 3^\circ\text{C}$  ความชื้น สมพัทธ์ 65-70% จนกว่าทั้งมะม่วงในชุด control เกิดโรคครบ 100% จึงถือเป็นจุดสิ้นสุดการศึกษา

### 2. ศึกษาผลของการเคลือบผิวมะม่วงด้วย chitosan-based multicoating

สุ่มมะม่วงจากแต่ละชุดการทดลองมาวิเคราะห์คุณภาพและสารสำคัญทุกๆ 2 วัน ได้แก่ การสูญเสียน้ำหนักสด ความแน่นเนื้อ ปริมาณของแข็งที่ละลายน้ำได้ (TSS) ปริมาณกรดที่ได้ เครื่องความแปรปรวน 1% สามารถลดลง 0.5% ในวันที่ 8 ของการเก็บ (Figure 1a) และคงความแน่นเนื้อ (Figure 1b) ได้ดี โดยมีการเกิดโรคไม่ถึง 10% ในวันที่ 8 ของ การเก็บ (Figure 1c) ถึงแม้ว่าการเคลือบหลายชั้นที่ใช้โคITOชานความเข้มข้น 0.5% มีประสิทธิภพในการลดการสูญเสียน้ำหนักและการคงความแน่นเนื้อของผลไม้กว่าการใช้โคITOชาน 1% แต่การใช้ 0.5% MCTS/PSS ไม่พบการสะสมethanol ในเนื้อมะม่วง แต่มะม่วงที่เคลือบด้วย 0.5% H-CTS, 1% H-CTS และ 1% M-CTS พบร่องรอยในวันที่ 6 ยิ่งกว่าทั้งนี้ ในการใช้โคITOชานความเข้มข้น 1% มีความผิดปกติของสีร่วมด้วย คือ สีของเปลือกและเนื้อยังคงเป็นสีเขียวตลอดการเก็บรักษา (Figure 1, Table 1)

## ผล

เมื่อเปรียบเทียบกับ control ในวันสุดท้าย พบร่วงการเคลือบหลายชั้นที่ใช้โคITOชานความเข้มข้น 1% สามารถลดการเปลี่ยนแปลงน้ำหนักสด (Figure 1a) และคงความแน่นเนื้อ (Figure 1b) ได้ดี โดยมีการเกิดโรคไม่ถึง 10% ในวันที่ 8 ของการเก็บ (Figure 1c) ถึงแม้ว่าการเคลือบหลายชั้นที่ใช้โคITOชานความเข้มข้น 0.5% มีประสิทธิภพในการลดการสูญเสียน้ำหนักและการคงความแน่นเนื้อของผลไม้กว่าการใช้โคITOชาน 1% แต่การใช้ 0.5% MCTS/PSS ไม่พบการสะสมethanol ในเนื้อมะม่วง แต่มะม่วงที่เคลือบด้วย 0.5% H-CTS, 1% H-CTS และ 1% M-CTS พบร่องรอยในวันที่ 6 ยิ่งกว่าทั้งนี้ ในการใช้โคITOชานความเข้มข้น 1% มีความผิดปกติของสีร่วมด้วย คือ สีของเปลือกและเนื้อยังคงเป็นสีเขียวตลอดการเก็บรักษา (Figure 1, Table 1)

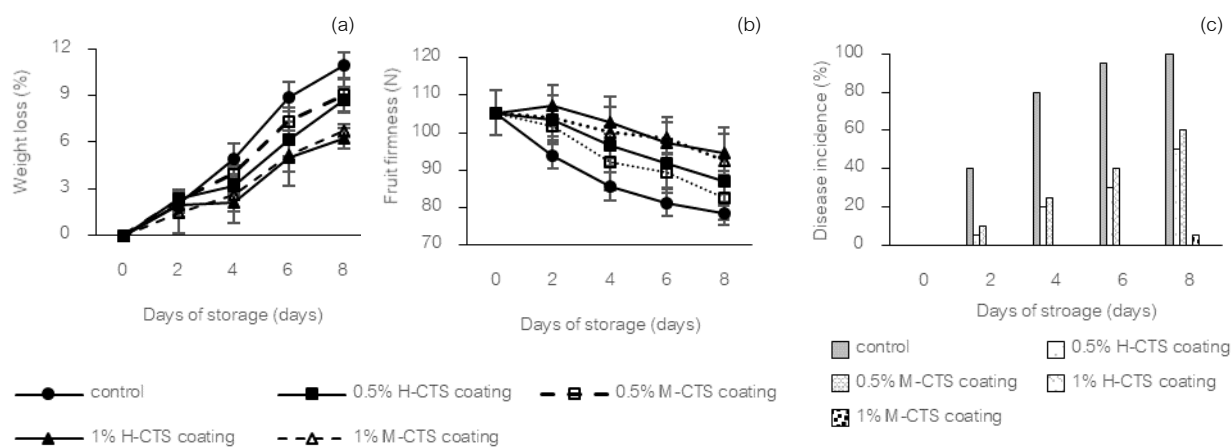


Figure 1 Changes in weight loss (a), fruit firmness (b), and disease incidence (c) of mangoes multicoated and stored at  $25\pm3^\circ\text{C}$  for 8 days. Vertical bars indicate  $\pm\text{SD}$  ( $n=10$ ).

Table 1 Effect of chitosan and polystyrene sulfonate multicoating on characteristics of mangoes on day 6.

Treatments	TSS ( $^{\circ}\text{Brix}$ )	TA (%)	Hue angle of peel	Hue angle of pulp
Day 0	9.78 $\pm$ 0.68	2.88 $\pm$ 0.37	108.03 $\pm$ 2.49	105.13 $\pm$ 1.44
Day 6 control	17.20 $\pm$ 0.59 <sup>a</sup>	0.99 $\pm$ 0.07 <sup>c</sup>	89.49 $\pm$ 1.36 <sup>c</sup>	95.50 $\pm$ 1.33 <sup>b</sup>
0.5% H-CTS coating	15.48 $\pm$ 0.42 <sup>b</sup>	1.76 $\pm$ 0.03 <sup>b</sup>	98.73 $\pm$ 1.7 <sup>b</sup>	98.64 $\pm$ 1.59 <sup>b</sup>
0.5% M-CTS coating	16.63 $\pm$ 0.35 <sup>ab</sup>	1.51 $\pm$ 0.05 <sup>bc</sup>	93.12 $\pm$ 2.8 <sup>b</sup>	97.06 $\pm$ 2.48 <sup>b</sup>
1% H-CTS coating	10.62 $\pm$ 0.89 <sup>c</sup>	2.48 $\pm$ 0.06 <sup>a</sup>	102.56 $\pm$ 1.48 <sup>a</sup>	103.47 $\pm$ 1.72 <sup>a</sup>
1% M-CTS coating	10.57 $\pm$ 1.40 <sup>c</sup>	2.25 $\pm$ 0.04 <sup>a</sup>	103.79 $\pm$ 2.60 <sup>a</sup>	102.52 $\pm$ 2.16 <sup>a</sup>
Treatments	Phenolic content ( $\mu\text{g GA/g FW}$ )	Flavonoid content (mg QE/100 g FW)	Antioxidant activity (mg/100 FW)	Ethanol content (mg/g FW)
Day 0	616.48 $\pm$ 2.37	30.24 $\pm$ 2.37	89.12 $\pm$ 1.46	0
Day 6 control	524.57 $\pm$ 3.85 <sup>c</sup>	24.93 $\pm$ 2.48 <sup>c</sup>	78.52 $\pm$ 1.36 <sup>b</sup>	0
0.5% H-CTS coating	573.62 $\pm$ 3.71 <sup>a</sup>	26.25 $\pm$ 2.91 <sup>b</sup>	83.58 $\pm$ 2.24 <sup>a</sup>	0.01 $\pm$ 9.86
0.5% M-CTS coating	546.83 $\pm$ 4.08 <sup>b</sup>	26.77 $\pm$ 1.35 <sup>b</sup>	82.10 $\pm$ 3.09 <sup>a</sup>	0
1% H-CTS coating	592.46 $\pm$ 3.40 <sup>a</sup>	28.39 $\pm$ 1.86 <sup>a</sup>	82.56 $\pm$ 2.33 <sup>a</sup>	0.05 $\pm$ 12.35
1% M-CTS coating	588.92 $\pm$ 2.78 <sup>a</sup>	28.48 $\pm$ 2.00 <sup>a</sup>	82.97 $\pm$ 2.68 <sup>a</sup>	0.03 $\pm$ 13.47

Means with the same letters within a column are not significantly different ( $p = 0.5$ ).

### วิจารณ์ผล

การเคลือบผิวนะร่องด้วยไคโตซานร่วมกับโพลีส์เตเรนชัลฟูเนต สามารถชะลอการเสื่อมคุณภาพและการสูญเสียสารสำคัญของมะม่วงน้ำดอกไม่ได้ เมื่อเปรียบเทียบคุณภาพมะม่วงที่ความชื้มน้ำเดียวกัน ทั้งที่ความชื้มน้ำ 0.5% และ 1% พบร่วมไคโตซานที่มีน้ำหนักโมเลกุลสูงสามารถรักษาคุณภาพของมะม่วงได้ดีกว่าการใช้ไคโตซานที่มีน้ำหนักโมเลกุลต่ำกว่า เนื่องจากฟิล์มที่เกิดจากไคโตซานที่มีน้ำหนักโมเลกุลสูงสามารถเคลือบผิวนะร่องได้ดีกว่า จึงควบคุมการแพร่ผ่านของออกซิเจนและนำได้ดีกว่าด้วย (Jongsri *et al.*, 2016) ด้วยเหตุนี้ อัตราการหายใจและเมแทบoliซึมต่างๆ ของมะม่วงจึงถูกทำให้ช้าลง การใช้กรดอะมิโนทรีพีโนในกระบวนการหยอดไนโตริก สามารถเพิ่มชีวภาพของเยี๊ยะที่ละลายน้ำ การเข้าสู่ระบบการสูญเสียและการเปลี่ยนแปลงสารภายนอกในเซลล์จึงช้าลง เช่นกัน (Baldwin *et al.*, 1999) รวมถึงการสูญเสียสีเขียวของเปลือกที่ช้าลง ซึ่งเกิดจากการสลายตัวของคลอโรฟิลล์จากปฏิกิริยาออกซิเดชันที่ลดลง (Fang *et al.*, 1998) น้ำที่จะสูญเสียให้กับบรรยากาศภายนอกจะถูกกีดขวางด้วยสารเคลือบผิว ส่งผลโดยตรงต่อการรักษาน้ำหนักสดและความแน่นเนื้อของมะม่วง (Prasad *et al.*, 2016) และการที่มะม่วงใน

ชุดเคลือบผิวเกิดโรคแอนแทรคโนสนัคอล เป็นผลมาจากการสูญเสียต้านเชื้อราของไคโตซาน (Singburaudom & Piasai, 2011; Shiekh et al., 2013) ดังนั้นมีเพิ่มความเข้มข้นของไคโตซาน จึงช่วยลดการเกิดโรคได้ดียิ่งขึ้น อย่างไรก็ตาม การพับ เอกทานอลในมะม่วงที่เคลือบด้วย 0.5% H-CTS/0.5% PSS/0.5% H-CTS และไคโตซานที่น้ำหนักโมเลกุลระดับกลางและ ระดับสูงที่ความเข้มข้น 1% เนื่องจากมีปริมาณออกซิเจนเข้าสู่มะม่วงน้อยเกินไป กระทำให้เกิดกระบวนการหายใจแบบไม่ใช้ ออกซิเจน มีการผลิตเอกสารอลและเกิดสภาวะการสูญเสียพิษในลิค พลาโนนอยด์ และกิจกรรม การต้านอนุมูลอิสระ ของมะม่วงน้ำดอกไม่เท่ากับมาตรฐานหนึ่ง  $25 \pm 3^{\circ}\text{C}$  ได้ดีที่สุด และเก็บได้นานกว่า 8 วัน

### สรุป

การเคลือบผิวมะม่วงที่สภาวะ 0.5% M-CTS/0.5% PSS/0.5% M-CTS สามารถชะลอการสูญเสียน้ำหนักสด ความ แน่นเนื้อ การเกิดโรคแอนแทรคโนส การเพิ่มขึ้นของ TSS การลดลงของ TA และการสูญเสียพิษในลิค พลาโนนอยด์ และกิจกรรม การต้านอนุมูลอิสระ ของมะม่วงน้ำดอกไม่เท่ากับมาตรฐานหนึ่ง  $25 \pm 3^{\circ}\text{C}$  ได้ดีที่สุด และเก็บได้นานกว่า 8 วัน

### คำขอบคุณ

งานวิจัยนี้ได้รับการสนับสนุนสถานที่และเครื่องมือจากสาขาเทคโนโลยีพืชผักแบบบูรณาการ มหาวิทยาลัยราชภัฏ กาญจนบุรี และขอขอบคุณการสนับสนุนสารเคมีและวัสดุติดจากศูนย์นวัตกรรมเทคโนโลยีหลังการเก็บเกี่ยว กระทรวงการ อุดมศึกษา วิทยาศาสตร์ วิจัยและนวัตกรรม (รหัสโครงการ PL.P3/2559) และ UGSAS, Gifu University, Japan ในกราวิจัยนี้

### เอกสารอ้างอิง

- ศรีนทร์ ทองอินทร์. 2558. ปัญหาและอุปสรรคในการสังขารมะม่วงน้ำดอกไม่เปลี่ยนสภาพและรักษาคุณภาพ: กรณีศึกษา ผู้ประกอบการในจังหวัด ฉะเชิงเทรา. วิทยานิพนธ์หลักสูตรบริหารธุรกิจมหาบัณฑิต สาขาวิชาการจัดการธุรกิจโลก มหาวิทยาลัยบูรพา. 146 น.
- Arnon-Rips, H. and E. Poverenov. 2018. Improving food products quality and storability by using Layer by Layer edible coatings. Trends in Food Science & Technology 75: 81-92.
- Baldwin, E. A., J. K. Burns, K. Kazokas, J. K. Brecht, R. D. Hagenmaier, R. J. Bender and E. Pesis. 1999. Effect of two edible coatings with different permeability characteristic on mango (*Mangifera indica* L.) ripening during storage. Postharvest Biol. Technol. 17(3): 215-226.
- Djioua, T. F. Charles, M. Freire, H. Filgueiras, M.N. Ducamp-Collin and H. Sallanon. 2010. Combined effects of postharvest heat treatment and chitosan coating on quality of fresh-cut mangoes (*Mangifera indica* L.). Int. J. Food Sci. Technol. 45(4): 849-855.
- Fang, Z. J., C. Bouwkamp and T. Solomos. 1998. Chlorophyllase activities and chlorophyll degradation during leaf senescence in non-yellowing mutant and wild type of *Phaseolus vulgaris* L. J. Exp. Bot. 49(320): 503-510.
- Hadthamard, N., P. Chaumpluk, M. Buanong, P. Boonyarithongchai and C. Wongs-Aree. 2019. Effect of multilayer coating of chitosan and polystyrene sulfonate on quality of 'Nam Dok Mai No.4' mango. WASET 13(3): 42-48.
- Jongsri, P., T. Wangsomboondee, P. Rojsitthisak and K. Seraypheap. 2016. Effect of molecular weights of chitosan coating on postharvest quality and physicochemical characteristics of mango fruit. Food Sci. Technol. 73: 28–36.
- Mattoo, A. K. and V. V. Modi. 1969. Ethylene and ripening of mangoes. Plant Physiol. 44: 308-310.
- Poverenov, E., S. Danino, B. Horev, R. Granit, Y. Vinokur and V. Rodov. 2014. Layer-by-layer electrostatic deposition of edible coating on fresh cut melon model: Anticipated and unexpected effects of alginate-chitosan combination. Food Bioprocess Tech. 7: 1424–1432.
- Prasad, K., R. R. Sharma and M. Srivastav. 2016. Postharvest treatment of antioxidant reduces lenticel browning and improves cosmetic appeal of mango (*Mangifera indica* L.) fruits without impairing quality. J. Food Sci. Technol. 53(7): 2995-3001.
- Shiekh, R. A., M. A. Malik, S. A. Al-Thabalti, and M. A. Shiekh, M. A. 2013. Chitosan as a novel edible coating for fresh fruits. Food Sci. Technol. 19(2): 139-155.
- Singburaudom, N. and O. Piasai. 2011. Antimicrobial activity of different molecular weight chitosans to inhibit some important plant pathogenic fungi. Nat. Sci. 45: 644–655.

## ลักษณะทางสัณฐานวิทยาและกายภาพ-เคมีของกล้วยทิพร

Morphology and Physico-chemical Characters of *Musa* ABBB Group 'Kluai Tiparod'

สมคิด ใจตรง<sup>1</sup> พิชญานิน โคตรลุน<sup>1</sup> และสุชาวดี บัวปอก<sup>1</sup>

Somkit Jaitrong<sup>1</sup>, Pichayain Khoottlun<sup>1</sup> and Suchawadee Buapok<sup>1</sup>

### Abstract

Morphological characters of pseudostem, leaves and inflorescence of 'Kluai Tiparod' [*Musa* ABBB group 'Kluai Tiparod'] was investigated. The fruit at physiological mature stage was assessed based on the standard maturity for banana according to fullness of fingers (no angularity more than 90%) with number of days from inflorescence removal. Then the fruit were harvested. The fruit were allowed to ripe at room temperature ( $30\pm2^{\circ}\text{C}$ ,  $65\pm2\%$ ). Banana fruit at physiological mature and fully ripe stages (the peel color change to yellow) were determined of the physic-chemical qualities (bunch weight, hand weight, fruit width, fruit length, peel color, pulp color, firmness, total soluble solids and titratable acidity). The results showed that the pseudostem height  $318.50\pm69.78$  g, leaf length  $179.56\pm35.27$ , leaf width  $56.38\pm9.38$  cm, inflorescence weight  $624.57\pm30.91$  g. Inflorescence shape was lanceolate with acute apex, heavy waxy, bract roll back. The outside bract color was reddish-purple, and inside bract red, male flowers pink color with yellow stigma. 'Tiparod' banana took 126 days from inflorescence removal to reach physiological maturity. 'Tiparod' banana was  $10.40\pm1.27$  kg per bunch,  $4.43\pm0.79$  hands per bunch. The hand weight was  $2.60\pm0.031$  kg and had  $11.79\pm1.18$  fruits per hands and weight  $271.77\pm6.819$  g per fruit. Fruit width was  $5.22\pm0.30$  cm, fruit length was  $16.30\pm0.30$  cm and peel thickness  $5.17\pm0.36$  mm. After stored at room temperature, it took  $4.05\pm0.50$  days for fruit to fully ripe. Fruit firmness at physiological mature was  $48.70\pm2.84$  N, then decreased  $7.17\pm1.24$  N at the fully ripe stage. Total soluble solids and titratable acidity at fully ripe stage were  $28.42\pm1.4$  % and  $0.21\pm0.01$ %, respectively.

**Keywords:** 'Kluai Tiparod', morphology, ABBB group

### บทคัดย่อ

การศึกษาลักษณะทางสัณฐานวิทยาและทางกายภาพของลำต้นเทียม ใน และปลี ของกล้วยทิพร [ *Musa* ABBB group 'Kluai Tiparod'] ดำเนินการโดยนำผลกล้วยที่ระยะบวบวูรรณ์ทางสรีรวิทยาประเมินจากความบริบูรณ์มาตรฐานของผลกล้วย (ไม่มีเหลี่ยมมากกว่า 90%) ร่วมกับการนับจำนวนหลังตัดปลี จากนั้นเก็บเกี่ยวและทำให้ผลกล้วยสุกที่อุณหภูมิห้อง  $30\pm2^{\circ}\text{C}$  และมีความชื้นสัมพัทธ์  $65\pm2\%$ ) นำผลกล้วยที่ระยะบวบวูรรณ์ทางสรีรวิทยาและระยะสุก (เปลือกเปลี่ยนเป็นสีเหลือง) มาวิเคราะห์คุณภาพทางกายภาพ-เคมี (น้ำหนักเครื่อง น้ำหนักหัว ความกว้างผล ความยาวผล สีเปลือกผล สีเนื้อผล ความแน่น เนื้อ ปริมาณของแข็งทั้งหมดที่ละลายน้ำได้ และปริมาณกรดที่ไทเรตได้) พบว่า ลำต้นเทียมของกล้วยทิพร มีความสูง  $318.50\pm69.78$  ซม. ความยาวใบ  $179.56\pm35.27$  ซม. ความกว้างใบ  $56.38\pm9.38$  ซม. น้ำหนักปลี  $624.57\pm30.91$  กรัม ปลีรูปหอก ปลายแหลม มีนาลปกคุณมาก การบลีม้วน การบลีด้านนอกสีม่วงแดง ด้านในสีแดง ดอกเพศผู้สีเหลือง ปลายเหลือง ผลกล้วยทิพรสัมผ่านเข้าสู่ระยะบวบวูรรณ์ทางสรีรวิทยา 126 วันหลังตัดปลี กล้วยทิพรสมีน้ำหนักเครื่อง  $10.40\pm1.27$  กก.  $4.43\pm0.79$  หรือต่อกลี น้ำหนัก  $2.60\pm0.31$  กก. ต่อหัว มีผล  $11.79\pm1.18$  ผลต่อหัว น้ำหนัก  $271.77\pm6.19$  กรัมต่อผล ความกว้างผล  $5.22\pm0.30$  ซม. ความยาวผล  $16.30\pm0.30$  ซม ความหนาเปลือก  $5.17\pm0.36$  มม เมื่อเก็บรักษาที่อุณหภูมิห้อง ใช้เวลา  $4.05\pm0.05$  วัน ในการพัฒนาเข้าสู่ระยะสุกพร้อมบวบวูรรณ์ ความแน่นเนื้อที่ระยะบวบวูรรณ์  $48.70\pm2.84$  นิวตัน ลดลงเป็น  $7.17\pm1.24$  นิวตัน ที่ระยะสุก ปริมาณของแข็งทั้งหมดที่ละลายน้ำได้และปริมาณกรดที่ไทเรตได้ที่ระยะสุก คือ  $28.42\pm1.42$  และ  $0.21\pm0.01$ % ตามลำดับ

**คำสำคัญ :** กล้วยทิพร สัณฐานวิทยา กลุ่ม ABBB

<sup>1</sup> คณะเทคโนโลยีการเกษตร มหาวิทยาลัยบูรพา วิทยาเขตสระแก้ว สระแก้ว 27160

<sup>1</sup> Faculty of Agricultural Technology, Burapha University, Sakaeo campus, Sakaeo 27160

## คำนำ

กล้วยที่ใช้บริโภคในปัจจุบัน มีชื่อวิทยาศาสตร์ว่า *Musa accuminata* เป็นลูกผสมระหว่างกล้วยป้าจีโนม diploid 2 ชนิด คือ *M. accuminata* Colla และ *M. balbisiana* Colla ซึ่งเป็นกล้วยจีโนม A และ B ตามลำดับ (Venkatachalam et al., 2008) กล้วยทิพรสรหรือกล้วยเทพรสที่มีปลีติดอยู่ เป็นกล้วยลูกผสมที่เกิดจากจีโนม A และ B มีชื่อวิทยาศาสตร์ว่า *Musa x paradisiaca* มีจีโนม 4 ชุด (Tetraploid ABBB) (Valmayer et al., 2000) ลักษณะทั่วไปของกล้วยกลุ่มนี้ จะมีลำต้นเทียมสูง ใบใหญ่ ทนโรค กล้วยชนิดนี้มีลักษณะเนื้อไม่แน่น ถ้าทำให้สุกด้วยความร้อนจะมีรสหวานแต่เผ็ด แต่เมื่อสุกอมจะมีรสชาติหวาน ถ้านำกล้วยดิบมาหยอดกรอบจะมีรสชาติคล้ายเผ็ดมาก (เบญจมาศ, 2558) แต่เนื่องจากมีการปลูกกล้วยในสายพันธุ์ ดังกล่าวไม่แพร่หลาย ผลผลิตต่อตันน้อย ทำให้การใช้ประโยชน์และข้อมูลมีจำกัด คณะผู้วิจัยจึงสนใจที่จะศึกษาลักษณะของกล้วยทิพรสร ซึ่งมีวัตถุประสงค์เพื่อศึกษาลักษณะทางสัณฐานวิทยาของลำต้นเทียม ใน ปลีกล้วย และคุณภาพทางกายภาพ-เคมีของผลกล้วยระยะบวบบูรณ์และระยะสุก เพื่อใช้เป็นข้อมูลเบื้องต้นในการอนุรักษ์ ส่งเสริมการใช้ประโยชน์และเพิ่มมูลค่าต่อไป

## อุปกรณ์และวิธีการ

### 1. ลักษณะทางสัณฐานวิทยาและลักษณะทางกายภาพของกล้วยทิพรสร

ต้นกล้วยที่นำมาศึกษา เป็นกล้วยที่เจริญเติบโตเต็มวัยจนกระทั่งออกดอก (ออกปลี) เก็บข้อมูลลักษณะทางสัณฐาน-วิทยา ได้แก่ สีของกาบลำต้นเทียม ใน (สีหลังใบ สีท้องใบ ใบที่ปกคลุม ลักษณะของสูรสาปใบ) ลักษณะปลี (รูปร่างปลี การม้วน ของกาบปลี นวลดอกคลุม ลักษณะปลี ด้านนอก ด้านใน สีดอกเพศผู้) และเก็บข้อมูลทางกายภาพ ได้แก่ ความสูงลำต้นเทียม วัดความกว้าง ความยาวใบ ชั้นหนักปลี และวัดสีด้วยเครื่อง chroma meter (Chroma meter, CR-400, Konica Minolta, Japan) รายงานผลเป็นค่า  $L^*$ ,  $a^*$ ,  $b^*$  Hue ( $h^\circ$ ) และ chroma นอกจากนี้ยังศึกษาลักษณะทางสัณฐานวิทยาและกายภาพของผลกล้วยที่ระยะบวบบูรณ์ทางสรีรวิทยา ดังนี้ รูปร่างของผลกล้วย ลักษณะปลายผล การติดของก้านเกสรเพศเมีย ความกว้างผล ความยาวผล น้ำหนักผล น้ำหนักเปลือก น้ำหนักเนื้อ ความหนาเปลือก และอัตราส่วนของเปลือกต่อเนื้อ

### 2. การพัฒนาเข้าสู่การสุกและคุณภาพทางเคมี

นำกล้วยที่ระยะบวบบูรณ์ทางสรีรวิทยามาเก็บรักษาในตราชารพลาสติก แล้วนำไปเก็บไว้ที่อุณหภูมิห้อง ( $26 \pm 1$  องศา-เซลเซียส และความชื้นสัมพัทธิ์ ร้อยละ  $75 \pm 1$ ) เพื่อให้ผลกล้วยพัฒนาเข้าสู่กระบวนการสุก สุ่มตัวอย่างมาวิเคราะห์คุณภาพทางกายภาพ-เคมี ได้แก่ วัดการเปลี่ยนสีของเปลือกกล้วย ด้วยเครื่อง chroma meter รายงานผลเป็นค่า  $L^*$ , chroma และ Hue ( $h^\circ$ ) วัดความแน่นเนื้อของเนื้อผล ใช้หัวตรวจกระบอก วัดตำแหน่ง หัว กลาง หัวยอด จำนวน 10 ผลต่อช้ำ ทำ 3 ช้ำ ด้วยเครื่อง fruit hardness tester (Force Gauge, FG520K, Daiichi, Japan) ปริมาณของแข็งทั้งหมดที่ละลายน้ำได้ ด้วยเครื่อง Digital Pocket refractometer (PAL-1, ATAGO CO., LTD., Japan) และปริมาณกรดที่ไทเทรตได้ ด้วย 0.1 N NaOH ตามวิธีมาตรฐานของ AOAC (AOAC, 2006) และรายงานเป็นเปอร์เซ็นต์ของกรดมาลิก

## ผล

### 1. ลักษณะทางสัณฐานวิทยาและลักษณะทางกายภาพของกล้วยทิพรสร

ลักษณะทางสัณฐานวิทยาของลำต้นเทียมของกล้วยทิพรสร ลักษณะลำต้นเทียมสีเขียว มีความสูง  $318.50 \pm 69.78$  ซม. ลักษณะของหลังใบมีสีเขียวแก่ เป็นมันวาว ท้องใบสีเขียวอ่อนมีใบปักคลุมปานกลาง สูรสาปของแผ่นใบหั้งสองข้างไม่เท่ากัน ปลายมันหั้งสองข้าง ความยาวแผ่นใบ  $179.56 \pm 35.27$  ซม. ความกว้างแผ่นใบ  $56.38 \pm 9.38$  ซม. ปลีรูปหอก ปลายแหลม มีนวลดอกคลุมมาก กาบปลีม้วน กาบปลีด้านนอกสีม่วงแดง ด้านในสีแดง ดอกเพศผู้สีชมพูม่วง ปลายเหลือง น้ำหนักปลี  $624.57 \pm 30.91$  กรัม ซึ่งสอดคล้องกับค่าสีที่วัดได้จากเครื่องวัดสีของลำต้นเทียม แผ่นใบ กาบปลีด้านนอก กาบปลีด้านใน และดอกเพศผู้ (Table 1 and Figure 1)

Table 1 Chroma value of psuedostem, leaf, outside bract, inside bract and male flowers

Part of banana	L*	a*	b*	Chroma	$h^\circ$
Pseudostem	52.91±6.09	-4.21±1.13	24.57±2.52	25.20±4.27	98.43±6.46
Leaf	31.98±4.89	-11.18±1.81	16.27±3.27	64.33±79.29	125.63±0.98
Outside bract	45.83±4.44	10.17±2.07	4.06±0.80	11.53±1.03	18.96±1.49
Inside bract	40.27±1.93	31.47±3.03	21.29±2.30	38.29±3.26	34.10±2.69
Male flower	56.65±3.93	8.21±0.13	21.56±2.50	23.90±1.90	63.76±8.93

Note: L\*, a\*, b\*, chroma and h° values with an average data from 3 replications with 10 values in each replications.

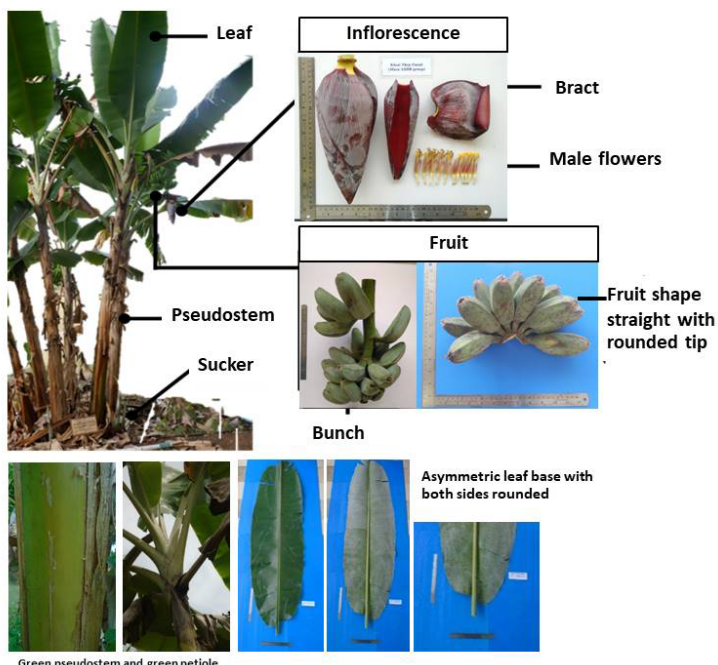


Figure 1 Characteristics of Tiparod' banana plant, leaf, inflorescence and fruit

## 2. การพัฒนาเข้าสู่การสุกและคุณภาพทางเคมี

ผลกล้วยทิพราสพัฒนาจนเข้าสู่ระยะบวบบูรน์ทางสหราชอาณาจักร 126 วันหลังตัดปลี ผลมีรูปร่างตรง ปลายผลมน้ำเงินพบรากาน เกสรเพศเมียติดอยู่ที่ปลายผล ผลใหญ่ค่อนข้างกลมมีเปลือกหนา ผลดิบมีสีเขียวอ่อน ผลแก่จัดมีสีเขียวเข้ม มีน้ำลูกคุณที่ดี ผลมาก ทำให้เห็นเปลือกผลเป็นสีเขียวอมเทา (Figure 1) กล้วยทิพราสมีน้ำหนักเครื่อง  $10.40\pm1.27$  กก.  $4.43\pm0.79$  หวีต่อเครื่อง น้ำหนัก  $2.60\pm0.31$  กก. ต่อหวี มีผล  $11.79\pm1.18$  ผลต่อหวี น้ำหนัก  $271.77\pm6.19$  กรัมต่อผล ความกว้างผล  $5.22\pm0.30$  ซม. ความยาวผล  $16.30\pm0.30$  ซม. ความหนาเปลือก  $5.17\pm0.36$  มม. น้ำหนักเปลือก  $165.08\pm32.23$  กรัม น้ำหนักเนื้อ  $118.63\pm4.99$  กรัม กล้วยทิพราสที่เก็บเกี่ยวยังคงรักษาคุณภาพได้ดี ใช้เวลา  $4.05\pm0.05$  วัน ในการพัฒนาเข้าสู่ระยะสุกพร้อมบริโภค เมื่อผลสุกเปลือกเปลี่ยนจากสีเขียวเป็นสีเหลือง สอดคล้องกับค่า L\* เพิ่มขึ้น ขณะที่ค่า h° มีค่าลดลงจาก  $121.10\pm2.07$  เป็น  $90.97\pm5.09$  ส่วนของเนื้อผลกล้วยมีสีขาวที่ระยะบวบบูรน์และเปลี่ยนเป็นสีขาวครีมเมื่อสุก (Table 2) ความแน่นเนื้อที่ระยะบวบบูรน์  $48.70\pm2.84$  นิวตัน ลดลงเป็น  $7.17\pm1.24$  นิวตันที่ระยะสุก ปริมาณของแข็งทั้งหมดที่ลดลงน้ำหนักเพิ่มขึ้นเมื่อระยะสุกเพิ่มขึ้น โดยเพิ่มจาก  $4.76\pm0.67$  เป็น  $28.42\pm1.42\%$  ปริมาณกรดที่เท่ากันได้เปลี่ยนแปลงในระหว่างการสุกเล็กน้อย จาก  $0.16\pm0.01$  เป็น  $0.21\pm0.01\%$

Table 2 Peel color at physiological mature and fully ripe stages

Part of Banana	Physiological mature stage			Fully ripe stage		
	L*	chroma	h°	L*	chroma	h°
Peel color	51.28±0.58	24.41±2.07	121.10±2.07	67.46±3.36	48.82±5.33	90.97±5.09
Pulp color	90.05±2.76	18.30±1.79	73.82±3.77	76.05±7.35	26.61±1.74	74.06±2.11

### วิจารณ์ผล

ลักษณะทางสัณฐานวิทยาของกล้วยทิพราส ได้แก่ ลำต้นเที่ยมสูง แผ่นใบใหญ่ ผลขนาดใหญ่ (ความกว้างผล  $5.22\pm0.30$  ซม. ยาว  $16.30\pm0.30$  ซม.) มากกว่ากล้วยน้ำว้า (ความกว้างผล 3-4 ซม. ยาว 11-13 ซม.) (เบญจมาศ, 2558) และกล้วยหักมูก (ความกว้างผล  $4.65\pm0.34$  ซม. ยาว  $15.20\pm0.31$  ซม.) (ชาญชัยและกิตติพงษ์, 2551) ซึ่งเป็นกล้วยกลุ่มจีโนม ABB กล้วยทิพราสที่ระบาดบิบูรรณ์ทางสปริงวิทยามีสีเขียวเข้มมีนวลปากดูมหากา ทำให้เห็นสีเปลือกเป็นสีเขียวอมเทา มีผลขนาดใหญ่เนื้อผลแน่นและมีสีขาวที่ระบาดบิบูรรณ์ทางสปริงวิทยา ซึ่งมีความเหมาะสมที่จะนำมาแปรรูปได้เป็นอย่างดี แต่เนื่องจากเนื้อผลมีสีครีม ความแน่นเนื้อลดลง ขณะที่บุรีมาณของแข็งที่ละลายน้ำได้สูงขึ้น แสดงถึงลักษณะเนื้อส้มผัดเนียนนุ่ม ไม่เหลือสีขาวติด หวาน ซึ่งการที่ความแน่นเนื้อของเนื้อผลลดลง เป็นผลมาจากการเปลี่ยนแปลงในผนังเซลล์และชั้นมิดเดิลลาเมลลาสูกร้าวเปลี่ยนแปลงโครงสร้างของผนังเซลล์ (Amnuaysin et al., 2012) ประกอบกับสารเพคตินซึ่งเดิมไม่ละลายน้ำเปลี่ยนมาอยู่ในรูปที่ละลายน้ำเพียงขึ้น ทำให้เนื้อกล้วยนิ่มขึ้น (จริงแท้, 2541) ส่วนการเพิ่มขึ้นของปริมาณของแข็งทั้งหมดที่ละลายน้ำได้ เป็นลักษณะทั่วไปที่พบได้ในระหว่างการสุกของกล้วย โดยเป็นผลมาจากการที่แป้งเปลี่ยนไปเป็นน้ำตาลเพิ่มขึ้น (Fernando et al., 2014) นอกจากนี้ถูกดูแลอย่างส่งผลต่อบุรีมาณของแข็งทั้งหมดที่ละลายน้ำได้ เช่น ถูกหาน้ำมีปริมาณของแข็งที่ละลายน้ำได้สูงกว่าถูกดูแลและถูกฝัน เป็นต้น (Sangudom et al., 2014) อย่างไรก็ตาม บุรีมาณคงคปะกอบทางเคมีขั้นตอนยังคงสภาพแวดล้อมและวิธีการดูแลรักษาในแปลงปลูกด้วย (ดนัยและนิธิยา, 2548)

### สรุป

กล้วยทิพราสเป็นกล้วยที่มีลักษณะต้นสูงใหญ่ ใบใหญ่ ผลขนาดใหญ่ รวมทั้งมีเนื้อผลแน่น สีขาวและเมื่อผลสุกเนื้อมีสีครีม รสชาติดีหวาน เนื้อส้มผัดเนียนนุ่ม ไม่เหลือสีขาวติด หวาน ซึ่งจากลักษณะทั้งทางสัณฐานวิทยาและคุณภาพทางกายภาพ-เคมีของกล้วยทิพราส ใช้เป็นข้อมูลเบื้องต้นในการอนุรักษ์ สงเสริมการนำมากินประยุชน์ และเพิ่มมูลค่าต่อไป

### คำขอบคุณ

งานวิจัยนี้ได้รับทุนสนับสนุนการวิจัยจาก งบประมาณเงินรายได้จากเงินอุดหนุนรัฐบาล (งบประมาณแผ่นดิน) ประจำปีงบประมาณ พ.ศ. 2562 มหาวิทยาลัยบูรพา ผ่านสำนักงานคณะกรรมการการวิจัยแห่งชาติ เลขที่สัญญา 27/2562 และขอบคุณนางสาวศศิพิมพ์ โพธิ์ทอง และนางสาวสมฤทัย ยืนยง สำหรับการช่วยเก็บข้อมูล

### เอกสารอ้างอิง

- จริงแท้ ศรีพานิช. 2541. สรีวิทยาและเทคโนโลยีหลังการเก็บเกี่ยวผักและผลไม้. พิมพ์ครั้งที่ 2. สำนักพิมพ์มหาวิทยาลัยเกษตรศาสตร์, กรุงเทพฯ. 396 น.
- ชาญชัย ศรีพร และกิตติพงษ์ ห่วงรักษ์. 2551. ผลของอายุกล้วยหักมูกต่อสมบัติทางกายภาพของผลกล้วยและสมบัติทางเคมีของแป้งกล้วย. วารสารเกษตรฯ ประจำเดือนกุมภาพันธ์ 26(3): 74-82.
- ดนัย บุญยเกียรติ และนิธิยา รัตนานพนท. 2548. การปฏิบัติภาระหลังการเก็บเกี่ยวผักและผลไม้. พิมพ์ครั้งที่ 5. สำนักพิมพ์โอดีเยนส์โตร์, กรุงเทพฯ. 236 น.
- เบญจมาศ ศิลป์ย้อย. 2558. กล้วย. พิมพ์ครั้งที่ 4. สำนักพิมพ์มหาวิทยาลัยเกษตรศาสตร์, กรุงเทพฯ. 512 น.

- Amnuaysin, N., K. Seraypheap and M. Kidyoo. 2012. Anatomical changes in peel structure of 'Hom Thong' banana during fruit development and ripening. Tropical Natural History12: 127-136.
- AOAC. 2006. Official Methods of Analysis, 18<sup>th</sup> Ed., Association of Official Analytical Chemists, Gaithersburgs, MD.
- Fernando, H.R.P., V. Srilaong, N. Pongprsert, P. Boonyaritthongchai and P. Jitareerat. 2014. Changes in antioxidant properties and chemical composition during ripening in banana variety 'Hom Thong' (AAA group) and 'Khai' (AA group). International Food Research Journal 21: 749-754.
- Sangudom, T., C. V. Wongs-Aree, V. Srilaong, S. Kanlayanarat, T. Wasusri, S. Noichinda and W. Markumlai. 2014. Fruit quality and antioxidant properties of "KluaiKhai" banana (*Musa AA* group) at different stages of harvest maturity. International Food Research Journal 21: 583-588.
- Valmayor, R.V., S.H. Jamaluddin, B. Silayoi, S. Kusumo, L.D. Danh, O.C. Pascua and R.R.C. Espino. 2000. Banana Cultivar Names and Synonyms in Southeast Asia. International Network for the Improvement of Banana and Plantain. Asia and the Pacific Office, Los Banos, Laguna, Philippines. 18 p.
- Venkatachalam, L., R. V. Sreedhar and N. Bhagyalakshmi. 2008. The use of genetic markers for detecting DNA polygenetic relationships among banana cultivars. Molecular Phylogenetics and Evolution 47: 974-985.

**เปรียบเทียบคุณภาพหลังการเก็บเกี่ยวของผลมะเขือเทศ พันธุ์สแนคสลิม 502 และ พันธุ์ PC3 (A9) เพื่อการส่งเสริมอาชีพใหม่ให้กับเกษตรกรในพื้นที่สูงขายขอ บ้านบ่อเหมืองน้อย อำเภอนาแห้ว จังหวัดเลย**  
**Comparison of Postharvest Quality of Snack Slim 502 and PC3 (A9) for Promoting New Careers for Farmers in the Marginal Highland Area; Ban Bor Meung Noi, Nahaew District, Loei Province**

ปิยัทศน์ ทองไตรภพ<sup>1</sup> ชิตima วงศ์ชีรี<sup>1</sup> และพนิดา บุญฤทธิ์คงไชย<sup>2</sup>  
Piyathas Tongtraibhop<sup>1</sup>, Thitima Wongsheree<sup>1</sup> and Panida Boonyaritthongchai<sup>2</sup>

### Abstract

Tomato cvs. Snack Slim 502 (SS) and PC3 (A9) were developed and bred by the National Center for Genetic Engineering and Biotechnology and a private sector in order to support new career for the special small community of marginal highland area Bor Meung Noi, Nahaew District, Loei Province. The objective of this study is to compare the postharvest quality of 2 cultivars of small tomato fruits for new commercial produced. The tomatoes were grown during November 2020 – February 2021. Fresh fruits were harvested and transported to Postharvest Technology laboratory, KMUTT Bankhunten, Bangkok. Comparison of a difference between means of independent samples with 4 replications by statistic test (t-test). The both tomato fruits are cylindrical shape, but the tip of SS fruit is pointed shape whereas PC3 fruit is rounded shape. The color of both tomato cultivars were expressed as values of tomato fruit, L\*, a\*, b\*, chroma and hue angle showed no significant differences in both fruit. However, the SS fruits is significantly higher TSS./TA ratio and pH than PC3 variety difference. However, titratable acidity and firmness were not significantly different ( $p < 0.05$ ). It was concluded that the two varieties of tomatoes did not differences in some physical and chemical properties can encourage farmers to grow for commercial purposes.

**Keywords:** fresh tomatoes, new career, marginal highland

### บทคัดย่อ

มะเขือเทศพันธุ์สแนคสลิม 502 (SS) และ PC3 (A9) เป็นพันธุ์ที่ได้จากการวิจัยและพัฒนาโดยศูนย์พันธุ์วิศวกรรมและเทคโนโลยีชีวภาพแห่งชาติ ร่วมกับบริษัทเอกชน เพื่อสนับสนุนอาชีพให้คนในพื้นที่สูงขายขอ ที่หมู่บ้านบ่อเหมืองน้อย อ.นาแห้ว จ.เลย วัตถุประสงค์ของการศึกษาครั้งนี้ เพื่อเปรียบเทียบคุณภาพหลังการเก็บเกี่ยวของผลมะเขือเทศรับประทานสด สองสายพันธุ์ ปลูกในระหว่างเดือนพฤษจิกายน 2563 ถึงเดือนกุมภาพันธ์ 2564 แล้วเก็บเกี่ยวผลผลิตและขนส่งจากแหล่งปลูก manyang ห้องปฏิบัติเทคโนโลยีหลังการเก็บเกี่ยว มหาวิทยาลัยเทคโนโลยีพระจอมเกล้าธนบุรี บางขุนเทียน เปรียบเทียบความแตกต่างค่าเฉลี่ยของข้อมูล 4 ชั้้า ด้วยการทดสอบทางสถิติ (t-test) มะเขือเทศทั้งสองพันธุ์มีลักษณะผลเป็นทรงกระบอก (cylindrical) แต่พันธุ์ SS ปลายผลมีจุดเล็กน้อยและบริเวณใกล้กับข้อผลคอดลง ส่วนพันธุ์ PC3 ปลายผลลดลง ไม่มีคอดผลมะเขือเทศทั้งสองพันธุ์มีค่าสี ได้แก่ L\*, a\*, b\*, Chroma และ hue angle ไม่แตกต่างอย่างมีนัยสำคัญทางสถิติ ในผลมะเขือเทศพันธุ์ SS มีปริมาณของเย็นทั้งหมดที่ละลายน้ำได้ (TSS) ต่อราส่วนระหว่างปริมาณของเย็นทั้งหมดที่ละลายน้ำได้ และปริมาณกรดที่ให้กรดได้ (TSS/TA ratio) และค่าความเป็นกรด-ด่าง สูงกว่าพันธุ์ PC3 อย่างมีนัยสำคัญทางสถิติ ( $p < 0.05$ ) แต่มะเขือเทศทั้งสองสายพันธุ์ มีปริมาณกรดทั้งหมดที่ให้กรดได้ (TA) และความแน่นเนื้อ (firmness) ไม่แตกต่างกัน สรุปได้ว่า มะเขือเทศทั้งสองพันธุ์มีสมบัติทางกายภาพและเคมีบางประการไม่แตกต่างกัน สามารถส่งเสริมให้เกษตรกรปลูกเพื่อเป็นการค้าต่อไป

**คำสำคัญ:** มะเขือเทศผลสด อาชีพใหม่ พื้นที่สูงขายขอ

<sup>1</sup> ศูนย์วิจัยและบริการเพื่อชุมชนและสังคม สำนักวิจัยและบริการวิทยาศาสตร์และเทคโนโลยี มหาวิทยาลัยเทคโนโลยีพระจอมเกล้าธนบุรี กรุงเทพฯ 10140

<sup>1</sup> University for Community Research and Services Center, ISTRS, King Mongkut's University of Technology Thonburi, Bangkok 10140

<sup>2</sup> หลักสูตรเทคโนโลยีหลังการเก็บเกี่ยว คณะทรัพยากรชีวภาพและเทคโนโลยี มหาวิทยาลัยเทคโนโลยีพระจอมเกล้าธนบุรี วิทยาเขตบางขุนเทียน กรุงเทพฯ 10150

<sup>2</sup> Postharvest Technology Program, School of Bioresources and Technology, King Mongkut's University of Technology Thonburi, Bangkok campus, Bangkok 10150

## คำนำ

พื้นที่หมู่บ้านป่าเมืองน้อย อ.นาแห็ง จ.เลย เป็นหมู่บ้านจัดตั้งใหม่ตามแนวชายแดน เพื่อเป็นการแสดงความเขตให้เด่นชัดด้วยคน ต้นไม้ และสิ่งปลูกสร้าง หลังจากการสำรวจร่องรอยบ้านร่วมเกล้า ปี พ.ศ.2532 หมู่บ้านต้องอยู่ในระดับความสูงจากระดับน้ำทะเล 750 เมตร และอยู่ในอุทยานแห่งชาติตีภูวนารถ มีความหลากหลายทางชีวภาพสูง สภาพพื้นที่สูงชัน กรรมนาคมไม่สะดวก ผลงานให้เกษตรกรไม่ได้รับราคาผลผลิตทางการเกษตรที่ยุติธรรมจากฟอค้าคานกลาง ทางมหาวิทยาลัยเทคโนโลยีพระจอมเกล้าธนบุรี (มจธ.) และสำนักงานพัฒนาวิทยาศาสตร์และเทคโนโลยีแห่งชาติ (สวทช.) จัดเป็นพื้นที่ปฏิบัติการ โดยมีเป้าหมายให้เกษตรกร “อยู่ร่วมกับป่าได้” โดยส่งเสริมและพัฒนาการผลิตพืชที่มีมูลค่าสูงให้กับเกษตรกร เพื่อเพิ่มรายได้ สามารถบรรลุเป้าหมายของการจัดตั้งหมู่บ้าน พืชที่ได้รับการคัดเลือกมีทั้งสตรอว์เบอร์รี่ มะคาเดเมีย มะเขือเทศ รับประทานสด เป็นต้น (ปีที่ศกน และคณะ, 2562) สำหรับมะเขือเทศพันธุ์สแนคลิม และ PC3 เป็นพันธุ์มะเขือเทศรับประทาน สผลลัพธ์ ต้านทานโรคเรื้อรัง (ข้อมูลนิยม, 2563) ที่ได้จากการวิจัยและพัฒนาโดยศูนย์พันธุ์วิศวกรรมและเทคโนโลยีชีวภาพแห่งชาติ สำนักงานพัฒนาวิทยาศาสตร์และเทคโนโลยีแห่งชาติ ร่วมกับบริษัทเอกชน เพื่อสนับสนุนอาชีพให้คนในพื้นที่สูงชัน ขอบคุณ

## อุปกรณ์และวิธีการ

### 1. การปั้นพันธุ์และเก็บเกี่ยว และการขนส่ง

มะเขือเทศทั้งสองสายพันธุ์ ปั้นพันธุ์ในแปลงที่มีการจัดการแปลงปั้นพันธุ์ที่ดี ลดการใช้สารเคมี ปั้นพันธุ์ในเดือนพฤษภาคม 2563 – เดือนกุมภาพันธ์ 2564 คุณภาพมีค่าเฉลี่ย 15 องศาเซลเซียส กลางวันเฉลี่ย 25 องศาเซลเซียส ระยะปั้นพันธุ์ 50 x 50 เซ็นติเมตร ต้นเป็นต้นราก ความคุณสมบูรณ์ของต้นอยู่ในระดับปานกลาง (อินทรีย์วัตถุ ในระดับปานกลาง ค่า pH 6.5) การเติบโตเรียบเรียง ต้นมีเส้นผ่าศูนย์กลาง 2 ตัน/ไร่ ใส่ปุ๋ยเคมีตามช่วงเวลาที่เหมาะสมและความต้องการของมะเขือเทศ การเจริญเติบโตช่วงแรกใช้ปุ๋ยสูตร 15-15-15 และเมื่อออกดอกออกบานถึงเก็บเกี่ยวผลผลิต ใช้ปุ๋ยสูตร 13-13-21 ไม่มีการฉีดพ่นสารเคมีกำจัดศัตรูพืชเลย เก็บเกี่ยวผลผลิตมะเขือเทศ ในช่วงที่ผิวผลมีสีแดง ขนาดต้องขนาด 5 กิโลกรัม ของบริษัทไบโอฟาร์มไทย จำกัด

### 2. ทดสอบในห้องปฏิบัติการ

ทดสอบคุณภาพทางกายภาพและส่วนประกอบทางเคมีในห้องปฏิบัติการหลักสูตรเทคโนโลยีหลังการเก็บเกี่ยวคุณภาพพืชทางชีวภาพและเทคโนโลยี มหาวิทยาลัยเทคโนโลยีพระจอมเกล้าธนบุรี บางขุนเทียน กรุงเทพฯ เปรียบเทียบค่าความส่วน (L\*) ค่าสีแดง (a\*) ค่าสีเหลือง (b\*) ค่าความเข้มของสี (chroma) และค่าสี (hue angle) ของผิวผลมะเขือเทศทั้งสองสายพันธุ์ โดยใช้เครื่องมือ chroma meter (CR400 Minolta colorimeter Minolta, Japan) เปรียบเทียบปริมาณของเยื่องทั้งหมดที่ละลายน้ำได้ (TSS) ปริมาณกรดทั้งหมดที่ไฟเกรตได้ (TA) อัตราส่วนระหว่างปริมาณของเยื่องทั้งหมดที่ละลายน้ำได้และปริมาณกรดทั้งหมดที่ไฟเกรตได้ (TSS/TA ratio) และค่าความเป็นกรด-ด่างของมะเขือเทศทั้งสองสายพันธุ์ และเปรียบเทียบค่าความแน่นเนื้อของผลมะเขือเทศ โดยใช้เครื่อง Texture Analyzer (TA.XT texture analyzer Stable Micro System, UK) โดยกำหนดค่าดังนี้ Pre-Test Speed 1 mm/sec, Test Speed 2 mm/sec, Post-Test Speed 10 mm/sec, Distance 5 mm, Trigger Force 0.049 N

## ผล

มะเขือเทศทั้งสองพันธุ์มีลักษณะผลมันทรงกระบอก (cylindrical) แต่พันธุ์ SS ปลายผลมีจุดแหลมเล็กน้อยและบริเวณใกล้กับข้อผลคอดลง ส่วนพันธุ์ PC3 ปลายผลกลมมน ข้อผลไม่คอดส่วนพันธุ์ PC3 ปลายผลกลมมน ข้อผลไม่คอด (Figure 1) ผลมะเขือเทศทั้งสองพันธุ์มีค่าสี ได้แก่ L\*, a\*, b\*, chroma และ hue angle ไม่แตกต่างอย่างมีนัยสำคัญทางสถิติ โดยผลมะเขือเทศพันธุ์ SS มีปริมาณของเยื่องทั้งหมดที่ละลายน้ำได้ (TSS) อัตราส่วนระหว่างปริมาณของเยื่องทั้งหมดที่ละลายน้ำได้และปริมาณกรดทั้งหมดที่ไฟเกรตได้ (TSS/TA ratio) และค่าความเป็นกรด-ด่าง ซึ่งก่อว่าพันธุ์ PC3 อย่างมีนัยสำคัญทางสถิติ ( $p < 0.05$ ) แต่มะเขือเทศทั้งสองพันธุ์ปริมาณกรดทั้งหมดที่ไฟเกรตได้ (TA) และค่าความแน่นเนื้อ (firmness) ไม่แตกต่างกัน (Table 1)



Figure 1 Appearance of tomato fruit cv. Snack Slim (A) and PC 3 (B) varieties.

**Table 1** Peel color total soluble solids (TSS), titrated acidity (TA), total soluble solids/ titrated acid ratio (TSS/TA ratio), pH and firmness of tomato fruit cv. Snack Slim (SS) and PC3.

Treatments	Peel color					TSS (%)	TA	TSS/TA ratio	pH	Firmness (N)
	L*	a*	b*	c	h°					
SS	40.63	19.16	24.55	31.17	52.03	8.43 <sup>a</sup>	0.41	21.16 <sup>a</sup>	5.25 <sup>a</sup>	4.19
PC3	44.62	19.38	25.97	32.44	53.18	7.05 <sup>b</sup>	0.51	14.12 <sup>b</sup>	5.10 <sup>b</sup>	4.87
F-Test	ns	Ns	ns	ns	Ns	**	ns	*	*	ns
C.V.%	11.75	4.67	5.82	4.76	2.88	1.81	19.62	17.87	1.61	21.67

วิจารณ์ผล

จากการทดลองแสดงให้เห็นว่ามะเขือเทศทั้งสองพันธุ์มีปริมาณของเย็นทั้งหมดที่ละลายน้ำได้ (TSS) เฉลี่ย 7.1-8.4% และความแน่นเนื้อสูง เฉลี่ย 4.2-4.9 นิวตัน ซึ่งสอดคล้องกับเกณฑ์การรับข้อของเอกสารสำหรับมะเขือเทศรับประทานผลสดลูกผสมกลุ่มเอชรีที่กำหนดให้มีค่า TSS มากกว่า 8.0% (สาวนี, 2555) และเป็นที่น่าสังเกตว่ามะเขือเทศพันธุ์ SS มีค่า pH, TSS และอัตราส่วน TSS/TA สูงกว่าพันธุ์ PC3 จึงทำให้รสชาติที่หวานกว่า การศึกษาในอนาคตควรมีการทดลองสอบประสาทสัมผัสของผู้บริโภคโดยการชิมและสำรวจมีการวิเคราะห์สารที่ให้คุณภาพทางโภชนาการ ได้แก่ ไลโคปีน เป็ต้าแแคโรทีน วิตามินซี และสมบัติการเป็นสารต้านอนุมูลอิสระ รวมทั้งศึกษาอย่างการเก็บรักษาของผลมะเขือเทศทั้งสองสายพันธุ์ จากการทดลองรูปแบบการขันส่งผลผลิตทาง บริษัท ไพรัตน์ไทย จำกัด ไม่พบความเสียหายของผลมะเขือเทศในระหว่างการขันส่ง ซึ่งชี้ให้เห็นว่าผลมะเขือเทศทั้งสองพันธุ์มีความทนทานต่อการขันส่ง และอาจไม่จำเป็นต้องขันส่งในสภาพอุณหภูมิต่ำหากขันส่งในระยะเวลาสั้น (2 วัน) จึงควรมีการทดสอบว่าการขันส่งโดยวิธีนี้มีผลต่ออายุการวางจำหน่ายและคุณภาพทางโภชนาการหรือไม่ เพื่อให้เกษตรกรสามารถส่งผลผลิตจำหน่ายได้ทั่วประเทศ ซึ่งเป็นการสร้างอาชีพและรายได้ที่ยั่งยืน

ស៊របៀ

มะเขือเทศทั้งสองสายพันธุ์มีสมบัติทางการแพทย์และส่วนประกอบทางเคมีบางประการไม่แตกต่างกัน มีปริมาณของเย็นทั้งหมดที่ละลายน้ำได้ ทนทานต่อการขยับ สามารถส่งเสริมให้เกิดกระบวนการปลูกเพื่อเป็นการค้าต่อไป

## คำขอบคุณ

ขอขอบคุณห้องปฏิบัติการเทคโนโลยีหลังการเก็บเกี่ยว คณะทรัพยากรชีวภาพและเทคโนโลยี มหาวิทยาลัยเทคโนโลยีพระจอมเกล้าธนบุรี บางขุนเทียน กรุงเทพฯ และนักศึกษาชาวตับปะรินญานาท ในครัวเรือนที่ผลทางกายภาพและเคมี

ศูนย์วิจัยและบริการเพื่อชุมชนและสังคม ที่สนับสนุนงบประมาณในการดำเนินงานในครั้งนี้ รวมทั้ง สถาบันการจัดการเทคโนโลยีและนวัตกรรมเกษตรฯ สาขาว. สนับสนุนเมล็ดพันธุ์มะเขือเทศ PC3

### เอกสารอ้างอิง

- ปิยพัศน์ ทองไตรภพ, สุชีลा เตชะวงศ์เสถียร์ และคุณกฤช จันธุ. 2562. โครงการถ่ายทอดเทคโนโลยี และพัฒนาการปลูกพรวิกและมะเขือเทศ เพื่อสร้างอาชีพให้กับเกษตรกรรุ่นใหม่ ในพื้นที่ อ.นาแห้ว จ.เลย. รายงานฉบับสมบูรณ์. สำนักงานพัฒนาวิทยาศาสตร์และเทคโนโลยีแห่งชาติ, ปทุมธานี. 34 หน้า.
- ชญานินช์ นกแก้ว. 2563. มะเขือเทศพันธุ์ใหม่ด้านไวรัสใบเหลือง เกษตรกรปลดออกซิเจน ลดต้นทุน. [ระบบออนไลน์]. แหล่งที่มา: <http://bangkokbiznews.com/news/detail/868855>. (15 สิงหาคม 2563).
- สาวนี เขตสกุล. 2555. เทคโนโลยีการผลิตมะเขือเทศ. รายงานโครงการวิจัย กรมวิชาการเกษตร. 126 หน้า. [ระบบออนไลน์]. แหล่งที่มา: <http://www.doa.go.th/research/attachment.php?aid=2158>. (15 สิงหาคม 2563).

ผลของเอทิลีนและ 1-MCP ต่อการเสื่อมสภาพของดอกตูมและดอกบานในกล้วยไม้สกุล hairyพันธุ์ข่าวสาร  
Effect of Ethylene and 1-MCP on Bud and Open Flower Senescence in *Dendrobium 'Khao Sanan'* Orchid

กานต์สินี ทาโพ<sup>1,2</sup> พิรยุทธ ศิริจันกร<sup>1,2</sup> และ อัณณุชญาน์ มงคลชัยพฤกษ์<sup>1,2</sup>  
Kansinee Thapo<sup>1,2</sup>, Peerayut Sirithanakorn<sup>1,2</sup> and Anchaya Mongkolchaiyaphruek<sup>1,2</sup>

### Abstract

The effects of ethylene and 1-MCP on bud and open flower senescence of *Dendrobium 'Khao Sanan'* orchid were studied. The orchid inflorescences were treated with 0 and 500 ppb 1-MCP for 3 hours at 25 °C and then were fumigated with 0 and 0.4 ppm ethylene for 24 hours. The treated inflorescences were placed at room temperature ( $25 \pm 2$  °C), 70-80 % relative humidity for 15 days. The experiment was conducted in Completely Randomized Design (CRD) with four treatments, ten replications which one inflorescence per replication. The result showed that the flowers treated just only ethylene were dramatically senescent; the incidence of epinasty, drooping, yellowing, wilting and dropping of bud and open flowers, as well as the ethylene production and respiration rate increased significantly higher than those of other treatment flowers ( $p \leq 0.05$ ). The severity of senescence symptoms, ethylene production and respiration rate occurred in bud flowers more than the open flowers. Moreover, the percentages of flower drooping in the bud and open flowers were  $34.2 \pm 6.6$  and  $67.7 \pm 5.7$  %, respectively which were detected within 2 days, and 18.5 ± 2.5 % of bud yellowing was shown in a vase after 2 days. In contrast, 1-MCP could prevent and delay senescence of orchid flowers. Fifty percent of senescent flowers were found in the flowers treated with only 1-MCP, 1-MCP prior to ethylene, and without 1-MCP and ethylene (control) on day 13, 11 and 6 of experiment, respectively.

**Keywords:** senescence, orchid inflorescences, ethylene

### บทคัดย่อ

การศึกษาผลของเอทิลีน และสาร 1-Methylcyclopropene (1-MCP) ต่อการเสื่อมสภาพของดอกตูมและดอกบานในกล้วยไม้สกุล hairyพันธุ์ข่าวสาร โดยนำช่อดอกกล้วยไม้มารมด้วยสาร 1-MCP ความเข้มข้น 0 ppb และ 500 ppb ที่อุณหภูมิ 25 องศาเซลเซียส เป็นเวลา 3 ชั่วโมง จากนั้นรมด้วยเอทิลีน ความเข้มข้น 0 ppm และ 0.4 ppm เป็นเวลา 24 ชั่วโมง ก่อนนำมาปักเจกันที่อุณหภูมิห้อง ( $25 \pm 2$  องศาเซลเซียส) ความชื้นสัมพัทธ์ 70-80 เปอร์เซ็นต์ เป็นระยะเวลา 15 วัน วางแผนการทดลองแบบสุ่มสมบูรณ์ ประกอบด้วย 4 gramm วิธี กรรมวิธี 10 ช่อง ช่องละ 1 ช่อง จากการศึกษาพบว่า ดอกกล้วยไม้ที่ได้รับเอทิลีนเพียงอย่างเดียวเกิดการเสื่อมสภาพอย่างชัดเจน คือ อาการรุกรุนแรง เช่น เหลือง เหี่ยว และร่วงของดอกตูมและดอกบาน รวมทั้งการผลิตเอทิลีนและอัตราการหายใจเพิ่มขึ้นมากกว่าดอกกล้วยไม้ในกราวิธีอื่นอย่างมีนัยสำคัญทางสถิติ ( $p \leq 0.05$ ) โดยความรุนแรงของการเสื่อมสภาพ การผลิตเอทิลีนและอัตราการหายใจปรากฏในดอกตูมมากกว่าดอกบาน นอกจากนี้ยังพบอาการรุกรุนแรงของดอกตูมและดอกบาน  $34.2 \pm 6.6$  และ  $67.7 \pm 5.7$  เปอร์เซ็นต์ ตามลำดับ ภายในวันที่ 2 และพบอาการเหลืองของดอกตูม  $18.4 \pm 2.5$  เปอร์เซ็นต์ ภายในวันที่ 2 ของการปักเจกัน ในทางตรงกันข้ามการรวมด้วย 1-MCP สามารถป้องกันและชะลอการเสื่อมสภาพของดอกกล้วยไม้ ซึ่งพบการเสื่อมสภาพของดอก 50 เปอร์เซ็นต์ ในดอกกล้วยไม้ที่ได้รับ 1-MCP เพียงอย่างเดียว ดอกกล้วยไม้ที่ได้รับ 1-MCP ก่อนได้รับเอทิลีน และดอกกล้วยไม้ที่ไม่ได้รับ 1-MCP และเอทิลีน (ชุดควบคุม) ในวันที่ 13, 11 และ 6 ของการปักเจกัน ตามลำดับ

**คำสำคัญ:** การเสื่อมสภาพ ดอกกล้วยไม้ เอทิลีน

<sup>1</sup> ภาควิชาพืชสวน คณะเกษตรฯ มหาวิทยาลัยเกษตรศาสตร์ กรุงเทพฯ 10900

<sup>1</sup> Department of Horticulture, Faculty of Agriculture, Kasetart University, Bangkok 10900

<sup>2</sup> ศูนย์นวัตกรรมเทคโนโลยีหลังการเก็บเกี่ยว กระทรวงการอุดมศึกษา วิทยาศาสตร์ วิจัยและนวัตกรรม กทม. 10400

<sup>2</sup> Postharvest Technology Innovation Center, Ministry of Higher Education, Science, Research and Innovation, Bangkok 10400, Thailand

## คำนำ

กล่าวไปมั้จเป็นไม้ดอกเศรษฐกิจที่สำคัญของประเทศไทย มีมูลค่าการส่งออกและสร้างรายได้ให้ประเทศไทยมากกว่า 3 พันล้านบาทต่อปี และมีแนวโน้มเพิ่มขึ้นเรื่อยๆ ซึ่งประมาณร้อยละ 80 เป็นกล้วยไม้ตัดดอก โดยกล้วยไม้สกุล hairy (*Dendrobium*) เป็นสกุลที่มีการส่งออกมากที่สุด (สำนักงานเศรษฐกิจเกษตร, 2564) ซึ่งกล้วยไม้สกุล hairy พันธุ์ขาวสนาน (*Dendrobium 'Khao Sanan'*) เป็นกล้วยไม้ที่ปลูกเลี้ยงง่าย ให้ผลผลิตดี ดอกมีขนาดใหญ่ ดอกสีขาวและมีกลิ่นหอม รูปร่างกลม และจัดเป็นกล้วยไม้ตัดดอกที่สวยงาม ทั้งนี้ปัญหาสำคัญในการส่งออกของกล้วยไม้สกุล hairy พันธุ์ขาวสนาน คือ มีอายุการใช้งานสั้น และเกิดการเสื่อมสภาพอย่างรวดเร็ว โดยแสดงลักษณะอาการต่างๆ เช่น ดอกมีลักษณะคล้ำ กลีบดอกกลู่ กลีบดอกมีสีน้ำตาล ซึ่งการเสื่อมสภาพดังกล่าวเป็นผลมาจากการปัจจัยต่างๆ ได้แก่ การจัดการหลังการเก็บเกี่ยวที่ไม่เหมาะสม ภาวะสมดุลของน้ำ การหายใจ อุณหภูมิ และเอทิลีน (สายชล, 2531)

เอทิลีน (ethylene) เป็นฮอร์โมนพืชที่มีสถานะเป็นแก๊ส มีบทบาทต่อการเสื่อมสภาพของดอกไม้ (senescence) โดยการทำงานของเอทิลีนจะทำงานผ่านโปรตีนตัวรับ จากนั้นจึงส่งสัญญาณให้โปรตีนที่ทำหน้าที่เกี่ยวข้องกับการลดคราฟท์ส ผลให้เกิดการแสดงออกของยีนที่ตอบสนองต่อเอทิลีน (จริงแท้, 2553) ปัจจุบันนิยมใช้สาร 1-methylcyclopropene (1-MCP) ในกระบวนการลดคราฟท์และการเสื่อมสภาพของผลิตผลเพิ่มมากขึ้น ซึ่ง 1-MCP เป็นสารเคมีที่สามารถแทรกตัวอยู่ในรูปแก๊ส สามารถยับยั้งการทำงานของเอทิลีน โดยการเปลี่ยนตัวรับเอทิลีน (receptor site) ได้อย่างมีประสิทธิภาพ (วัฒนา และสมไกษณ์, 2563) ดังนั้นงานวิจัยนี้จึงมุ่งเน้นศึกษาผลของเอทิลีน และ 1-MCP ต่อการเสื่อมสภาพของดอกตูมและดอกบานในกล้วยไม้สกุล hairy พันธุ์ขาวสนาน

## อุปกรณ์และวิธีการ

นำช่อดอกกล้วยไม้สกุล hairy พันธุ์ขาวสนานที่มีคุณภาพดี สม่ำเสมอ ปราศจากโรคและแมลง โดยมีความยาวช่อ 45-50 เซนติเมตร มีดอกตูมจำนวน 8-9 朵 และดอกบานจำนวน 5-6 朵 จากจำนวนกล้วยไม้ของเกษตรกร จำพวกสามพวน จังหวัดนครปฐม marrow ด้วยสาร 1-MCP ความเข้มข้น 0 ppb และ 500 ppb เป็นเวลา 3 ชั่วโมง จากนั้นรวมด้วยเอทิลีนความเข้มข้น 0 ppm และ 0.4 ppm เป็นเวลา 24 ชั่วโมง ภายใต้อุณหภูมิห้อง ( $25 \pm 2$  องศาเซลเซียส) วางแผนการทดลองแบบสุ่มสมบูรณ์ (Completely Randomized Design; CRD) โดยแบ่งเป็น 4 กลุ่มวิธี กรรมวิธีละ 10 ช่อ ได้แก่ ดอกกล้วยไม้ที่ได้รับ 1-MCP หรือเอทิลีนเพียงอย่างเดียว ดอกกล้วยไม้ที่ได้รับ 1-MCP ก่อนได้รับเอทิลีน และดอกกล้วยไม้ที่ไม่ได้รับ 1-MCP และเอทิลีน (ชุดควบคุม) ภายหลังการรวมสารนำช่อตัดออกกล้วยไม้มาปักเจกันในน้ำกลัน โดยวางดอกกล้วยไม้ไว้ที่อุณหภูมิห้อง ( $25 \pm 2$  องศาเซลเซียส) ความชื้นสัมพัทธ์ 70-80 เปอร์เซ็นต์ บันทึกผลการเสื่อมสภาพ ได้แก่ การคล้ำ การกลู่ การเปลี่ยนสีของกลีบดอกตูมและดอกบาน การผลิตเอทิลีนและอัตราการหายใจของดอกตูมและดอกบานของดอกกล้วยไม้ ทุก 2 วัน เป็นระยะเวลา 15 วัน

## ผล

จากการประเมินการเสื่อมสภาพของช่อดอกกล้วยไม้สกุล hairy พันธุ์ขาวสนาน พบว่า ดอกกล้วยไม้ที่ได้รับเอทิลีนความเข้มข้น 0.4 ppm เพียงอย่างเดียว ดอกตูมมีเปอร์เซ็นต์รากบานเพิ่มขึ้นอย่างร้าว รวมทั้งเกิดอาการลดคราฟท์สและเหลืองมากกว่าช่อดอกกล้วยไม้ในกลุ่มที่ไม่ได้รับสาร 1-MCP ความเข้มข้น 500 ppb ( $p \leq 0.05$ ) (Figure 1A) โดยพบอาการคล้ำของดอกตูม  $34.2 \pm 6.6$  เปอร์เซ็นต์ ภายในวันที่ 2 ของการปักเจกัน (Figure 1B) และอาการเหลืองของดอกตูม  $18.4 \pm 2.5$  เปอร์เซ็นต์ ภายหลังจากวันที่ 2 ของการปักเจกัน (Figure 1C)

สำหรับการเสื่อมสภาพของดอกบาน พบว่า ดอกบานของกล้วยไม้ที่ได้รับเอทิลีนความเข้มข้น 0.4 ppm เพียงอย่างเดียว ปรากฏอาการคล้ำและอาการรุ้งเพิ่มขึ้นอย่างรวดเร็ว โดยพบอาการคล้ำและอาการรุ้ง  $67.7 \pm 5.7$  และ  $51.7 \pm 7.7$  เปอร์เซ็นต์ ในวันที่ 2 และวันที่ 3 ของการปักเจกัน ตามลำดับ ในขณะที่ช่อดอกกล้วยไม้ที่ได้รับสาร 1-MCP ความเข้มข้น 500 ppb เพียงอย่างเดียว และช่อดอกกล้วยไม้ที่ได้รับสาร 1-MCP ก่อนได้รับเอทิลีน ปรากฏอาการคล้ำ อาการรุ้ง และอาการเหลืองของดอกบานข้าและน้อยกว่า เมื่อเปรียบเทียบกับช่อดอกกล้วยไม้ที่ได้รับเอทิลีนเพียงอย่างเดียว และช่อดอกกล้วยไม้ชุดควบคุม ซึ่งเมื่อพิจารณาการเสื่อมสภาพจากอาการคล้ำของดอก  $50$  เปอร์เซ็นต์ พบว่า ดอกกล้วยไม้ที่ได้รับ 1-MCP เพียงอย่างเดียว ดอกกล้วยไม้ที่ได้รับ 1-MCP ก่อนได้รับเอทิลีน และช่อดอกกล้วยไม้ที่ไม่ได้รับ 1-MCP และเอทิลีน (ชุดควบคุม) ปรากฏอาการในวันที่ 13, 11 และ 6 ของการปักเจกัน ตามลำดับ (Figure 1D, E และ F) ซึ่งแสดงถึงการเสื่อมสภาพ คือ ดอกบานคล้ำอย่างชัดเจนภายในวันที่ 3 ของการปักเจกัน (Figure 2)

เมื่อพิจารณาการผลิตเอกทิลีนและอัตราการหายใจ พบร่วมกันกล่าวมีน้ำที่ได้รับเอกทิลีนเพียงอย่างเดียว โดยส่วนใหญ่ดอกตูมและดอกบานมีการผลิตเอกทิลีนและอัตราการหายใจสูงกว่าดอกกล้วยไม้ในกรุณาวิธีอื่น ทั้งนี้การได้รับ 1-MCP ก่อนได้รับเอกทิลีนส่งผลให้ดอกตูมและดอกบานของกล้วยไม้มีการผลิตเอกทิลีนและอัตราการหายใจลดลง นอกจากนี้ผลการศึกษา yang พบว่า ดอกตูมของกล้วยไม้มีการผลิตเอกทิลีนและอัตราการหายใจสูงกว่าดอกบาน (Figure 3)

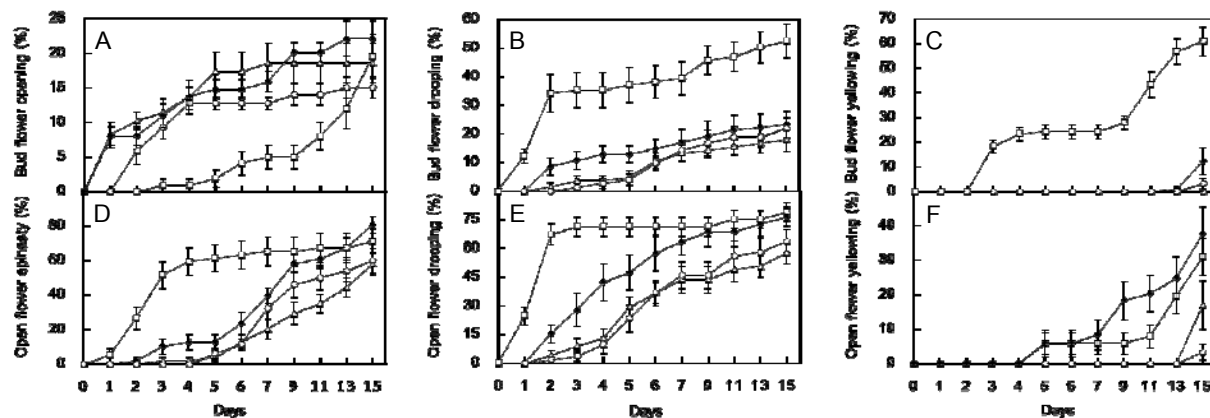


Figure 1 Senescence symptoms of bud (A, B and C) and open (D, E and F) flowers. Inflorescences were treated with 0 ppb 1-MCP + 0 ppm  $C_2H_4$  (control) (—◆—), 0.4 ppm  $C_2H_4$  (—□—), 500 ppb 1-MCP (—△—) and 500 ppb 1-MCP + 0.4 ppm  $C_2H_4$  (—○—).

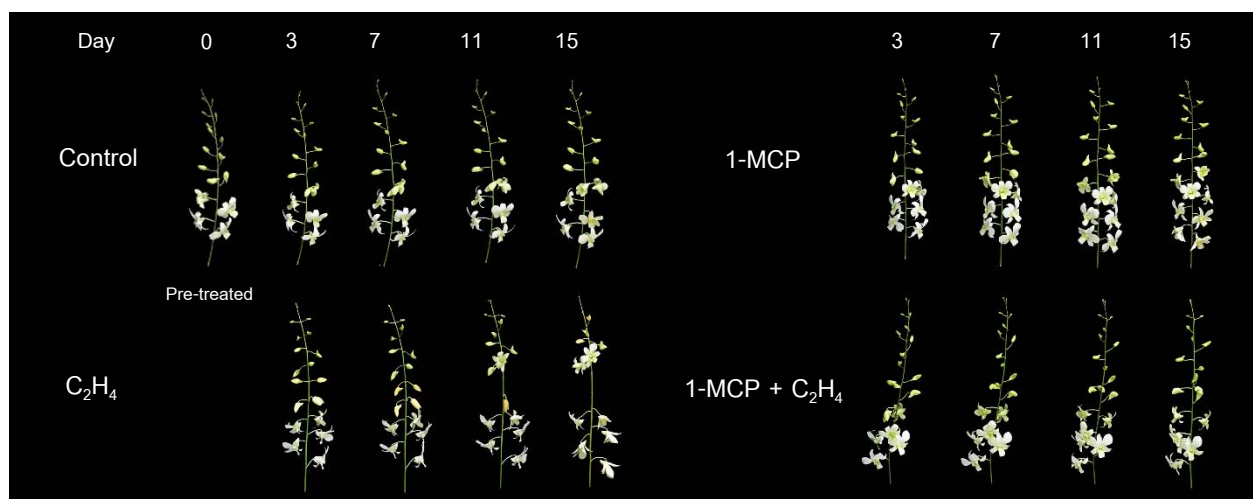


Figure 2 Drooping incidence of *Dendrobium 'Khao Sanan'* orchid flowers treated with 0 ppb 1-MCP + 0 ppm  $C_2H_4$  (control), 0.4 ppm  $C_2H_4$ , 500 ppb 1-MCP and 500 ppb 1-MCP + 0.4 ppm  $C_2H_4$  on day 0, 3, 7, 11 and 15.

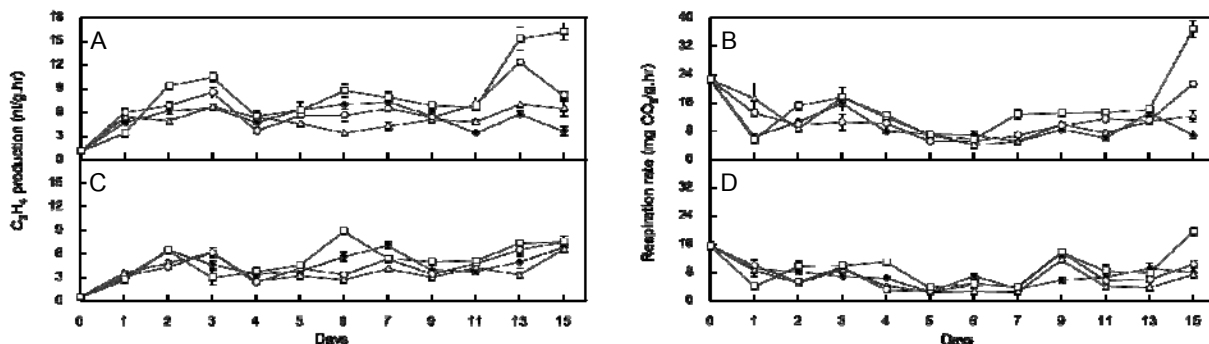


Figure 3 Ethylene production and respiration rate of bud (A and B) and open (C and D) flowers. Inflorescences were treated with 0 ppb 1-MCP + 0 ppm  $C_2H_4$  (control) (—◆—), 0.4 ppm  $C_2H_4$  (—□—), 500 ppb 1-MCP (—△—) and 500 ppb 1-MCP + 0.4 ppm  $C_2H_4$  (—○—)

## วิจารณ์ผล

การสื่อมสภาพของกล้วยไม้ตัดดอกมักเกิดขึ้นเนื่องจากความชื้นและอาหารที่เคยได้รับจากต้นแม่ รวมทั้งเอทิลีนที่เกิดขึ้นจากการเกิดบาดแผลหรือได้รับจากสภาพแวดล้อมที่ไม่เหมาะสม ผลกระทบให้เอทิลีนความเข้มข้น 0.4 ppm กับดอกกล้วยไม้พบว่า ดอกตูมและดอกบานของกล้วยไม้แสดงอาการสื่อมสภาพอย่างชัดเจน ภายในวันที่ 2 และ 3 ภายหลังการได้รับเอทิลีนโดยพบรากบานของดอกตูมน้อยลง ดอกตูมและดอกบานแสดงอาการค่าว่า ลุ่ แลด็อกเหลืองเพิ่มมากขึ้น โดยอาการค่าว่าและอาการลุ่พับในดอกบานมากกว่าดอกตูม ในขณะที่อาการดอกเหลือง การผลิตเอทิลีนและอัตราการหายใจเพิ่บในดอกตูมมากกว่าดอกบาน (Figure 1-3) ซึ่งสอดคล้องกับการศึกษาของภูยานา (2553) ซึ่งรายงานว่า กล้วยไม้สกุลหวายพันธุ์ลักษณะด้วน ซึ่งเป็นพันธุ์ที่ໄວต่อเอทิลีน แสดงอาการลีบดอกลุ่ม สีดอกซีดอย่างชัดเจน หลังจากได้รับเอทิลีน 24 ชั่วโมง หั้งน้ำกลิ่นจากการทำงานของเอทิลีนในการกระตุ้นการสื่อมสภาพของดอกกล้วยไม้เริ่มจากเอทิลีนจับกับโปรตีนตัวรับ จากนั้นส่งสัญญาณให้ไปรตีนที่ทำหน้าที่ในการกระตุ้นการทำงานของดอกหวัส ผลให้มีการแสดงออกของยีนที่ตอบสนองต่อเอทิลีน เช่น ยีนที่เกี่ยวข้องกับการสื่อมสภาพของกลีบดอก และการหลุดร่วง เป็นต้น (จริงแท้, 2553) การให้สาร 1-MCP กับดอกกล้วยไม้สามารถชะลอการสื่อมสภาพได้ เมื่อถูกตัวรับ 1-MCP ยับยั้งการทำงานของเอทิลีน โดยแยกจับกับตัวรับเอทิลีน ทำให้เอทิลีนไม่สามารถทำงานส่งสัญญาณไปยังไปรตีนกระตุ้นการดอกหวัส จึงไม่มีการแสดงออกของยีนที่เกี่ยวข้องกับการสื่อมสภาพ (วัฒนา และสมโนชนน์, 2563) จากการศึกษาพบว่า ดอกกล้วยไม้สกุลหวายพันธุ์ขาวสนานที่ได้รับ 1-MCP ความเข้มข้น 500 ppb ก่อนได้รับเอทิลีน แสดงอาการสื่อมสภาพลดลงอย่างชัดเจน โดย 1-MCP สามารถชะลอการสื่อมสภาพของดอกกล้วยไม้ที่ได้รับเอทิลีนจาก 2 วัน เป็น 11-13 วัน (Figure 2) เมื่อพิจารณาการผลิตเอทิลีนและอัตราการหายใจของดอกกล้วยไม้สกุลหวายพันธุ์ขาวสนาน พบว่า ดอกตูมมีการผลิตเอทิลีนและอัตราการหายใจมากกว่าดอกบาน (Figure 3) เช่นเดียวกับงานวิจัยของ Ketsa et al. (2001) และ Uthaichay et al. (2007) ซึ่งรายงานว่า ดอกกล้วยไม้สกุลหวายในระยะดอกตูมมีการผลิตเอทิลีนและอัตราการหายใจมากกว่าในระยะดอกบาน ดังนั้นมีดอกกล้วยไม้ได้รับเอทิลีนดอกตูมจึงตอบสนองต่อเอทิลีนและแสดงอาการสื่อมสภาพ เกิดอาการเหลือง และดอกร่วงอย่างชัดเจนมากกว่าดอกบาน

## สรุป

เอทิลีนความเข้มข้น 0.4 ppm สามารถกระตุ้นการสื่อมสภาพของดอกตูมและดอกบานของกล้วยไม้สกุลหวายพันธุ์ขาวสนาน โดยดอกตูมจะตอบสนองต่อเอทิลีนและเกิดการสื่อมสภาพมากกว่าดอกบาน การให้ 1-MCP ความเข้มข้น 500 ppb สามารถชะลอการสื่อมสภาพของดอกกล้วยไม้สกุลหวายพันธุ์ขาวสนานที่ได้รับเอทิลีนได้

## คำขอบคุณ

งานวิจัยนี้ได้รับการสนับสนุนงบประมาณ ประจำปี 2561 จากศูนย์นวัตกรรมเทคโนโลยีหลังการเก็บเกี่ยว กระทรวงการอุดมศึกษา วิทยาศาสตร์ วิจัยและนวัตกรรม

## เอกสารอ้างอิง

- ภูยานา กิริวงศ์ก์. 2553. การตายของเซลล์ในช่วงการสร้างพองดอกกล้วยไม้สกุลหวาย (*Dendrobium*) ที่ถูกขัดนำโดยเอทิลีน. วิทยานิพนธ์ปริญญาเอก. ภาควิชาพืชสวน คณะเกษตร มหาวิทยาลัยเกษตรศาสตร์, กรุงเทพฯ. 155 น.
- จริงแท้ ศิริพานิช. 2553. ชีววิทยาหลังการเก็บเกี่ยวและการรายของพืช. วงศ์พิมพ์ศูนย์ส่งเสริมและฝึกอบรมการเกษตรแห่งชาติมหาวิทยาลัยเกษตรศาสตร์, นครปฐม. 453 น.
- วัฒนา อัจฉริยะโพธิ์ และสมโนชนน์ น้อยจินดา. 2563. 1-methylcyclopropene (1-MCP): สารยับยั้งการทำงานของเอทิลีนในผัก ผลไม้ และดอกไม้สด. วารสารวิจัยและนวัตกรรมทางวิทยาศาสตร์และเทคโนโลยี 1: 10-26.
- สายชล เกตุชล. 2531. เทคนิคโลหะหลังการเก็บเกี่ยวของดอกไม้. พิมพ์ครั้งที่ 1. บริษัทสารมวลชล จำกัด. กรุงเทพมหานคร. 291 น.
- สำนักงานเศรษฐกิจการเกษตร. 2564. สารสนเทศเศรษฐกิจการเกษตรรายสินค้า ปี 2563. กระทรวงเกษตรและสหกรณ์. [ระบบออนไลน์]. แหล่งที่มา: [www.oae.go.th/assets/portals/1/files/journal/2564/commodity2563.pdf](http://www.oae.go.th/assets/portals/1/files/journal/2564/commodity2563.pdf). (3 มิถุนายน 2564)
- Ketsa, S., A. Uthairatanakij and A. Prayurawong. 2001. Senescence of diploid and tetraploid cut inflorescences of *Dendrobium Caesar*. *Scientia Horticulturae* 91: 133-141.
- Uthaichay, N., S. Ketsa and W.G. van Doorn. 2007. 1-MCP pretreatment prevents bud and flower abscission in *Dendrobium* orchids. *Postharvest Biology and Technology* 43: 374-380.

ความต้านทานข้ามต่อสารเคมีในกลุ่ม QoI และ DMI ของเชื้อรา *Colletotrichum siamense* สาเหตุโรค  
แอนแทรคโนสของมะม่วงที่ต้านทานต่อสารเคมีในกลุ่ม benzimidazole

Cross-resistance to the QoI and DMI Fungicides in Benzimidazole-resistant *Colletotrichum siamense*;  
Causal Agent Mango Anthracnose Disease

รัติยา พงศ์พิสุทธา<sup>1,2</sup> ชัยณรงค์ รัตนกรีฑากุล<sup>1,2</sup> และสันติ บินคาดอร์<sup>1,2</sup>  
Ratiya Pongpisutta<sup>1,2</sup>, Chainarong Rattanakreetakul<sup>1,2</sup> and Santiti Bincader<sup>1,2</sup>

### Abstract

Anthracnose disease affects to quantity and quality of mango production. Nowadays, disease controlling method apply by using fungicide which more efficient to against mango anthracnose. Whilst fungicide resistance occurred influencing to disease control failure because the farmer uses the fungicide for very long period. Other fungicide classes as a new choice for the grower should be tried. The objective of this research was to investigate fungicide resistance of *Colletotrichum siamense* isolate RB006. The results showed that the fungi can grow on PDA containing benzimidazole fungicide at the concentration of 1,000 mg/L. Molecular detection showed the mutation of amino acid at codon E198A compared with reference sequence. Cross-resistance with QoI fungicides indicated that *C. siamense* RB006 can be grown on high concentration at 1,000 mg/L, while it could not grow on DMI fungicides (inhibitory concentration at 10 – 100 mg/L). This research was a preliminary study of fungal resistance to comprehend and learn how to protect and reduce fungal resistance affecting control of plant pathogenic fungi from this point forward.

**Keywords:** cross-resistance, mango disease, fungicide chemical

### บทคัดย่อ

โรคแอนแทรคโนสส่งผลกระทบต่อปริมาณและคุณภาพของผลผลิตมะม่วง การควบคุมในปัจจุบันนิยมใช้สารเคมีซึ่งง่าย และมีประสิทธิภาพ แต่พบว่าเชื้อราเกิดความต้านทานต่อสารเคมีซึ่งใช้มาเป็นระยะเวลานาน ส่งผลให้การควบคุมโรค เป็นไปได้ยากขึ้น การเลือกใช้สารเคมีกลุ่มนี้ จึงน่าจะเป็นทางเลือกของเกษตรกรในปัจจุบัน งานวิจัยนี้วัดถูประสงค์เพื่อที่จะ ตรวจสอบความต้านทานของสารเคมีป้องกันกำจัดเชื้อราของ *Colletotrichum siamense* ไอโซเลท RB006 ต่อสารเคมี พบร่วม เชื้อรากับความต้านทานต่อสารเคมีในกลุ่ม benzimidazole โดยสามารถเจริญได้บนอาหารเดี่ยวที่ผสมสารเคมีที่ความเข้มข้น สูงถึง 1,000 mg/L จากตรวจสอบข้อมูลทางอณูชีวโมเลกุล พบว่ามีการเปลี่ยนแปลงของกรดอะมิโนที่ codon E198A จากการ ทดสอบความต้านทานข้ามกลุ่ม พบร่วมเชื้อรา *C. siamense* RB006 สามารถเจริญได้บนอาหารเดี่ยวที่ผสมสารเคมีในกลุ่ม QoI ที่ความเข้มข้นสูง 1,000 mg/L แต่ไม่สามารถเจริญได้บนอาหารที่ผสมสารเคมีในกลุ่ม DMI (ความเข้มข้นควบคุม 10 – 100 mg/L) งานวิจัยนี้เป็นเพียงจุดเริ่มต้นของการศึกษาเชื้อราที่แสดงความต้านทาน เพื่อทำความเข้าใจและเรียนรู้ทางที่จะ ป้องกัน รวมทั้งลดความเสี่ยงในการผลิตพันธุ์ของเชื้อรา ซึ่งส่งผลต่อการควบคุมเชื้อราสาเหตุโรคในอนาคตต่อไป

**คำสำคัญ:** การตัดยอด โรคของมะม่วง สารเคมีป้องกันกำจัดเชื้อรา

### คำนำ

การดื้อยาแบบข้ามกลุ่ม หรือ cross-resistance จัดเป็นปัญหาที่ส่งผลกระทบต่อกระบวนการป้องกันและควบคุมโรค แอนแทรคโนสของมะม่วงหลังการเก็บเกี่ยวค่อนข้างสูง จากข้อมูลของ Mahoney and Tattar ในปีค.ศ. 1980 พบว่าการใช้ สารเคมีที่มีกลไกการออกฤทธิ์แบบ single-site ซึ่งใช้กันอย่างมากในการใช้ควบคุมโรคแอนแทรคโนส โดยสารเคมีดังกล่าว มักอยู่ในกลุ่ม benzimidazole เช่น benomyl, thiophanate-methyl และ carbendazim (Prakash and Pandey, 2000; Devi et al., 2014) หลังจากใช้สารเคมีกลุ่มดังกล่าวมาอย่างยาวนาน พบว่าการควบคุมโรคกลับไม่มีประสิทธิภาพเท่าที่ควร ด้วยเหตุ นี้จึงได้มีการศึกษาและจัดแบ่งกลุ่มสารเคมีออกเป็นหมวดหมู่ตามกลไกการออกฤทธิ์ เพื่อลดการใช้สารเคมีชนิดเดิมซ้ำกันเป็น ระยะเวลานาน (Fungicide resistance action committee: FRAC, 2020)

<sup>1</sup> ภาควิชา生物พัช คณะเกษตร กำแพงแสน มหาวิทยาลัยเกษตรศาสตร์ วิทยาเขตกำแพงแสน จ. นครปฐม 73140

<sup>1</sup> Department of Plant Pathology, Faculty of Agriculture at Kamphaeng Saen, Kasetsart University, Kamphaeng Saen Campus, Nakhon Pathom 73140

<sup>2</sup> ศูนย์นวัตกรรมเทคโนโลยีหลังการเก็บเกี่ยว กระทรวงการอุดมศึกษา วิทยาศาสตร์ วิจัยและนวัตกรรม กรุงเทพฯ 10400

<sup>2</sup> Postharvest Technology Innovation Center, Ministry of High Education, Science, Research and Innovation, Bangkok 10400.

สารเคมีในกลุ่ม Qol (quinone-outside inhibitor) เช่น azoxystrobin, kresoxim-methyl และ pyraclostrobin และสารเคมีในกลุ่ม DMI (demethylation inhibitors) เช่น cyproconazole, difenoconazole และ prochloraz เป็นสารเคมีที่ถูกนำมาใช้ทดแทนสารเคมีในกลุ่ม benzimidazole เพื่อการควบคุมโรคแอนแทรคโนสที่เกิดจากเชื้อรากในสกุล *Colletotrichum* เนื่องจากมีกลไกการออกฤทธิ์ที่แตกต่างไปจากเดิม ด้วยเหตุนี้จึงมีเกษตรกรจำนวนไม่น้อยหันมาใช้สารเคมี 2 กลุ่ม ดังล่าสุด แต่ด้วยพฤติกรรมการใช้สารเคมีชนิดเดิม ซ้ำๆ เป็นระยะเวลานาน ก่อผลผลกระทบให้เชื้อรากเกิดความต้านทานต่อสารเคมีนี้เข่นกัน จากรายงานของ Ma and Michailides (2005) ได้ร่วบรวมข้อมูลเกี่ยวกับความต้านทานของเชื้อรากต่อสารเคมี และพบว่าสารเคมีในกลุ่ม benzimidazole นั้นมีผลทำให้เชื้อรากเกิดความต้านทานค่อนข้างสูง ทำให้การควบคุมโรคไม่มีประสิทธิภาพ นอกจากนี้สารเคมีก็กลุ่มนี้ยังส่งผลกระทบให้เชื้อรากแสดงความต้านทานต่อสารเคมีแบบข้ามกลุ่ม ซึ่งเป็นปัญหาในการจัดการโรค แอนแทรคโนสเป็นอย่างมาก งานวิจัยนี้ได้ทำการศึกษาเชื้อราก *Colletotrichum siamense* ซึ่งเป็นเชื้อสาเหตุโรคแอนแทรคโนส วิจัยนี้เน้นขอมะว่างน้ำดอกไม่สีทองซึ่งต้านทานสารเคมีในกลุ่ม benzimidazole ต่อการตอบสนองต่อสารเคมีในกลุ่ม Qol และ DMI เพื่อใช้เป็นแนวทาง หรือวิธีการในการแก้ปัญหาการใช้สารเคมีให้มีประสิทธิภาพต่อไป

### อุปกรณ์และวิธีการ

#### 1. เชื้อรากที่ใช้ในการศึกษา

เชื้อราก *Colletotrichum siamense* ไอโซเลท RB006 (ITS-accession number: MK215699.1) ได้รับความอนุเคราะห์จากห้องปฏิบัติการราวิทยา ภาควิชาโรคพืช คณะเกษตรฯ กำแพงแสน มหาวิทยาลัยเกษตรศาสตร์ วิทยาเขตกำแพงแสน นำมาเลี้ยงบนอาหาร potato dextrose agar (PDA) บ่มใต้แสง near UV สลับมีด 12 ชั่วโมง จากนั้นทำการสกัดดีเอ็นเอตามวิธีการของ Pongpisutta et al. (2013) โดยใช้ protease และสารละลาย phenol chloroform isoamyl alcohol (25:24:1) ในการตอกตะกอนโปรตีน จากนั้นกำจัด RNA ด้วยการเติมเอนไซม์ RNase และหยุดปฏิกิริยาด้วยสารละลาย chloroform isoamyl alcohol (24:1) และตอกตะกอนดีเอ็นเอด้วย absolute alcohol ตรวจสอบคุณภาพของดีเอ็นเอด้วย 1.2% agarose gel electrophoresis ใน 1XTBE buffer เก็บดีเอ็นเอที่ได้ใน -20°C เพื่อใช้ในการศึกษาต่อไป

#### 2. การตรวจสอบความต้านทานของเชื้อรากต่อสารเคมีในกลุ่ม benzimidazole

นำเชื้อราก *C. siamense* ไอโซเลท RB006 ที่เลี้ยงบนอาหารเลี้ยงเชื้อราก PDA อายุ 5 วัน มาตรวจสอบความต้านทานต่อสารเคมีด้วยวิธี minimum inhibitory concentration (MIC) โดยการเจาะเชื้อรากบริเวณขอบโคลนีด้วย cork borer ขนาด 0.6 cm จากนั้นข้ายลง 24 microwell plate ที่มีอาหารเลี้ยงเชื้อราก PDA ผสมกับสารเคมีในกลุ่ม benzimidazole จำนวน 3 ชนิด ได้แก่ benomyl, carbendazim และ thiophanate methyl ความเข้มข้นแตกต่างกัน 6 ระดับ คือ 0 (control), 0.1, 1.0, 10.0, 100.0 และ 1,000 mg/L บ่มใต้แสง near UV สลับมีด 12 ชั่วโมง อุณหภูมิ 25°C ตรวจสอบ และบันทึกภาพและผลการเจริญของเส้นใยตามวิธีการ (2563) ทุกวัน จนครบ 7 วัน

จากนั้นตรวจสอบการเปลี่ยนแปลงของเชื้อรากในระดับอนุเชื้อไม่เลกุลที่กรดอะมิโนลำดับ 198 โดยการเพิ่มปริมาณสารพันธุกรรมบริเวณ β-tubulin gene ด้วยไฟเร默ร์ TB2L (5' GTTTCCAGATCACCCACTCC '3) and TB2R (5' TGAGCTCAG GAACACTGACG '3) (Peres et al., 2004) ส่งวิเคราะห์และเปรียบเทียบกับลำดับนิวคลีโอไทด์กับเชื้อรากมาตรฐาน *C. gloeosporioides* f. sp. *aeschynomene*

#### 3. ตรวจสอบการดื้อยาแบบข้ามกลุ่มของเชื้อราก

นำเชื้อราก *C. siamense* ไอโซเลท RB006 เลี้ยงบนอาหารเลี้ยงเชื้อราก PDA อายุ 5 วัน มาตรวจสอบความดื้อยาแบบข้ามกลุ่มด้วยวิธี minimum inhibitory concentration (MIC) โดยการเจาะเชื้อรากบริเวณขอบโคลนีด้วย cork borer ขนาด 0.6 cm จากนั้นข้ายลง 24 microwell plate ที่มีอาหารเลี้ยงเชื้อราก PDA ผสมกับสารเคมีในกลุ่ม Qol จำนวน 3 ชนิด ได้แก่ azoxystrobin, kresoxim-methyl และ pyraclostrobin และสารเคมีก็กลุ่ม DMI จำนวน 3 ชนิด ได้แก่ cyproconazole, difenoconazole และ prochloraz ความเข้มข้นแตกต่างกัน 6 ระดับ คือ 0 (control), 0.1, 1.0, 10.0, 100.0 และ 1,000 mg/L บ่มใต้แสง near UV สลับมีด 12 ชั่วโมง อุณหภูมิ 25°C ตรวจสอบ และบันทึกภาพและผลการเจริญของเส้นใยตามวิธีการ (2563) ทุกวัน จนครบ 7 วัน

### ผล

#### 1. เชื้อรากที่ใช้ในการศึกษา

เชื้อราก *C. siamense* ไอโซเลท RB006 บนอาหารเลี้ยงเชื้อราก PDA ที่อายุ 5 วัน มีการสร้างเส้นใยสีขาวปนเทา เจริญพูจากผิวน้ำอาหาร พบรากสร้างกลุ่มสปอร์ (spore mass) สีส้ม ด้านหลังโคลนีมีสีเทาสับส้ม เจริญขึ้นกันเป็นวง ตรวจสอบภายในโครงสร้างของเซลล์ที่ร่วง落ทับกันเป็นร่อง ยาวประมาณ 4.78 – 7.50 x 7.35 – 14.29 ไมโครเมตร ไม่พบการสร้าง setae พบราก appressorium มีรูป่าวง clavate ถึง irregular สีน้ำตาลอ่อน ทำการสกัดดีเอ็นเอตามวิธีการของ Pongpisutta et al. (2013) ได้ดีเอ็นเอความเข้มข้นประมาณ 80 นาโนกรัม ไม่พบการปนเปื้อนของโปรตีนและ RNA

## 2. การตรวจสอบความต้านทานของเชื้อราต่อสารเคมีในกลุ่ม benzimidazole

ทำการทดสอบความต้านทานของเชื้อรา *C. siamense* ไอโซเลท RB006 ต่อสารเคมีในกลุ่ม benzimidazole จำนวน 3 ชนิด พบร้าเชื้อราสามารถเจริญและสร้างเส้นใยได้บนอาหารเดี้ยงเชื้อที่ผสมสารเคมีทั้ง 3 ชนิด ที่ระดับความเข้มข้นสูงสุด (1,000 mg/L) ในวันที่ 3 หลังการปลูกเชื้อ เมื่อทำการตรวจสอบลำดับนิวคลีโอไทด์บิวเทน  $\beta$ -tubulin gene เปรียบเทียบกับลำดับนิวคลีโอไทด์เชื้อรามาตราฐาน *C. gloeosporioides* f. sp. *aeschynomene* ที่เชื้อทางอิง พบร้ามีลำดับนิวคลีโอไทด์บิวเทน 1,285 – 1,287 คู่เบส ที่แตกต่างกัน ( $GAG \rightarrow GCG$ ) ส่งผลให้มีการแปลงรหัสเป็นกรดอะมิโนที่แตกต่างไปจากเดิม (E198A)

### 3. ตรวจสอบการตีข้อแยกข้ามกลุ่มของเชื้อรา

จากการทดสอบความต้านทานข้ามต่อสารเคมีในกลุ่ม QoI พบร้าหลังการปลูกเชื้อ 3 วัน สารเคมี pyraclostrobin มีศักยภาพในการควบคุมการเจริญเติบโตได้ดีที่สุด โดยที่ความเข้มข้น 10 mg/L ไม่พบการเจริญของเส้นใย ในขณะที่สารเคมี azoxystrobin และ kresoxim-methyl นั้น พบร้าที่ความเข้มข้นสูงขึ้น (100 mg/L) ไม่พบการเจริญของเส้นใยเชื้อรา แต่หลังการปลูกเชื้อ 7 วัน เชื้อรา *C. siamense* สามารถเจริญได้ในทุกความเข้มข้นของสารเคมีทั้ง 3 ชนิด (ความเข้มข้นสูงสุด 1,000 mg/L) สำหรับสารเคมีในกลุ่ม DMI นั้น พบร้าหลังการปลูกเชื้อ 3 วัน สารเคมีทั้ง 3 ชนิดสามารถควบคุมการเจริญของเส้นใยเชื้อราได้ดี โดยไม่พบการเจริญของเส้นใยเชื้อราที่ความเข้มข้นตั้งแต่ 0.1 mg/L (ความเข้มข้นต่ำสุด) และเมื่อระยะเวลาผ่านไป 7 วัน เชื้อรามาตราฐานเจริญและสร้างเส้นใยได้ที่ความเข้มข้น 10 mg/L และ 100 mg/L ซึ่งเมื่อตรวจสอบจากอัตราแน่นำของสารเคมีที่ระบุในลักษณะนี้ พบว่าความเข้มข้นดังกล่าวยังเป็นความเข้มข้นที่ทำกว่าอัตราแน่นำ

**Table 1** Efficiency of different fungicide classes to control benzimidazole-resistant *Colletotrichum siamense* isolate RB006

Fungicide classes	MIC assay (mg/L)*	
	3 days	7 days
<i>Benzimidazole</i>		
Benomyl	>1,000	>1,000
Carbendazim	>1,000	>1,000
Thiophanate methyl	>1,000	>1,000
<i>QoI</i>		
Azoxystrobin	100	>1,000
kresoxim-methyl	100	>1,000
pyraclostrobin	10	>1,000
<i>DMI</i>		
Cyproconazole	0.1	10
Difenoconazole	0.1	100
Prochloraz	0.1	10

\*วางแผนการทดลองแบบ Completely Randomized Design (CRD) แต่ละกรวยมี 3 ชุด



**Figure 1** Colony of *C. siamense* isolate RB006 on PDA culture contained with different fungicides.

## วิจารณ์ผล

จากการตรวจสอบเชื้อรา *C. siamense* ไอโซเลท RB006 โดยอาศัยลักษณะทางพินัยเป็นชื่อและข้อมูลทางอนุชีวโมเลกุล พบร้าเชื้อรานี้มีความต้านทานต่อสารเคมีในกลุ่ม benzimidazole โดยสามารถเจริญได้บนอาหารที่ผสมสารเคมีในกลุ่ม benzimidazole ในความเข้มข้นที่สูง และมีการเปลี่ยนแปลงของตำแหน่ง codon 198 สำคัญลักษณะของงานของ *Nalumpang et al.* (2010) และ *Poti et al.* (2020) ที่พบร้าเชื้อรานี้ในสกุล *Colletotrichum* ที่ต้านทานต่อสารเคมีในกลุ่ม benzimidazole จะมีการเปลี่ยนแปลงของ codon ที่ 198 (E198A) ส่งผลให้มีการแปลงรหัสจาก glutamic acid เป็น alanine ซึ่งสัมพันธ์กับเชื้อราก้าวขึ้น (U14138) ซึ่งเป็นสายพันธุ์ที่อ่อนแอก (Buhr and Dickman, 1993) สำหรับการแสดงความต้านทานข้ามต่อสารเคมีในกลุ่ม QoI พบร้าสารเคมีทั้ง 3 ชนิด ไม่สามารถควบคุมการเจริญของเส้นใยเชื้อรา *C. siamense*

ไอโซเลท RB006 ที่ต้านทานต่อสารเคมีในกลุ่ม benzimidazole ได้ สอดคล้องกับรายงานของ Tachiro et al. (2019) ที่ศึกษาการควบคุมโรคแอนแทรคโนสของแพร์ในประเทศไทย บุน และพบว่าการใช้สารเคมีในกลุ่ม benzimidazole ส่งผลให้เชื้อราเกิดความต้านทานต่อสารเคมีกลุ่มนี้ได้ง่าย ในขณะเดียวกันเชื้อราที่ต้านทานต่อสารในกลุ่มดังกล่าวยังมีแนวโน้มที่จะแสดงความต้านทานข้ามต่อสารเคมีในกลุ่ม QoI ได้เช่นกัน สำหรับสารเคมีในกลุ่ม DMI นั้นพบว่าสามารถควบคุมการเจริญของเชื้อราได้ สอดคล้องกับรายงานของ FRAC (2020) ที่กล่าวว่าสารเคมีในกลุ่ม DMI ส่งผลให้เชื้อราเกิดความต้านทานต่อสารเคมีในระดับต่ำ แม้จะมีรายงานเรื่องความต้านทานข้าม แต่ความต้านทานข้ามนั้นเกิดเพียงความต้านทานต่อสารเคมีในกลุ่มเดียวกันเท่านั้น ไม่ได้ส่งผลต่อการต้านทานข้ามต่อสารเคมีกลุ่มอื่นๆ แต่อย่างใด ดังนั้นการเลือกใช้สารเคมีเพื่อการควบคุมโรคแอนแทรคโนสของมะม่วง ควรเลือกใช้สารเคมีที่หลอกหลายกลุ่ม ทั้งนี้เพื่อลดการเกิดความต้านทานของเชื้อราต่อสารเคมี ซึ่งจะส่งผลกระทบต่อการควบคุมโรคในอนาคตได้

### สรุป

เชื้อรา *C. siamense* ไอโซเลท RB006 ที่แสดงความต้านทานต่อสารเคมีในกลุ่ม benzimidazole มีแนวโน้มที่จะต้านทานต่อสารเคมีในกลุ่ม QoI ได้เช่นกัน เนื่องจากเป็นสารเคมีในรูปแบบที่มีกลไกการออกฤทธิ์แบบ single-site สำหรับสารเคมีในกลุ่ม DMI นั้น ยังคงพบว่าสามารถยับยั้งการเจริญของเชื้อรา *C. siamense* ได้ แต่มีข้อควรระวังเรื่องการใช้สารกลุ่มเดียวกัน เนื่องจากเชื้อราชนิดนี้เกิดความต้านทานข้ามกับสารเคมีในกลุ่ม DMI ได้เช่นกัน

### คำขอบคุณ

งานวิจัยนี้ ได้รับการสนับสนุนจากศูนย์นวัตกรรมเทคโนโลยีห้องการเรียนรู้ กระทรวงการอุดมศึกษา วิทยาศาสตร์ วิจัยและนวัตกรรม กทม. และขอขอบคุณห้องปฏิบัติการราวิทยา ภาควิชาโรคพืช คณะเกษตร กำแพงแสน มหาวิทยาลัยเกษตรศาสตร์ วิทยาเขตกำแพงแสน สำหรับการเอื้อเพื่อสถานที่ และคุปกรณ์ในการทำวิจัย

### เอกสารอ้างอิง

- รัตตยา พงศ์พิสุทธิ์ และชัยณรงค์ รัตนกรีฑากุล. 2563. โรคกิงแห้งของทุเรียน. ภาควิชาโรคพืช คณะเกษตร กำแพงแสน มหาวิทยาลัยเกษตรศาสตร์ วิทยาเขตกำแพงแสน, นครปฐม.
- Buhr, T.L. and M.B. Dickman. 1993. Isolation and characterization of a  $\beta$ -tubulin-encoding gene from *Colletotrichum gloeosporioides* f. sp. *aeschynomene*. Gene 124(1): 121-125. doi:[https://doi.org/10.1016/0378-1119\(93\)90771-T](https://doi.org/10.1016/0378-1119(93)90771-T)
- Devi, P., M. Paramasivam and V. Prakasam. 2014. Degradation pattern and risk assessment of carbendazim and mancozeb in mango fruits. Environmental Monitoring and Assessment 187: 1 – 6.
- Fungicide resistance action committee (FRAC). 2020. FRAC Code List©\*2020: Fungal control agents sorted by cross resistance pattern and mode of action (including FRAC Code numbering). [Online]. Available source: [https://www.frac.info/docs/default-source/publications/frac-code-list/frac-code-list-2020-final.pdf?sfvrsn=8301499a\\_2](https://www.frac.info/docs/default-source/publications/frac-code-list/frac-code-list-2020-final.pdf?sfvrsn=8301499a_2). (February 11, 2021).
- Ma, Z. and T. Michailides. 2005. Advances in understanding molecular mechanisms of fungicide resistance and molecular detection of resistant genotypes in phytopathogenic fungi. Crop Protection 24: 853-863. doi:10.1016/j.cropro.2005.01.011
- Mahoney M.J. and R. Tattar. 1980. Identification, etiology, and control of *Euonymus fortunei* anthracnose caused by *Colletotrichum gloeosporioides*. Plant Disease 64: 854-856. doi:10.1094/PD-64-854.
- Nalumpang, S., Y. Miyamoto, C. Miyake, Y. Izumi, K. Akitmitsu and P. Kongtragoul. 2010. Point mutations in the beta-tubulin gene conferred carbendazim-resistant phenotypes of *Colletotrichum gloeosporioides* causing 'Nam Dok Mai' mango anthracnose. Journal of Agricultural Technology 6(2): 365-378.
- Peres, N. A. R., N.L. Souza, T.L. Peever and L.W. Timmer. 2004. Benomyl Sensitivity of Isolates of *Colletotrichum acutatum* and *C. gloeosporioides* from Citrus. Plant Disease 88(2): 125-130. doi:10.1094/PDIS.2004.88.2.125
- Pongpisutta, R., W. Winyarat and C. Rattanakreetakul. 2013. RFLP identification of *Colletotrichum* species isolated from chilli in Thailand. Acta Horticulturae 973: 181-186. doi:10.17660/ActaHortic.2013.973.24
- Poti, T., M. Kanyarat, C. Ratchadawan, A. Hatthaya, A. Kazuya and S. Nalumpang. 2020. Detection and molecular characterization of carbendazim resistant *Colletotrichum truncatum* Isolates causing anthracnose of soybean in Thailand. Journal of phytopathology 168(5): 1 – 12.
- Prakash, O. and B. K. Pandey. 2000. Control of mango anthracnose by hot water and fungicides treatment. Indian Phytopathology 53: 92 – 94.
- Tashiro, N., I. Youichi, N. Mayumi, H. Watanabe and N. Mizuho. 2019. Emergence of benzimidazole- and strobilurin-quinone outside inhibitor-resistant strains of *Colletotrichum gloeosporioides* sensu lato, the causal fungus of Japanese pear anthracnose, and alternative fungicides to resistant strains. Plant Diseases - Current Threats and Management Trends, Snježana Topolovec-Pintaric, IntechOpen DOI: 10.5772/intechopen.90018.

## การตรวจสืบเชื้อรา *Aspergillus flavus* ที่สร้างสารพิษของฟลาโทกซินโดยไพรเมอร์ afl R

### Detection of Aflatoxin Producing *Aspergillus flavus* with the Primer afl R

ชัยณรงค์ รัตนกรีฑากุล<sup>1,2</sup> สรรเสริญ รังสุวรรณ<sup>1</sup> รติยา พงศ์พิสุทธิ์<sup>1,2</sup> และ พิสุทธิ์ เชียวนานี<sup>1</sup>  
Chainarong Rattanakreetakul<sup>1,2</sup>, Sansern Rangsawan<sup>1</sup>, Ratiya Pongpisutta<sup>1,2</sup> and Pisut Keawmanee<sup>1</sup>

#### Abstract

*Aspergillus flavus* is important to agricultural product quality. The fungal pathogen can be found during the post-harvest period. The fungi are causal of aflatoxin produce in grain, which was toxic to consumers. In nature, some *A. flavus* strains showed nonaflatoxin production. Therefore, the aflatoxin detection procedure is essential to evaluate the fungal contamination in the agricultural product. In our study, *A. flavus* were isolated from maize grain in Nakhon Pathom province. The fungi were divided into groups: group 1; fungi produce a high number of sclerotia with less conidial head (AF1). Group 2 is highly conidial head produce and fewer sclerotia (AF2). Both *A. flavus* groups showed an orange color under colony growth in *Aspergillus* *flavus* and parasiticus agar (AFPA). The aflatoxin content was highly observed in the AF1 fungal group with a pink to reddish color beneath the fungal colony grown in Yeast extract sucrose (YES) medium after the 25% ammonium hydroxide vapor. PCR determination with afl R primers (aflatoxin gene) can amplify the DNA amplicon size 500 bp for *A. flavus*, at 700 bp for *A. niger*, and 1200 bp for *Fusarium* sp. It referred the afl R primers can used for a quality control process with the amplicon size at 500 bp on the detection of the toxigenic *A. flavus*. While the YES medium can differentiate the aflatoxin producing *A. flavus* to each colony. This method needed to consider the fungal genus, which has color beneath the fungal colony and can disturb the outlook of activity.

**Keywords:** Aflatoxin, PCR detection, Food safety

#### บทคัดย่อ

*Aspergillus flavus* เป็นเชื้อราที่มีความสำคัญต่อคุณภาพผลผลิตทางการเกษตรที่พบในระยะหลังการเก็บเกี่ยว โดยเชื้อราสามารถสร้างสารพิษของฟลาโทกซินสะสมในธัญพืชและมีอันตรายต่อผู้บริโภค ในธรรมชาติเชื้อรา *A. flavus* บางสายพันธุ์ไม่สามารถสร้างสารพิษ ดังนั้นการตรวจสอบเชื้อราเพื่อยืนยันการสร้างสารพิษของฟลาโทกซินจึงมีความจำเป็นสำหรับประเมินคุณภาพผลผลิตและ การป้องกันการนำไปผลิตเป็นผลผลิตอาหารตามระบบมาตรฐาน จากการรวบรวม จากการรวม เเชื้อรา *A. flavus* ที่แยกจากข้าวโพดอุดสาหกรรมในพื้นที่จังหวัดนครปฐม พบเชื้อรา *A. flavus* แบ่งออกเป็นกลุ่มที่ 1 เชื้อรา *A. flavus* มีการสร้างเม็ด sclerotium ปริมาณมาก สร้าง conidial head ปริมาณน้อย (AF1) และกลุ่มที่ 2 เชื้อรา *A. flavus* ที่มีการสร้าง conidial head ในปริมาณมาก ไม่พบการสร้างเม็ด sclerotium หรือพบในปริมาณที่น้อย (AF2) การยืนยันเชื้อรา *A. flavus* สามารถใช้อาหาร *Aspergillus* *flavus* and parasiticus agar (AFPA) โดยพบเฉพาะเชื้อรา *A. flavus* ทั้งสองกลุ่มนี้มีสีส้มได้คลื่น ในการตรวจสอบการสร้างสารพิษของฟลาโทกซินสามารถเลี้ยงเชื้อราบนอาหาร Yeast extract sucrose agar (YES) และรมด้วยแอมโมเนียมไฮド록ไซด์ 25% บนฝาเพลท พบเชื้อรา กลุ่ม AF1 ที่สร้างสารพิษของฟลาโทกซินมีการเปลี่ยนแปลงสีได้คลื่นนีเป็นสีชมพู และเมื่อนำมายืนยันการตรวจทางชีวโมลอกด้วยไพรเมอร์ afl R (aflatoxin gene) พบเชื้อรา *A. flavus* ให้แบบ DNA ขนาด 500 bp *A. niger* พบขนาด 700 bp และ *Fusarium* sp. พบขนาด 1200 bp ซึ่งแสดงให้เห็นว่า การตรวจติดตามเชื้อรา *A. flavus* ในระบบการตรวจสินค้าเกษตรสามารถใช้ไพรเมอร์ afl R เช้าร่วมการตรวจในขณะที่การตรวจโดยอาหาร YES สามารถแยกได้คลื่นนีของเชื้อรา *A. flavus* ที่สร้างสารพิษของฟลาโทกซิน ทั้งนี้ต้องพิจารณาการสร้างสีได้คลื่นนีของเชื้อราที่รับกระบวนการตรวจสืบ

**คำสำคัญ:** อะฟลาโทกซิน การติดตามด้วยพีซีอาร์ อาหารปลอดภัย

<sup>1</sup> ภาควิชาโรคพืช คณะเกษตร กำแพงแสน มหาวิทยาลัยเกษตรศาสตร์ วิทยาเขตกำแพงแสน จังหวัดนครปฐม 73140

<sup>1</sup> Department of Plant pathology, Faculty of Agriculture at Kamphaeng Sean, Kasetsart University, Kamphaeng Saen Campus, Nakhon Pathom 73140

<sup>2</sup> ศูนย์นวัตกรรมเทคโนโลยีหลังการเก็บเกี่ยว กระทรวงการอุดมศึกษา วิทยาศาสตร์ วิจัยและนวัตกรรม กทม. 10400

<sup>2</sup> Postharvest Technology Innovation Center, Ministry of Higher Education, Science, Research and Innovation, Bangkok 10400.

## คำนำ

สารพิษอะฟลาโทกซินสร้างโดยเชื้อรากลายชนิด กลุ่มเชื้อราที่พบรายงานเป็นสาเหตุได้แก่ *Aspergillus flavus*, *Aspergillus parasiticus* และ *Aspergillus nomius* สารพิษอะฟลาโทกซินมีคุณสมบัติทางชีวภาพต่อ คน สัตว์และพืช ซึ่งประเทศไทยตั้งอยู่ในเขตภูมิอากาศแบบร้อนชื้น จึงมีสภาวะอากาศและลักษณะที่เหมาะสมต่อการเจริญของเชื้อราที่ปนเปื้อนในผลิตผลทางการเกษตร ในปัจจุบันการตรวจสอบการปนเปื้อนเป็นไปได้จากการตรวจเชื้อราที่พบ หรือการตรวจสารพิษของอะฟลาโทกซินที่เกิดขึ้นในผลผลิตเกษตร

การตรวจสอบเชื้อรา *A. flavus* ที่สร้างสารพิษอะฟลาโทกซินสามารถตรวจตรวจสอบได้หลายวิธี ตั้งแต่การตรวจสอบกลิ่นที่ผิดปกติบนข้าวโพด การตรวจสอบทางสัณฐานวิทยาของเชื้อราด้วยอาหารเชิงพาราเซนิด coconut oil agar (พิสูทธิ์ และ คงนะ, 2558) การตรวจสอบสารพิษด้วยการรวม 25% แอมโมเนียมไอกಡรอกาไซด์ ซึ่งสามารถใช้ทดสอบเบื้องต้น หรือการตรวจสอบปริมาณสารพิษอะฟลาโทกซินที่ปะปนในผลผลิตโดยตรง แต่เนื่องจากในสภาพธรรมชาติ *A. flavus* มีสองสายพันธุ์คือ L ไม่สร้างสารพิษอะฟลาโทกซิน กับสายพันธุ์ S ที่พบการสร้างสารพิษอะฟลาโทกซินมาก และรวมถึงเชื้อราอื่นๆ ที่ไม่สร้างสารพิษอะฟลาโทกซิน จึงมีความจำเป็นในการศึกษาวิธีการตรวจสอบกลุ่มเชื้อราที่สร้างสารพิษ งานวิจัยนี้เป็นการทดสอบการใช้ไพรเมอร์เฉพาะ afIR เพื่อการตรวจสอบชนิดของเชื้อรา *A. flavus* ที่สร้างสารพิษจากเม็ดข้าวโพด

## วิธีการทดลอง

### 1. ตัวอย่างเชื้อราทดสอบ การยืนยันกลุ่มเชื้อ *A. flavus* และการตรวจสอบการสร้างสารพิษอะฟลาโทกซิน

แยกเชื้อราจากผักข้าวโพด โดยคัดเลือกเชื้อรา *A. flavus* ที่สร้างเม็ด sclerotium ปริมาณมาก สร้าง conidial head ปริมาณน้อย (AF1), *A. flavus* ที่มีการสร้าง conidial head ในปริมาณมาก ไม่พบการสร้างเม็ด sclerotium หรือพบในปริมาณที่น้อย (AF2) (สรรวิริญ และคงนะ, 2561) เทียบกับเชื้อราต่างกันกลุ่มได้แก่ เชื้อรา *A. niger* และ *Fusarium spp.* เลี้ยงเล้านายเชื้อราทดสอบบนอาหารเลี้ยงเชื้อ *Aspergillus flavus* and *parasiticus* agar (AFPA) (Corry et al., 1995) และ Yeast extract sucrose agar (YES) บ่มเชื้อราที่อุณหภูมิห้อง เป็นระยะเวลา 5-7 วัน บนอาหารเลี้ยงเชื้อราเฉพาะ YES รวมด้วย 25% แอมโมเนียมไอกಡรอกาไซด์ เพื่อตรวจสอบการสร้างสารพิษอะฟลาโทกซิน และบนอาหารเลี้ยงเชื้อ AFPA ตรวจสอบการสร้างสีส้มได้โดยนีเพื่อการยืนยันเชื้อกลุ่ม *A. flavus*

### 2. การทดสอบความจำเพาะของ afIR Primer ต่อการจำแนกเชื้อราที่สร้างสารพิษ aflatoxin

สกัด DNA จากเล้านายเชื้อราจำนวน 4 ชนิด ได้แก่ *A. flavus* (Af8 และ Af17) *A. niger* และ *Fusarium sp.* ด้วยชุดสกัด DNA Plant Genomic DNA Kit (Tiangen, China) นำสารพันธุกรรมของเชื้อรามาเพิ่มปริมาณด้วย PCR โดยใช้ชุด Taq DNA polymerase (Fermentas) และไพรเมอร์ afIR1 (5'- AGA ATA GCT TCG CAG GGT -3') และ afIR2 (5'- AGT CTG GGA GGA ACG GAT CG -3') (Kim et al., 2011) โดยจัด PCR ให้ทำงานดังนี้ initial denature ที่ 94 องศาเซลเซียส นาน 5 นาที และdenature ที่ 94 องศาเซลเซียส นาน 30 วินาที annealing ที่ 56.5 องศาเซลเซียส นาน 30 วินาที extension ที่ 72 องศาเซลเซียส นาน 1 นาที จำนวน 30 รอบ ตรวจสอบขนาดของ PCR product ด้วย agarose gel electrophoresis ความเข้มข้น 1.2% ใช้กราฟฟิกเพื่อความต่างศักย์ 14 ไวล็อตต่อเซนติเมตร และย้อมสีเจลเพื่อเทียบขนาด amplicon size ของแต่ละ DNA กับขนาด DNA มาตรฐาน

## ผลการทดลอง

### 1. ลักษณะโคลนิค และการตอบสนองของเชื้อรากนอาหารเฉพาะ

ลักษณะของโคลนิคเชื้อราทดสอบจำนวน 3 สายพันธุ์ได้แก่ *A. flavus* *A. niger* และ *Fusarium spp.* บนอาหารเลี้ยงเชื้อ AFPA ที่ระยะเวลา 7 วัน พบรากลุ่มเชื้อรา *A. flavus* (AF1, AF2) ด้านหลังโคลนิคเชื้อราเป็นสีส้มอ่อน ส่วนกลางโคลนิคสีส้มเข้มซึ่งเป็นลักษณะเฉพาะของกลุ่ม *A. flavus* (Fig 1-A) สำหรับเชื้อรา *A. niger* และ *Fusarium sp.* ด้านหน้าโคลนิคเป็นสีของเชื้อราไม่พบการเปลี่ยนเป็นสีส้มเหมือนกับเชื้อรา *A. flavus*

สำหรับอาหารเลี้ยงเชื้อ YES กลุ่มเชื้อรา *Aspergillus sp.* มีลักษณะสีโคลนิคเป็นสีขาวเข้ม แต่เชื้อรา AF1 มีการสร้างกลุ่มเม็ด sclerotium ปริมาณมาก เชื้อรา *A. niger* มีการสร้างโคลนิคเป็นสีดำ และเชื้อรา *Fusarium sp.* ให้ลักษณะโคลนิคของเชื้อราเป็นสีขาว ผลจากการรวมด้วยสารละลายน้ำ 25% แอมโมเนียมไอกಡรอกาไซด์เพื่อทดสอบการสร้างพิษอะฟลาโทกซิน พบการ

เปลี่ยนสีภายใต้โคลนีโดยเชื้อรา *A. flavus* AF1 เกิดการเปลี่ยนเป็นสีชมพูเข้มคอมแดง (Fig 1-C) สำหรับ *A. flavus* AF2 และ *A. niger* ไม่พบการเปลี่ยนของสีบริเวณภายใต้โคลนี (Fig 1-B) และ *Fusarium* sp. พบว่าสีของโคลนีเป็นสีอมชมพู (Table 1)

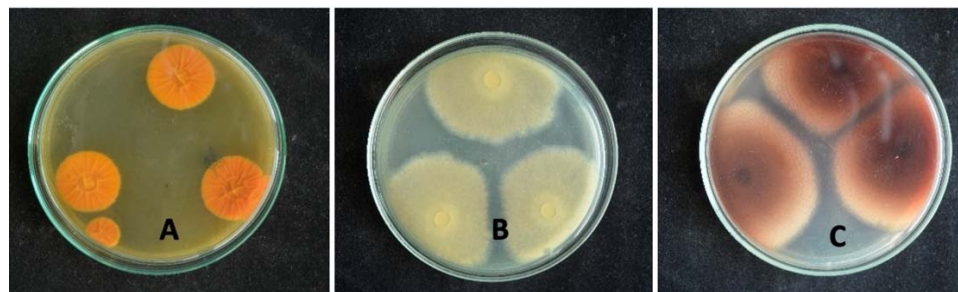


Figure 1 *Aspergillus flavus* reverse of colony character on A) orange color on AFPA medium, B) YES medium without color transform, C) pink color on YES medium after 25% ammonium hydroxide fumigation

Table 1 Fungal colony of atoxigenic and toxigenic *Aspergillus flavus* on AFPA and YES media

Media	Toxigenic <i>A. flavus</i> (AF1)	Atoxigenic <i>A. flavus</i> (AF2)	<i>A. niger</i>	<i>Fusarium</i> sp.
AFPA	Orange	Orange	Clear color	Clear color
YES	Pink color	Clear color	Clear color	Pink color

## 2. ผลตรวจสอบความจำเพาะเจาะจงของไพรเมอร์ afl R ต่อเชื้อราทดสอบ

ผลการเพิ่มปริมาณผลผลิตสารพันธุกรรมที่จำเพาะโดย primer afl R กับเชื้อราทดสอบจำนวน 3 สายพันธุ์ได้แก่ *A. flavus* (Af8, Af17) *A. niger* และ *Fusarium* spp. พบว่าเชื้อรา *A. flavus* (Af8, Af17) ทั้งสองชนิด สามารถเพิ่มปริมาณ PCR product size เท่ากับ 500 bp ในขณะที่เชื้อรา *A. niger* และ *Fusarium* sp. ที่เพิ่มปริมาณมี PCR product size ขนาดที่มากกว่า 500 bp

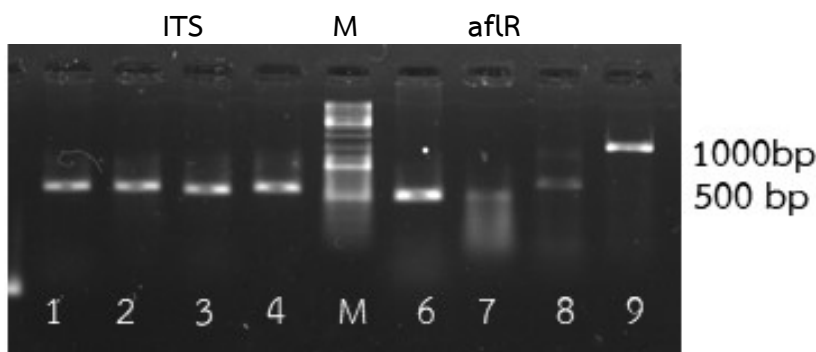


Figure 2 Agarose gel electrophoresis of PCR product with ITS primers (left) and aflR (right) (Lane 1-4: ITS 1/4 primers); 1) AF1; 2) AF2; 3) *Fusarium* spp.; 4) *A. niger*; 5) Marker 1 kb DNA Ladder marker, (Lane 6-9: aflR primers); 6) AF1; 7) AF2; 8) *Fusarium* spp.; 9) *A. niger*

## วิจารณ์ผลการทดลอง

เชื้อรา *A. flavus* ทั้งสองกลุ่มนี้มีเจริญบนอาหารเลี้ยงเชื้อ AFPA มีลักษณะสัณฐานวิทยาโคลนีสีเขียวแกมเหลือง พับ conidial head จำนวนมาก และสำหรับกลุ่ม AF1 พับเม็ด sclerotium ขนาดเล็กต่างจาก AF2 ที่ไม่พับ (ชัยณรงค์ และคณะ, 2563) การพับสีได้โคลนี *A. flavus* เป็นสีส้มเมื่อเจริญบนอาหาร AFAP เป็นลักษณะเฉพาะของเชื้อรา *A. flavus* และ *A. parasiticus* เกิดเนื่องจากสาร iron ammonium citrate (Bothast and Fennell, 1974; Adhikari et al., 2021) โดยเชื้อราผลิต aspergillic acid และทำปฏิกิริยากับธาตุเหล็กในอาหาร ทั้งนี้การสร้างสีไม่เกี่ยวกับการสร้างสารพิษของฟลาโทกซิน ในขณะที่การรวมด้วยสารละลายน้ำ 25% แอกมโนเนียมไฮดรอกไซด์เมื่อเชื้อราเจริญบนอาหาร YES พบการสร้างสารสีชมพูแดง ซึ่งสอดคล้องกับรายงานของ Alkhersan et al. (2016) ที่ให้เหตุผลการเปลี่ยนเป็นสีชมพูเนื่องจากการไอระเหยที่ไปทำปฏิกิริยากับ

สารเรืองแสง แต่สำหรับเชื้อราบางชนิด เช่น *Fusarium* sp. พบการสร้างสีแดงจากเส้นใยเชื้อราเอง สำหรับการใช้เทคนิคทางเคมีโมเลกุลด้วย aflR primer เพื่อตรวจสอดคล้องการสร้างสารพิษ มีรายงานวิจัยของ Kim et al. (2011); Bintvihok et al. (2016) และ Zhang et al. (2020) ที่ศึกษาไฟโรเมอร์เพื่อระบุการปนเปื้อนของเชื้อ *A. flavus* ที่สร้างสารพิษอะฟลาโทกซิน ทั้งนี้ไฟโรเมอร์ afl R มีความเกี่ยวข้องในการสังเคราะห์สารพิษอะฟลาโทกซิน จึงนำยีนดังกล่าวมาติดตามเชื้อราที่สร้างสารพิษอะฟลาโทกซิน ในกรณีศึกษาครั้งนี้ พบว่าไฟโรเมอร์ afl R มีความสัมพันธ์กับการเพิ่มปริมาณ amplicon size ขนาด 500 bp ของเชื้อ AF1 และ AF2 ในขณะที่เชื้ออื่นๆ สามารถพบขนาดแอบ DNA ที่แตกต่าง ดังนั้นจึงมีความเป็นไปได้ในการนำไฟโรเมอร์ afl R ไปใช้ประเมินคุณภาพของผลผลิตเกษตร โดยพิจารณาแบบ DNA ของเชื้ออื่นประกอบด้วย

### สรุปผลการทดลอง

การจำแนกการสร้างสารพิษอะฟลาโทกซินจากเชื้อรา *A. flavus* สามารถใช้อาหาร YES เพื่อติดตามโดยโคลนี *A. flavus* ที่สร้างสารพิษโดยตรวจดูสีเข้มพูดแดงได้โดยโคลนี สำหรับการใช้เทคนิค PCR เพื่อตรวจสอดคล้องเชื้อรา *A. flavus* ที่สร้างสารพิษอะฟลาโทกซิน สามารถใช้ afl R primer เพื่อตรวจสอดคล้อง DNA ขนาด 500 bp.

### คำขอบคุณ

ขอขอบคุณ ภาควิชาโภคพีช คณะเกษตร กำแพงแสน มหาวิทยาลัยเกษตรศาสตร์สำหรับการเอื้อเฟื้อสถานที่ และศูนย์นวัตกรรมเทคโนโลยีหลังการเก็บเกี่ยว กระทรวงการอุดมศึกษา วิทยาศาสตร์ วิจัยและนวัตกรรม กรุงเทพมหานคร

### เอกสารอ้างอิง

- ชัยณรงค์ รัตนกรีฑากุล, สรวงเสริญ วงศ์สุวรรณ, รัตติยา พงศ์พิสุทธิ์ และพิสุทธิ์ เรียมณี. 2563. ความแตกต่างของสารทุติยภูมิของเชื้อรา *Aspergillus flavus* กลุ่มที่สร้างและไม่สร้างสารพิษอะฟลาโทกซิน. วารสารแก่นเกษตร 48 (4): 693-702.
- พิสุทธิ์ เรียมณี, ชัยณรงค์ รัตนกรีฑากุล และรณภาพ บรรจิดเชิดชู. 2558. ประสิทธิภาพของอาหารสูตรดัดแปลงเพื่อตรวจสอดคล้องเชื้อราที่สร้างสารพิษปนเปื้อนบนเมล็ดข้าว. วารสารวิทยาศาสตร์เกษตร 46 (3 พิเศษ): 105-108.
- สรวงเสริญ วงศ์สุวรรณ, พิสุทธิ์ เรียมณี, ชัยณรงค์ รัตนกรีฑากุล และรัตติยา พงศ์พิสุทธิ์. 2561. ศักยภาพของอาหารเลี้ยงเชื้อราเพื่อตรวจสอดคล้องเชื้อราปนเปื้อนในเมล็ดข้าวโพด. วารสารวิทยาศาสตร์เกษตร 49 (4 พิเศษ): 159-162.
- Adhikari, B.N., K.A. Callicott and P.J. Cotty. 2021. Conservation and loss of a putative iron utilization gene cluster among genotypes of *Aspergillus flavus*. Microorganisms 9 (1): 137.
- Alkhersan, R.N., M.H. Khudor and B.A. Abbas. 2016. Rapid detection of aflatoxigenic producing strains of *Aspergillus flavus* from poultry FEEDS by UV light AND ammonia vapor. Basrah Journal of Veterinary Research 14 (4): 169-178.
- Bintvihok, A., S. Treebonmuang, K. Srisakwattana, W. Nuanchun, K. Patthanachai and S. Usawang. 2016. A rapid and sensitive detection of aflatoxin-producing fungus using an optimized polymerase chain reaction (PCR). Toxicological Research 32: 81-87.
- Bothast, R.J. and D.I. Fennell. 1974. A medium for rapid identification and enumeration of *Aspergillus flavus* and related organisms. Mycologia 66: 365-369.
- Corry, J.E.L., G.D.W. Curtis and R.M. Baird. 1995. *Aspergillus flavus* and *parasiticus* agar (AFPA). Culture Media for Food Microbiology 34: 254-256.
- Kim, D.M., S.H. Chung and H.S. Chun. 2011. Multiplex PCR assay for the detection of aflatoxigenic and non-aflatoxigenic fungi in meju, a Korean fermented soybean food starter. Food Microbiology 28: 1402e1408.
- Zhang, W., X. Chang, Z. Wu, J. Dou, Y. Yin, C. Sun and W. Wu. 2020. Rapid isolation of non-aflatoxigenic *Aspergillus flavus* strains. World Mycotoxin Journal 13: 277-286.

**ความหลากหลายทางชีวภาพของ *Colletotrichum capsici* สาเหตุโรค  
แอนแทรคโนสของพริกและการตอบสนองต่อสารเคมีป้องกันกำจัดเชื้อรา**  
**Diversity of *Colletotrichum capsici* Causing Chilli Anthracnose and Fungicide Responsiveness**

รัติยา พงศ์พิสุทธา<sup>1</sup> ชัยณรงค์ รัตนกรีฑากุล<sup>1</sup> สันติสิริ บินคาดอร์<sup>1</sup> ชุดima nimnual<sup>1</sup> ธัญญลักษณ์ ไทยแท้<sup>1</sup> นุชนารถ ศรีสุข<sup>1</sup>  
และศุภนันท์ญา จันทร์ศรี<sup>1</sup>  
Ratiya Pongpisutta<sup>1</sup>, Chainarong Rattanakreetakul<sup>1</sup>, Santiti Bincader<sup>1</sup>, Chutima Nimnual<sup>1</sup>, Thanyaluk Thaitae<sup>1</sup>, Nutchanart Srisuk<sup>1</sup>  
and Supananya Chansri<sup>1</sup>

### Abstract

Twenty isolates of *Colletotrichum capsici* causing chilli anthracnose collected from 10 provinces were investigated in this study. Fungal diversity based on physiological and morphological studies were separated into 7 groups. Pathogenicity test was examined on chilli fruit cv. Bang Chang. Typically, anthracnose symptom was measured after 5 days inoculation period with 36.84 – 63.41% disease severity. Six different fungicides as common chemical used in farm was inspected to control anthracnose disease. The result revealed that prochloraz, tebuconazole and difenoconazole at the recommended rate could inhibit mycelia of all isolates, completely. Whilst azoxystrobin and carbendazim could inhibit few isolates. Moreover, mancozeb could not obstruct whole isolates. Therefore, the fungal diversity is a factor contributing to the different chemical responses of fungi. This may be caused by the chemical mutation because of single treatment with the same fungicide to control anthracnose disease in the field for a long time.

**Keywords:** anthracnose, fungicide, diversity

### บทคัดย่อ

นำเชื้อรา *Colletotrichum capsici* สาเหตุโรคแอนแทรคโนสของพริก จำนวน 20 ไอโซเลท ซึ่งรวบรวมจาก 10 จังหวัด มาศึกษาความหลากหลายทางชีวภาพของเชื้อรา อาศัยลักษณะทางสรีรวิทยาและสัณฐานวิทยา แบ่งเชื้อราออกเป็น 7 กลุ่ม ทดสอบความสามารถในการเกิดโรคบนผลพริกพันธุ์บางช้าง วัดขนาดผลจากการโรคแอนแทรคโนสบนผลพริกในวันที่ 5 หลังการปลูกเชื้อ พบรักแร挚ที่การเกิดโรค เท่ากับ 36.84 – 63.41 % จากการทดสอบประสิทธิภาพของสารเคมี 6 ชนิด ซึ่งเป็นสารเคมีที่ใช้บ่อยในแปลงเพื่อควบคุมโรคแอนแทรคโนส ผลการทดลองพบว่าสารเคมี prochloraz, tebuconazole และ difenoconazole ที่อัตราแนะนำสามารถยับยั้งการเจริญของเส้นใยเชื้อราได้อย่างมีประสิทธิภาพ ในขณะที่สารเคมี azoxystrobin และ carbendazim สามารถควบคุมเชื้อราได้เพียงบางไอโซเลท นอกจากนี้ยังพบว่าสารเคมี mancozeb ไม่สามารถควบคุมเชื้อราทุกไอโซเลทได้ ดังนั้นความหลากหลายทางชีวภาพของเชื้อราเป็นปัจจัยที่ส่งผลให้เชื้อรามีการตอบสนองต่อสารเคมีที่แตกต่างกัน ทั้งนี้อาจเกิดจากการกระตุ้นด้วยสารเคมีให้เกิดกลไกพันธุ์ที่เกิดจากการใช้สารเคมีชนิดเดิมในการควบคุมโรคแอนแทรคโนสในแปลงเป็นระยะเวลานาน

**คำสำคัญ:** โรคแอนแทรคโนส สารเคมีป้องกันกำจัดเชื้อรา ความหลากหลายทางชีวภาพ

### คำนำ

เชื้อราสาเหตุโรคแอนแทรคโนสของพริกในประเทศไทยสามารถจำแนกโดยอาศัยลักษณะทางสัณฐานวิทยา รวมกับการใช้เทคนิคทางเอนไซม์โมเลกุลได้หลากหลายชนิด (species) และหนึ่งในชนิดที่มีการตรวจพบมากที่สุดคือ *Colletotrichum capsici* (Imjit et al., 2013; Suwannarat et al., 2017) ซึ่งเชื้อราชนิดดังกล่าวสามารถเข้าทำลายและส่งผลให้เกิดโรคแอนแทรคโนสกับพืชได้หลายสายพันธุ์ เช่น พริกหยวก พริกเหลือง พริกชี้ฟ้า เป็นต้น แต่สามารถก่อโรคได้น้อยกว่าพริกชี้ฟ้า (สมศิริ, 2521) จากรายงานผลการวิจัยและพัฒนาของกรมวิชาการเกษตร โดยราชทิพย์ และคณะ (2561) พบว่าพื้นที่ผลิตพืชที่สำคัญของประเทศไทยยังคงพึ่งพาการเพาะปลูกเชื้อรา *Colletotrichum spp.* โดยเฉพาะ *C. capsici* นอกจากนี้ในรายงานของรัฐบาล และวาระนั้นๆ ในปี พ.ศ. 2553 ได้ทำการเก็บตัวอย่างเชื้อราสาเหตุ โรคแอนแทรคโนสของพริกในประเทศไทยจากพื้นที่ปลูก

<sup>1</sup> ภาควิชาโภคพิช คณะเกษตรฯ กำแพงแสน มหาวิทยาลัยเกษตรศาสตร์ วิทยาเขตกำแพงแสน จ. นครปฐม 73140

<sup>1</sup> Department of Plant Pathology, Faculty of Agriculture at Kamphaeng Saen, Kasetsart University, Kamphaeng Saen Campus, Nakhon Pathom 73140

พริก 15 จังหวัด 32 อำเภอ 44 แหล่งปลูก ได้ตัวอย่างทั้งหมด 389 โภชนาณ จำแนกเข้าครู่จากลักษณะทางสัณฐานวิทยา เป็นต้น พบเชื้อรา *C. capsici* มากถึง 40.10% ในแต่ละพื้นที่ของประเทศไทย อีกทั้งยังสามารถพบเชื้อรานี้ได้ในพื้นที่ปลูกที่มีระดับความสูงจากน้ำทะเลตั้งแต่ 4 - 380 m

ความหลากหลายทางชีวภาพของเชื้อรานิสกุล *Colletotrichum* ที่ค่อนข้างสูง (Cannon et al., 2012) และความแปรปรวนของเชื้อร่าที่เกี่ยมมาจากพื้นที่ที่มีความแตกต่างทางสภาพภูมิศาสตร์ อาจส่งผลให้เชื้อรานิสกุล *Colletotrichum* มีความสามารถในการอยู่รอด แตกต่างกัน และอาจมีผลต่อการควบคุมการเจริญของเชื้อร่าโดยการใช้สารเคมีได้ (Srideepthi et al., 2017) งานวิจัยนี้ จึงได้คัดเลือกตัวแทนเชื้อรานิสกุล *C. capsici* สาเหตุโรคแคนแทรคโนสปริกจากพื้นที่ในแต่ละภูมิภาคของประเทศไทย มาทดสอบการตอบสนองต่อสารเคมี azoxystrobin, carbendazim และ difenoconazole ซึ่งเป็นสารเคมีที่แนะนำเกษตรกรเพื่อใช้ในการควบคุมเชื้อรานิสกุลแคนแทรคโนสนาวยานาน นำมาศึกษาในระดับห้องปฏิบัติการเพื่อดูการตอบสนองต่อสารเคมีป้องกันกำจัดเชื้อรานิสกุล *C. capsici* ที่มีความหลากหลายทางชีวภาพ ซึ่งจะทำให้มีข้อมูลในการจัดการโรคแคนแทรคโนสของพริกได้อย่างมีประสิทธิภาพมากขึ้น

### อุปกรณ์และวิธีการ

#### 1. เชื้อร่าที่ใช้ในการศึกษาและการตรวจสอบความหลากหลายทางชีวภาพ

นำเชื้อรานิสกุล *C. capsici* สาเหตุโรคแคนแทรคโนสของพริกจำนวน 20 โภชนาณ จาก 9 จังหวัดของประเทศไทย ได้รับความอนุเคราะห์จากห้องปฏิบัติการเชื้อรานิสกุล ภาควิชาโภชนาณ คณะเกษตร กำแพงแสน นำมาเลี้ยงบนอาหารเลี้ยงเชื้อ potato dextrose agar (PDA) บ่มได้แสง near UV ลักษณะ 12 ชั่วโมง อุณหภูมิ 25°C นาน 5 วัน ระบุความหลากหลายทางชีวภาพโดยอาศัยข้อมูลของลักษณะโคลนนี การเจริญของเส้นใยบนอาหารเลี้ยงเชื้อ และการตอบสนองต่อแหล่งคาร์บอนแต่ละชนิด (glucose, sucrose, cellulose) จากนั้นนำข้อมูลที่ได้มาสร้างแผนผังวิเคราะห์ความสัมพันธ์ในรูปแบบของ binary data (1= present; 0= absent) ทำการวิเคราะห์โดยใช้โปรแกรม DARWin version 6.0.21 ด้วย DICE (Dice similarity coefficient) และจัดกลุ่มความหลากหลายด้วยวิธี UPGMA (Unweighted pair-group method with averages) ที่ดำเนิน bootstrap 1,000 ครั้ง

#### 2. การทดสอบความสามารถในการเกิดโรค

ทดสอบความสามารถในการก่อโรคของเชื้อราก 20 โภชนาณ โดยใช้สปอร์แขวนลอย (spore suspension) ความเข้มข้น  $10^6$  spore/ml บริมาตร 50 μl หยดลงบนพิพานหุบปากช่องที่ผ่านการฆ่าเชื้อพื้นผิวด้วย 1.2% sodium hypochlorite จากนั้นบ่มในกล่องบ่มชั้นนาน 8 ชั่วโมง นำมาวางไว้ในสภาพอุณหภูมิห้อง ตรวจสอบการเกิดโรคและวัดขนาดแพลงทุกวัน จนครบ 5 วัน วางแผนการทดลองแบบ Completely Randomized Design (CRD) แต่ละกรุ๊ปมี 5 ชั้ง

#### 3. ประสิทธิภาพของสารเคมีในการยับยั้งการเจริญของเส้นใยเชื้อรานิสกุล

เลือกตัวแทนของเชื้อรานิสกุล *C. capsici* จากการแบ่งกลุ่มในการทดลองที่ 1 จำนวน 1 โภชนาณ/group นำมาเลี้ยงบนอาหารเลี้ยงเชื้อ PDA อายุ 5 วัน จากนั้นใช้ cork borer ขนาดเดินผ่านศูนย์กลาง 6 mm เจาะริเวณขอบโคลนนีข้ามลงอาหารเลี้ยงเชื้อ PDA ที่ผสมสารเคมี 6 ชนิด ได้แก่ azoxystrobin, carbendazim, difenoconazole, mancozeb, prochloraz และ tebuconazole ความเข้มข้นตามอัตราแนะนำของแต่ละสารเคมี จากนั้นนำไปบ่มได้แสง near UV ลักษณะ 12 ชั่วโมง อุณหภูมิ 25°C วัดการเจริญของเส้นใยเชื้อรากวัน จนครบ 5 วัน วางแผนการทดลองแบบ CRD แต่ละกรุ๊ปมี 5 ชั้ง คำนวณหาค่า

$$\% \text{ inhibition} = (\text{control} - \text{treatment}/\text{control}) \times 100$$

### ผล

#### 1. เชื้อร่าที่ใช้ในการศึกษาและการตรวจสอบความหลากหลายทางชีวภาพ

เชื้อรานิสกุล *C. capsici* จำนวน 20 โภชนาณ (Figure 1) เจริญได้รวดเร็วบนอาหารเลี้ยงเชื้อ สร้างเส้นใยสีขาว ถึงเทา เจริญฟูจากผิวน้ำอาหาร พฤกษาสร้างกลุ่มสปอร์ (spore mass) ข้อนก้นเป็นวงสีครีม ถึงสีส้มเหลืองม่อ ขนาดโคลนนีที่มีอายุ 5 วัน มีค่า  $3.30 - 5.00$  cm จากการตรวจสอบได้ถึงจุดบรรจบ ที่กำลังขยาย 40X พbusporousไม่มีสี (hyaline) มี 1 เซลล์ รูปร่างคล้ายเสี้ยววงพระจันทร์ (falcate) ขนาดประมาณ  $2.89 - 3.41$  ( $3.20$ )  $\times 16.74 - 24.86$  ( $21.25$ )  $\mu\text{m}$  (Figure 1) สร้าง setae สีน้ำตาลสว่าง รูปร่างเรียวยาว ปลายแหลม 2 - 3 เซลล์ ขนาดประมาณ  $3.07 - 7.13$  ( $6.34$ )  $\times 23.59 - 486.03$  ( $139.93$ )  $\mu\text{m}$  (Figure 1) ตรวจสอบความหลากหลายทางชีวภาพโดยการสร้างแผนผังความสัมพันธ์ด้วยวิธี UPGMA สามารถระบุและจำแนกเชื้อรานิสกุล *C. capsici* จำนวน 20 โภชนาณ ให้ออกเป็น 7 กลุ่ม (group 1 – group 7) ในรูปแบบของ binary data มาวิเคราะห์และสร้างเป็น neighbor-joining phylogenetic tree ( $r = 0.9952$ ) (Figure 2)

#### 2. การทดสอบความสามารถในการเกิดโรค

ความสามารถในการเกิดโรคแคนแทรคโนสปริกในสกุลพิพานหุบปากช่องของเชื้อราก 20 โภชนาณ พบร่วมกันบ่มเชื้อเป็นระยะเวลา 3 วัน ผลพิริกแสดงอาการของโรคแคนแทรคโนส โดยมีผลลดลงตัว พบรักษาด้วยสปอร์สีครีมถึงสัมบูรณ์

ผล และเมื่อครบ 5 วัน พบร้าแมลงวุบตัวมีการสร้างจุดสีดำ เจริญขึ้นกันเป็นวงชั้นๆ โดยพบว่าเชื้อรากโขลก CM049 จากจังหวัดเชียงใหม่ มีความสามารถในการทำให้เกิดโกรสูงที่สุด มีพื้นที่การเกิดโรคเท่ากับ 63.41% ในขณะที่โกร NRS037 จากจังหวัดนราธิวาส มีความสามารถในการทำให้เกิดโกรน้อยที่สุด มีพื้นที่เท่ากับ 36.84% (Figure 1)

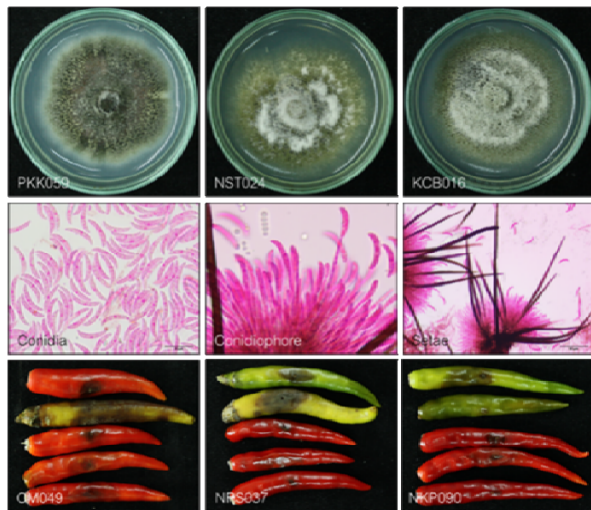


Figure 1 Colony of *Colletotrichum capsici* on PDA after 5 days of incubation period, morphological characters under compound microscope at 40X magnification and pathogenicity assay on chilli fruits cv. Bang Chang.

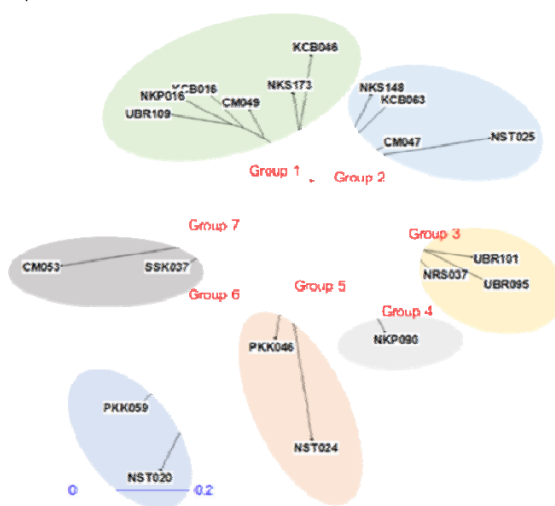


Figure 2 Neighbor-joining tree produced by using binary data of morphology, physiology and carbon source responding, then 20 isolates of *Colletotrichum capsici* were separated into 7 groups.

### 3. ประสิทธิภาพของสารเคมีในการยับยั้งการเจริญของเส้นใยเชื้อราก

พบว่าตัวแทนเชื้อรากแต่ละกลุ่มมีการตอบสนองต่อสารเคมี mancozeb ในทิศทางเดียวกัน โดยที่สารเคมีชนิดนี้ไม่สามารถยับยั้งการเจริญของเส้นใยเชื้อราก *C. capsici* ทั้ง 7 กลุ่ม ได้ ในขณะที่สารเคมี prochloraz และ tebuconazole สามารถยับยั้งการเจริญของเชื้อรากทั้ง 7 กลุ่ม ได้ดี เกิน 50% ส่วนสารเคมี azoxystrobin นั้น พบรากยับยั้งเชื้อรากทั้ง 7 กลุ่ม ได้แตกต่างกัน โดยควบคุมเชื้อราก *C. capsici* โกร NRS037 โกร PKK046 และ PKK059 ได้ค่อนข้างดี มีค่าการยับยั้งการเจริญของเส้นใยเท่ากับ 25.18 และ 6.15% ตามลำดับ

Table 1 Percent inhibition of *Colletotrichum capsici* mycelial growth on poisoned food incubated under near UV with alternative darkness 12 hrs, 25°C at day5 of incubation period

Groups	Representative isolate	Percent of inhibition (%) <sup>1/</sup>					
		azoxystrobin	carbendazim	difenoconazole	mancozeb	prochloraz	tebuconazole
1	KCB016	87.45	-4.60	83.89	-4.60	87.45	87.45
2	NST025	83.33	69.40	-49.25	-24.38	85.07	85.07
3	UBR101	73.00	87.04	87.04	-5.18	87.04	87.04
4	NKP090	85.29	73.53	85.29	-0.49	85.29	85.29
5	PKK046	25.18	-19.90	85.61	-19.90	71.22	67.63
6	PKK059	6.15	-18.20	85.82	-18.20	85.82	51.06
7	SSK037	59.76	76.63	76.63	-20.48	65.06	85.54

1/ Column values followed by the same letter are not significantly different ( $P=0.05$ )

นอกจากนี้ยังพบว่าสารเคมี difenoconazole นั้น ควบคุมเชื้อราก 6 กลุ่ม ได้ดีที่สุด 76.63-87.04% แต่ไม่สามารถควบคุมเชื้อราก NST025 ได้ โดยพบว่ายังมีการเจริญได้ดี เมื่อเปรียบเทียบกับการทดลองควบคุม ค่าการยับยั้งการเจริญของเส้นใย เชื้อราก ได้ -49.25% สำหรับสารเคมี carbendazim นั้น พบร้าสามารถยับยั้งการเจริญของเส้นใยเชื้อราก กลุ่ม 2, 3, 4 และ 7 ได้ 69.40, 87.04, 73.53 และ 76.63% ตามลำดับ แต่ไม่สามารถควบคุมเส้นใยเชื้อรากกลุ่ม 1, 5 และ 6 ซึ่งมีการยับยั้งคิดเป็น -4.60, -19.90 และ -18.20% ตามลำดับ (Table 1)

หากแบ่งเป็นการตอบสนองของเชื้อรา *C. capsici* จากพื้นที่ต่างๆ ต่อสารเคมี 6 ชนิด พบว่าสามารถแบ่งเชื้อราออกเป็น 3 กลุ่ม ได้แก่ กลุ่มที่ 1 ไอโซเลท KCB016, PKK046 และ PKK059 ซึ่งแยกเชื้อมากจากพื้นที่ในจังหวัดกาญจนบุรีและประจำบวรคีรีขันธ์ ตามลำดับ พื้นที่มีความสูงจากระดับน้ำทะเล 10-30 เมตร มีการตอบสนองต่อสารเคมีชนิดเดียวกันเป็นไปทิศทางเดียวกัน แต่ไม่ตอบสนองต่อ carbendazim และ mancozeb สำหรับไอโซเลท PKK046 และ PKK059 ซึ่งแยกได้จากตัวอย่างโรคแอนแทรคโนสพริกในพื้นที่จังหวัดประจำบวรคีรีขันธ์ ตอบสนองต่อสารเคมี azoxystrobin ได้เพียงเล็กน้อย กลุ่มที่ 2 ไอโซเลท NST025 นั้น แยกมาจากพื้นที่มีความสูงจากระดับน้ำทะเล 35 เมตร แตกต่างจากเชื้อราทั้ง 6 กลุ่ม โดยพบว่าไม่ตอบสนองต่อสารเคมี difenoconazole และ mancozeb และกลุ่มที่ 3 ไอโซเลท UBR101 NKP090 และ SSK037 ที่แยกเชื้อจากพื้นที่จังหวัดอุบลราชธานี นครปฐม และศรีสะเกษ ตามลำดับ พื้นที่มีความสูงจากระดับน้ำทะเล 68 -123 เมตร พบว่าไม่ตอบสนองต่อสารเคมี mancozeb เพียงสารเดียว

### วิจารณ์ผล

จากการรายงานหลายฉบับกล่าวถึงการจำแนกและศึกษาการตอบสนองของเชื้อราในสกุล *Colletotrichum* ต่อสารเคมีพบว่าเชื้อราสกุลดังกล่าวที่แยกได้จากพื้นที่ที่มีความแตกต่างกันทางภูมิศาสตร์ มีลักษณะพื้นที่ในประเทศไทยที่แตกต่างกัน และมีการตอบสนองต่อสารเคมีนั้นๆ ได้ด้วยเช่นกัน (Gang et al., 2015; Srideepthi et al., 2017; Torres-Calzada et al., 2015) จากการศึกษาประสิทธิภาพของสารเคมีในการควบคุมเชื้อราโดยอาศัยความหลากหลายทางชีวภาพและมีสภาพภูมิศาสตร์ (ความสูงจากระดับน้ำทะเล) เป็นปัจจัย ทำให้พิจารณาว่าควรจะใช้สารเคมีชนิดใดที่จะควบคุมเชื้อรา *C. capsici* สาเหตุโรคแอนแทรคโนสพริกทุกกลุ่มได้อย่างครอบคลุม จะเป็นอีกแนวทางหนึ่งในการช่วยเหลือเกษตรกรในการควบคุมโรคดังกล่าวให้มีประสิทธิภาพและลดความเสี่ยงของผลผลิตได้มากยิ่งขึ้นต่อไป

### สรุป

เชื้อรา *C. capsici* สาเหตุโรคแอนแทรคโนสก่อนและหลังการเก็บเกี่ยวของพริก มีความหลากหลายทางชีวภาพซึ่งเป็นผลมาจากการปัจจัยสภาพแวดล้อมทางภูมิศาสตร์ ทำให้มีลักษณะทางสัณฐานวิทยา และการตอบสนองต่อสารเคมีป้องกันกำจัดเชื้อราบางชนิดแตกต่างกัน ซึ่งอาจเป็นผลทำให้การควบคุมโรคแอนแทรคโนสของพริกในแต่ละพื้นที่มีประสิทธิภาพมากน้อยแตกต่างกันไปเกิดขึ้นได้

### คำขอบคุณ

ขอขอบคุณห้องปฏิบัติการ天文วิทยา ภาควิชาโรคพืช คณะเกษตรฯ กำแพงแสน มหาวิทยาลัย เกษตรศาสตร์ วิทยาเขต กำแพงแสน สำหรับการเอื้อเฟื้อเชื้อราที่ใช้ในการศึกษา สถานที่ และอุปกรณ์ในการทำวิจัย

### เอกสารอ้างอิง

- ราชทพิทย์ ภาสบุตร, อภิรัชต์ สมฤทธิ์, อมรรัชฎ์ คิดใจเดียว และ มนัสวรรณ สุดสงวน. 2561. ศึกษาชนิดและเขตการแพร่กระจายของรา *Colletotrichum* spp. สาเหตุโรคแอนแทรคโนสพริก. รายงานผลงานวิจัยและพัฒนาปีพ.ศ. 2561, กรมวิชาการเกษตร, กรุงเทพฯ.
- รัตตยา พงศ์พิสุทธิ์ และ วรานันท์ วิญญุตต์. 2553. การศึกษาความหลากหลายทางชีวภาพของเชื้อราสาเหตุโรคแอนแทรคโนสพริก. รายงานฉบับสมบูรณ์, ศูนย์พันธุ์วิเคราะห์และเทคโนโลยีชีวภาพแห่งชาติ สำนักงานพัฒนาวิทยาศาสตร์และเทคโนโลยีแห่งชาติ, กรุงเทพฯ.
- สมบูรณ์, ศูนย์พันธุ์วิเคราะห์และเทคโนโลยีชีวภาพแห่งชาติ สำนักงานพัฒนาวิทยาศาสตร์และเทคโนโลยีแห่งชาติ, กรุงเทพฯ. 2521. เชื้อรุ่นวิทยา การถ่ายทอดทางเมล็ดของโรคแอนแทรคโนสของพริกและประสิทธิภาพของสารเคมีในการควบคุมโรคบนใบ วิทยานิพนธ์วิญญุตต์ มหาวิทยาลัยเกษตรศาสตร์, กรุงเทพฯ.
- Cannon, P. F., U. Damm, P.R. Johnston and B.S. Weir. 2012. *Colletotrichum* - current status and future directions. Studies in mycology 73(1): 181-213.
- Imjit, N., C. Rattanakreetakul and R. Pongpisutta. 2013. Polymerase chain reaction based detection of chili anthracnose. Acta Horticulturae 973; 199-206.
- Srideepthi R., U. Lakshmisahitya, D. Peddakasim, P. Suneetha and M.S.R. Krishna. 2017. Morphological, pathological and molecular diversity of *Colletotrichum capsici* inciting fruit rot in chilli (*Capsicum annuum* L). Research Journal of Biotechnology 12(4): 14 – 21.
- Suwannarat, S., S. Steinkellner, P. Songkumarn and S. Sangchote. 2017. Diversity of *Colletotrichum* spp. isolated from chili pepper fruit exhibiting symptoms of anthracnose in Thailand. Mycological Progress 16(7): 677-686.
- Gang, G. H., H.J. Cho, H.S. Kim, Y.B. Kwack and Y.S. Kwak. 2015. Analysis of fungicide sensitivity and genetic diversity among *Colletotrichum* species in sweet persimmon. The plant pathology journal 31(2): 115–122.
- Torres-Calzada, C., R. Tapia-Tussell, I. Higuera-Ciapara, R. Martin-Mex, A. Nexticapan-Garcez and D. Perez-Brito. 2015. Sensitivity of *Colletotrichum truncatum* to four fungicides and characterization of thiabendazole-resistant isolates. Plant Disease 99(11): 1590 – 1595.

## การสำรวจโรคผลเน่าของลำไยหลังการเก็บเกี่ยว

### Survey of Postharvest Fruit Rot Disease of Longan

เออมลิน พิพัฒนก้าดี<sup>1</sup> ดนัย บุญยักษ์<sup>2</sup> ฉันทลักษณ์ ติยาณ<sup>2,3</sup> พิมพใจ สีหานาม<sup>2,3,4</sup> และ อรุณมา เรืองวงศ์<sup>1,2</sup>  
Aimalin Pipattanapuckdee<sup>1</sup>, Danai Boonyakait<sup>2</sup>, Chantalak Tiyayon<sup>2,3</sup>, Pimjai Seehanam<sup>2,3,4</sup> and On-Uma Ruangwong<sup>1,2</sup>

#### Abstract

Postharvest fruit rot disease of longan was survey in longan orchard at Chiang Mai, Lamphun and Phrae provinces during August-October 2018. A total 34 fruit rot samples were collected and 140 fungal isolates were obtained from these samples. Classification of fungal isolates according to their spore morphology, the identified isolates were *Lasiodiplodia* sp. (35.72%), *Pestalotiopsis* sp. (17.85%), *Colletotrichum* sp. and *Phomopsis* sp. (5% each), *Fusarium* sp. (3.57%), *Cladosporium* sp. (1.42%) and unidentified fungus (31.42%) (not produced spore on culture medium). Moreover, *Lasiodiplodia* sp. was the predominant fungal species found in all areas. In the pathogenicity test, *Lasiodiplodia* sp. caused the most severe symptoms. From the results of this study, it will bring to further experiment for biological control of postharvest fruit rot disease of longan caused by these fungi.

**Keywords:** longan, fruit rot, *Lasiodiplodia* sp.

#### บทคัดย่อ

การสำรวจโรคผลเน่าของลำไยหลังการเก็บเกี่ยวในสวนลำไยที่ปลูกในจังหวัดเชียงใหม่ ลำพูน และแพร่ ระหว่างเดือน สิงหาคม-ตุลาคม พ.ศ. 2561 สำรวจพบโรคผลเน่าจำนวน 34 ตัวอย่าง นำมาแยกหาเชื้อราสาเหตุโรค สามารถแยกเชื้อราได้ จำนวน 140 ไอโซเลท เมื่อจัดจำแนกเชื้อจากลักษณะทางสัณฐานวิทยาเบื้องต้น โดยตรวจสอบร่วงลักษณะของสปอร์ พบว่า 35.722% ของเชื้อราที่แยกได้ คือ *Lasiodiplodia* sp., 17.85% คือ *Pestalotiopsis* sp., 5% คือ *Colletotrichum* sp. และ *Phomopsis* sp., 3.57% คือ *Fusarium* sp., 1.42% คือ *Cladosporium* sp. และ 31.42% คือ เชื้อราอื่น ๆ ที่ไม่สามารถระบุได้เนื่องจากไม่พบการสร้างสปอร์บนอาหารเลี้ยงเชื้อ นอกจากนี้ เชื้อรา *Lasiodiplodia* sp. พบรูปผลลำไยทุกแหล่งที่ทำการสำรวจ และจากการทดสอบการเกิดโรคของเชื้อราที่แยกได้ พบว่า *Lasiodiplodia* sp. ทำให้เกิดโรคผลเน่าอย่างรุนแรงและมากที่สุด จากผลการศึกษานี้จะนำไปสู่การทดสอบวิธีการควบคุมโรคผลเน่าของลำไยหลังการเก็บเกี่ยวที่เกิดจากเชื้อราดังกล่าวด้วยชีววิธีต่อไป

**คำสำคัญ:** ลำไย ผลเน่า *Lasiodiplodia* sp.

#### คำนำ

ลำไย (*Dimocarpus longan*) เป็นไม้ยืนต้นขนาดกลาง ลำต้นสีน้ำตาล ออกดอกออกเป็นช่อ สีขาวครีม ผลทรงกลมเป็นช่อ ผลดิบเปลือกมีสีน้ำตาลอ่อนเป็นสีขาว ผลสุกเปลือกมีสีน้ำตาลอ่อน เนื้อคำไยสีขาวหรือชมพูอ่อน ชื่งคำไยเป็นผลไม้ที่เน่าเสียง่าย โดยเฉพาะภายหลังการเก็บเกี่ยว เมื่อจากผลลำไยมีปริมาณน้ำตาลและความชื้นปริมาณน้ำภายนอกสูงมาก อีกทั้งเนื้อเก็บเกี่ยวจากต้นแล้วจะมีอัตราการหายใจและการขยายตัวอย่างรวดเร็ว และเน่าเสียได้ง่าย (Drinann, 2004) นอกจากนี้ลำไยยังเป็นผลไม้ที่มีความอ่อนแอต่อการเกิดโรคภัยหลังการเก็บเกี่ยวได้ง่าย โดยมีสาเหตุมาจาก การเข้าทำลายของจุลินทรีย์หลายชนิด เช่น เชื้อรา แบคทีเรีย และยีสต์ โดยเฉพาะโรคผลเน่าของลำไย ซึ่งมีรายงานว่าพบเชื้อจุลินทรีย์สาเหตุหลายชนิด โดยเฉพาะเชื้อรา แต่ที่พบมากที่สุด คือ *Lasiodiplodia* sp., *Aspergillus* sp. และ *Xylaria* sp. ตามลำดับ (Chang-Ngern et al., 2010) โดยเชื้อรา *Lasiodiplodia*

<sup>1</sup> ภาควิชาภูมิศาสตร์และโภชนาศิลป์ คณะเกษตรศาสตร์ มหาวิทยาลัยเชียงใหม่ เชียงใหม่ 50200

<sup>1</sup> Department of Entomology and Plant Pathology, Faculty of Agriculture, Chiang Mai University, Chiang Mai 50200

<sup>2</sup> ศูนย์นวัตกรรมเทคโนโลยีหลังการเก็บเกี่ยว กระทรวงการอุดมศึกษา วิทยาศาสตร์ วิจัยและนวัตกรรม กรุงเทพมหานคร 10400

<sup>2</sup> Postharvest Technology Innovation Center, Ministry of Higher Education, Science, Research and Innovation, Bangkok 10400

<sup>3</sup> ภาควิชาพืชศาสตร์และปฐพีศาสตร์ คณะเกษตรศาสตร์ มหาวิทยาลัยเชียงใหม่ เชียงใหม่ 50200

<sup>3</sup> Department of Plant and Soil Sciences, Faculty of Agriculture at Chiang Mai University, Chiang Mai 50200

<sup>4</sup> ศูนย์วิจัยเทคโนโลยีหลังการเก็บเกี่ยว คณะเกษตรศาสตร์ มหาวิทยาลัยเชียงใหม่ เชียงใหม่ 50200

<sup>4</sup> Postharvest Technology Research Center, Faculty of Agriculture, Chiang Mai University, Chiang Mai 50200

พบว่าอาศัยในพืช แต่ไม่แสดงอาการของโรคในระยะที่ลำไยติดดอก เมื่อลำไยอยู่ในระยะเก็บเกี่ยวหรือถูกเก็บออกจากต้นแล้วเชื้อรากจึงเริ่มทำลายทำให้ผลลำไยเน่า (Zhang, 2014) งานวิจัยครั้งนี้จึงมีวัตถุประสงค์เพื่อสำรวจหาเชื้อรากสาเหตุโรคผลเน่าหลังการเก็บเกี่ยวของลำไยในพื้นที่ปลูกจังหวัดเชียงใหม่ ลำพูน และแพร่

### อุปกรณ์และวิธีการ

#### 1. การสำรวจโรคและการแยกเชื้อรากสาเหตุโรคผลเน่าของลำไย

สำรวจและเก็บตัวอย่างโรคผลเน่าของลำไยในระยะหลังการเก็บเกี่ยว ระหว่างเดือนสิงหาคม-ตุลาคม พ.ศ. 2561 ในสวนลำไย จังหวัดเชียงใหม่ จำนวน 6 แหล่ง ใน อำเภอสารภี อำเภอแม่แจ่ม อำเภอฝาง อำเภอแม่แตง อำเภอหางดง อำเภอสนม ป่าตอง สวนลำไย จังหวัดลำพูน จำนวน 4 แหล่ง ใน อำเภอเมือง อำเภอเมือง อำเภอบ้านโป่ง อำเภอป่าชาง และสวนลำไย จังหวัดแพร่ จำนวน 1 แหล่ง ใน อำเภอเมือง โดยแยกเชื้อรากจากผลลำไยด้วยเทคนิค hyphal tip และ tissue transplanting บนอาหาร potato dextrose agar (PDA) และจัดจำแนกเชื้อรากจากลักษณะของสปอร์ทพบนอาหาร PDA และคำนวนเป็นเบอร์เชื้อรากที่เพบรากตัวอย่างทั้งหมด

#### 2. การทดสอบความสามารถในการทำให้เกิดโรคของเชื้อรากได้จากผลเน่าของลำไย

นำเชื้อรากที่แยกได้มาทดสอบความสามารถในการทำให้เกิดโรคผลเน่า กรณีที่เชื้อรากไม่สร้างสปอร์ ปลูกเชื้อด้วย culture disk (ปลายเส้นไขของเชื้อรากที่เจริญบน PDA ที่ตัดด้วย cork borer (เส้นผ่านศูนย์กลาง 0.5 ซม.)) กรณีเชื้อรากสร้างสปอร์ เตรียม spore suspension ความเข้มข้นของสปอร์  $10^6$  สปอร์/มลลิลิตร จากนั้นวาง culture disk บนผลลำไย หรือหยด spore suspension ปริมาตร 5 มลลิลิตร บนผลลำไยที่มีการทำแพลงและไม่ทำแพลง ทั้งนี้ผลลำไยได้ผ่านการฆ่าเชื้อที่ผิด โดยเชื้อผลลำไย เช่นสารละลายน้ำ Clorox ความเข้มข้น 10% นาน 5 นาที จากนั้นนำไปลอกหอยล็อกความเข้มข้น 70% นาน 5 นาที แล้วจึงล้างด้วยน้ำกลันที่ผ่านการนึ่งฆ่าเชื้อแล้ว 2 ครั้ง เช็ดให้แห้ง แล้วนำไปปลูกเชื้อ หลังจากการปลูกเชื้อแล้วนำผลลำไยเก็บไว้ในกล่องชีวน้ำสังเกตอาการเน่าที่เกิดขึ้นหลังปลูกเชื้อ โดยบันทึกผลในวันที่ 3 5 7 และ 10 หลังการปลูกเชื้อ เปรียบเทียบกับชุดควบคุมที่นำเข้าในวันวางหรือนำเข้าที่ฆ่าเชื้อแล้วหยดบนผลลำไยที่ทำแพลงและไม่ทำแพลง

### ผล

สามารถเก็บตัวอย่างผลลำไยที่แสดงอาการผลเน่าได้จำนวน 34 ตัวอย่าง โดยลำไยที่แสดงอาการผลเน่าแต่ละแหล่ง ประกอบด้วย จากอำเภอสนม ป่าตอง จังหวัดเชียงใหม่ จำนวน 8 ตัวอย่าง อำเภอเมือง จังหวัดลำพูน จำนวน 6 ตัวอย่าง อำเภอแม่แตง แหล่ง จังหวัดเชียงใหม่ จำนวน 5 ตัวอย่าง อำเภอสารภี จังหวัดเชียงใหม่ จำนวน 4 ตัวอย่าง อำเภอหางดง จังหวัดเชียงใหม่ จำนวน 3 ตัวอย่าง ในขณะที่ตัวอย่างจาก อำเภอแม่แจ่ม และอำเภอฝาง จังหวัดเชียงใหม่ อำเภอบ้านโป่ง และอำเภอป่าชาง จังหวัดลำพูน และอำเภอเมือง จังหวัดแพร่ พบร่องรอยสถานที่ละ 1 ตัวอย่าง (Table 1) โดยลักษณะอาการพบแพลงฉาน้ำสีน้ำตาล ที่มีขนาดและรูปร่างไม่แน่นอนบนผล หากอาการรุนแรงพบอาการแพลงฉาน้ำทั้งผล ผลลำไยแตกและเน่าเสียหาย (Figure 1) เมื่อนำมาแยกเชื้อรากได้ทั้งหมด 140 ໂไอโซเลต (Table 1) การตรวจสkopปูร่างของสปอร์เชื้อรากที่แยกได้พบว่า 35.72% ของเชื้อรากที่แยกได้ คือ *Lasiodiplodia* sp., 17.85% คือ *Pestalotiopsis* sp. ซึ่งพบในทุกตัวอย่างที่แสดงอาการผลเน่า, 5% คือ *Colletotrichum* sp. และ *Phomopsis* sp., 3.57% คือ *Fusarium* sp., 1.42% คือ *Cladosporium* sp. (Figure 2) และ 31.42% คือ เชื้อรากอื่น ๆ ที่ไม่สามารถสร้างสปอร์บนอาหาร PDA ในช่วงเวลาที่ทำการตีกษา

เมื่อนำเชื้อราก 4 ชนิด ได้แก่ *Lasiodiplodia* sp., *Colletotrichum* sp., *Pestalotiopsis* sp. และ *Phomopsis* sp. มาทดสอบความสามารถในการเกิดโรคบนผลลำไย พบว่า เชื้อรากทั้งหมดสามารถทำให้เกิดโรคผลเน่าได้ โดย *Lasiodiplodia* sp. ทำให้เกิดโรคผลเน่าได้มากที่สุด และเกิดอาการภายใน 3 วันหลังการปลูกเชื้อ ทั้งนี้ผลที่ทำแพลงและไม่ทำแพลง โดยพบร่องรอยสีขาวเทาของเชื้อรากเจริญปกคลุมผลลำไย เปลือกลำไยมีสีน้ำตาลเข้มมากขึ้น และในวันที่ 5 เชื้อรากเริ่มสร้าง conidiomata แบบ pycnidium เห็นเป็นจุดสีดำ กระจายรอบ ๆ ผลลำไย ในขณะที่เชื้อรากชนิดอื่น ทำให้เกิดอาการเน่าในวันที่ 5 หลังการปลูกเชื้อ

**Table 1** Number of longan fruit rot samples and fungi isolated from longan orchard at Chiang Mai, Lamphun and Phrae province

Source of longan		Number of fruit rot samples	Number of fungi (isolate)
Province	District		
Chiang Mai	Saraphi	4	16
	Mae Chaem	1	9
	Fang	1	23
	Mae Taeng	5	11
	Hang Dong	3	12
	San Pa Tong	8	37
Lamphun	Mueang	6	9
	Ban Hong	1	7
	Ban Thi	1	3
	Pa Sang	3	7
Phrae	Mueang	1	6
Total		34	140



Figure 1 Fruit rot symptom and fruit cracking on longan

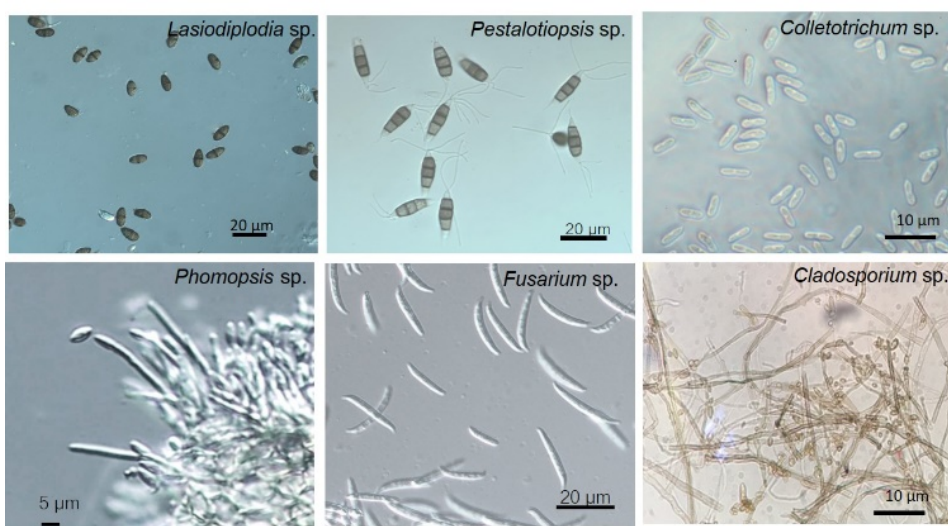


Figure 2 Fungal pathogens caused postharvest fruit rot disease of longan

## วิจารณ์ผล

จากการสำรวจโรคผลเน่าของลำไยที่ผลิตในพื้นที่จังหวัดเชียงใหม่ แพร่ และลำพูน พบว่า เขื้อราสาเหตุโรคผลเน่าหลังการเก็บเกี่ยวที่พบมากที่สุด เกิดจากเขื้อรา *Lasiodiplodia* sp. โดยพบมากถึง 35.72% ซึ่งสอดคล้อง Chang-Ngern et al. (2010) ที่รายงานว่า *Lasiodiplodia* sp. เป็นสาเหตุของการเกิดผลเน่าของลำไยมากที่สุด นอกจากนี้ Serrato-Diaz et al. (2014) มีการรายงานเป็นครั้งแรกว่าพืช *Lasiodiplodia theobromae* (Pat.) Griffon & Maubl. (Lt) เป็นสาเหตุของโรค inflorescence blight และ fruit rot ของลำไยที่ปลูกในประเทศไทย อย่างไรก็ตาม เขื้อราชนิดนี้มีรายงานการเข้าทำลายไม้ผลหลายชนิด เช่น มะม่วง อรุณ กาแฟ มะลากอ มะพร้าว เป็นต้น (Netto et al., 2014; Dissanayake et al., 2015; Rosado et al., 2016; Munirah et al., 2017; Sultana and Rahman, 2018) สำหรับเขื้ออื่น ๆ ที่พบบันผลเน่าของลำไยในการศึกษาวิจัยในครั้งนี้ มีรายงานการสร้างความเสียหายให้กับไม้ผลชนิดอื่น เช่นเดียวกัน นอกจากนี้เขื้ออื่น ๆ ดังกล่าวอาจเป็นกลุ่มเขื้อราที่เข้าทำลายลำไยเดิมหรือเป็นกลุ่ม secondary infection ทั้งนี้ผลการสำรวจหาเขื้อราสาเหตุโรคผลเน่าหลังการเก็บเกี่ยวของลำไยในพื้นที่ปลูกจังหวัดเชียงใหม่ ลำพูน และแพร่ ในครั้งนี้ ทำให้ทราบถึงเขื้อสาเหตุหลักที่ทำให้เกิดโรคผลเน่าของลำไยมากที่สุด จากผลการศึกษาจะน้ำไปทดสอบการควบคุมโรคผลเน่าโดยชีววิธี (biological control) โดยคัดเลือกแบคทีเรียปฏิปักษ์ (antagonistic bacteria) มาใช้ควบคุมเขื้อรา *Lasiodiplodia* sp. ที่แยกได้ต่อไป

## สรุป

การสำรวจโรคผลเน่าของลำไยหลังการเก็บเกี่ยวจากสวนลำไยที่ปลูกใน จังหวัดเชียงใหม่ จำนวน 6 อำเภอ จังหวัดลำพูน จำนวน 4 อำเภอ และจังหวัดแพร่ จำนวน 1 อำเภอ พบว่า มีเขื้อรา *Lasiodiplodia* sp. เข้าทำลายมากที่สุด คิดเป็น 35.72% และทำให้เกิดโรคผลเน่ารุนแรงที่สุด

## คำขอบคุณ

ขอขอบคุณศูนย์นวัตกรรมเทคโนโลยีหลังการเก็บเกี่ยว กระทรวงการอุดมศึกษา วิทยาศาสตร์ วิจัยและนวัตกรรม ที่สนับสนุนทุนในการทำวิจัย ขอขอบคุณภาควิชาภูมิศาสตร์และเทคโนโลยีและศูนย์วิจัยเทคโนโลยีในโล耶หลังการเก็บเกี่ยว คณะเกษตรศาสตร์ มหาวิทยาลัยเชียงใหม่ ที่สนับสนุนวัสดุ อุปกรณ์ เครื่องมือวิทยาศาสตร์ และสถานที่ในการทำวิจัย

## เอกสารอ้างอิง

- Chang-Ngern, P., U. Sardsud, W. Pathomaree, P. Chantrasri and E. Chukeatirote. 2010. Diversity of molds in fresh longan. Agriculture Science Journal 41: 322–24.
- Dissanayake, A.J., W. Zhang, L. Mei, E. Chukeatirote, J.Y. Yan, X.H. Li and K.D. Hyde. 2015. *Lasiodiplodia pseudotheobromae* causes pedicel and peduncle discoloration of grapes in China. Australasian Plant Disease Notes 10(1): 1–5.
- Drinnan, J. 2004. Longans postharvest handling and storage. In Rural Industries Research and Development Corporation. [Online]. Available Source: <https://www.agrifutures.com.au/wp-content/uploads/publications/03-125>. (11 January 2011).
- Munirah, M.S., A.R. Azmi, S.Y.C. Yong and A.I.M.Z. Nur. 2017. Characterization of *Lasiodiplodia theobromae* and *L. pseudotheobromae* causing fruit rot on pre-harvest mango in Malaysia. Plant Pathology Quarantine 7(2):202-213.
- Netto, M.S.B., I.P. Assunção, G.S.A. Lima, M.W. Marques, W.G. Lima, J.H.A. Monteiro, V. de Queiroz Balbino, S.J. Michereff, A.J.L. Phillips and M.P.S. Camara. 2014. Species of *Lasiodiplodia* associated with papaya stem-end rot in Brazil. Fungal Diversity 67(1): 127–141.
- Rosado, A.W.C., A.R. Machado, F.C.O. Freire and O.L. Pereira. 2016. Phylogeny, identification, and pathogenicity of *Lasiodiplodia* associated with postharvest stem-end rot of coconut in Brazil. Plant Disease 100: 561-568.
- Serrato-Diaz, L.M., L.I. Rivera-Vargas, R. Goenaga and R.D. French-Monar. 2014. First report of *Lasiodiplodia theobromae* causing inflorescence blight and fruit rot of longan (*Dimocarpus longan* L.) in Puerto Rico. Plant Disease 98(2): 279.
- Sultana, R. and H. Rahman. 2018. Characterization of *Lasiodiplodia pseudotheobromae* associated with citrus stem-end rot disease in Bangladesh. International Journal of Biosciences 13(05): 252–262.
- Zhang, J. 2014. *Lasiodiplodia theobromae* in citrus fruit (Diplodia stem-end rot). p. 309-335. In S. Bautista-Baños (ed). Postharvest Decay Control Strategies. USA: Academic Press.

**ผลของความร้อนจากคลื่นความถี่วิทยุที่มีต่อปริมาณแอนโกลิคไซนิน  
ในข้าวเปลือกพันธุ์กำเจ้า มช. 107**

**Effect of Radio Frequency Heating on Anthocyanin Content in  
Purple Rough Rice cv. Kumjao CMU 107**

วริมล วงศ์พ่ำห์<sup>1</sup> ณัฐศักดิ์ กฤติกาเมฆ<sup>1,2\*</sup> วิบูลย์ ช่างเรือง<sup>1,3</sup> เยาวลักษณ์ จันทร์บาง<sup>4,5\*</sup> และ ณัฏฐ์รัตน์ หมื่นมาลี<sup>1,5</sup>

Wornwimol Wangspa<sup>1</sup>, Nattasak Krittigamas<sup>1,2\*</sup>, Viboon Changrue<sup>1,3</sup>, Yaowaluk Chanbang<sup>4,5\*</sup> and Nadthawat Muenmanee<sup>1,5</sup>

### Abstract

Purple rice cv. Kumjao CMU 107 was breeding by Chiang Mai University researcher team. The rice grain was characterized by black or purple color of pericarp layer with anthocyanin content as antioxidant. However, there are many reports that heating affected to the decrease in anthocyanin content. The objective of this experiment was to determine the effects of radio frequency (RF) heat treatment with 27.12 MHz at temperature of 55, 60 and 65°C for 180 seconds on purple rough rice cv. CMU 107, which those temperatures and time has the efficacy in controlling stored insect pests. The results showed that anthocyanin content significantly decreased ( $P<0.05$ ) from all RF temperatures compared to untreated purple rice ( $30.22\pm3.9$  mg/100 g). Anthocyanin content with RF for 180 seconds at 55, 60 and 65°C were  $24.00\pm3.5$ ,  $24.99\pm2.7$  and  $17.57\pm0.9$  g/100 mg, respectively. Nevertheless, RF heat treatment of 60°C for 180 seconds not only low affected to anthocyanin content in purple rice cv. Kumjao CMU 107 but also it can be used to effectively control in several of stored product insects, such as rice moth, lesser grain borer, saw-toothed grain beetle and rice weevil.

**Keywords:** radio frequency, anthocyanin, purple rice cv. Kumjao CMU 107

### บทคัดย่อ

ข้าวกำเจ้า มช. 107 เป็นพันธุ์ข้าวที่ปรับปรุงพันธุ์โดยกลุ่มนักวิจัยของมหาวิทยาลัยเชียงใหม่ ข้าวมีเยื่อหุ้มเมล็ดสีดำ หรือม่วงมีสารประกอบที่เรียกว่าแอนโกลิคไซนิน ซึ่งเป็นสารที่มีคุณสมบัติในการต้านอนุมูลอิสระ แต่เนื่องจากมีการรายงานว่า ความร้อนมีผลทำให้ปริมาณแอนโกลิคไซนินลดลง การทดลองครั้งนี้จึงมีวัตถุประสงค์เพื่อศึกษาผลของการใช้ความร้อนจากคลื่นความถี่วิทยุที่ความถี่ 27.12 MHz ระดับอุณหภูมิ 55, 60 และ 65 องศาเซลเซียส เป็นระยะเวลา 180 วินาที กับ ข้าวเปลือกพันธุ์กำเจ้า มช. 107 ซึ่งเป็นช่วงอุณหภูมิและระยะเวลาที่มีรายงานว่า มีประสิทธิภาพในการควบคุมแมลงศัตรูในเก็บ จากผลการทดลองพบว่า ในแต่ละระดับอุณหภูมิ เมล็ดข้าวมีปริมาณแอนโกลิคไซนินลดลงและแตกต่างอย่างมีนัยสำคัญทางสถิติ ( $P<0.05$ ) เมื่อเปรียบเทียบกับชุดควบคุมซึ่งไม่ได้ผ่านการให้ความร้อน ( $30.22\pm3.9$  มิลลิกรัม/100 กรัม) โดยที่ อุณหภูมิ 55, 60 และ 65 องศาเซลเซียส มีปริมาณแอนโกลิคไซนินเฉลี่ย เท่ากับ  $24.00\pm3.5$ ,  $24.99\pm2.7$  และ  $17.57\pm0.9$  มิลลิกรัม/100 กรัม ตามลำดับ อย่างไรก็ตามการให้ความร้อนที่อุณหภูมิ 60 องศาเซลเซียส เป็นระยะเวลา 180 วินาที นอกจากจะมีการลดลงในระดับที่ต่ำของแอนโกลิคไซนินในเมล็ดข้าวกำเจ้า มช. 107 แล้ว ยังมีประสิทธิภาพในการควบคุมแมลงศัตรูในเก็บได้ในหลายชนิดอีกด้วย เช่น ฝีเดือข้าวสาร มองหัวป้อม มองพันเดือย และด้วงวงข้าว

**คำสำคัญ:** คลื่นความถี่วิทยุ แอนโกลิคไซนิน ข้าวกำเจ้า มช. 107

<sup>1</sup>ศูนย์นวัตกรรมเทคโนโลยีหลังการเก็บเกี่ยว กระทรวงการอุดมศึกษา วิทยาศาสตร์ วิจัยและนวัตกรรม กรุงเทพฯ 10400

<sup>1</sup>Postharvest Technology Innovation Center, Ministry of Higher Education, Science, Research and Innovation, Bangkok 10400, Thailand.

<sup>2</sup>ภาควิชาพืชศาสตร์และปัตรีฟิสิกส์ คณะเกษตรศาสตร์ มหาวิทยาลัยเชียงใหม่ จ.เชียงใหม่ 50200

<sup>2</sup>Department of Plant Science and Soil Science, Faculty of Agriculture, Chiang Mai University, Chiang Mai 50200, Thailand

<sup>3</sup>ภาควิชาเคมีวิทยาและเคมีฟิสิกส์ คณะวิศวกรรมศาสตร์ มหาวิทยาลัยเชียงใหม่ จ.เชียงใหม่ 50200

<sup>3</sup>Department of Mechanical Engineering, Faculty of Engineering, Chiang Mai University, Chiang Mai 50200, Thailand

<sup>4</sup>ภาควิชาชีววิทยาและเคมีฟิสิกส์ คณะเกษตรศาสตร์ มหาวิทยาลัยเชียงใหม่ จ.เชียงใหม่ 50200

<sup>4</sup>Department of Entomology and Plant Pathology, Faculty of Agriculture, Chiang Mai University, Chiang Mai 50200, Thailand

<sup>5</sup>ศูนย์นวัตกรรมในเชิงพัฒนาการที่ปรับเปลี่ยน คณะเกษตรศาสตร์ มหาวิทยาลัยเชียงใหม่ จ.เชียงใหม่ 50200

<sup>5</sup>Postharvest Technology Research Center, Faculty of Agriculture, Chiang Mai University, Chiang Mai 50200, Thailand

\*Corresponding author: [nattasak.k@cmu.ac.th](mailto:nattasak.k@cmu.ac.th), [lukksu@hotmail.com](mailto:lukksu@hotmail.com)

## คำนำ

ข้าวกำเจ้า มช. 107 เป็นพันธุ์ข้าวที่ได้รับการปรับปรุงสายพันธุ์ระหว่างข้าวกำดอยสะเก็ตกับข้าวขาวดอกมะลิ 105 โดยกลุ่มนักวิจัยของมหาวิทยาลัยเชียงใหม่ เป็นข้าวที่มีเยื่อหุ้มเมล็ด (pericarp) สีดำหรือม่วง ซึ่งเป็นสารประกอบในกลุ่มฟลาโนนอยด์ คือแอนโกลิไซด์ ( flavonoid ) ในชื่อไทยนิยม ( รวมวิทยาศาสตร์และบริการ, 2561; Pusadee et al., 2019 ) มีรายงานว่าแอนโกลิไซด์เป็นสารที่มีประโยชน์ต่อสุขภาพ มีคุณสมบัติในการต้านอนุมูลอิสระ (antioxidant) ลดการอักเสบ (anti-inflammatory) ช่วยลดระดับไขมันในเลือด ลดความเสี่ยงในการเป็นโรคหัวใจและโรคหลอดเลือดแดงแข็งตัวได้ (Oki et al., 2002; Wang et al., 2007; Yamuangmorn et al., 2018a) ดังนั้นข้าวกำเจ้าเป็นพืชอาหารที่ได้รับความสนใจในกลุ่มผู้บริโภคอาหารเพื่อสุขภาพอย่างไรก็ตามแมลงศัตรูในโรงเก็บนับว่าเป็นปัญหาสำคัญในการเก็บรักษาข้าวเปลือก เนื่องจากแมลงหลายชนิดสามารถเข้าทำลายตั้งแต่ช่วงก่อนการเก็บเกี่ยวและยังสามารถแพร่ขยายพันธุ์ต่อไปได้อย่างรวดเร็วในระหว่างการเก็บรักษา ทำให้มีประชากรเพิ่มขึ้นอย่างรวดเร็ว โดยจะเข้าทำลาย และก่อให้ความเสียหายแก่ผลผลิต ทั้งในด้านคุณภาพ และปริมาณ (Togola et al., 2013; Srivastava and Subramanian, 2016) การใช้ความร้อนจากคลื่นความถี่วิทยุ (radio frequency, RF) เป็นเทคโนโลยีที่มีประสิทธิภาพในการกำจัดแมลงโรงเก็บชนิดต่างๆ โดยเฉพาะอย่างยิ่งที่ 27.12 MHz อุณหภูมิ 55-65 องศาเซลเซียส ระยะเวลา 180 วินาที (ณคณิณ และคณะ, 2551; กฤษณา และคณะ, 2552; ชัชพงษ์ และคณะ, 2557; Wangspa et al., 2015 และ กฤตพจน์ และคณะ; 2564) แต่เนื่องจากมีรายงานว่าแอนโกลิไซด์มีความอ่อนไหวต่อระดับอุณหภูมิ (Bhawamai et al., 2016) ดังนั้นการทดลองครั้งนี้ จึงมีวัตถุประสงค์เพื่อศึกษาผลของการรักษาด้วยคลื่นความถี่วิทยุที่ระดับอุณหภูมิ 55-65°C ระยะเวลา 180 วินาที ต่อปริมาณแอนโกลิไซด์ข้าวพันธุ์กำเจ้า มช. 107

## อุปกรณ์และวิธีการ

### 1. ผลของระดับอุณหภูมิของคลื่นความถี่วิทยุที่มีต่อระดับแอนโกลิไซด์ในข้าวกำเจ้า มช. 107

ข้าวเปลือกที่ใช้ในการทดลองนี้คือ ข้าวพันธุ์กำเจ้า มช. 107 วางแผนการทดลองแบบ Completely Randomized Design (CRD) จำนวน 3 ชั้้า โดยใช้ข้าวเปลือก 300 กรัมต่อตัวอย่าง มาผ่านคลื่นความถี่วิทยุที่ 27.12 MHz ระดับอุณหภูมิ 55, 60 และ 65 องศาเซลเซียส เป็นระยะเวลา 180 วินาที แล้วจึงนำตัวอย่าง ไปผ่านกระบวนการกรองเทาเปลือก เพื่อเตรียมข้าวกล้องสำหรับการไปวิเคราะห์ปริมาณแอนโกลิไซด์

### 2. การวิเคราะห์การเปลี่ยนแปลงของปริมาณแอนโกลิไซด์ในข้าวกำเจ้า มช. 107

วิเคราะห์ปริมาณแอนโกลิไซด์โดยใช้ตัวอย่างข้าวกล้อง 0.5 กรัม ใส่ในหลอดทดลอง เติม 0.1 % ไฮโดรคลอริกในเมทานอล ปริมาตร 10 มิลลิลิตร นำไปใส่เครื่องเขย่าด้วยความเร็ว 150 รอบต่อนาที เป็นเวลา 30 นาที เมื่อครบตามเวลานำไปปั่นให้เย็นที่ 3,000 รอบต่อนาที เป็นระยะเวลา 15 นาที จากนั้นแบ่งสารสกัดออกเป็น 2 ส่วน ใส่ลงในหลอดทดลอง ทำการเจือจางสารสกัดด้วยสารละลายน้ำไฟฟ์ 2 ชนิด คือ โพแทสเซียมคลอไรด์ (0.025 M, pH 1.0) และ โซเดียมอะซีเตต (0.4 M, pH 4.5) ในอัตราส่วน 1:100 แล้วนำไปวัดค่าการดูดกลืนแสงที่ความยาวคลื่น 520 และ 700 นาโนเมตร ด้วยเครื่อง UV-VIS Spectrophotometer (Analytik Jena SPECORD 40, USA) และนำค่าการดูดกลืนแสงมาคำนวณปริมาณแอนโกลิไซด์จากสมการ

$$\text{Anthocyanin content} = (A \times MW \times DF \times 1000) / \epsilon \times L$$

เมื่อ A คือ ค่าการดูดกลืนแสงที่แท้จริงของตัวอย่าง ซึ่งคำนวณจากสมการ  $(A_{520 \text{ nm}} - A_{700 \text{ nm}}) / (A_{520 \text{ nm}} - A_{700 \text{ nm}}) \times 1000$  pH 1.0 - (A520 nm - A700 nm) pH 4.5 MW คือ น้ำหนักมวลโมเลกุลของไอลิไซด์ คือ 449.2 กรัมต่อมิลลิลิตร DF คือ dilution factor ของตัวอย่าง  $\epsilon$  คือ molar absorptivity เท่ากับ 26,900 L คือ ความกว้างของคิวเวตมีค่าเท่ากับ 1 เซนติเมตร ทำการ 66วิเคราะห์ความแปรปรวน (analysis of variance) โดยเปรียบเทียบความแตกต่างของค่าเฉลี่ยด้วยวิธี least significant different (LSD) ที่ระดับความเชื่อมั่น 95 เปอร์เซ็นต์

### ผล

ผลของระดับอุณหภูมิจากคลื่นความถี่วิทยุที่มีต่อปริมาณแอนโกลิยา닌ในข้าวพันธุ์กำเจ้า มช. 107

หลังจากนำข้าวเปลือกพันธุ์กำเจ้า มช. 107 มาผ่านความร้อนจากคลื่นความถี่วิทยุที่ 55, 60 และ 65 องศาเซลเซียส เป็นระยะเวลา 180 วินาที พบร่วงปริมาณแอนโกลิยา닌มีการลดลงอย่างมีนัยสำคัญในทุกระดับอุณหภูมิ ( $P<0.05$ ) จากชุดควบคุม คือ  $24.00\pm3.5$ ,  $24.99\pm2.7$  และ  $17.57\pm0.9$  มิลลิกรัม/100 กรัม ตามลำดับ (Table 1) ข้าวเปลือกที่ผ่านความร้อนที่ระดับอุณหภูมิ 55 และ 60 องศาเซลเซียส พบรากурсลดลงของปริมาณแอนโกลิยา닌ไม่มีความแตกต่างกันทางสถิติ ( $P>0.05$ ) อย่างไรก็ตามที่ระดับอุณหภูมิ 60 องศาเซลเซียส ข้าวมีเปอร์เซ็นต์การสูญเสียแอนโกลิยา닌หลังจากผ่านความร้อนจากคลื่นความถี่วิทยุในปริมาณต่ำที่สุดคือ 17.31% ขณะที่อุณหภูมิ 55 และ 65 องศาเซลเซียส มีการลดลงเท่ากับ 20.6 และ 41.86% ตามลำดับ

**Table 1** Moisture content and anthocyanin content of purple rice cv. Kumjao CMU 107 after being exposed to radio frequency heat treatment (RF) at 55 to 65 °C for 180 seconds.

RF temperature at 180 seconds (°C)	Moisture Content (%) ± SE	Anthocyanin content (mg/100 g) ± SE
Untreated RF	9.30±0.3	a
55	9.05±0.2	a
60	8.63±0.1	b
65	8.15±0.1	c
CV(%)	2.10	10.39

Means within the column followed by different letters are significantly different at 95% confidence level ( $P<0.05$ ) by least significant difference (LSD) comparison.

### วิจารณ์ผล

ปัจจัยที่มีผลต่อการเปลี่ยนแปลงของปริมาณแอนโกลิยา닌ในเมล็ดข้าว ได้แก่ ระยะเวลาการเก็บรักษา ชนิดของพันธุ์ข้าว สภาพของเมล็ด (ข้าวเปลือก ข้าวสาร หรือข้าวกล้อง) และอุณหภูมิ โดย Yamuangmorn *et al.* (2018b) พบร่วงการเก็บรักษาข้าวกำ (ข้าวเหนียวดำ) ที่อุณหภูมิห้อง (ประมาณ 25-30 องศาเซลเซียส) และ 25 องศาเซลเซียส มีปริมาณแอนโกลิยา닌ลดลงประมาณ 30 เปอร์เซ็นต์ ในขณะที่การเก็บรักษา ที่อุณหภูมิ 60 องศาเซลเซียส มีการลดลงเท่ากับ 42 เปอร์เซ็นต์ หลังจากเก็บรักษาเป็นเวลา 6 เดือน พันธุ์ข้าวที่มีแอนโกลิยา닌สูงมีการเปลี่ยนแปลงปริมาณแอนโกลิยา닌สูงกว่าในข้าวที่มีแอนโกลิยาninต่ำ และการเก็บรักษาในสภาพข้าวกล้องลดการเปลี่ยนแปลงปริมาณแอนโกลิยาninได้ดีกว่าในสภาพข้าวเปลือก เนื่องมาจากกิจกรรมของเอนไซม์ เช่น polyphenol oxidase และ peroxidase ที่ในอยู่แลบทำให้มีผลต่อการลดลงของแอนโกลิยาnin (Zhang *et al.*, 2005; Ducamp-Collin *et al.*, 2008; Yamuangmorn *et al.*, 2018b)

นอกจากนี้ยังมีรายงานว่าระดับความร้อนที่สูงกว่า 37.5 องศาเซลเซียส เกี่ยวข้องกับการเกิดปฏิกิริยาออกซิเดชันและการสลายของแอนโกลิยาninในข้าวที่มีสีม่วงและสีดำ (Tiwari *et al.*, 2010; Das *et al.*, 2017) ซึ่งในการศึกษาครั้งนี้ พบร่วงความร้อนจากคลื่นความถี่วิทยุที่อุณหภูมิ 60 องศาเซลเซียส ระยะเวลา 180 วินาที เป็นอุณหภูมิที่มีผลในการป้องกันกำจัดแมลงศัตรูโรงเก็บหล่ายชนิด เช่น ผีเสื้อข้าวสาร ยอดหัวป้อม และ ยอดฟันเลื่อย ในข้าวสารพันธุ์ข้าวดอกมะลิ 105 (ณคณิณ และคณะ, 2551; กฤชณา และคณะ, 2552; ชัชพงษ์ และคณะ, 2557) และ Wangspa *et al.* (2015) ได้รายงานว่า นอกจากจะสามารถกำจัดตัวงวงข้าว ที่ระยะท้นท่านในข้าวเปลือกได้อย่างสมบูรณ์แล้วยังสามารถยับยั้งการเกิดของแมลงในรุ่นลูก (F1) ได้อีกด้วย

### สรุป

การใช้ความร้อนจากคลื่นความถี่วิทยุที่ 27.12 MHz ที่อุณหภูมิ 60 องศาเซลเซียส ระยะเวลา 180 วินาที แก่ ข้าวเปลือกพันธุ์กำเจ้า มช. 107 มีการลดลงต่ำสุดของปริมาณแอนโกลิยาninประมาณ 17% และเป็นอุณหภูมิที่สามารถใช้กำจัดแมลงได้

## คำขอคุณ

ขอขอบคุณศูนย์นวัตกรรมเทคโนโลยีหลังการเก็บเกี่ยว กระทรวงการอุดมศึกษา วิทยาศาสตร์ วิจัยและนวัตกรรม สำหรับการสนับสนุนทุนในการวิจัยครั้งนี้

### เอกสารอ้างอิง

- กรมวิทยาศาสตร์และบริการ. 2561. ข้าวพันธุ์ใหม่ "กำเจ้า มช.107" ต้นมะโรงเพาะ-ป้องกันโรคหัวใจ. [ออนไลน์]. แหล่งที่มา: [http://siweb1.dss.go.th/news/show\\_abstract.asp?article\\_ID=7643](http://siweb1.dss.go.th/news/show_abstract.asp?article_ID=7643) (12 พฤษภาคม 2563).
- กฤตพจน์ นันตะถุล, ณัฐรัตน์ หมื่นมาภรณ์ และ เยาวลักษณ์ จันทร์บาง. 2564. การใช้คลื่นความถี่วิทยุในการควบคุมเหาหนังสือ (*Liposcelis entomophila*) ในเมล็ดข้าวหอมมะลิ. วารสารแก่นเกษตร 49: 119 -129.
- กฤษณา สมะ, เยาวลักษณ์ จันทร์บาง, วิเชียร เยงสวัสดิ์ และ ณัฐรัตน์ กฤติกามเมช. 2552. ผลของการใช้คลื่นความถี่วิทยุต่อมดหัวป้อมและคุณภาพของข้าวสารพันธุ์ขาวดอกมะลิ 105. หน้า 97-103 ใน: รายงานสัมมนาวิชาการ บัณฑิตศึกษาเกษตรศาสตร์ คณะเกษตรศาสตร์ มหาวิทยาลัยเชียงใหม่ ครั้งที่ 6 12-13 มีนาคม 2552. คณะเกษตรศาสตร์, มหาวิทยาลัยเชียงใหม่, เชียงใหม่.
- ชัชพงษ์ ศรีคำ เยาวลักษณ์ จันทร์บาง และ ณัฐรัตน์ กฤติกามเมช. 2557. การใช้คลื่นความถี่วิทยุเพื่อควบคุมมดฟันดีอยในข้าวสารพันธุ์ขาวดอกมะลิ 105. วารสารเกษตรฯ. 30(3): 253-262.
- ณัคณิน ลือชัย, วิชา ละออดสุด, เยาวลักษณ์ จันทร์บาง และณัฐรัตน์ กฤติกามเมช. 2551. การใช้คลื่นความถี่วิทยุในการควบคุมมีเสื้อข้าวสาร *Coryza cephalonica* (Stainton) และผลต่อคุณภาพของข้าวสารดอกมะลิ 105. วารสารวิทยาศาสตร์เกษตรฯ 39 (3 พิเศษ): 347-350.
- Abdel-Aal, E-SM. and P. A. Hucl. 1999. A rapid method for quantifying total anthocyanins in blue aleurone and purple pericarp wheats. Cereal Chemistry 76: 350-354.
- Bhawamai, S., S.H. Lin, Y.Y. Hou and Y.H. Chen. 2016. Thermal cooking changes the profile of phenolic compounds, but does not attenuate the anti-inflammatory activities of black rice. Food and Nutrition Research, 60(1): 32941.
- Das, A.B., V.V. Goud and C. Das. 2017. Extraction of phenolic compounds and anthocyanin from black and purple rice bran (*Oryza sativa* L.) using ultrasound: A comparative analysis and phytochemical profiling. Industrial Crops and Products 95: 332-341.
- Ducamp-Collin M.N., H. Ramarson, M. Lebrun, G. Self, M. Reynes. 2008. Effect of citric acid and chitosan on maintaining red colouration of litchi fruit pericarp. Postharvest Biology and Technology 49 (2) : 241-246.
- Oki, T., M. Masuda, M. Kobayash, Y. Nishiba, S. Furuta, I. Suda and T. Sato. 2002. Polymeric procyanidins as radical-scavenging components in red-hulled rice. Journal of Agricultural and Food Chemistry 50(26): 7524-7529.
- Pusadee, T., A. Wongtamee, B. Rerkasem, K. M. Olsen and S. Jamjod. 2019. Farmers drive genetic diversity of Thai purple rice (*Oryza sativa* L.) landraces. Economic Botany 73: 76-85.
- Srivastava C. and S. Subramanian. 2016. Storage insect pests and their damage symptoms: an overview. Journal of Grain Storage Research. 78: 53-58.
- Tiwari, B.K., A. Patras, N. Brunton, P.J. Cullen and C.P O'Donnell. 2010. Effect of ultrasound processing on anthocyanins and color of red grape juice. Ultrasonics Sonochemistry 17 (3): 598-604.
- Togola, A., P.A. Seck, I.A. Glitho, A. Diagne, C. Adda, A. Toure and F.E. Nwilene. 2013. Economic losses from insect pest infestation on rice stored on-farm in Benin. Journal of Applied Sciences, 13(2): 278-285.
- Wang, Q., P. Han, M. Zhang, M. Xia, H. Zhu, J. Ma, M. Hou, Z. Tang and W. Ling. 2007. Supplementation of black rice pigment fraction improves antioxidant and anti-inflammatory status in patients with coronary heart disease. Asia Pacific Journal of Clinical Nutrition 16: 295-301.
- Wangspa, W., Y. Chanbang and S. Vearasilp. 2015. Radio frequency heat treatment for controlling rice weevil in rough rice cv. Khao Dawk Mali 105. CMU Journal of Natural Science 14(2): 189-197.
- Yamuangmorn, S., B. Dell and C. Prom-u-thai. 2018a. Effects of cooking on anthocyanin concentration and bioactive antioxidant capacity in glutinous and non-glutinous purple rice. Rice Science 25: 270-278.
- Yamuangmorn, S., B. Dell, B. Rerkasem and C. Prom-U-thai. 2018b. stability of anthocyanin content and antioxidant capacity among local Thai purple rice genotypes in different storage conditions. Chiang Mai Journal of Science 45: 927-936.
- Zhang, Z. Q., X.Q. Pang., X. Xuewu., Z. Ji and Y. Jiang. 2005. Role of peroxidase in anthocyanin degradation in litchi fruit pericarp. Food Chemistry 90: 47-52.

## อิทธิพลของคลื่นความถี่วิทยุต่อการเปลี่ยนแปลงคุณภาพหลังการเก็บเกี่ยวเมล็ดกาแฟอาราบิกา

### Influence of Radio Frequency on Postharvest Quality Change of Arabica Coffee Bean

ณัฐรัตน์ มีนามณี<sup>1,2</sup>, อรุณา เรืองวงศ์<sup>1,3</sup>, อังสนา อัครพิศาล<sup>1,3</sup> และ யาวลักขณ์ จันทร์บาง<sup>1,2,3</sup>  
Nadthawat muenmanee<sup>1,2</sup>, On-Uma Ruangwong<sup>1,3</sup>, Angsana Akarapisan<sup>1,3</sup> and Yaowaluk Chanbang<sup>1,2,3</sup>

#### Abstract

Changes of post harvest quality between untreated and treated Arabica coffee bean with radio frequency 27.12 MHz were studied. By heating the RF power of 300 watts until coffee bean temperatures were 50, 60 and 70 °C for 90 seconds. Then, 400 grams of coffee beans were packed in Teflon cylinder container with a thickness of 0.5 centimeters, diameter 16 centimeters and height 5 centimeters. The container is closed aluminum plate. Then, container is placed in the center of electrode plate of radio frequency equipment. The temperature measurement was used fiber optical probe to measure sample temperature in the middle of the container. The changes in quality of Arabica coffee beans were studied: moisture content, carbohydrate, protein, sugar and caffeine content. It was found that coffee beans were treated with radio frequency at each temperature tended to decrease the moisture content and caffeine content compared to untreated coffee beans. The moisture content and caffeine content were between 9.85-11.25 percent wet basis and 0.97-1.23 percent, respectively. While the carbohydrate, protein and sugar contents of the radio frequency treated coffee bean at all temperatures were similar to those of untreated coffee beans.

**Keywords:** heat treatment, arabica coffee, radio frequency, postharvest quality

#### บทคัดย่อ

การเปลี่ยนแปลงคุณภาพหลังการเก็บเกี่ยวเมล็ดกาแฟอาราบิกาที่ไม่ผ่านและผ่านคลื่นความถี่วิทยุที่ความถี่ 27.12 เมกะเฮิรตซ์ โดยให้ความร้อนพลังงาน 300 วัตต์ จนได้อุณหภูมิเมล็ด 50 60 และ 70 องศาเซลเซียส เป็นระยะเวลา 90 วินาที โดยบรรจุเมล็ดกาแฟ 400 กรัมลงในภาชนะบรรจุชนิดเทฟลอนหนา 0.5 เซนติเมตร รูปทรงกรวยบอกขนาดเส้นผ่าศูนย์กลาง 16 เซนติเมตร และสูง 5 เซนติเมตร ที่ปิดสนิทด้วยแผ่นอลูมิเนียมโดยวางบรรจุภัณฑ์ในตำแหน่งกึ่งกลางของแผ่นอิเล็กทรอนิกส์ โดยใช้ไฟเบอร์ออฟติกในการวัดอุณหภูมิของตัวอย่างในตำแหน่งตรงกลางของบรรจุภัณฑ์หลังจากนั้นจึงทำการศึกษาการเปลี่ยนแปลงคุณภาพของเมล็ดกาแฟอาราบิกา ได้แก่ ปริมาณความชื้น คาร์บอโนไซเดต โปรตีน ปริมาณน้ำตาล และ caffeine พบร้า เมล็ดกาแฟที่ผ่านคลื่นความถี่วิทยุในแต่ละอุณหภูมิมีแนวโน้มของปริมาณความชื้นและสาร咖啡因ที่ลดลง เมื่อเทียบกับเมล็ดกาแฟที่ไม่ผ่านคลื่นความถี่วิทยุ โดยมีค่าปริมาณความชื้นและสาร咖啡因ระหว่าง 9.85-11.25 เปอร์เซ็นต์ ฐานะเปียก และ 0.97-1.23 เปอร์เซ็นต์ ตามลำดับ ในขณะที่ คาร์บอโนไซเดต โปรตีน และปริมาณน้ำตาลของเมล็ดที่ผ่านคลื่นความถี่วิทยุในทุกอุณหภูมิมีค่าใกล้เคียงกับเมล็ดกาแฟที่ไม่ผ่านคลื่นความถี่วิทยุ

**คำสำคัญ:** การใช้ความร้อน การกาแฟอาราบิกา คลื่นความถี่วิทยุ คุณภาพหลังการเก็บเกี่ยว

#### บทนำ

กาแฟเป็นพืชเศรษฐกิจที่มีความสำคัญในภาคเหนือของประเทศไทยโดยเฉพาะกาแฟอาราบิกา และมีแนวโน้มความต้องการใช้เมล็ดกาแฟเพิ่มมากขึ้นในทุกๆ ปี เมล็ดกาแฟที่ดีต้องมีคุณภาพตาม ข้อกำหนด คือ ไม่มีกลิ่นผิดปกติ เช่น กลิ่นเหม็น เปรี้ยว กลิ่นหมักบุด กลิ่นรา หรือกลิ่นแบกลบлом มีสีตรงตามมาตรฐานการผลิตของเมล็ดกาแฟ มีความชื้นไม่เกิน 12.5% (สำนักงานมาตรฐานสินค้าเกษตรและอาหารแห่งชาติ, 2561) และไม่พบว่ามีรอยการเข้าทำลายของด้วงเมล็ดกาแฟ ดังนั้นเพื่อ

<sup>1</sup> ศูนย์นวัตกรรมเทคโนโลยีหลังการเก็บเกี่ยว กระทรวงการอุดมศึกษา วิทยาศาสตร์ วิจัย และนวัตกรรม, กรุงเทพฯ 10400

<sup>1</sup> Postharvest Technology Innovation Center, Ministry of Higher Education, Science, Research and Innovation, Bangkok 10400

<sup>2</sup> ศูนย์วิจัยเทคโนโลยีหลังการเก็บเกี่ยว คณะเกษตรศาสตร์ มหาวิทยาลัยเชียงใหม่ จ. เชียงใหม่ 50200

<sup>2</sup> Postharvest Technology Research Center, Faculty of Agriculture, Chiang Mai University, Chiang Mai 50200

<sup>3</sup> ภาควิชาศีววิทยาและโรคพืช คณะเกษตรศาสตร์ มหาวิทยาลัยเชียงใหม่ เชียงใหม่ 50200

<sup>3</sup> Department of Entomology and Plant Pathology, Faculty of Agriculture, Chiang Mai University, Chiang Mai 50200

รักษาคุณภาพและยืดอายุการเก็บรักษา จึงได้มีการนำเทคโนโลยีการให้ความร้อนโดยวิธีการต่างๆ มาใช้ในการควบคุมคุณภาพลดปัญหาเรื่องโรคและแมลงหลังการเก็บเกี่ยว การใช้คลื่นความถี่วิทยุเป็นการให้ความร้อนวิธีการทางเลือกหนึ่ง ซึ่งเป็นเทคโนโลยีที่มีประสิทธิภาพในการให้ความร้อนได้อย่างสม่ำเสมอ รวดเร็ว และสามารถควบคุมโรคและแมลงหลังการเก็บเกี่ยวได้ (ชัชพงษ์ และคณะ, 2557; Wangspa *et al.*, 2015) อย่างไรก็ตาม ความร้อนที่ได้จากคลื่นความถี่วิทยุนั้นอาจส่งผลต่อการเปลี่ยนแปลงคุณภาพหลังการเก็บเกี่ยวของเมล็ดกาแฟราบบิกาทั้งในด้านกายภาพและองค์ประกอบทางเคมี ซึ่งยังไม่มีข้อมูลผลของความร้อนที่ได้จากคลื่นความถี่วิทยุต่อการเปลี่ยนแปลงคุณภาพเมล็ดกาแฟ ดังนั้น งานวิจัยนี้จึงมีวัตถุประสงค์เพื่อศึกษาอุณหภูมิที่เหมาะสมที่ไม่ส่งผลกระทบต่อการเปลี่ยนแปลงคุณภาพหลังการเก็บเกี่ยวเมล็ดกาแฟราบบิกา ก่อนและหลังการให้ความร้อนด้วยคลื่นความถี่วิทยุ

### วิธีการทดลอง

นำตัวอย่างเมล็ดกาแฟราบบิกาที่ได้จากการผลิตแบบเปียก (wet processing) จากแปลงเดียวกันของเกษตรกรผู้ปลูกกาแฟเผาแบบเต็มไฟ จำกัดด้วยสะเก็ด จังหวัดเชียงใหม่ มาใช้ในการทดลอง ทำการสูญตัวอย่างเมล็ดกาแฟแล้ววัดความชื้นเริ่มต้นก่อนทำการทดลอง นำตัวอย่างเมล็ดกาแฟราบบิกาน้ำหนักรวม 400 กรัม บรรจุลงในภาชนะบรรจุชนิดเทฟล่อนรูปทรงกระบอกหนา 5 มิลลิเมตร ขนาดเส้นผ่าศูนย์กลาง 16 เซนติเมตร สูง 5 เซนติเมตร ที่มีฝาครอบในปิดสนิททั้งด้านบนและด้านล่าง นำตัวอย่างมาผ่านคลื่นความถี่วิทยุที่ความถี่ 27.12 เมกะเฮิรตซ์ โดยให้พลังงาน 300 วัตต์ (Figure 1A) เพื่อให้เมล็ดกาแฟเกิดความร้อนจนได้อุณหภูมิตามกรอบวิธีที่กำหนด โดยให้อุณหภูมิคงที่นาน 90 วินาที ด้วยการใช้เครื่องวัดอุณหภูมิแบบสายไฟเบอร์ออกซิเดติค เพื่อวัดอุณหภูมิภายในบรรจุภัณฑ์ผ่านระบบควบคุมด้วยคอมพิวเตอร์ (Figure 1B) ทำการวัดอุณหภูมิอย่างต่อเนื่อง จนสิ้นสุดการทดลอง โดยแบ่งการทดลองออกเป็น 4 ชุดการทดลอง ได้แก่

ชุดที่ 1 ชุดควบคุม (เมล็ดกาแฟที่ไม่ผ่านคลื่นความถี่วิทยุ)

ชุดที่ 2 ชุดเมล็ดกาแฟที่ผ่านคลื่นความถี่วิทยุจนได้อุณหภูมิ 50 องศาเซลเซียส แล้วให้ความร้อนคงที่ นาน 90 วินาที

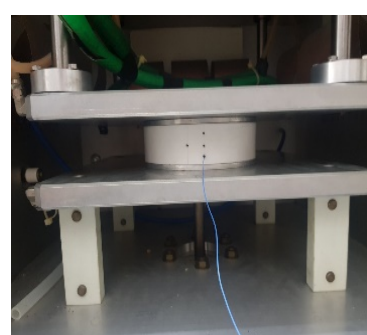
ชุดที่ 3 ชุดเมล็ดกาแฟที่ผ่านคลื่นความถี่วิทยุจนได้อุณหภูมิ 60 องศาเซลเซียส แล้วให้ความร้อนคงที่ นาน 90 วินาที

ชุดที่ 4 ชุดเมล็ดกาแฟที่ผ่านคลื่นความถี่วิทยุจนได้อุณหภูมิ 70 องศาเซลเซียส แล้วให้ความร้อนคงที่ นาน 90 วินาที

ทำการทดลองซ้ำชุดการทดลองละ 3 ชั้้า แล้วนำตัวอย่างเมล็ดกาแฟไปวิเคราะห์คุณภาพ ได้แก่ เปอร์เซ็นต์ความชื้นโดยการวัดความชื้นมาตรฐานเปียกตามวิธีมาตรฐาน (AOAC, 2005) และวิเคราะห์คาร์บอโนไดออกไซด์ โปรตีน น้ำตาล และ咖啡因 ตามวิธีมาตรฐาน (AOAC, 2005)



(A)



(B)

Figure 1 (A) Radio frequency application (B) sample preparation for radio frequency treatment

### ผลการทดลอง

เปอร์เซ็นต์ความชื้นของเมล็ดกาแฟที่ผ่านคลื่นความถี่วิทยุในแต่ละอุณหภูมิมีแนวโน้มลดลง เมื่อเปรียบเทียบกับเมล็ดกาแฟที่ไม่ผ่านคลื่นความถี่วิทยุ สองคลื่นกับ ชูพงษ์และคณะ (2553) พบว่า ความชื้นของมอลท์ลดลงอย่างรวดเร็วภายหลังใช้ความร้อนจากคลื่นความถี่วิทยุที่อุณหภูมิ 70 องศาเซลเซียส สามารถลดความชื้นจาก 44 เปอร์เซ็นต์ฐานเปียกลดลงเหลือ 4.72 เปอร์เซ็นต์ฐานเปียก ภายใน 24 ชั่วโมง ในกระบวนการลดความชื้นของมอลท์ โดยในการทดลองนี้ความชื้นเริ่มต้นของเมล็ดกาแฟเฉลี่ย 11.2 เปอร์เซ็นต์ฐานเปียก เมื่อนำไปผ่านคลื่นความถี่วิทยุจนได้อุณหภูมิ 70 องศาเซลเซียส นาน 90 วินาที พบร้า เมล็ดกาแฟมีความชื้นลดลงอย่างมีนัยสำคัญในทางสถิติเหลือความชื้นประมาณเฉลี่ย 9.85 เปอร์เซ็นต์ฐานเปียก (Table 1)

ความชื้นที่ลดลงของเมล็ดกาแฟ เนื่องจากความร้อนที่ได้จากการลีนความถี่วิทยุนั้นเป็นแบบไดโอลิคทริกโดยมีหลักการการเกิดความร้อนที่แตกต่างจากการให้ความร้อนโดยวิธีปกติโดยจะเกิดความร้อนจากภายในผลิตผล ซึ่งการเกิดความร้อนแบบไดโอลิคทริกพลังงานที่ได้จากการเพิ่มชื้นของอุณหภูมิจะถูกปล่อยผ่านไปยังวัตถุทำให้เกิดการสันสะเทือนของโมเลกุลภายในตัววัตถุจนเกิดความร้อนขึ้น โดยเฉพาะโมเลกุลของน้ำจะเกิดความร้อนจากการสันสะเทือนของโมเลกุลได้อย่างรวดเร็วจึงทำให้เกิดการลดลงของความชื้น (*Birla et al., 2004*) โดยคลื่นความถี่วิทยุนั้นสามารถกระจายความร้อนผ่านวัตถุที่มีความหนาได้ดีกว่าไมโครเวฟจึงทำให้เกิดความร้อน (*Nelson, 1996*) ตัววัตถุที่อยู่ในสถานะแม่เหล็กไฟฟ้าโดยการให้คลื่นแม่เหล็กไฟฟ้าแบบสลับและความร้อนจะเกิดขึ้นเฉพาะส่วนที่ได้รับคลื่นแม่เหล็กไฟฟ้า ซึ่งเรียกว่า ความร้อนที่เกิดขึ้นภายใน (*Internal heating*) (*Nelson and Walker, 1961*) และเกิดการสะสมพลังงาน และทำให้อุณหภูมิในตัววัตถุเพิ่มขึ้นอย่างรวดเร็วจากการสันสะเทือนของโมเลกุลของน้ำภายในผลิตผล (*Cwiklinski and von Hoersten, 1999*) พลังงานความร้อนที่เกิดขึ้นนี้แปรผันตามความถี่ของคลื่นวิทยุ (*Cwiklinski and von Hoersten, 2001*) ทำให้โมเลกุลของน้ำที่เกิดความร้อนระเหยออกจากเมล็ดกาแฟสู่บรรยากาศได้อย่างรวดเร็วส่งผลให้ความชื้นลดลง

นอกจากนี้ ยังพบว่าสารคาเฟอีนของเมล็ดกาแฟที่ได้รับความร้อนจากการให้พลังงานด้วยคลื่นความถี่วิทยุในการทดลองมีแนวโน้มลดลงแต่การลดลงของสารคาเฟอีนไม่แตกต่างกันทางสถิติ สอดคล้องกับผลการทดลองของ *Hećimović et al. (2011)* ได้รายงานไว้ว่า การเปลี่ยนแปลงของสารคาเฟอีนมีปัจจัยจากอุณหภูมิความร้อนและระยะเวลาที่ได้รับความร้อนของเมล็ดกาแฟ จากการทดลองในครั้งนี้ พบว่า เมล็ดกาแฟที่ผ่านคลื่นความถี่วิทยุมีเปอร์เซ็นต์ของคาเฟอีนอยู่ระหว่าง 0.97-1.23 เปอร์เซ็นต์ ในขณะที่ปริมาณ คาโรบีไบเดรต โปรตีน และน้ำตาลของเมล็ดกาแฟที่ผ่านคลื่นความถี่วิทยุมีค่าใกล้เคียงกับเมล็ดกาแฟที่ไม่ผ่านคลื่นความถี่วิทยุในทุกอุณหภูมิ โดยมีค่าเฉลี่ยเท่ากับ  $51.38 \pm 0.52$ ,  $11.33 \pm 0.57$  และ  $9.52 \pm 0.49$  เปอร์เซ็นต์ ตามลำดับ (Table 1)

Table 1 Effects of radio frequency treatment on changing of coffee bean chemical compositions

Treatment	Moisture Content (%wb)*	Carbohydrate (%)*	Protein (%)*	Sugar content (%)*	Caffeine (%)*
Control	$11.25 \pm 0.02$ a	$51.47 \pm 0.21$ a	$10.93 \pm 0.50$ a	$9.08 \pm 0.04$ a	$1.23 \pm 0.09$ a
T50-90s	$10.29 \pm 0.05$ b	$50.85 \pm 0.45$ a	$11.49 \pm 0.43$ a	$9.68 \pm 0.42$ a	$1.22 \pm 0.06$ a
T60-90s	$10.26 \pm 0.04$ b	$51.52 \pm 0.42$ a	$11.66 \pm 0.47$ a	$9.44 \pm 0.40$ a	$1.17 \pm 0.05$ a
T70-90s	$9.85 \pm 0.04$ c	$51.71 \pm 0.41$ a	$11.51 \pm 0.49$ a	$9.88 \pm 0.48$ a	$0.97$ a
Mean	$10.41 \pm 0.53$	$51.38 \pm 0.52$	$11.33 \pm 0.57$	$9.52 \pm 0.49$	$1.19 \pm 0.06$

\* Mean values with standard deviations

Means within the same column followed by the same letter are not significantly different at the 0.05

## สรุป

ความร้อนที่เกิดขึ้นจากการให้คลื่นความถี่วิทยุกับเมล็ดกาแฟจะลดลงจาก  $11.25 \pm 0.02$  เหลือ  $9.85 \pm 0.04$  เปอร์เซ็นต์ฐานน้ำ ในการลดลงที่ อุณหภูมิ 70 องศาเซลเซียส นาน 90 วินาที ทำให้ความชื้นเมล็ดกาแฟลดลงจาก  $11.25 \pm 0.02$  เหลือ  $10.29 \pm 0.05$  เปอร์เซ็นต์ฐานน้ำ โดยทุกอุณหภูมิไม่ส่งผลต่อการเปลี่ยนแปลงองค์ประกอบทางเคมีของเมล็ดกาแฟ เช่น คาโรบีไบเดรต โปรตีน น้ำตาล และกาแฟอีน ดังนั้น การใช้คลื่นความถี่วิทยุที่เหมาะสมส่งผลต่อการเปลี่ยนแปลงคุณภาพหลังการเก็บเกี่ยวเมล็ดกาแฟอย่างที่สุด คือ ที่อุณหภูมิ 50-60 องศาเซลเซียส นาน 90 วินาที

## คำขอบคุณ

ขอขอบคุณศูนย์นวัตกรรมเทคโนโลยีและนวัตกรรมการเก็บเกี่ยว กระทรวงการอุดมศึกษา วิทยาศาสตร์ วิจัย และนวัตกรรมที่สนับสนุนทุนในการทำวิจัย ขอบคุณศูนย์วิจัยเทคโนโลยีและนวัตกรรมการเก็บเกี่ยว คณะเกษตรศาสตร์ มหาวิทยาลัยเชียงใหม่ ที่สนับสนุนวัสดุ อุปกรณ์ เครื่องมือวิทยาศาสตร์ และสถานที่ในการทำวิจัย

### เอกสารอ้างอิง

- สำนักงานมาตรฐานสินค้าเกษตรและอาหารแห่งชาติ. 2561. มาตรฐานสินค้าเกษตร มาตรฐาน 5701-2561 (เมล็ดกาแฟ arabica). [ออนไลน์]. แหล่งที่มา: [https://www.acfs.go.th/standard/download/Arabica\\_coffee\\_bean\\_2561.pdf](https://www.acfs.go.th/standard/download/Arabica_coffee_bean_2561.pdf). (1 เมษายน 2564).
- ชูพงศ์ เมฆพัฒน์, ณัฐศักดิ์ กฤติกาเมฆ, Karl Eichhorn Dieter von Hoersten และสุชาดา เรียร์คลีป. 2553. การประยุกต์การอบแห้งมอลท์ด้วยความร้อนจากคลื่นความถี่วิทยุร่วมกับเครื่องอบร้อน. วารสารเกษตร 26(4): 71-78.
- ชูพงษ์ ศรีคำ, เยาวลักษณ์ จันทร์บาง, ณัฐศักดิ์ กฤติกาเมฆ. 2557. การใช้คลื่นความถี่วิทยุเพื่อควบคุมมดพันелеี้ยในข้าวสารพันธุ์ข้าวดอกมะลิ 105 . วารสารเกษตร 30(3): 253-262.
- AOAC. 2005. Official Methods of Analysis of AOAC International. 18th ed. AOAC International. Gaithersburg, MD.
- Birla, S. L., S. Wang, J. Tang and G. Hallman. 2004. Improving heating uniformity of fresh fruit in radio frequency treatments for pest control. Postharvest Biology Technology 33: 205-217.
- Cwiklinski, M. and D. von Hoersten. 1999. Thermal treatment of seeds using microwave or radio-frequency energy for eradicating seedborne fungi. Paper No. 997010. In: ASAE/CSAE/CSAE-SCGR-Annual Inter. Meeting, July 18-21. 1999. Toronto, Ontario, Canada. pp. 18-21.
- Cwiklinski, M. and D. von Hoersten. 2001. Effect of exposure to radio-frequency electric fields on *Fusarium graminearum* in wheat seed. Paper. No. 016171. In: ASAE Annual Meeting. July 29 – August 1, 2001. Sacramento. CA.
- Hećimović, I., A. Belščak-Cvitanović, D. Horžić and D. Komes. 2011. Comparative study of polyphenols and caffeine in different coffee varieties affected by the degree of roasting. Food Chemistry 129(3): 991-1000.
- Nelson, S. O. 1996. Review and assessment of radio - frequency and microwave energy for stored-grain insect control. Transaction of the ASAE 39: 1475-1484.
- Nelson ,S. O. and R.E. Walker. 1961. Effect of radio frequency electrical seed treatment. Agricultural Engineering 42(12): 688-691.
- Wangspa, W., Y. Chanbang and S. Vearasilp. 2015. Radio frequency heat treatment for controlling rice weevil in rough rice cv. Khao Dawk Mali 105. Chiang Mai University Journal of Natural Sciences 14(2): 189-197.

**ผลของอุณหภูมิและบรรจุภัณฑ์ต่อคุณภาพและอายุการเก็บรักษาสาหร่ายพวงอุ่น**  
**Effects of Temperature and Packaging on the Quality and Storage Life of Sea Grapes**

นิภาพร ธรรมโขตดี<sup>1</sup> กัลยา ศรีพงษ์<sup>1</sup> อภิรดี อุทัยรัตนกิจ<sup>1,2</sup> และ ป่องเพ็ญ จิตอาเรียรัตน์<sup>1,2 \*</sup>  
 Nipaporn Thammachote<sup>1</sup>, Kanlaya Sripong<sup>1</sup>, Apiradee Uthairatanakij<sup>1,2</sup> and Pongphen Jitareerat<sup>1,2 \*</sup>

**Abstract**

The aim of this research was to study the effects of storage temperature and packaging type on shelf life and quality of sea grapes. The sea grapes stored at room temperature ( $28\pm2$  °C) and 25 °C had shelf life of 9 days, while storing at lower temperature; namely, 20, 12 and 4 °C had shortened shelf lives to 5, 1 and 1 day, respectively. The effect of packaging type on shelf life of sea grapes was investigated during storage at 25°C. The locked-clamshell box and polypropylene (PP) tray covered with PP film could extend the shelf life for 9 days, while sea grapes packed in staples-sealed clamshell box and PP tray wrapped with polyvinyl chloride (PVC) lasted for only 6 days. Changes of physico-chemical quality were also investigated. Sea grapes stored in PP tray wrapped with PP film had the lowest percentage of fresh weight loss (0-3.51%) as well as, respiration rate (31.97-99.26 mg CO<sub>2</sub>/kg.hr), and salinity (4.67-5.17%) compared to ones in control treatment. For instance, fresh weight loss of sea grapes from all treatments gradually increased upon storage as well as the presence of yellowish green color. Vitamin C and phenolic compound contents, on the other hand, declined by storage time and were not significantly different among treatments.

**Keywords:** *Caulerpa lentillifera* J. Agardh, packaging, phenolic compounds

**บทคัดย่อ**

งานวิจัยนี้มีวัตถุประสงค์เพื่อศึกษาผลของอุณหภูมิและบรรจุภัณฑ์ต่อคุณภาพและอายุการเก็บรักษาของสาหร่ายพวงอุ่น พบว่า สาหร่ายพวงอุ่นที่เก็บไว้ที่อุณหภูมิห้อง ( $28\pm2$  °C) และที่ 25 °C มีอายุการเก็บรักษานาน 9 วัน และการเก็บรักษาที่อุณหภูมิต่ำมีผลทำให้อายุการเก็บรักษาสั้นลง โดยผลิตผลที่อุณหภูมิ 20, 13 และ 4 °C มีอายุการเก็บรักษาเพียง 5, 1 และ 1 วัน ตามลำดับ การศึกษานิดของบรรจุภัณฑ์ที่มีผลต่ออายุการเก็บรักษาที่อุณหภูมิ 25 °C พบว่า สาหร่ายที่บรรจุในกล่อง locked clamshell, ถาดพลาสติก Polypropylene (PP) ร่วมกับการหุ้มฟิล์ม polypropylene (PP) มีอายุการเก็บรักษานาน 9 วัน ในขณะที่การบรรจุในถาดพลาสติก PP ร่วมกับการหุ้มฟิล์ม Polyvinyl chloride (PVC) และในกล่อง clamshell และปิดผนึกด้วยลวดเย็บกระดาษ (ஆட்குவப்பு) มีอายุการเก็บรักษาเพียง 6 วัน เมื่อพิจารณาการเปลี่ยนแปลงทางกายภาพและทางเคมี พบว่า สาหร่ายพวงอุ่นที่บรรจุในถาดพลาสติก polypropylene (PP) ร่วมกับการหุ้มฟิล์ม PP มีเปอร์เซ็นต์การสูญเสียน้ำหนักลดน้อยที่สุด (0-3.51%) มีอัตราการหายใจต่ำสุด (31.97-99.26 mg CO<sub>2</sub>/kg.hr) และ มีการเปลี่ยนแปลงค่าความเค็มน้อยที่สุด (4.67-5.17%) เมื่อเทียบกับสาหร่ายพวงอุ่นในஆட்குவப்பு อย่างไรก็ตาม สาหร่ายทุกชุดการทดลองมีการสูญเสียน้ำหนักลดมากขึ้น และมีสีเป็นเขียวอมเหลืองมากขึ้นเมื่อเก็บรักษานานขึ้น ในขณะเดียวกันวิตามินซีและสารประกอบฟีโนอลิกทั้งหมดมีค่าลดลงในระหว่างการเก็บรักษาและไม่มีความแตกต่างมีนัยสำคัญทางสถิติ

**คำสำคัญ:** *Caulerpa lentillifera* J. Agardh บรรจุภัณฑ์ สารประกอบฟีโนอลิก

**คำนำ**

สาหร่ายพวงอุ่น (*Caulerpa lentillifera* J. Agardh) เป็นสิ่งมีชีวิตเซลล์เดียวที่สามารถสังเคราะห์แสงได้ มีลักษณะเป็นเม็ดกลมเล็ก สีเขียว รวมกันเป็นช่อคล้ายกับพวงอุ่น หรือไข่ปลาคาเวียร์ แพร่กระจายอยู่ในเขตวัฒนธรรม (*Guo et al., 2015*) ในประเทศไทยพบบริเวณอ่าวไทย ทะเลอันดามัน ชายฝั่งทะเลตะวันตก และตะวันออก เจริญเติบโตได้ดีในบริเวณที่

<sup>1</sup> คณะทรัพยากรชีวภาพและเทคโนโลยี มหาวิทยาลัยเทคโนโลยีพระจอมเกล้าธนบุรี 49 ช.เทียนทะเล 25 ถ. บางขุนเทียน-ชาญทะล แขวงท่าข้าม กรุงเทพฯ 10150

<sup>1</sup> School of Bioresource and Technology, King Mongkut's University of Technology Thoburi, 49 Thian Thale 25, Bangkhun-thien rd., Thakam, Bangkok, 10150 Thailand

<sup>2</sup> ศูนย์นวัตกรรมเทคโนโลยีหลังการเก็บเกี่ยว กระทรวงการอุดมศึกษา วิทยาศาสตร์ วิจัยและนวัตกรรม กรุงเทพมหานคร 10400

<sup>2</sup> Postharvest Technology Innovation Center, Ministry of Higher Education, Science, Research and Innovation, Bangkok 10400, Thailand

มีแสงแดดส่องถึง สาหร่ายพวงอุ่นอุดมไปด้วยแร่ธาตุและวิตามินที่เป็นประโยชน์ต่อร่างกาย และยังสามารถนำไปใช้ในการบ้าน้ำ และเป็นอาหารสัตว์น้ำ (Xiaolin et al., 2018) ปัจจุบันสาหร่ายพวงอุ่นกำลังได้รับความสนใจจากผู้บริโภคอาหารเพื่อสุขภาพ จึงเป็นเหตุให้เกษตรกรจำนวนมากสนใจเพาะเลี้ยงและแปรรูป โดยปกติสาหร่ายพวงอุ่นจะมีอายุการเก็บรักษาสั้นและควรบริโภคภายใน 3-7 วัน ปัจจุบันการจำหน่ายสาหร่ายพวงอุ่นส่วนใหญ่ทำโดยบรรจุในกล่องพลาสติก Polyethylene (PE) ชนิด Clamshell ที่ปิดผนึกด้วยลวดเย็บกระดาษหรือในถุงพลาสติกชนิด Polypropylene (PP) และวางจำหน่ายที่อุณหภูมิห้อง ซึ่งทำให้มีอายุการวางจำหน่าย 5-7 วัน ทั้งนี้ยังไม่มีการศึกษาอุณหภูมิและชนิดของบรรจุภัณฑ์ที่เหมาะสมในการเก็บรักษา ดังนั้นงานวิจัยนี้ จึงมีวัตถุประสงค์เพื่อศึกษาอุณหภูมิและชนิดของบรรจุภัณฑ์ที่สามารถช่วยยืดอายุการเก็บรักษาของสาหร่ายพวงอุ่นให้นานขึ้นโดยยังคงสรีรวิทยาและปริมาณสารพุกชนิดไม่ได้เสื่อมมากที่สุด

### อุปกรณ์และวิธีการ

ตัวอย่างสาหร่ายพวงอุ่นที่มีอายุ 2 สัปดาห์ มีสาย (branch) ยาวประมาณ 8-13 เซนติเมตร สีเขียวใส ทัลลัส (thallus) เรียงตัวกันหนาแน่น ไม่มีร่องรอยการเข้าทำลายจากปลาหรือหอย การศึกษาอุณหภูมิที่เหมาะสมในการเก็บรักษา ทำโดยบรรจุสาหร่ายพวงอุ่นในถุง PE ขนาด  $15 \times 23$  ซม. ถุงละ  $50 \pm 1$  กรัม และเก็บรักษาที่อุณหภูมิ 25, 20, 13 และ  $4^{\circ}\text{C}$  แต่ละที่รีตเม็นต์ประกอบด้วย 3 ชั้น ทำการสูญตัวอย่างทุก ๆ 3 วัน เพื่อประเมินคะแนนการยอมรับโดยรวมของผู้บริโภค คะแนน 5 = รวมลักษณะ เต่ง มีสีเขียวเสมอ กันทั้งสาย, 4 = รวมลักษณะ สีเขียวอ่อน เต่ง สายมีสีเขียวเข้ม 3 = รวมลักษณะ เริ่มลด ปลายสายมีสีเขียวเข้ม 2 = รวมลักษณะ ลดมากกว่า 25 % และ 1 = รวมลักษณะ ลดมากกว่า 75 % โดยกำหนดให้สาหร่ายพวงอุ่นที่หมดอายุการเก็บรักษา เมื่อคุณภาพของสาหร่ายพวงอุ่น ทำโดยบรรจุสาหร่ายพวงอุ่นจำนวน  $50 \pm 1$  กรัม ในบรรจุภัณฑ์ ได้แก่ กล่อง Clamshell box ที่ผนึกด้วยลวดเย็บกระดาษ (ชุดควบคุม) ( $10 \times 15.5 \times 4$  ลบ.ซม.) กล่อง Locked clamshell ( $11 \times 16 \times 4$  ลบ.ซม.) ถ้า PP ( $6 \times 10 \times 5$  ลบ.ซม.) ร่วมกับการหุ้มฟิล์ม PP และถ้า PP ร่วมกับการหุ้มฟิล์ม PVC แล้วเก็บรักษาที่  $25 \pm 2^{\circ}\text{C}$  นาน 9 วัน ซึ่งเก็บตัวอย่างทุก 3 วัน เพื่อวิเคราะห์ การสูญเสียน้ำหนักสด อัตราการหายใจ ค่าความเค็ม ค่าสี ปริมาณวิตามินซี ปริมาณฟีนอลิก ทั้งหมด และอายุการเก็บรักษา (วัน) แต่ละที่รีตเม็นต์ประกอบด้วย 4 ชั้น วางแผนการทดลองแบบสุ่มสมบูรณ์ (Completely Randomized Design; CRD)

### ผลการทดลอง

การศึกษาผลอุณหภูมิที่เหมาะสมในการเก็บรักษาสาหร่ายพวงอุ่น พบว่าที่อุณหภูมิห้อง ( $28 \pm 2^{\circ}\text{C}$ ) และที่  $25^{\circ}\text{C}$  เหมาะสำหรับเก็บรักษาสาหร่ายพวงอุ่นมากที่สุด โดยสาหร่ายมีอายุการเก็บรักษานาน 9 วัน ส่วนที่  $20^{\circ}\text{C}$  มีอายุ 5 วัน และที่  $13, 4^{\circ}\text{C}$  มีอายุเพียง 1 วัน (Figure 1) การศึกษาผลของชนิดของบรรจุภัณฑ์ที่มีผลต่ออายุการเก็บรักษาและคุณภาพของสาหร่ายพวงอุ่น พบว่า สาหร่ายพวงอุ่นที่เก็บรักษาในกล่อง Locked clamshell และถ้าพลาสติก PP ร่วมกับการหุ้มฟิล์ม PP มีอัตราการหายใจน้อยที่สุด ซึ่งสอดคล้องกับเเปอร์เซ็นต์การสูญเสียน้ำหนักสด โดยเฉพาะอย่างยิ่งสาหร่ายพวงอุ่นที่เก็บรักษาในกล่อง Locked clamshell มีเเปอร์เซ็นต์การสูญเสียน้ำหนักสดน้อยที่สุด เมื่อพิจารณาค่าความเค็ม พบว่า สาหร่ายพวงอุ่นที่เก็บรักษาภายในกล่อง Locked clamshell และถ้าพลาสติก PP ร่วมกับการหุ้มฟิล์ม PP มีการเปลี่ยนแปลงของค่าความเค็มน้อยที่สุด เช่นกัน ในส่วนของการเปลี่ยนแปลงค่าสีของสาหร่ายพวงอุ่น พบว่า สาหร่ายพวงอุ่นที่เก็บรักษาภายในกล่อง Locked clamshell มีค่าความสว่าง ( $L^*$ ) มากที่สุด นั่นแสดงว่าสาหร่ายพวงอุ่นมีสีเขียวอมเหลืองเพิ่มมากขึ้น ในขณะที่ชุดควบคุมที่มีค่า  $L^*$  ต่ำลง และแสดงอาการสด (Figure 2) นอกจากนี้พบว่าการเก็บรักษาสาหร่ายพวงอุ่นในบรรจุภัณฑ์ชนิดต่างๆ ไม่มีผลต่อปริมาณวิตามินซี และปริมาณฟีนอลิกทั้งหมดอย่างมีนัยสำคัญทางสถิติ แต่ปริมาณวิตามินซี และปริมาณฟีนอลิกทั้งหมดมีแนวโน้มลดลงตามระยะเวลาในการเก็บรักษา (ไม่ได้แสดงผลการทดลอง) เมื่อพิจารณาอายุการเก็บรักษา พบว่าสาหร่ายพวงอุ่นที่เก็บใน Locked clamshell และในถุง PP ร่วมกับการหุ้มฟิล์ม PP มีอายุการเก็บรักษา 9 วัน ในขณะที่การเก็บในถุง PP ร่วมกับการหุ้มฟิล์ม PVC และในกล่อง Clamshell ที่ผนึกด้วยลวดเย็บกระดาษ (ชุดควบคุม) มีอายุการเก็บรักษาเพียง 6 วัน

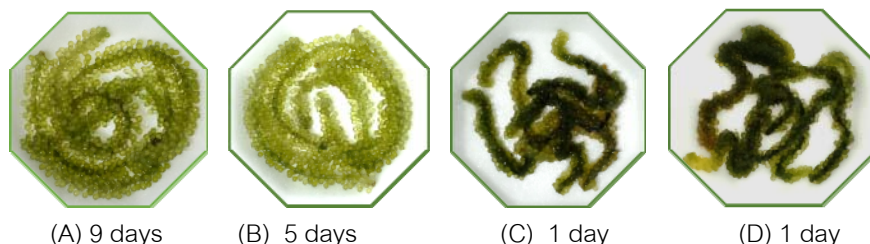


Figure 1 Appearance of sea grapes and their shelf lives obtained from different storage temperature; 25 °C (A), 20 °C (B), 13 °C (C), and 4 °C (D).

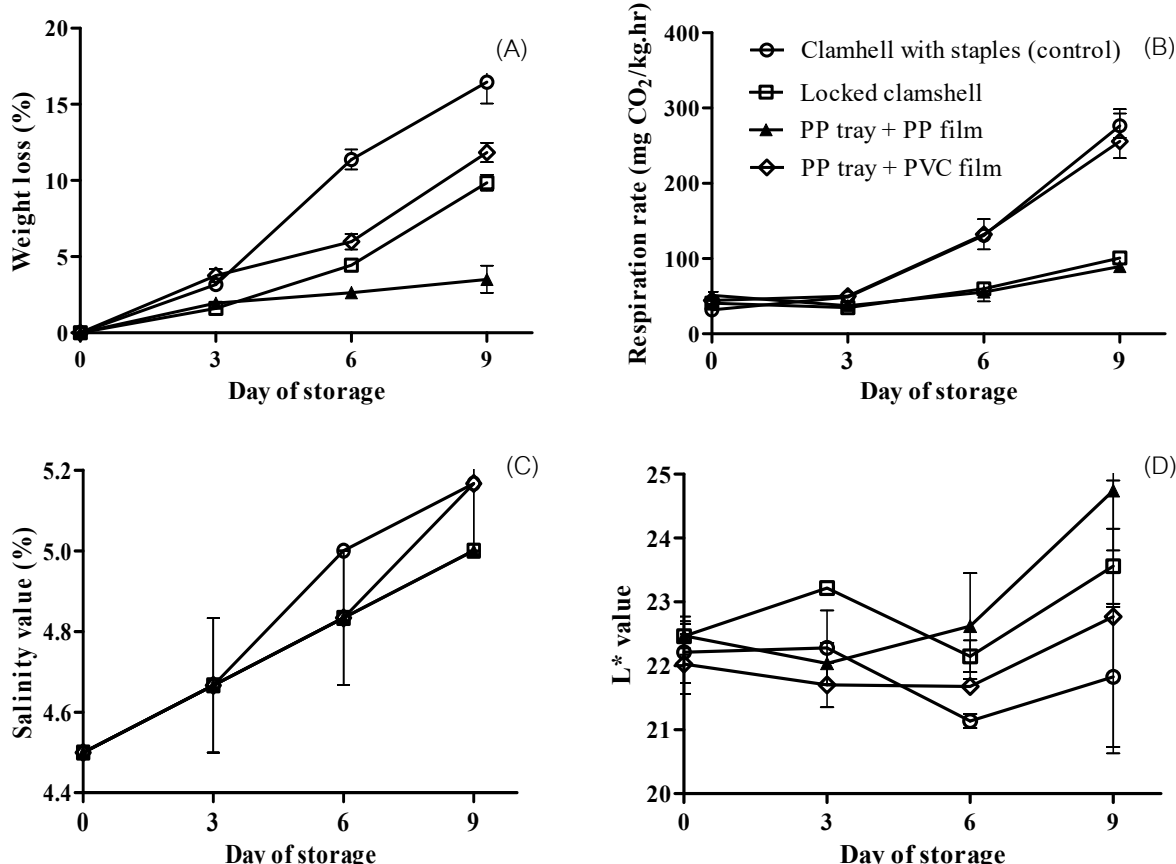


Figure 2 Weight loss (A), respiration rate (B), salinity value (C) and L\* value (D) of sea grapes packed in different packaging treatment; i.e., clamshell with staples (control), locked clamshell, PP tray wrapped with PP film, and PP tray wrapped with PVC film and stored at 25°C for 9 days.

### วิจารณ์ผลการทดลอง

การเก็บสาหร่ายพวงอุ่นที่อุณหภูมิ 25 °C สามารถยืดอายุการเก็บรักษาได้ยาวนาน 9 วัน และสาหร่ายที่เก็บที่อุณหภูมิ 13, 4 °C มีอายุเพียง 1 วัน เนื่องจากสาหร่ายพวงอุ่นเจริญเติบโตได้ในพื้นที่เขตกรีนร้อนถึงร้อน มีผิวสีอบบาง นุ่ม չ้า น้ำ อ่อนแอได้ง่าย โดยสภาวะที่ไม่เหมาะสมต่อการเจริญเติบโตของสาหร่ายพวงอุ่น ได้แก่ อุณหภูมิต่ำ อุณหภูมิสูง สภาพที่มีแรงดันออกซิเจนต่ำ น้ำจืด หรือสารเคมีที่ใช้ในการฆ่าเชื้ออุลิโนทรีซ มีรายงานว่าการเก็บรักษาสาหร่ายพวงอุ่นที่อุณหภูมิต่ำกว่า 20 °C ทำให้ผังเซลล์เสียหายไม่สามารถควบคุมการผ่านเข้าออกของน้ำได้ (Xiaolin et al., 2018) และพบว่าชนิดของบรรจุภัณฑ์มีผลต่อคุณภาพและอายุการเก็บรักษาสาหร่ายพวงอุ่น โดยสาหร่ายพวงอุ่นที่เก็บในกล่อง Locked clamshell และถาด PP ร่วมกับฟิล์ม PP มีอายุการเก็บรักษานานที่สุดคือ 9 วัน ส่วนการเก็บในถาด PP ร่วมกับฟิล์ม PVC และกล่อง Clamshell box ที่ผนึกด้วยลวดเย็บกระดาษ (ชุดควบคุม) มีอายุการเก็บรักษาเพียง 6 วัน เนื่องจากฟิล์มชนิด PP มีคุณสมบัติในการยอมให้ความชื้น ไอน้ำ ถ่ายเทออกไปได้ดี และยอมให้เกิดการแลกเปลี่ยนแก๊สได้บ้างส่วน (gas permeable) จึงส่งผลให้ภายในกล่องมีอากาศซึ่งผ่านเข้าออกได้น้อย ทำให้สาหร่ายพวงอุ่นมีการหายใจลดลง ในขณะที่การใช้ฟิล์ม PVC ทำให้

สาหร่ายพวงองุ่นมีอัตราการหายใจสูง เนื่องจากฟิล์ม PVC มีคุณสมบัติคอมให้โคน้ำ และก้าซผ่านได้ดีมาก (American Chemistry Council, 2015; ธนาวดี, 2546) จึงส่งผลให้ก้าซออกซิเจนจากภายในออกกล่องสามารถผ่านเข้ามาภายในบรรจุภัณฑ์ได้มาก ทำให้สาหร่ายพวงองุ่นมีการหายใจเพิ่มขึ้น ในส่วนของ Clamshell box ที่ผนึกด้วยลวดเย็บกระดาษ (ชุดควบคุม) พบว่า มีอัตราการหายใจสูงที่สุด เนื่องมาจากกล่องมีช่องว่างรอยต่อระหว่างฝา ทำให้ออกซิเจนเข้าไปภายในกล่องได้มากกว่ากล่อง Locked clamshell จึงส่งผลให้เกิดอัตราการหายใจสูง ด้วยเหตุนี้จึงส่งผลให้สาหร่ายพวงองุ่นที่เก็บรักษาในถุงพลาสติก PP ร่วมกับการหุ้มฟิล์ม PP และกล่อง Locked clamshell มีอายุการเก็บรักษาที่นานกว่าทุกทรีตเม้นต์ โดยมีอัตราการหายใจ และ เปอร์เซ็นต์การสูญเสียน้ำหนักลดต่ำเมื่อเทียบกับชุดควบคุม และพบว่า บรรจุภัณฑ์ไม่มีผลต่อการเปลี่ยนแปลงปริมาณสารต้านอนุมูลอิสระ (วิตามินซีและปริมาณฟีโนลิกทั้งหมด) เนื่องจากสารต้านอนุมูลอิสระทั้ง 2 ชนิดมีการสลายตัวหลังการเก็บเกี่ยวผลผลิต ทั้งนี้เพราะวิตามินซีถูกใช้เป็นสารตั้งต้นในการบรรจุภัย แต่สารฟีโนลิกมีฤทธิ์ในการชะลอและป้องกันระหว่างกระบวนการหายใจมักเกิดความร้อนขึ้นภายในบรรจุภัณฑ์ ซึ่งวิตามินซีและสารฟีโนลิกจะสลายตัวตามอุณหภูมิที่สูงขึ้น หรือ ตามการเกิดปฏิกิริยาออกซิเดชัน นอกจากนี้สารต้านอนุมูลอิสระมีคุณสมบัติในการตักจับ ดูดซับ หรือลดปริมาณของอนุมูลอิสระที่พืชผลิตขึ้น ด้วยเหตุนี้จึงอาจส่งผลต่อการลดปริมาณสารต้านอนุมูลอิสระ (Murcia et al., 2009; Jirumand and Srihanam, 2011) สอดคล้องกับงานวิจัยของ Tuong et al. (2016) ที่รายงานว่า การเก็บรักษาสาหร่ายพวงองุ่นในพลาสติกชนิด PP สามารถช่วยยืดอายุการเก็บรักษาได้นานถึง 10 วัน แต่การเก็บรักษาในพลาสติก PVC มีอายุการเก็บรักษาเพียง 2 วัน แต่เมื่อเปรียบเทียบการสูญเสียน้ำหนักลดลงมากกว่าพวงองุ่น และจำนวนเชื้อจุลทรีลดลง พบว่า สาหร่ายพวงองุ่นลดที่เก็บรักษาด้วยบรรจุภัณฑ์ชนิด Polyamide (PA) ให้ผลลัพธ์ดีกว่า PP

### สรุปผลการทดลอง

อุณหภูมิที่เหมาะสมในการเก็บรักษาสาหร่ายพวงองุ่นคือ 25 °C และชนิดของบรรจุภัณฑ์ที่เหมาะสมสมต่อการเก็บรักษาคือ กล่อง Locked clamshell และถุง PP ร่วมกับการหุ้มฟิล์ม PP โดยสามารถยืดอายุการเก็บรักษาได้นาน 9 วัน ส่วนการเก็บในถุง PP ร่วมกับการหุ้มฟิล์ม PVC และกล่อง Clamshell box ที่ผนึกด้วยลวดเย็บกระดาษ (ชุดควบคุม) มีอายุการเก็บรักษาเพียง 6 วันโดยการบรรจุสาหร่ายพวงองุ่นในกล่อง Locked clamshell และถุง PP ร่วมกับการหุ้มฟิล์ม PP สามารถชะลออัตราการหายใจ การสูญเสียน้ำหนักลดได้ รวมทั้งสาหร่ายมีค่าความเค็มต่ำสุดเมื่อเปรียบเทียบกับชุดควบคุมและทรีตเม้นท์อื่นๆ ในขณะที่พบว่าปริมาณวิตามินซี และสารปริมาณฟีโนลิกทั้งหมดลดลงตามอายุการเก็บรักษาในบรรจุภัณฑ์ทุกชนิดที่ทำการทดสอบ

### คำขอบคุณ

ขอขอบคุณ UGSAS, Gifu University, Japan ที่อนุเคราะห์เครื่องมือและอุปกรณ์วิทยาศาสตร์ในการทำงานวิจัยครั้งนี้

### เอกสารอ้างอิง

- ธนาวดี ลี้จากภัย. 2546. PVC: พลาสติกที่มีการใช้งานหลากหลาย. วารสารเทคโนโลยีวัสดุ. หน้า 71-85.
- American Chemistry Council. 2015. Resins and Types of Packaging. [Online]. Available source: <https://www.plasticpackagingfacts.org>. (22 March 2020).
- Chen, X., Y. Sun, H. Liu, S. Liu, Y. Qin and P. Li. 2018. Advances in cultivation, wastewater treatment application, bioactive components of *Caulerpa lentillifera* and their biotechnological applications. Peer Journal 2: 1-15.
- Guo, H., J. Yao, Z. Sun and D. Duan. 2015. Effect of temperature, irradiance on the growth of the green alga *Caulerpa lentillifera* (Bryopsidophyceae, Chlorophyta). Journal of Applied Phycology 27: 879-885.
- Jirumand, J. and P. Srihanam. 2011. Oxidants and Antioxidants: Sources and Mechanism. Acad. Kalasin Rajabhat University 1: 59-70.
- Murcia, M.A., A.M. Jiménez and M. Martínez-Tomé. 2009. Vegetables antioxidant losses during industrial processing and refrigerated storage. Food Research International 42(8): 1046-1052.
- Tuong, L.T., N.T. M. Trang, V. N. Boi and N. H. Dai. 2016. Effect of packaging to quality and shelf-life of fresh sea grapes (*Caulerpa lentillifera* J. agardh, 1837). Journal of Fisheries science and Technology 3: 69-76.

**การศึกษาความเป็นไปได้ของการพัฒนาผลิตภัณฑ์กล้วยหอมทองสุกไอล์ร่าดับในบรรจุภัณฑ์ค้าปลีก  
ตามความต้องการของสหกรณ์การเกษตรท่ายาง จ.เพชรบุรี**

**Feasibility Study of the Product Development of In-sequence Ripening of 'Hom Thong' Banana Fruits in a Retail Packaging, According to the Needs of Tha Yang Agricultural Cooperative, Phetchaburi Province**

ธิติมา วงศ์ธี<sup>1</sup> พิรญาณ์ นิล mongkol<sup>1</sup> พฤกษ์ ชูสังข์<sup>2</sup> จุฑามาศ พร้อมบุญ<sup>2</sup> และเฉลิมชัย วงศ์อารี<sup>2,3</sup>  
Thitima Wongsheree<sup>1</sup>, Phiraya Nilmongkol<sup>1</sup>, Preuk Choosang<sup>2</sup>, Juthamard Promboon<sup>2</sup> and Chalermchai Wongs-Aree<sup>2,3</sup>

### Abstract

The quality of 'Hom Thong' banana produced from Tha Yang Agricultural Cooperative, Phetchaburi province, is accepted by domestic and international markets. The objective of this study, based on the needs of the cooperative, was to develop a product of ripe bananas in a new type of retail packaging with 3 gradient ripe fruits/pack. Mature green bananas were dipped in 50°C water for 5 and 10 min and then cooled by dipping in tap water at 25°C for 10 min (heated fruit). Fruits dipped 25°C water for 10 min were used as control (non-treated fruit). All bananas were dipped in 500 ppm ethephon for 2 min and then incubated at 25°C, 70% RH for 2 days. Banana in each batch was packed in a perforated polyethylene plastic bag (3 fruits/pack). All banana packs were incubated at 25°C. After 4 days of storage, the yellow value (b\*) of the peel from heated fruit was lower than non-treated fruit, whereas the pulp firmness of heated fruit was higher. The content of soluble solids was lower significantly different ( $p < 0.01$ ) between treatments. This result indicates that pre-heating of 'Hom Thong' bananas before ripening induction can delay ripening levels than those in non-treated. However, trials are still needed to be confirmed with bananas produced in different areas and seasons.

**Keywords:** Hom Thong banana, heat treatment, gradient ripeness, retail packaging

### บทคัดย่อ

กล้วยหอมทองผลิตโดยสหกรณ์การเกษตรท่ายาง จ. เพชรบุรี เป็นผลิตผลที่มีคุณภาพเป็นที่ยอมรับของตลาดทั่วโลก และต่างประเทศ วัตถุประสงค์ของการศึกษานี้เป็นไปตามความต้องการของสหกรณ์ฯ เพื่อพัฒนาผลิตภัณฑ์กล้วยหอมทองสุก ในบรรจุภัณฑ์ค้าปลีกชูปูเบนใหม่ โดยมีกล้วยสุกไอล์ร่าดับความสุก 3 ผลต่อบรรจุภัณฑ์ โดยนำกล้วยหอมทองระยำแก่เขียวมากแบ่งเป็น 3 ชุดกราดลงคือ จุ่มน้ำร้อนอุณหภูมิ 50°C. นาน 5 และ 10 นาที แล้วนำกล้วยกลับลงในน้ำเย็น 25°C นาน 10 นาที โดยผลกล้วยที่ไม่แข่นน้ำร้อนเป็นชุดควบคุม นำกล้วยกลับลงทั้งหมดในน้ำเย็น 500 ppm นาน 2 นาที แล้วบ่มกล้วยทั้งหมดที่ 25°C. ความชื้นสัมพัทธิ์อยู่ที่ 70% นาน 2 วัน จากนั้นนำกล้วย 1 ผล ในแต่ละชุดกราดลงรวมกันในถุงพลาสติกพอลิเอทิลีนเจาะรู (3 ผลต่อแพ็ค) ปิดปากถุง เก็บกล้วยไว้ที่ 25°C. หลังจากเก็บรักษา 4 วัน ผลกล้วยที่ได้รับความร้อน มีค่าสีเหลือง (b\*) ของเปลือกต่ำกว่าผลที่ไม่ได้รับความร้อน แต่มีค่าความแน่นเนื้อผลสูงกว่าและมีปริมาณของแข็งทั้งหมดที่ลดลงน้ำได้ (TSS) น้อยกว่า แตกต่างอย่างมีนัยสำคัญทางสถิติ ( $p < 0.01$ ). ซึ่งให้เห็นว่าผลกล้วยที่ได้รับความร้อนก่อนการบ่มมีระยะเวลาในการสุกที่น้อยกว่าผลในชุดควบคุม อย่างไรก็ตามยังคงต้องมีทดลองเพื่อยืนยันผลกับกล้วยหอมในหลาย ๆ พื้นที่และหลายฤดูกาล

**คำสำคัญ:** กล้วยหอมทอง การใช้ความร้อน การไอล์ร่าดับความสุก การบรรจุภัณฑ์ค้าปลีก

<sup>1</sup> ศูนย์วิจัยและบริการเพื่อชุมชนและสังคม มหาวิทยาลัยเทคโนโลยีพระจอมเกล้าธนบุรี กรุงเทพฯ 10140

<sup>1</sup> University for Community Research and Services Center, King Mongkut's University of Technology Thonburi, Bangkok 10140

<sup>2</sup> สาขาวิชาเทคโนโลยีห้องปฏิบัติการเก็บเกี่ยว คณะทรัพยากรีเวิร์กแพลทฟอร์มและเทคโนโลยี มหาวิทยาลัยเทคโนโลยีพระจอมเกล้าธนบุรี วิทยาเขตบางซื่อ 10150

<sup>2</sup> Division of Postharvest Technology, School of Bioresources and Technology, King Mongkut's University of Technology Thonburi, Bangkok 10150

<sup>3</sup> ศูนย์นวัตกรรมเทคโนโลยีห้องปฏิบัติการเก็บเกี่ยว กระทรวงการอุดมศึกษา วิทยาศาสตร์ วิจัยและนวัตกรรม กรุงเทพมหานคร 10400

<sup>3</sup> Postharvest Technology Innovation Center, Ministry of Higher Education, Science, Research and Innovation, Bangkok 10400

## คำนำ

สหกรณ์การเกษตรท่าယาง จำกัด จังหวัดเพชรบุรี มีการส่งออกผลลัพธ์ของทองปลดสารพิษไปประเทศญี่ปุ่น ตั้งแต่ปี พ.ศ. 2535 ในปัจจุบันมีปริมาณการส่งออกประมาณ 15 ตันต่อเดือน นอกจากราชินียังมีการผลิตเพื่อขายภายในประเทศ ตามห้างสรรพสินค้าและร้านค้าสะดวกซื้อ ได้แก่ เช่น เอเชีย เอเชีย บีลด์ บีกีซี และแฟมิลี่มาร์ท โดยจำหน่ายในรูปแบบกล่องล้วนห้อมบรรจุภัณฑ์พลาสติกเจาะรู (ข้อมูลจากการสัมภาษณ์ส่วนตัว) ในปัจจุบันตลาดผู้บริโภคครอบครัวขนาดเล็ก 1-2 คน ในเมืองใหญ่เติบโตขึ้นอย่างมาก จึงมีความต้องการที่จะพัฒนาผลิตภัณฑ์กล่าวห้อมทองที่มีกลิ่น 3-4 ผลในบรรจุภัณฑ์โดยผลิตผลต้องทายอยู่สุกพร้อมบริโภคwanละ 1 ผล ใช้กรรมวิธีที่ไม่ใช้สารเคมี มีต้นทุนต่ำ และขั้นตอนไม่ยุ่งยาก ไม่ขัดกับกระบวนการราชจัดเตรียมกล่าวห์แบบเดิม ในการทดลองนี้จึงมุ่งศึกษาการใช้ความร้อนในระยะเวลาสั้นๆ ก่อนการจัดการหลังการเก็บเกี่ยวกล่าวห้อม การทดลองจุ่มผลไม้ในน้ำร้อน 45-50°ช. ช่วงระยะเวลาสั้นๆ สามารถชะลอการสูญได้ในผลไม้หลายชนิด เช่น กล้วยไช (Varit and Songsin, 2011) มะม่วง (Yimyong et al., 2011) และมะเขือเทศ (Mama et al., 2016) สำหรับการยึดอายุการเก็บรักษาผลกล่าวห์นิยมใช้ชีวิทีการบรรจุกล้วยในถุงโพลีเอทิลีน (PE) เจาะรู ร่วมกับการเก็บรักษาภายใต้อุณหภูมิ 13-14°ช. (ความชื้นสัมพัทธ์ 85-90%) สามารถชะลอการสูญได้เป็นเวลา 2-3 สัปดาห์ (เฉลิมชัย, 2538) ซึ่งเพียงพอต่อการจัดการค้าปลีก จากครอบแนวกวีดิการพัฒนาผลิตภัณฑ์ด้วยการวิเคราะห์ด้านการใช้อุปกรณ์ เทคนิโนโลยีและนวัตกรรมที่เหมาะสม แนวโน้มการตลาด และการวิเคราะห์ดูเด่นและเอกลักษณ์ของสหกรณ์ จึงเลือกใช้การใช้ความร้อน 2 ระดับกับผลกล่าวห้อมก่อนการบรรจุกล่าวห์ โดยบรรจุผลกล่าวห์แต่ละชุดการทดลองในถุงพลาสติกบรรจุภัณฑ์เดียวกัน เพื่อพัฒนาผลกล่าวห้อมทองทายอยู่สุกให้ระดับในบรรจุภัณฑ์นาน 4-6 วัน ในสภาพค้าปลีก

## อุปกรณ์และวิธีการ

เก็บเกี่ยวและขนส่งกล่าวห้อมทองระยะแรกเริ่มจากสหกรณ์การเกษตรท่าယาง จ.เพชรบุรี แบ่งผลเป็นผลเดี่ยว ทำความสะอาดและเช็ดด้วยสารละลายคลอรอกซ์ (Clorox) ความเข้มข้น 0.02% นาน 3 นาที ผึ่งผลให้แห้งบนตะแกรง นำผลกล่าวห์มาแบ่งเป็นชุดการทดลอง วางแผนการทดลองแบบ Completely Randomized Design (CRD) โดยแบ่งออกเป็น 3 ชุดการทดลอง คือ Tr1-ผลที่ไม่จุ่มน้ำร้อน (Non-treated) Tr2-จุ่มผลในน้ำร้อน 50°ช. นาน 5 นาที (50°C 5 min) และ Tr3-จุ่มผลในน้ำร้อน 50 °ช. นาน 10 นาที (50°C 10 min) ภายหลังจุ่มน้ำร้อน นำผลกล่าวห์ทุกชุดทดลองมาแข็งในน้ำเปล่าอุณหภูมิ 25°ช. นาน 10 นาที ปล่อยให้สะเด็ดน้ำ แล้วนำกล่าวห์ทั้งหมดไปบ่มด้วยการจุ่มน้ำในสารละลายเอทิฟอนความเข้มข้น 0.05% หรือ 500 ppm นาน 2 นาที สะเด็ดน้ำ แล้วนำผลกล่าวห์ลงในตะกร้า คลุมตะกร้าด้วยถุงพลาสติก บ่มไว้ที่อุณหภูมิ 25°ช. นาน 48 ชั่วโมง นำผลกล่าวห์ที่บ่มแล้วในแต่ละชุดการทดลองชุดละ 1 ผล มาบรรจุถุงพลาสติกพอลีเอทิลีนเจาะรู ทำให้แต่ละแพ็ค มีกล่าวห์ 3 ผล จากนั้นรัดปากถุงด้วยเทปกาวแล้วเก็บกล่าวห์ที่อุณหภูมิ 25°ช. เก็บข้อมูลก่อนการบ่มผลกล่าวห์ (Before treated) หลังการบ่มผลกล่าวห์ ซึ่งเป็นวันเริ่มต้นในการนำผลกล่าวห์บรรจุถุงพลาสติก (Day 0 หรือ 0\*) และหลังจากเก็บรักษาในถุงพลาสติก นาน 2, 4 และ 6 วัน (Day 2, Day 4, Day 6) โดยวัดค่าการเปลี่ยนแปลงของสีเปลือกผล (ค่าสีเหลือง, b\*) ด้วยเครื่องวัดสี (Color meter) บริเวณส่วนที่ติดกับหัว (Stem end) กลางผล (Middle) และบริเวณที่ติดกับจก (Blossom end) ความแน่นเนื้อเปลือกและผลด้วยเครื่อง Firmness tester และปริมาณของเยื่องที่ละลายน้ำได้ (TSS) ด้วยเครื่อง Hand held refractometer

## ผล

กล่าวห์ชุดการทดลองที่ 3 แช่น้ำร้อน 50°ช. นาน 10 นาที (Tr3 50°C 10 min) มีการเปลี่ยนแปลงของสีเปลือกมากกว่าชุดการทดลองอื่น โดยสามารถชดเชยการเปลี่ยนเป็นสีเหลืองได้นาน 4 วัน ภายหลังจากเก็บกล่าวห์ในถุงพลาสติกที่อุณหภูมิ 25°ช. (Figure 1) ซึ่งมี ค่า b\* value ของเปลือกผลกล่าวห์ที่วัดจากหัว กลางและท้ายผล ต่ำกว่าผลกล่าวห์ที่จุ่มน้ำร้อนนาน 5 นาที และผลกล่าวห์ไม่ได้จุ่มน้ำร้อน (Non-treated) แตกต่างอย่างมีนัยสำคัญทางสถิติ (Figure 2) นอกจากนี้ผลกล่าวห์ที่ได้รับความร้อนนาน 10 นาที (Tr3) สามารถชดเชยการสูญของกล่าวห์ โดยมีค่าความแน่นเนื้อของเปลือกผล (Peel) และความแน่นเนื้อผล (Pulp) มากกว่าชุดการทดลองอื่นแตกต่างอย่างมีนัยสำคัญทางสถิติ (Figure 3) ทั้งนี้ผลกล่าวห์ที่จุ่มน้ำร้อน มีการอ่อนนุ่มของเนื้อผลช้ากว่าผลที่ไม่จุ่มน้ำร้อนเป็นเวลา 4 วัน ผลกล่าวห์ที่แช่น้ำร้อน 50°ช. นาน 10 นาที มีการสูญช้ากว่าผลที่จุ่มน้ำร้อนนาน 5 นาที และชุดควบคุม โดยมีค่าความหวานหรือปริมาณ TSS น้อยกว่า แตกต่างอย่างมีนัยสำคัญทางสถิติ (Figure 4)

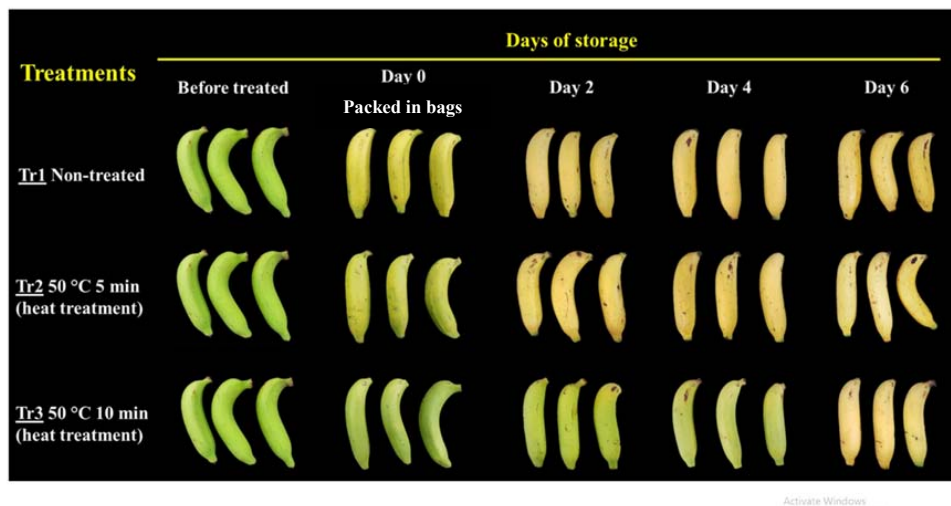


Figure 1 Visual appearance of 'Hom Thong' banana dipped in 50°C water for 5 and 10 min, and non-treated prior to the conventional postharvest handling (48 h after treated with ethephon) and then packed in PE bag stored at 25°C for 6 days.

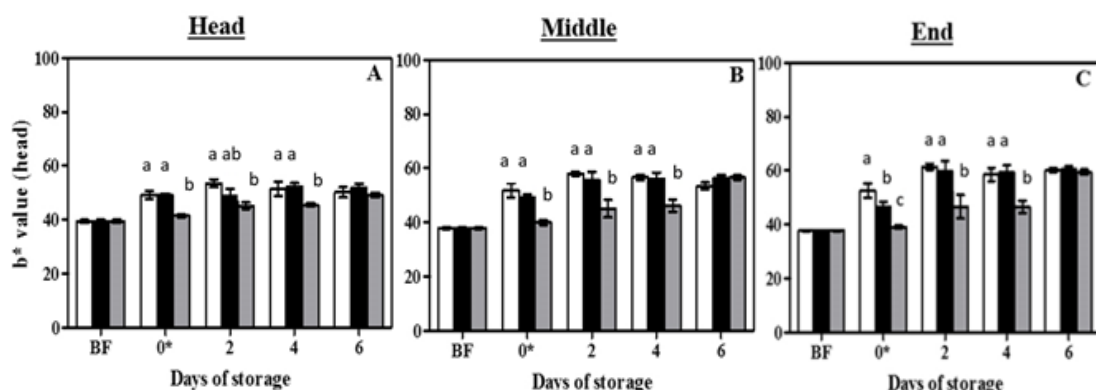


Figure 2 Changes in peel  $b^*$  value of banana, dipped in 50°C water for 5 [black] and 10 min [grey] and non-treated [white] prior to the conventional postharvest handling and then packed in PE bag (0\*) stored at 25°C (retail condition) for 6 days, at the stem end (A), middle (B) and blossom end (C). BF—before treatment

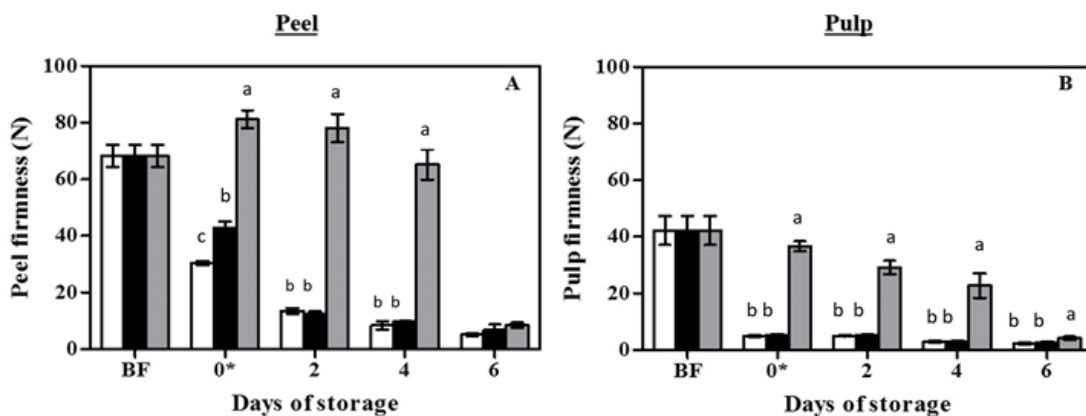


Figure 3 Firmness of peel (A) and pulp (B) of banana fruit before treatment (BF), the conventional postharvest handling and then packed in PE bag (0\*) stored at 25°C for 6 days.

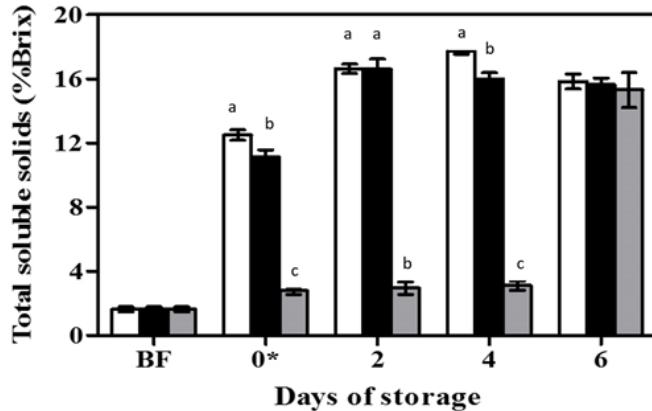


Figure 4 Total soluble solid of banana fruit before (BF), the conventional postharvest handling and then packed in PE bag (0\*) stored at 25°C for 6 days. (banana dipped in 50°C water for 5 ■ and 10 min □ and non-treated □ )

### วิจารณ์ผล

ผลการศึกษาแสดงถึงกับการศึกษาในกล้วยไข่ (Varit and Songsin, 2011) ชี้งพบว่าการรุ่มผลในน้ำร้อน 50°C. นาน 10 นาที สามารถช่วยลดการสูญ การเปลี่ยนของสีเปลือกจากเขียวเป็นเหลือง การอ่อนนุ่มของเนื้อผลและความหวานของกล้วยหอมได้ โดยมีสภาพพร้อมบริโภคหลังวันที่ 4 ในสภาพค้าปลีก แต่การใช้ความร้อนที่ 50 °C. นาน 5 นาที กลับมีผลในการช่วยลดการสูญของกล้วยหอมน้อยมาก ดังนั้นระยะเวลาในการได้รับความร้อนจึงมีผลต่อการเปลี่ยนแปลงทางสรีรวิทยา นอกจากนี้วัยของผลผลิตยังมีผลต่อการตอบสนองต่อการใช้ความร้อนในการช่วยลดการสูญของผลผลิตที่ใช้ทดสอบ จึงควรมีการคัดเลือกให้ออยู่ในวัยเดียวกัน และมีการศึกษาเปรียบเทียบแหล่งผลิตของกล้วยหอมทองที่แตกต่างกันต่อการตอบสนองต่อการใช้ความร้อนในการช่วยลดการสูญในอนาคต

### สรุป

การรุ่มผลกล้วยหอมทองในน้ำร้อน 50°C. นาน 10 นาที ก่อนการปั่นและบรรจุถุงพลาสติกเจาะรูให้อุณหภูมิ 25°C. สามารถช่วยลดการเปลี่ยนแปลงของสีเปลือก การสูญเสียการอ่อนนุ่มของเปลือกและเนื้อผล และการเพิ่มขึ้นของปริมาณของแข็งทั้งหมดที่ละลายน้ำได้ เป็นเวลา 4 วัน

### คำขอบคุณ

การศึกษารั้นนี้ เป็นส่วนหนึ่งของงานบริการวิชาการ มหาวิทยาลัยเทคโนโลยีพระจอมเกล้าธนบุรี ภายใต้โครงการพัฒนาผลิตภัณฑ์สินค้าชุมชน กรมส่งเสริมสหกรณ์ ปีงบประมาณ 2563 โดยมี รศ.ดร.ประเวศ ตุ้ยเต็มวงศ์ เป็นหัวหน้าโครงการ ทีมที่ปรึกษาขอขอบคุณ คุณมานะ บุญสร้าง และคุณสมยศ คำเพ็ง ฝ่ายการตลาด สำนักงานการเกษตรท่าယางที่อนุเคราะห์ข้อมูล สนับสนุนวัตถุดิบกล้วยเพื่อการทดสอบ และให้ความร่วมมือในการอบรมถ่ายทอดเทคโนโลยีในภาคสนาม

### เอกสารอ้างอิง

- เฉลิมชัย วงศ์ภาณี. 2538. ผลของสภาพบรรจุภัณฑ์แปลงที่มีต่อการเก็บรักษากล้วยไข่เพื่อการส่งออก. วิทยานิพนธ์ วิทยาศาสตร์ มหาบัณฑิต (เกษตรศาสตร์) สาขาวิชสหวิทยาลัยเกษตรศาสตร์. 89 หน้า.
- Mama S., J. Yemer and W. Woelore. 2016. Effect of hot water treatments on shelf life of tomato (*Lycopersicon esculentum* Mill). Natural Sciences Research 6(7): 69-77.
- Varit S. and P. Songsin. 2011. Effects of hot water treatments on the physiology and quality of 'Kluai Khai' banana. International Food Research Journal 18(3): 1013-1016.
- Yimyong S., T.U. Datsenka, A.K. Handa and K. Seraypheap. 2011. Hot water treatment delays ripening-associated metabolic shift in 'Okrong' mango fruit during storage. American Society for Horticultural Science 136(6): 441-451.

## การยืดอายุการเก็บรักษาผลลำไยสดโดยบรรจุภัณฑ์ที่ปิดผนึกด้วยฟิล์มแบบเจาะรูขนาดไมโคร Storage Life Extension of Fresh Longan Using Package Top-sealed with Micro-perforated Film

จุฑามาศ พรมบุญ<sup>1</sup> ดรัสสา ชีพนุรัตน์<sup>1</sup>, วิชชุดา เดวด<sup>2</sup> อัจฉราพร อันที<sup>2</sup> สุดารัตน์ ขุนเมือง<sup>3</sup> และเฉลิมชัย วงศ์อารี<sup>1,3</sup>  
 Juthamard Promboon<sup>1</sup>, Tradsa Cheepnurat<sup>1</sup>, Witchuda Daud<sup>2</sup>, Ajcharaporn Aontee<sup>2</sup>, Sudarat Khunmuang<sup>3</sup>  
 and Chalermchai Wongs-Aree<sup>1,3</sup>

### Abstract

Fresh longan typically has short storage life mainly due to rapid pericarp browning and microbial infestation. In the present experiment, different MAPs were used to extend the storage life of 'E-dor' longan. Longan bunches were trimmed to obtain individual fruit prior to dipping in 200 ppm Clorox solution for 3 min. Fifteen long fruit (200 g) were packed in a 12×17×3.5 cm<sup>3</sup> polypropylene (PP) tray and heat-sealed with 2 different films which were typical PP film (non-perforate) and polyethylene terephthalate/ cast polypropylene micro-perforated film (PET/cPP) (MTEC provided), compared to mesh bag packging (served as a control). All treatments were stored at 10°C, 90-95% RH. O<sub>2</sub> concentration in non-perforated MAP reached a steady state (6%) on day 6, whereas in micro-perforated MAP, O<sub>2</sub> reduced to steady state at 15% on day 3. On the other hand, CO<sub>2</sub> concentration shaply increased to 30% in non-perforated MAP on day 7, while the gas in perforated MAP became stable at 12% since day 4. Fresh weight loss of longan fruit in mesh bag was as high as 7% on day 12, while ones packed in both MAPs lost less than 0.3% throughout the storage. Moreover, pericarp browning of control treatment appeared rapidly, making L\* value reduced from 50 to 41 within 12 days. Fungal development was found on the fruit in control treatment after day 6, while the samples packed in both non-perforated MAP and perforated MAP were infested by day 9 and 12, respectively.

**Keywords:** longan, MAP, micro-perforated film

### บทคัดย่อ

ผลลำไยสดมีอายุการเก็บรักษาสั้นเนื่องจากสารเอนไซม์หลักก็คือเปลือกเปลี่ยนเป็นสีน้ำตาลและการเข้าทำลายของจุลินทรีย์ การทดลองนี้ได้ใช้บรรจุภัณฑ์ที่แตกต่างกันเพื่อยืดอายุการเก็บรักษาของลำไยพันธุ์ดอ โดยตัดแต่งผลลำไยให้เป็นผลเดี่ยวแล้วแขวนสารละลายน้ำอัตราความเข้มข้น 200 ppm นาน 3 นาที นำผลลำไย 15 ผล (200 กรัม) มาบรรจุในกล่องโพลีไพริเพลิน (PP) ขนาด 12×17×3.5 ลบ.ซม. และวิปเดล์ฟิล์มด้านบนด้วยความร้อนด้วยฟิล์ม PP และโพลีเอทิลีน เทเรฟทาเตต ประกบกับโพลีไพริเพลิน (PET/cPP) (ศูนย์เทคโนโลยีและวัสดุแห่งชาติ) เปรียบเทียบกับการบรรจุในถุงตาข่าย (ชุดควบคุม) ลำไยทั้งหมดเก็บรักษาในห้องอุณหภูมิ 10 องศาเซลเซียส ความชื้นสัมพัทธ์อยู่ระดับ 90-95 ลำไยมีอัตราการหายใจเฉลี่ย 11.87 mg CO<sub>2</sub>·kg<sup>-1</sup>·h<sup>-1</sup> ออกซิเจนในบรรจุภัณฑ์ไม่เจาะรูเข้าสู่ระดับสมดุลในวันที่ 6 มีความเข้มข้นร้อยละ 6 ในขณะที่บรรจุภัณฑ์เจาะรูเข้าสู่สมดุลในวันที่ 3 มีค่าร้อยละ 15 ส่วนค่าร้อยบอนด์ออกไซด์มีค่าเพิ่มขึ้นอย่างรวดเร็วในบรรจุภัณฑ์ไม่เจาะรูและเข้าสู่สมดุลในวันที่ 7 มีค่าร้อยละ 30 ในขณะที่บรรจุภัณฑ์เจาะรูเข้าสมดุลในวันที่ 4 มีค่าร้อยละ 12 ในวันที่ 12 ผลลำไยที่บรรจุในถุงตาข่ายมีการสูญเสียน้ำหนักที่ร้อยละ 7 ลำไยที่บรรจุในบรรจุภัณฑ์ที่ปิดผนึกด้วยฟิล์มที่เจาะรูและไม่เจาะรูนั้นมีการสูญเสียน้ำหนักที่ไม่แตกต่างกันตลอดระยะเวลาการเก็บรักษาโดยมีการสูญเสียไม่ถึงร้อยละ 0.3 นอกจากนี้เปลือกของลำไยในถุงตาข่ายมีสีน้ำตาลอ่อนกว่าลำไยที่บรรจุในบรรจุภัณฑ์ที่ปิดผนึกด้วยฟิล์มที่เจาะรูและไม่เจาะรู โดยมีค่า L\*ลดลงจาก 50 ในวันเริ่มต้น เหลือ 41 ในวันที่ 12 ขณะที่บรรจุภัณฑ์ที่ปิดฟิล์มแบบเจาะและไม่เจาะรูมีค่าค่อนข้างคงที่ตลอดการเก็บรักษาโดยมีพบรากาศเจริญของเชื้อรากบนเปลือกลำไยหลังจากเก็บรักษา 6 วัน ผลลำไยที่เก็บรักษาในถุงตาข่าย ส่วนบรรจุภัณฑ์ที่ปิดฟิล์มไม่เจาะรูพบวันที่ 9 ส่วนบรรจุภัณฑ์ที่ปิดฟิล์มแบบเจาะรูเริ่มพบรากาศในวันที่ 12

**คำสำคัญ:** ลำไย การบรรจุภัณฑ์แบบสภาพบรรณาการดัดแปลง ฟิล์มเจาะรูขนาดไมโคร

<sup>1</sup> สาขาวิชาเทคโนโลยีหลังการเก็บเกี่ยว คณะทรัพยากริเว呶ปะและเทคโนโลยี มหาวิทยาลัยเทคโนโลยีพระจอมเกล้าธนบุรี (บางเขน) กรุงเทพฯ 10150

<sup>1</sup> Division of Postharvest Technology, School of Bioresources and Technology, King Mongkut's University of Technology Thonburi (Bangkhunthien), Bangkok 10150

<sup>2</sup> ทีมวิจัยเทคโนโลยีพลาสติก กลุ่มวิจัยพัฒนาโพลีเมอร์ชั้นสูง ศูนย์เทคโนโลยีและวัสดุแห่งชาติ สำนักงานพัฒนาวิทยาศาสตร์และเทคโนโลยีแห่งชาติ ปทุมธานี 12120

<sup>2</sup> Plastics Technology Research Team, Advanced Polymer Technology Research Group, National Metals and Materials Technology Center, National Science and Technology Development Agency, Pathum Thani 12120

<sup>3</sup> ศูนย์นวัตกรรมเทคโนโลยีหลังการเก็บเกี่ยว กระทรวงการอุดมศึกษา วิทยาศาสตร์ วิจัยและนวัตกรรม กรุงเทพมหานคร 10400

<sup>3</sup> Postharvest Technology Innovation Center, Ministry of Higher Education, Science, Research and Innovation, Bangkok 10400

## คำนำ

ลำไยสดเป็นสินค้าเกษตรที่ไทยมีศักยภาพการผลิต มีการค้าทั้งภายในประเทศและส่งออกสูง โดยมีจีนเป็นตลาดส่งออกสำคัญ (กรมการค้าต่างประเทศ, 2564) แต่ลำไยมีอายุกรากเก็บรักษาเพียง 2-3 วันที่อุณหภูมิห้อง เพราะลักษณะเปลี่ยนเป็นสีน้ำตาลและเน่าเสียง่าย เหตุผลที่สำคัญการสูญเสียน้ำจากเปลือก และการเกิดกระบวนการออกซิเดชันอย่างรวดเร็ว

การเลือกใช้บรรจุภัณฑ์เป็นปัจจัยสำคัญสำหรับใช้อุปทานและโลจิสติกซ์ของผลิตผลสด สภาพบรรจุภัณฑ์ดัดแปลงภายในบรรจุภัณฑ์ที่เหมาะสมสามารถคงคุณภาพของผลิตผลสดได้อย่างดี ปัจจัยแรกที่ต้องคำนึงในการเก็บรักษาผลิตผลสดในสภาพบรรจุภัณฑ์ดัดแปลงคือ อัตราการหายใจของผลิตผลและอัตราการยอมให้กําชีวีผ่านของฟิล์มพลาสติก (Fonseca et al., 2002) บรรจุภัณฑ์แบบแอดค์พีที่เพิ่มอัตราการซึมผ่านของกําชีวีเป็นทางเลือกที่ดี ปัจจุบันมีการใช้ฟิล์ม Laminate ระหว่าง Polyethylene terephthalated (PET) / Polyethylene (PE) เพื่อปิดบรรจุภัณฑ์ที่เก็บรักษาผลิตผลทางการเกษตรเพื่อการขาย ปลีกมากขึ้น ฟิล์ม PE ใช้เป็นด้านในเพื่อการปิดผนึกกับถุงพลาสติก PE ด้วยความความร้อน ส่วน PET ใส่ด้านนอกหมาย สำหรับการพิมพ์ข้อมูลของตัวผลิตภัณฑ์คำปลีก อย่างไรก็ตามการใช้ฟิล์ม Laminate ก็มีข้อจำกัดคือทำให้มีการซึมผ่านของกําชีวีลดลง โดยฟิล์ม PET / PE มีการซึมผ่านของออกซิเจนประมาณ 100 มิลลิลิตรต่อสูญเสีย 23 องศาเซลเซียส ความชื้นสัมพัทธิ์อยู่ 50 (Illsley and Street, 2012) ซึ่งค่อนข้างน้อยมาก ถึงแม้ว่าผลลำไยจะมีอัตราการหายใจไม่สูงมาก 30.0 - 53.0 มิลลิกรัมคาร์บอนไดออกไซด์ต่อ กิโลกรัมต่อชั่วโมง (Ketsa and Puall, 2014) การทำงานบรรจุภัณฑ์แอดค์พีจึงเข้ามา มีบทบาทสำคัญ ซึ่งปัจจุบันทางศูนย์น้ำในเทคโนโลยีและสิ่งแวดล้อมสามารถปรับปรุงการทำงานของฟิล์ม Laminate ให้ดีขึ้น 200 ppm เพื่อทำการซ่าเข้าเพื่อป้องตัว และเพื่อให้แห้งด้วยพัดลม จากนั้นนำลำไยที่แห้งแล้วมาบรรจุ (200 กรัม/กล่อง) ในบรรจุภัณฑ์ชนิดต่างๆ แบ่งเป็นชุดการทดลองได้ดังนี้

ชุดการทดลองที่ 1 บรรจุในถุงตาข่าย (ชุดควบคุม)

ชุดการทดลองที่ 2 บรรจุในบรรจุภัณฑ์ที่ปิดผนึกด้วยฟิล์มพอลิไพริฟลีน (PP film)

ชุดการทดลองที่ 3 บรรจุในบรรจุภัณฑ์ที่ปิดผนึกด้วยฟิล์ม Laminate ที่เจาะรูระดับไมโครอน (microperforated PET/cPP film)

เก็บรักษาที่อุณหภูมิ 10 องศาเซลเซียส ความชื้นสัมพัทธิ์อยู่ 90-95 วัน แผนการทดลองแบบสุ่มสมบูรณ์ มี 4 ชั้น (1 กล่อง/ชั้น) ตรวจเช็คคุณภาพผลทุกๆ 2 วัน ตรวจเช็คการเปลี่ยนแปลงสีเปลือก (โดยเครื่อง Minolta รุ่น CR-400), อัตราการเปลี่ยนแปลงสีเปลือก ( $\Delta E$ ), ปริมาณของเชื้อทั้งหมดที่ละลายน้ำได้ของเนื้อ (โดยเครื่อง digital refractometer), การสูญเสียน้ำหนักของผลลำไย และการเน่าเสียจากเชื้อรา (%Fungal incidence = ( $\frac{\text{จำนวนผลลำไยที่เกิดเชื้อร้า}}{\text{จำนวนผลลำไยทั้งหมด}} \times 100$ )

## ผลการทดลองและวิจารณ์ผล

ผลลำไยสดมีอัตราการหายใจเฉลี่ย  $11.87 \text{ mg CO}_2 \cdot \text{kg}^{-1} \cdot \text{h}^{-1}$  ที่อุณหภูมิ 10 องศาเซลเซียส (ไม่ได้แสดงผลการทดลอง) ออกซิเจนในบรรจุภัณฑ์ PP film ไม่เจาะรูเข้าสู่ระดับสมดุลในวันที่ 6 มีความชื้นเข้มร้อยละ 6 ในขณะที่บรรจุภัณฑ์ PET/cPP film เจาะรูเข้าสู่สมดุลในวันที่ 3 มีค่าร้อยละ 15 ส่วนค่าคาร์บอนไดออกไซด์มีค่าเพิ่มขึ้นอย่างรวดเร็วในบรรจุภัณฑ์ PP film ไม่เจาะรูและเข้าสู่สมดุลในวันที่ 6 มีค่าสูงถึงร้อยละ 30 ในขณะที่บรรจุภัณฑ์ PET/cPP film เจาะรูเข้าสู่สมดุลในวันที่ 4 มีค่าร้อยละ 12 (Figure 1) ถึงแม้ผลลำไยมีอัตราการหายใจค่อนข้างต่ำ แต่การใช้บรรจุภัณฑ์ PP film ทำให้มีออกซิเจนในถุงต่ำและโดยเฉพาะอย่างยิ่งค่ารับอนไดออกไซด์สูงถึงร้อยละ 30 ตั้งแต่วันที่ 6 ทำให้มีโอกาสเกิดสภาพการหายใจแบบไม่เข้าออกซิเจน หากเก็บรักษาเป็นเวลานาน การเปลี่ยนแปลงสีเปลือกแบ่งออกเป็น 2 กลุ่ม โดยเปลือกของลำไยในถุงต่ำยามีสีน้ำตาลอ่อน รวดเร็ว โดยมีค่า L\* ลดลงจาก 50 ในวันเริ่มต้น เหลือ 41 ในวันที่ 12 (Figure 2A) เปลือกเปลี่ยนเป็นสีน้ำตาลอ่อนโดยค่า hue anle ที่ลดลง (Figure 2B) อย่างรวดเร็วเมื่อเปรียบเทียบกับผลลำไยที่เก็บรักษาภายใต้บรรจุภัณฑ์ทั้ง 2 แบบ ที่มีค่าการเปลี่ยนแปลง

สีเปลี่ยนต่างกัน (Figure 2D) ในวันที่ 12 ผลลำไยที่บรรจุในถุงตาข่ายมีการสูญเสียน้ำหนักที่ร้อยละ 7 ลำไยที่บรรจุในบรรจุภัณฑ์ปิดผึ้งด้วยฟิล์มที่เจาะรูและไม่เจาะรูนั้น มีการสูญเสียน้ำหนักที่ไม่แตกต่างกันตลอดระยะเวลาการเก็บรักษาโดยมีการสูญเสียไม่ถึงร้อยละ 0.3 (Figure 3A) เริ่มพบการเจริญของเชื้อราบนเปลือกลำไยที่เก็บรักษาในถุงตาข่ายหลังจากเก็บรักษา 6 วัน ส่วนบรรจุภัณฑ์ปิดฟิล์มไม่เจาะรูพบวันที่ 9 ส่วนบรรจุภัณฑ์ปิดฟิล์มแบบเจาะรูเริ่มพบในวันที่ 12 (Figure 3B)

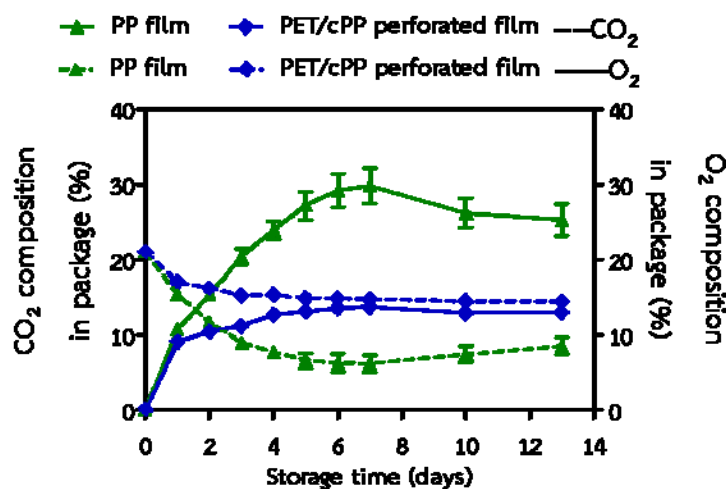


Figure 1 Changes in CO<sub>2</sub> and O<sub>2</sub> in the headspace of longan kept in a package top-sealed with PP film or microperforated PET/cPP film and stored at 10°C, 90-95% RH

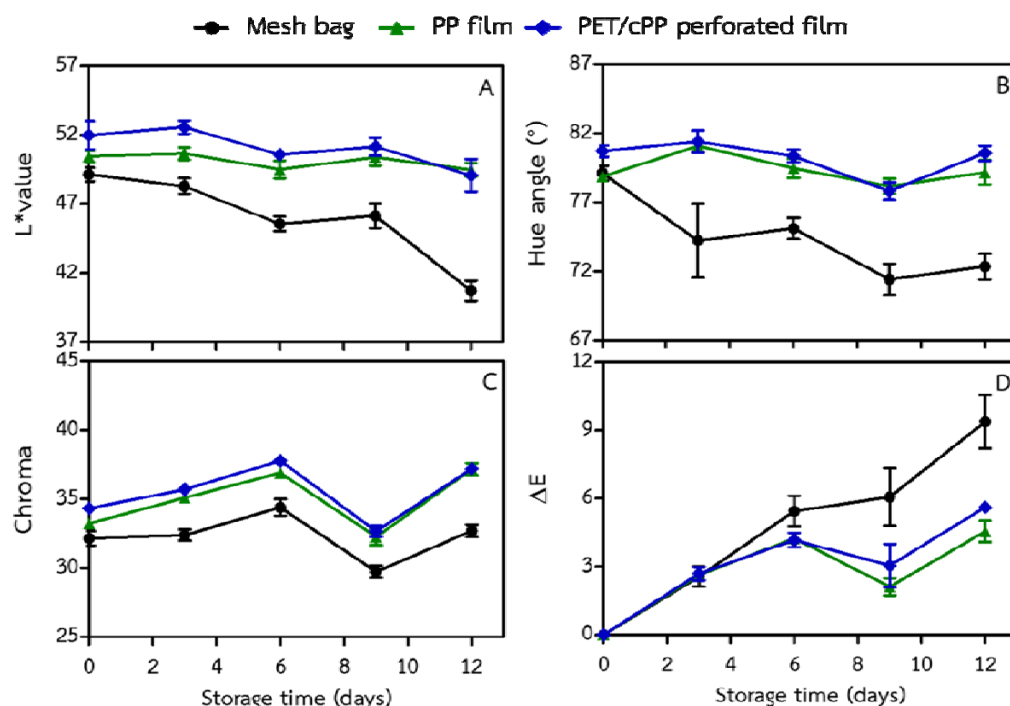


Figure 2 Changes in L\*, hue angles, chroma, and ΔE of the peel of longan kept in a package top-sealed with PP film or microperforated PET/cPP film and stored at 10°C, 90-95% RH

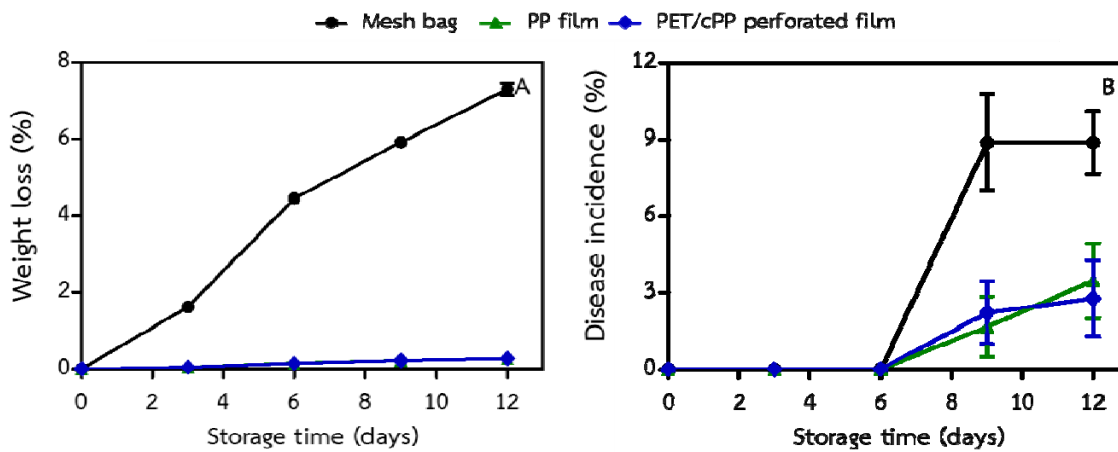


Figure 3 Changes in fresh weight loss (A), and disease incidence (B) of longan kept in a package top-sealed with PP film or microperforated PET/cPP film and stored at 10°C, 90-95% RH

สภาพบรรจุภัณฑ์เปลี่ยนไปบรรจุภัณฑ์โดยมีการบอนไดออกไซด์สูงและออกซิเจนต่ำกว่าบรรจุภัณฑ์ มีผลชะลอเมตาบอลิซึมของผลไม้ ลดการสูญเสียน้ำหนัก ชะลอการเกิดสีน้ำตาล (Kader et al., 1898) และลดการเจริญเติบโตของเชื้อจุลทรรศ์ได้ดี อย่างไรก็ตามสภาพที่พื้นที่ห้องมีการซึมผ่านที่น้อยเกิน จะทำให้มีการสะสมของคาร์บอนไดออกไซด์สูงและออกซิเจนที่ต่ำเกินไป และซักนำให้เกิดโรคได้ (Mangaraj and Goswami, 2009)

#### สรุปผลการทดลอง

ผลลำไยที่เก็บในถุงตาข่ายเปลี่ยนเป็นสีน้ำตาลอ่อนจากเดิม สีเขียวในสักค�다ห์แรกของการเก็บรักษาที่ 10 องศาเซลเซียส สัมพันธ์กับการสูญเสียน้ำหนักลด การเก็บในบรรจุภัณฑ์ PP film และ microperforated PET/cPP film ลดการสูญเสียน้ำหนัก ลดและชะลอการเกิดเปลือกสีน้ำตาลได้ดี แต่บริมาณคาร์บอนไดออกไซด์ในบรรจุภัณฑ์ PP film สูงถึงร้อยละ 30 ตั้งแต่วันที่ 6 ของการเก็บรักษา

#### คำขอบคุณ

งานวิจัยนี้ได้รับเงินสนับสนุนจากศูนย์นวัตกรรมเทคโนโลยีห้องการเก็บเกี่ยว กระทรวงการอุดมศึกษา วิทยาศาสตร์ วิจัยและนวัตกรรม (รหัสโครงการ PS.P.8/2561) และขอขอบคุณ UGSAS, Gifu University, Japan สำหรับอุปกรณ์ วิทยาศาสตร์ในการทำงานวิจัยครั้งนี้

#### เอกสารอ้างอิง

- กรมการค้าต่างประเทศ. 2564. ลินค้าที่มีมาตรฐาน นำเข้า-ส่งออก-นำผ่าน – สำนักงานเศรษฐกิจและสหกรณ์ [ออนไลน์]. แหล่งที่มา : <https://www.dft.go.th/th/Search-Results?search=%E0%B8%A5%E0%B8%9A%E0%B8%9A%E0%B8%9A> (27 พฤษภาคม 2564).
- Fonseca, S.C., F.A.R. Oliveira and J.K. Brecht. 2002. Modelling respiration rate of fresh fruits and vegetables for modified atmosphere packages, A Review. Journal of Food Engineering 52: 99-119.
- Kader, A.A., D. Zagory and E.L. Kerbel. 1989. Modified atmosphere packaging of fruits and vegetables. Critical Reviews in Food Science and Nutrition 28: 1-30.
- Illsley, D.R. and G.T. Street. 2012. A process for optimizing a gas barrier coating, US. Patent. WO2011033247 A1.
- Ketsa, S. and R.E. Puall. 2014. Longan: Postharvest quality-maintenance guidelines. Fruit, nut, and beverage crops. F\_N-35.
- Mangaraj, S. and T.K. Goswami. 2009. Modified atmosphere packaging of fruits and vegetables for extending shelf-life-a Review". Fresh Produce 3: 1-31.

**ผลของกล่องบรรจุแบบดัดแปลงบรรยากาศโดยใช้หน้าต่างซิลิโคนเมมเบรนต่อคุณภาพ  
และอายุการเก็บรักษาเงาะโรงเรียน**

**Effect of Modified Atmosphere Package using Silicone Membrane Window on Quality  
and Shelf-life of 'Reong Rean' Rambutan**

เรวัติ ชัยราช<sup>1,2</sup> และวีรวะท์ อุทโท<sup>2,3</sup>  
Raywat Chairat<sup>1,2</sup> and Weerawate Utto<sup>2,3</sup>

### Abstract

Rambutan fruit peel consists of special long-hair structure called "spintern". Both peel and spinterns have numerous stomata where high rates of water loss occurs, leading to high rate of water loss from the fruit leading to high deterioration rate of the fruit quality after harvest. The objective of this research was to develop a retail-size modified atmosphere package to maintain quality and reduce loss of 'Reong Rean' rambutan fruit by using polyethylene terephthalate (PET) box. The top lid fitted with a rectangular silicone membrane window (MA\_Si-mb box) of 3 different sizes (1x1, 1.5x1.5 and 2x2 cm<sup>2</sup>) for gas exchange regulation were used and compared with the control (no package applied). The experiment was conducted at 15 ± 3 °C, RH 90 ± 3%. Results showed that rambutan fruit kept in MA\_Si-mb box showed significantly ( $p \leq 0.05$ ) lower weight loss, had higher fruit firmness and contained greater anthocyanin contents than the control. Total soluble solids content of the control fruit was higher than the fruit kept in MA\_Si-mb box, whereas titratable acidity was not significantly different among treatments. Rambutan fruit stored in all 3 membrane window sizes of MA\_Si-mb box had higher freshness score, but lower blackening spintern score compared with the control. For instance, the packed fruit could be kept for at least 15 days, while the fruit from control treatment last for only 9 days. These results indicated that MA\_Si-mb box could better preserve the rambutan fruit quality and greater extend the shelf-life than the control.

**Keywords:** rambutan, quality, modified atmosphere package

### บทคัดย่อ

เปลี่ยนผลเงาะมีโครงสร้างพิเศษที่ประกอบด้วยขนที่ยาวและรีปากใบจำนวนมากทั้งที่ขันและผิวนอก จึงทำให้ผลเงาะมีอัตราการหายใจสูงส่งผลให้ผลเงาะมีการสูญเสียคุณภาพอย่างรวดเร็วหลังการเก็บเกี่ยว งานวิจัยนี้มีวัตถุประสงค์เพื่อพัฒนากล่องบรรจุแบบดัดแปลงบรรยากาศขนาดข่ายปลีกที่ใช้หน้าต่างซิลิโคนเมมเบรน (MA\_Si-mb box) เพื่อรักษาคุณภาพและลดการสูญเสียของผลเงาะโรงเรียน โดยใช้กล่องบรรจุทำจากพลาสติกชนิด polyethylene terephthalate (PET) ด้านบนจะเป็นช่องสีเหลี่ยมติดด้วยแผ่นซิลิโคนเมมเบรน (Si-mb) 3 ขนาด คือ 1x1 1.5x1.5 และ 2x2 ตร.ซม. เพื่อควบคุมการผ่านเข้าออกของแก๊สระหว่างภายในและภายนอกกล่อง เปรียบเทียบกับชุดควบคุม (ไม่มีบรรจุกล่อง) ทำการทดลองที่อุณหภูมิ 15 ± 3 °C ความชื้น 90 ± 3% ผลการทดลองพบว่า เงาะที่บรรจุในกล่องบรรจุ MA\_Si-mb ทุกขนาดหน้าต่างมีการสูญเสียน้ำหนักที่ต่ำกว่า มีความแน่นเนื้อสูงกว่า และมีปริมาณแอนโธไซานินที่เปลี่ยนแปลงน้อยกว่าเงาะในชุดควบคุมอย่างมีนัยสำคัญ ( $p \leq 0.05$ ) ปริมาณของแข็งทั้งหมดที่ละลายน้ำได้ของเงาะในชุดควบคุมมีปริมาณสูงกว่าเงาะที่บรรจุในกล่องบรรจุ MA\_Si-mb ส่วนปริมาณกรดที่ไตรเตอร์ได้ทั้งหมดไม่มีความแตกต่างระหว่างสิ่งทดลอง เงาะที่เก็บรักษาในกล่องบรรจุ MA\_Si-mb ทุกขนาดหน้าต่างมีค่าคงทนความสดที่สูงกว่า และค่าคงทนนานขึ้นสำหรับหน้าต่างที่ต่ำกว่าชุดควบคุม และสามารถเก็บรักษาได้อย่างน้อย 15 วัน ขณะที่เงาะในชุดควบคุมมีอายุการเก็บรักษาเพียง 9 วัน ผลการทดลองนี้แสดงว่ากล่องบรรจุ MA\_Si-mb สามารถรักษาคุณภาพผลและยืดอายุการเก็บรักษาผลเงาะได้ดีเมื่อเปรียบเทียบกับชุดควบคุม

**คำสำคัญ :** เงาะ คุณภาพ กล่องบรรจุแบบดัดแปลงบรรยากาศ

<sup>1</sup> ภาควิชาพืชสวน คณะเกษตรศาสตร์ มหาวิทยาลัยอุบลราชธานี อ.วารินชำราบ จ.อุบลราชธานี 34190

<sup>1</sup> Department of Horticulture, Faculty of Agriculture, Ubon Ratchathani University, Warinchamrap, Ubon Ratchathani 34190, Thailand

<sup>2</sup> ศูนย์นวัตกรรมเทคโนโลยีหลังการเก็บเกี่ยว กระทรวงการอุดมศึกษา วิทยาศาสตร์ วิจัย และนวัตกรรม กรุงเทพฯ 10400

<sup>2</sup> Postharvest Technology Innovation Center, Ministry of Higher Education, Science, Research and Innovation, Bangkok 10400, Thailand

<sup>3</sup> สาขาวิชาเทคโนโลยีอาหาร คณะเกษตรศาสตร์ มหาวิทยาลัยอุบลราชธานี อ.วารินชำราบ จ.อุบลราชธานี 34190

<sup>3</sup> Department of Food Technology, Faculty of Agriculture, Ubon Ratchathani University, Warinchamrap, Ubon Ratchathani 34190, Thailand

## คำนำ

เงาะ (*Nephelium lappaceum* Linn.) เป็นไม้ผลเศรษฐกิจที่สำคัญนิดหนึ่งของประเทศไทยที่มีศักยภาพในการส่งออกสูง แต่เงาะมีปัญหาสำคัญ คือ การมีอายุการเก็บรักษาสั้น เนื่องจากผลเงาะมีการเปลี่ยนแปลงทางสรีรวิทยาหลังการเก็บเกี่ยวค่อนข้างรวดเร็ว จากโครงสร้างของเปลือกผลด้านนอกปิดลุมด้วยขนที่ยาว เรียกว่า “spintern” ซึ่งมีป่าใบอยู่เป็นจำนวนมาก และสูงกว่าส่วนเปลือกผลถึง 5 เท่า จึงทำให้ผลเงาะเกิดการครายน้ำในอัตราที่สูง (Landigan et al., 1994) ส่งผลให้เกิดการเปลี่ยนแปลงของสีขึ้นและเปลี่ยนแปลงผลเป็นสีน้ำตาลที่เร็วและเกิดอาการดำที่ขึ้นในส่วนของปลายขั้นไปถึงโคนและเปลือกในที่สุด อาการขันดำเนิดขึ้นภายในระยะเวลาไม่กี่วันที่อุณหภูมิห้องและมีผลต่อการตัดสินใจในการซื้อเงาะไปบริโภคของผู้บริโภค ดังนั้น การหาเทคโนโลยีที่เหมาะสมเพื่อรักษาสภาพความสดภายนอกโดยเฉพาะการลดการเกิดขันดำเนินเงาะจึงมีความจำเป็นอย่างยิ่ง

กล่องบรรจุแบบดัดแปลงบรรยายการร่วมกับหน้าต่างชิลลิโคน เมมเบรน ใช้หลักการของการตัดแปลงบรรยายการที่กำหนดให้ก้าชผ่านเข้าออกกรูพูนของแผ่นเมมเบรนที่เคลือบด้วยชิลลิโคน ซึ่งมีคุณสมบัติในการควบคุมการแพร์ฟ่าผ่านเข้าออกของก้าชในอัตราค่อนข้างคงที่ โดยพบว่าอัตราการแพร์ฟของก้าชผ่านชิลลิโคน เมมเบรนขึ้นอยู่กับพื้นที่ผิวของและขนาดรูของแผ่นเมมเบรน โดยจากการทดลองในกลั่วหยอมทองพันธุ์ Cavendish พบร่องการใช้กล่องบรรจุแบบดัดแปลงบรรยายการร่วมกับหน้าต่างชิลลิโคน เมมเบรนสามารถรักษาคุณภาพของกลั่วหยอมพันธุ์ดังกล่าวได้ดีกว่าชุดควบคุมและสามารถยืดอายุการเก็บรักษากลั่วหยอมทองได้ (Stewart et al., 2005; Chauhan et al., 2006) ขณะที่ เรเวติ (2553) ได้พัฒนากล่องบรรจุแบบดัดแปลงบรรยายการตันแบบที่ติดด้วยแผ่นชิลลิโคน เมมเบรนในการเก็บรักษาและรักษาคุณภาพของมะม่วงน้ำดอกไม่แพร์ฟะในเรือนได้ ดังนั้น การศึกษานี้จึงมีวัตถุประสงค์เพื่อทดสอบผลของกล่องบรรจุโดยใช้หน้าต่างชิลลิโคน เมมเบรนในการควบคุมบรรยายการขาดหายปลีกเงาะโรงเรียน ที่มีต่อคุณภาพผลภัยในและภายนอก และอายุการเก็บรักษาของผลเงาะโรงเรียนที่อุณหภูมิ 15 °C

## อุปกรณ์และวิธีการ

กล่องดัดแปลงบรรยายการพัฒนาจากกล่องพอลีเอทิลีนเทเฟทาเลต (PET) ด้านบนฝาปิดเจาะช่องสี่เหลี่ยมสำหรับวางแผ่นชิลลิโคน เมมเบรนที่ผลิตตามวิธีการของเรเวติ (2553) ส่วนเงาะโรงเรียนที่ใช้ในการทดลองครั้นี้เก็บเกี่ยวมาจากสวนเกษตรกรในเขตอำเภอชุมทาง จังหวัดศรีสะเกษ และขนาดส่งมาที่ห้องปฏิบัติการหลังการเก็บเกี่ยว คณานะเกษตรศาสตร์มหาวิทยาลัยอุบลราชธานี และใช้ในการทดลองในวันเดียวกัน โดยทำการตัดเลือกผลเงาะที่มีขนาดและสีผิวที่ใกล้เคียงกัน ปราศจากตำหนิ และการปันเปื้อนของโรคหรืออาการผิดปกติอื่นใด ก่อนนำมาแขวนในสารละลายโซเดียมไฮโปคลอไรต์ (200 ppm) นาน 3-5 นาทีเพื่อล้าง净化 เชือกจุลทรรศน์ที่ผิวผล ผึ่งให้แห้ง แล้วทำการบรรจุลงในกล่องบรรจุที่ติดด้วยแผ่นชิลลิโคน เมมเบรน 3 ขนาด คือ  $1 \times 1$   $1.5 \times 1.5$  และ  $2 \times 2$  cm<sup>2</sup> ขนาดบรรจุ 200-300 กรัมต่อกล่อง (1 กล่องคือ 1 ชิ้น) ทำการปิดกล่องด้วยเทปอลูมิเนียมให้สนิทเพื่อให้มีการแลกเปลี่ยนก้าชผ่านแผ่นเมมเบรนเท่านั้น โดยเปรียบเทียบกับชุดควบคุมไม่มีการบรรจุกล่อง (Negative Control) แล้วนำไปเก็บรักษาไว้ที่ 15°C ทำการบันทึกผลค่าเริ่มต้น (Initial) และทุกๆ 3 วัน เป็นเวลา 18 วัน โดยบันทึกค่า การสูญเสียน้ำหนัก (%) ความแน่นเนื้อด้วยเครื่องวัดความแน่นเนื้อ (Effegi, Japan) ปริมาณกรดที่ต่ำต่ำได้ (%) ด้วยวิธีการไตรเตอร์และใช้ค่าสมมูลของกรด Citric acid (0.064) ในกระบวนการปริมาณของเชิงทั้งหมดที่ละลายน้ำได้ (%) ด้วยเครื่อง Hand-held refractometer (Atago, Japan) ปริมาณแคนโน่ไซยานิน (anthocyanin) ของเปลือกผลเงาะ ด้วยเครื่อง Spectrophotometer (Shimadzu, Japan) โดยตัดแปลงจากวิธีของ Zheng and Tian (2006) ทำการวัดค่าคุณลักษณะที่ 530 620 และ 650 nm ตามลำดับ และคำนวณหาปริมาณสารแคนโน่ไซยานิน ตามสูตร  $\Delta A g^{-1} FW = (A530 - A620) - 0.1 (A650 - A620)$  การประเมินค่าค่าคะแนนความสดของผล 5 ระดับ (5 = สูงที่สุด และ 1 = ต่ำที่สุด) และค่าคะแนนการเกิดขันดำเนิน 5 ระดับ (1 = น้อยที่สุด และ 5 = มากที่สุด) ทำการวิเคราะห์ข้อมูลด้วยโปรแกรมสำเร็จรูปทางสถิติด้วยวิธี Least Significant Difference (LSD) ที่ระดับความเชื่อมั่น 95%

## ผลและวิจารณ์ผล

ผลการทดลองพบว่าเงาะในชุดควบคุม (Control) มีการสูญเสียน้ำหนักที่สูงกว่าเงาะที่บรรจุในกล่องบรรจุแบบดัดแปลงบรรยายการด้วยหน้าต่างชิลลิโคน (MA\_Si-mb) ทุกขนาดหน้าต่างอย่างมีนัยสำคัญทางสถิติ ( $p \leq 0.05$ ) ตั้งแต่วันที่ 3 ของการเก็บรักษา (Figure 1a) โดยเงาะในชุดควบคุมมีการสูญเสียน้ำหนักสูงกว่าประมาณ 10 เท่า ขณะที่เงาะที่บรรจุในกล่องบรรจุ MA\_Si-mb ทุกขนาดหน้าต่างมีการสูญเสียน้ำหนักต่ำ (น้อยกว่า 3%) ตลอดอายุการเก็บรักษา และสามารถเก็บรักษาได้อย่างน้อย 15 วัน ขณะที่เงาะในชุดควบคุมมีอายุการเก็บรักษาเพียง 9 วัน ที่อุณหภูมิ  $15 \pm 3$  °C เงาะที่บรรจุในกล่องบรรจุแบบ MA\_Si-mb ขนาดหน้าต่าง  $2 \times 2$  cm<sup>2</sup> มีความแน่นเนื้อสูงกว่าเงาะในชุดควบคุมอย่างมีนัยสำคัญทางสถิติ ( $p \leq 0.05$ ) ในวันที่ 6 และ 9 ของการเก็บรักษา แต่ไม่แตกต่างกับเงาะที่บรรจุในกล่องบรรจุแบบ MA\_Si-mb อีกทั้งสองขนาด (Figure 1b) ขณะที่

ปริมาณของแข็งทั้งหมดที่ละลายน้ำได้ของเงาะในทุกสิ่งทดลองลดลงเล็กน้อยระหว่างการเก็บรักษา โดยเงาะในชุดควบคุมมีปริมาณของแข็งทั้งหมดที่ละลายน้ำได้สูงกว่าเงาะที่บรรจุในกล่องบรรจุ MA\_Si-mb ขนาดหน้าต่าง  $2 \times 2 \text{ cm}^2$  อย่างมีนัยสำคัญทางสถิติ ( $p \leq 0.05$ ) ในวันที่ 6 ของการเก็บรักษา และสูงกว่าเงาะที่บรรจุในกล่องบรรจุ MA\_Si-mb ขนาดหน้าต่าง  $1 \times 1 \text{ cm}^2$  ในวันที่ 9 ของการเก็บรักษา (Figure 1c) ปริมาณกรดที่ได้จากการเก็บรักษา ได้ขึ้นของเงาะในทุกสิ่งทดลองเปลี่ยนแปลงเล็กน้อยตลอดอายุการเก็บรักษาและไม่มีความแตกต่างในทางสถิติ ยกเว้นในวันที่ 18 ของการเก็บรักษาปริมาณกรดที่ได้จากการเก็บรักษาในกล่องบรรจุแบบ MA\_Si-mb ขนาดหน้าต่าง  $1.5 \times 1.5 \text{ cm}^2$  สูงกว่าเงาะที่บรรจุในกล่องบรรจุแบบ MA\_Si-mb ขนาดหน้าต่าง  $1.5 \times 1.5 \text{ cm}^2$  และ  $2 \times 2 \text{ cm}^2$  อย่างมีนัยสำคัญทางสถิติ ( $p \leq 0.05$ ) (Figure 1d)

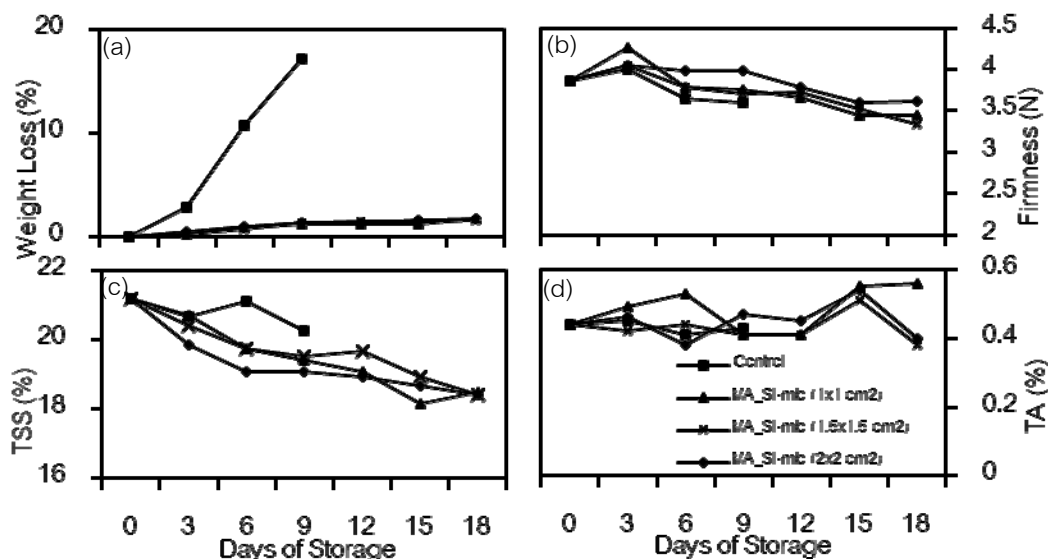


Figure 1 Weight loss (a), firmness (b), total soluble solids (c), and titratable acidity (d) of 'Reong Rean' rambutan fruit after storing in modified atmosphere chambers with different silicone membrane window size (MA\_Si-mb) for 15 days at 15°C

ปริมาณแอนโธไซานินในเปลือกเงาะลดลงจากค่าเริ่มต้นในทุกสิ่งทดลองตั้งแต่วันที่ 6 ของการเก็บรักษา เงาะในชุดควบคุมและเงาะที่บรรจุในกล่องบรรจุ MA\_Si-mb ทุกขนาดหน้าต่าง มีปริมาณแอนโธไซyanin แตกต่างกันอย่างมีนัยสำคัญทางสถิติ ( $p \leq 0.05$ ) ในวันที่ 6 และ 9 ของการเก็บรักษา โดยในวันที่ 9 ของการเก็บรักษา เงาะในชุดควบคุมมีปริมาณแอนโธไซyanin ต่ำที่สุด (Table 1) ส่วนค่าค่าคะแนนความสดของเงาะในชุดควบคุมลดลงอย่างรวดเร็วจากค่าเริ่มต้น ในขณะที่เงาะที่เก็บในกล่องบรรจุ MA\_Si-mb ทุกขนาดหน้าต่างมีค่าคะแนนความสดสูงกว่าเงาะในชุดควบคุมอย่างมีนัยสำคัญทางสถิติ ( $p \leq 0.05$ ) ในช่วงระยะเวลา 6-9 วันของการเก็บรักษา (Figure 2a) ขณะที่ค่าคะแนนการเกิดชน้ำของเงาะในชุดควบคุมเพิ่มขึ้นอย่างรวดเร็วจากค่าเริ่มต้นและมีค่าสูงกว่าเงาะที่บรรจุในกล่องบรรจุ MA\_Si-mb ทุกขนาดหน้าต่างอย่างมีนัยสำคัญทางสถิติ ( $p \leq 0.05$ ) (Figure 2b) เงาะที่บรรจุในกล่องบรรจุ MA\_Si-mb ทุกขนาดหน้าต่างมีค่าคะแนนความสดและค่าคะแนนขี้นไม่แตกต่างกันจนวันสุดท้ายของการเก็บรักษา

Table 1 Changes of anthocyanin content of 'Reong Rean' rambutan fruit peel after storing in modified atmosphere chambers with different silicone membrane window size (MA\_Si-mb) for 15 days at 15°C

Treatment	Initial	Anthocyanin Contents ( $\Delta A \text{ g}^{-1} \text{ FW}$ ) <sup>1</sup>					
		Day 3	Day 6	Day 9	Day 12	Day 15	Day 18
Control	0.42	0.48	0.31ab	0.22b	-	-	-
MA_Si-mb (1x1 cm <sup>2</sup> )	0.42	0.53	0.33a	0.37a	0.34	0.32	0.25
MA_Si-mb (1.5x1.5 cm <sup>2</sup> )	0.42	0.42	0.29ab	0.38a	0.28	0.33	0.31
MA_Si-mb (2x2 cm <sup>2</sup> )	0.42	0.37	0.21b	0.28a	0.26	0.31	0.32
F-test	-	ns	*	*	ns	ns	ns
CV (%)	-	25.83	20.57	28.14	15.82	37.69	18.54

<sup>1, ns</sup> Significant or non-significant at 95% level1

Means within the same column with different letters are significantly different at 95% level

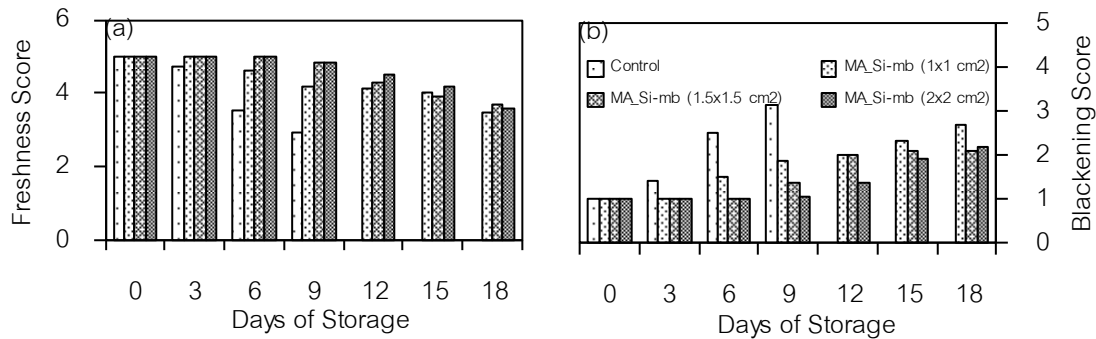


Figure 2 Freshness score (a) and spintern blackening score (b) of 'Reong Rean' rambutan fruit after storing in modified atmosphere chambers with different silicone membrane window size (MA\_Si-mb) for 15 days at 15°C

กล่องบรรจุแบบ MA\_Si-mb ทุกขนาดหน้าต่างสามารถรักษาคุณภาพและยืดอายุการเก็บรักษาผลเงาะได้ดีกว่าชุดควบคุม เนื่องมาจากการล่องตั้งกล่าวสามารถรักษาไว้ดับความชื้นภายในให้อยู่ในระดับที่สูงเนื่องจากบีดสนิท ทำให้ผลเงาะมีการคายน้ำน้อยกว่าผลที่ไม่ได้บรรจุลงในกล่อง จึงช่วยลดการเกิดขันดำและรักษาสภาพความสดได้ดี ซึ่งจากการศึกษาของ Landrigan *et al.* (1994) พบว่าอัตราการคายน้ำผ่านปากใบที่ขันและเปลือกผลมีความสัมพันธ์กับการเปลี่ยนแปลงของสีขัน และเปลือกผลเงาะ นอกจากนี้ การเกิดขันดำที่สูงของเงาะในชุดควบคุมน่าจะสัมพันธ์กับการลดลงของปริมาณแอนโไฮเดรียนที่อยู่ในเปลือกที่สูงกว่า ดังรายงานการเกิดผลสีน้ำตาลของผิวผลลินเจที่สัมพันธ์กับการเปลี่ยนแปลงของปริมาณแอนโไฮเดรียนที่ผิวผล (Zheng and Tian, 2006) ดังนั้น ประเด็นดังกล่าวควรมีการศึกษาเพิ่มเติมถึงความสัมพันธ์ของการเปลี่ยนแปลงของปริมาณแอนโไฮเดรียนกับการเกิดขันดำในเงาะ อย่างไรก็ตาม ในวันสุดท้ายของการเก็บรักษา (18 วัน) พบว่ามีการเข้าทำลายของเชื้อโรคในผลเงาะบางส่วน ดังนั้น จึงควรมีการทดสอบก่อนบรรจุดังกล่าวร่วมกับวิธีการควบคุมโรคที่เหมาะสมหรือการใช้ร่วมกับของควบคุมที่สามารถควบคุมโรคได้ น่าจะสามารถเพิ่มประสิทธิภาพและยืดอายุการเก็บรักษาผลเงาะโรงเรียนได้นานขึ้นกว่าเดิม

## สรุป

lorsqueที่บรรจุในกล่องบรรจุ MA\_Si-mb ทุกขนาดหน้าต่างสามารถคงคุณภาพได้ดีกว่าในชุดควบคุม โดยมีการสูญเสียน้ำหนักที่ต่ำกว่า มีค่าความ溋分เนื้อที่สูง มีค่าคงทนความสดที่สูง ขณะที่ค่าคงทนขันดำที่ต่ำกว่า และมีปริมาณแอนโไฮเดรียนที่เปลือกผลสูงกว่าเงาะในชุดควบคุมอย่างมีนัยสำคัญ โดยเงาะที่บรรจุในกล่องบรรจุ MA\_Si-mb ทุกขนาดหน้าต่างมีความสามารถเก็บรักษาได้อย่างน้อย 15 วัน ขณะที่เงาะในชุดควบคุมเก็บรักษาได้เพียง 9 วัน ที่อุณหภูมิ  $15 \pm 3^{\circ}\text{C}$

## คำขอบคุณ

งานวิจัยนี้ได้รับเงินทุนสนับสนุนจากงบประมาณเงินรายได้ประจำปีงบประมาณ 2561 จากคณะกรรมการวิทยาศาสตร์ มหาวิทยาลัยอุบลราชธานี ผู้วิจัยได้ร่วมขอขอบพระคุณคณะกรรมการวิทยาศาสตร์ ที่นี่ด้วย

## เอกสารอ้างอิง

- เรวติ ชัยราช. 2553. การพัฒนาและประยุกต์ใช้กล่องบรรจุแบบดักแปลงบรรจุภัณฑ์โดยใช้หน้าต่างชิลลิคอนเมมbrane ในการรักษาคุณภาพและยืดอายุการเก็บรักษาผลไม้ไทย. รายงานการวิจัยปีงบประมาณ 2552 ศูนย์นวัตกรรมเทคโนโลยีหลังการเก็บเกี่ยว มหาวิทยาลัยเชียงใหม่. 41 หน้า.
- Chauhan, O.P., P.S. Raju, D.K. Dasgupta and A.S. Bawa. 2006. Passive modified atmosphere packaging of banana (Cv. Cavendish) using silicone membrane. Am. J. Food Technol. 1 (2): 129-138.
- Landrigan, M., V. Sarafis, S.C. Morris and W.B. McGlasson. 1994. Structural aspects of rambutan fruits and their relation to postharvest browning. J. Hort. Sci. 69:571-579.
- Stewart, O.J., G.S.V. Raghavan, D.G. Kerith and Y. Gariepy. 2005. MA storage of Cavendish bananas using silicone membrane and diffusion channel systems. Postharvest Biol. Technol. 35, 309 – 317.
- Zheng, X. and S. Tian. 2006. Effect of oxalic acid on control of postharvest browning of litchi fruit. Food Chem. 96: 519-523.

## การใช้สารละลายน้ำไดย์มเมต้าไบซัลไฟต์และกรดออกซิลิกเพื่อลดการเกิดสีน้ำตาลของเปลือกผลลำไย ระหว่างการเก็บรักษา

**Applications of Sodium Metabisulfite and Oxalic Acid to Reduce the Pericarp Browning of Longan during Storage**

จุฑามาศ พร้อมบุญ<sup>1</sup> กาญจนा วรรายา<sup>2</sup> ปฐมพงศ์ เพ็ญไชยา<sup>2</sup> สมโภชน์ น้อยจินดา<sup>3</sup> และ เฉลิมชัย วงศ์อารี<sup>1,2</sup>  
Juthamard Promboon<sup>1</sup>, Kanjana Worarad<sup>2</sup>, Pathompong Penchaiya<sup>2</sup> Sompoch Noichinda<sup>3</sup> and Chalermchai Wongs-Aree<sup>1,2</sup>

### Abstract

The development in finding appropriate alternative postharvest technologies to reduce sulfur dioxide fumigation on long browning and decay control is a real challenge. In the present experiment, 'E-dor' longan was trimmed to be individual fruit and then dipped in 1.0% oxalic acid (OA) containing 1.0% (1.0% SMS) or 2.5% sodium metabisulfite (2.5%SMS) for 5 min, compared to  $\text{SO}_2$  fumigated and nontreated fruit. All fruit was stored at 5°C, 90-95% RH. After treatments of  $\text{SO}_2$  and SMS+OA, fruit peels changed to brighter yellow colour compared to nontreated control. Peel of control turned brown quickly after storage, and SMS+OA fruit peels gradually changed to brown within 9 days, whereas  $\text{SO}_2$  treated fruit remained bright yellow with slight changes in the peel colour throughout storage of 15 days. Pulp soluble solid contents were stable in each treatment. Furthermore, disease incidence was 8.0% in control, 5.6% in 1.0% SMS+OA, and 1.3% in 2.5% SMS+OA on day 15, while it was not found in  $\text{SO}_2$  treatment. Nevertheless, sulfur-containing compounds were detected in the peel of  $\text{SO}_2$  fumigated fruit at 1,200-1,300 ppm throughout storage and in the pulp at 72.8 ppm at the first 6 days. On the other hand, it was less than 10 ppm in the peel and undetectable in the pulp of SMS+OA treated fruit during storage.

**Keywords:** longan, E-dor,  $\text{SO}_2$  fumigation replacement, oxidizing agents, pericarp browning

### บทคัดย่อ

การพัฒนาเทคโนโลยีทางการเก็บเกี่ยวที่เหมาะสมเพื่อทดแทนการรวมด้วยซัลเฟอร์ไดออกไซด์ในการควบคุมการเกิดสีน้ำตาลและการเน่าเสียของผลไม้เป็นสิ่งที่ท้าทายสำหรับงานวิจัยทางด้านวิทยาการหลังการเก็บเกี่ยว ในการทดลองนี้นำผลลำไยพันธุ์ดีอสเมด้าตัดชิ้นให้เป็นผลเดี่ยวแล้วแช่สารละลายน้ำไดย์มเมต้าไบซัลไฟต์ (SMS) ร้อยละ 1.0 (1.0%SMS+OA) หรือ 2.5 (2.5%SMA+OA) นาน 5 นาที เปรียบเทียบกับผลที่รอมซัลเฟอร์ไดออกไซด์ ( $\text{SO}_2$ ) ทางการค้า และผลปกติ (nontreated control) แล้วนำไปเก็บรักษาไว้ที่อุณหภูมิ 5 องศาเซลเซียส ความชื้นสัมพัทธิ์ร้อยละ 90-95 หลังการทำที่หเมนต์เปลือกลำไยที่แช่ SMS+OA และที่รอม  $\text{SO}_2$  เปลี่ยนไปเป็นสีเหลืองและสว่างมากขึ้นเมื่อเทียบกับผลควบคุม โดยเปลือกผลสุดควบคุมเปลี่ยนไปเป็นสีน้ำตาลอ่อนจากเดิมสีน้ำตาลใน 9 วัน ในขณะที่รอม  $\text{SO}_2$  สีเปลือกยังคงเหลืองสว่างและมีค่าการเปลี่ยนแปลงสีเพียงเล็กน้อยตลอดการเก็บรักษา 15 วัน ค่าของแข็งที่ละลายน้ำได้ของเนื้อในแต่ละชุดการทดลองค่อนข้างคงที่ นอกเหนือน้ำผลลำไยในชุดควบคุมการเกิดโรค 8.0%, 1%SMS+OA เกิด 5.6% และ 2.5%SMS+OA พบร 1.3% ในวันที่ 15 ในขณะที่ผลที่รอม  $\text{SO}_2$  ไม่มีการเกิดโรค อ่อน弱ตามผลที่รอม  $\text{SO}_2$  มีสารซัลเฟอร์ตกค้างในเปลือก 1,200-1,300 ppm ตลอดการเก็บรักษา ส่วนในเนื้อพบร 72.8 ppm ในช่วง 6 วันแรก ส่วนผลที่แช่ SMS+OA มีซัลเฟอร์ตกค้างในเปลือกน้อยกว่า 10 ppm และไม่พบสารตกค้างในเนื้อตลอดการเก็บรักษา

**คำสำคัญ:** ลำไย จัดการหลังการเก็บเกี่ยว การลดการเกิดสีน้ำตาลของเปลือกผล

<sup>1</sup> สาขาวิชาเทคโนโลยีหลังการเก็บเกี่ยว คณะทรัพยากรีเวิร์กและเทคโนโลยี มหาวิทยาลัยเทคโนโลยีพระจอมเกล้าธนบุรี (บางเขน) กรุงเทพฯ 10150

<sup>1</sup> Division of Postharvest Technology, School of Bioresources and Technology, King Mongkut's University of Technology Thonburi (Bangkunthien), Bangkok 10150

<sup>2</sup> ศูนย์นวัตกรรมเทคโนโลยีหลังการเก็บเกี่ยว กระทรวงอุตสาหกรรมสึกษา วิทยาศาสตร์ วิจัยและนวัตกรรม กรุงเทพมหานคร 10400

<sup>2</sup> Postharvest Technology Innovation Center, Ministry of Higher Education, Science, Research and Innovation, Bangkok 10400

<sup>3</sup> สาขาวิชาเทคโนโลยีอุตสาหกรรมเกษตร คณะวิทยาศาสตร์ประยุกต์ มหาวิทยาลัยเทคโนโลยีพระจอมเกล้าพระนครเหนือ กรุงเทพฯ 10800

<sup>3</sup> Division of Agro-Industrial Technology, Faculty of Applied Science, King Mongkut's University of Technology North Bangkok, Bangkok 10800

บทนำ

ประเทศไทยมีศักยภาพสูงในการผลิตและส่งออกกล้าไยสด ไทยส่งออกกล้าไยเป็นอันดับ 1 ของโลก ปริมาณการส่งออกกล้าไยในปี พ.ศ. 2562 (ก่อนเข้าสู่วิกฤตเชื้อโคโรนาไวรัสระบาดในปี 2563) รวมทั้งสิ้น 28,904 ล้านบาท โดยตลาดส่งออกที่สำคัญ คือ จีน และอินโดนีเซีย เป็นต้น (กรมการค้าต่างประเทศ, 2564)

อย่างไรก็ตาม สำหรับการเก็บรักษาเพียง 2-3 วัน ผู้ผลิตจึงเปลี่ยนเป็นสีน้ำตาลและเน่าเสียง่าย จึงมีการรวมสำหรับด้วยแก๊สชัลฟอร์ไดออกไซด์ ( $SO_2$ ) เพื่อให้เปลือกสหัสและช่วยยืดอายุการเก็บรักษาได้นานขึ้น แต่มักมี  $SO_2$  ตกค้างในสำหรับในปริมาณที่มีผลเสียต่อสุขภาพ (Subhadrabandhu and Yapwattanaphun, 2000; Jiang et al., 2002) โดยกฎหมายระหว่างประเทศอนุญญาตให้มี  $SO_2$  ตกค้างในอาหารได้ไม่เกิน 50 ppm (FAO/WHO, 2006) ดังนั้นจึงมีการพยายามหาวิธีที่จะนำมาทดแทนการรวม  $SO_2$  มีทั้งการใช้กรดอินทรีย์ เช่น กรดซิตริก ไอโอดิคลอริก และออกชาลิก (OA) หรือสารในกลุ่ม reducing agents เช่น โซเดียมเมต้าไบชัลไฟต์ (SMS) ซึ่งยับยั้งการเกิดปฏิกิริยาสีน้ำตาลในผักและผลไม้ได้ การใช้ OA กับมะพร้าวตัดแต่งช่วยลดการเปลี่ยนแปลงสีของเปลือกมะพร้าวได้ดี แต่ยังต้องกว่าการใช้ SMS (ลัดดาวัลย์ และคณะ, 2552) การแช่น้ำมะพร้าวน้ำหนาของตัดแต่งใน OA เช่น ขันร้อยละ 2.5 ร่วมกับโซเดียมคลอโรไรด์เข้มข้นร้อยละ 4 นาน 5 นาที ก่อนการเก็บรักษาสามารถยับยั้งการเกิดสีน้ำตาลและการเกิดโรคได้ดีไม่แตกต่างจากการแช่ใน SMS เช่น ขันร้อยละ 3 (พนิดา และคณะ, 2554) ดังนั้น งานวิจัยนี้จึงมุ่งศึกษาแนวทางการใช้สารโซเดียมเมต้าไบชัลไฟต์ (SMS) ร่วมกับกรดออกชาลิก (OA) กับผลสำหรับเพื่อเป็นแนวทางในการยืดอายุของตัดแต่งแทนการรวมชัลฟอร์ไดออกไซด์ในโซคุปทานเพื่อการคำปรึกษาทั้งในประเทศและภาระส่งออก

## อปกรณ์และวิธีการ

นำผลลำไยพันธุ์ดอสต์ที่ไม่ผ่านการรวมสารชั้ลเพอร์ไดออกไซด์จากสวนในจังหวัดจันทบุรี ขนาดส่งโดยรถห้องเย็นมาปั้งห้องปฏิบัติการเทคโนโลยีหลังการเก็บเกี่ยว มหาวิทยาลัยเทคโนโลยีพระจอมเกล้าธนบุรี กรุงเทพมหานคร ทำการคัดเลือกลำไยโดยแยกผลลำไยออกจากก้าน จากนั้นนำไปล้างทำความสะอาด และแช่ในสารคลอรอกซ์ (Clorox) เข้มข้น 200 ppm เพื่อทำการฆ่าเชื้อเบื้องต้น และผึ้งให้แห้งด้วยพัดลม จากนั้นนำลำไยที่แห้งแล้วมาแบ่งเป็นชุดการทดลองได้ดังนี้

- ชุดการทดลองที่ 1 ผลปกติที่ไม่ผ่านการรวมสารขั้ลเฟอร์ไดออกไซด์ และแข็งสารได ๆ (ชุดควบคุม)

ชุดการทดลองที่ 2 ผลที่ผ่านการรวม  $\text{SO}_2$  จากโรงคัดบราวน์ตามระบบการค้า

ชุดการทดลองที่ 3 ผลที่แข็ง OA เข้มข้นร้อยละ 1 ที่มี SMS ร้อยละ 1 นาน 10 นาที

ชุดการทดลองที่ 4 ผลที่แข็ง OA เข้มข้นร้อยละ 1 ที่มี SMS ร้อยละ 2.5 นาน 10 นาที

นำผลลำไยทั้งหมดมาเก็บรักษาไว้ที่อุณหภูมิ 5 องศาเซลเซียส ความชื้นสัมพัทธ์ร้อยละ 90-95 ตรวจสอบการเปลี่ยนแปลงสีเปลือก (โดยเครื่อง Minolta รุ่น CR-400), อัตราการเปลี่ยนแปลงสีเปลือก ( $\Delta E$ ), ปริมาณของเยื่องทั้งหมดที่ละลายได้ของเนื้อ (โดยเครื่อง digital refractometer), การสูญเสียคุณภาพของผลลำไยจากการเกิดเชื้อร้า (%Fungal incidence =  $(\text{จำนวนผลลำไยที่เกิดเชื้อร้า} / \text{จำนวนผลลำไยทั้งหมด}) \times 100$ ) และ รินามาสราะค่าตัวเพอร์เซ็นต์ค้างในผล

## ผลการทดลองและวิจารณ์ผล

หลังการทำที่เมนต์เปลือกลำไยที่蘸่ SMS+OA และที่รرم SO<sub>2</sub> เปลี่ยนไปเป็นสีเหลือง และสว่างมากขึ้นอย่างเด่นชัด เมื่อเทียบกับผลปกติที่ไม่ได้ใช้สาร โดยมีค่า L\* และ hue angle ที่มากขึ้น (Figure 1 A และ B) โดยเปลือกผลชุดควบคุมเปลี่ยนไปเป็นสีน้ำตาลอ่อนรวดเร็วหลังการเก็บรักษา ส่วนเปลือกลำไยที่蘸่สาร SMS+OA ค่อนข้างเปลี่ยนไปเป็นสีน้ำตาลมากขึ้นภายใน 9 วัน และไม่แตกต่างกันในทั้ง 2 ระดับ แต่ผลที่蘸่ 1%SMS+OA มีสีสดและอ่อนกว่า 2.5%SMS+OA เล็กน้อย (Figure 1 C) ในขณะที่ลำไยที่รرم SO<sub>2</sub> สีเปลือกยังคงเหลืองสว่างและมีค่าการเปลี่ยนแปลงสีเพียงเล็กน้อยตลอดการเก็บรักษา 15 วัน (Figure 1 D) SO<sub>2</sub> และ SMS เป็นสารในกลุ่ม reducing agents ที่สูญเสียอิเล็กตรอนในการทำปฏิกิริยา ทั้ง SO<sub>2</sub> และ SMS สามารถใช้ฟอกสีในผ้า ผลไม้ และอาหารให้มีสีดีลงหรือสว่างขึ้น โดยสารชัลเฟอร์มิผลลด chromophoric carbonyl group ของเม็ดสี นอกจากนี้สารประกอบชัลเฟอร์นี้ยังลดบทบาทการใช้ออกซิเจนและยับยั้งกิจกรรมของเอนไซม์ออกซิเดสในปฏิกิริยาการเกิดสีน้ำตาล เนื่องจาก SO<sub>2</sub> เป็น reducing agents ที่แรงมาก (Castle, 2004) ส่วน OA มีฤทธิ์เป็น acidulate ทำให้ pH ของเซลล์ลดลงซึ่งมีผลยับยั้งกิจกรรมของเอนไซม์ออกซิเดสได้เข่นกัน (ลัดดาวัลย์, 2552) ดังผลการทดลองของพรพรรณ

ทิพ แฉะຄุณ (2549) พบว่าการแช่ผลลำไยสดใน SMS เข้มข้นร้อยละ 7.5 ร่วมกับการแช่ OA เข้มข้นร้อยละ 5 นาน 5 นาที ช่วยชะลอการเปลี่ยนสีผิวเปลือกลำไยและสีเมื่อความสัมภ์เสียหาย

ค่าของแข็งที่ละลายน้ำได้ของเนื้อในแต่ละชุดทดลองค่อนข้างคงที่โดยมีค่าในช่วง 19-20 %Brix ตลอดการเก็บรักษา (Figure 2A) นอกจากนี้ผลลำไยในชุดควบคุมเกิดโรคร้อยละ 8 ส่วน 1%SMS+OA เกิดร้อยละ 5.6 และ 2.5%SMS+OA พบร้อยละ 1.3 ในวันที่ 15 ในขณะที่ผลที่รอม SO<sub>2</sub> ไม่มีการเกิดโรคระหว่างการเก็บรักษา เนื่องมาจากฤทธิ์ในการฟอกเยื่อบริเวณและเขื้อร้าที่ดีของสารประกอบชั้ลเฟอร์ (Nwachukwu *et al.*, 2012)

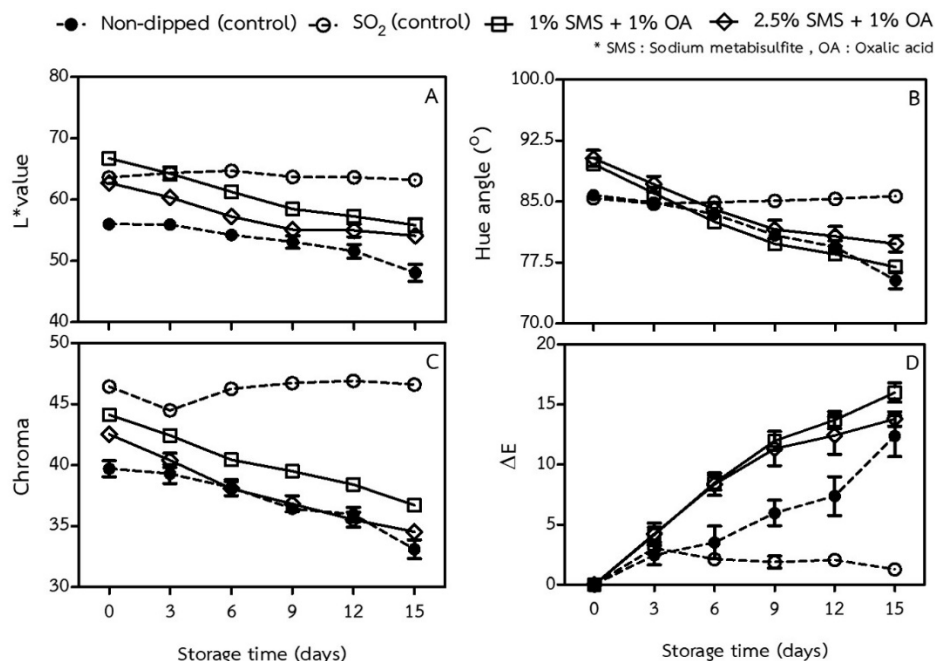


Figure 1 Changes in peel colours in L\* values (A), hue angles (B), chroma (C), and  $\Delta E$  (D) of longan fruit commercially fumigated with SO<sub>2</sub>, or dipped in 1%SMS+1%OA or 2.5%SMS+1%OA compared to non-treated control, and then stored at 5°C, 90-95% RH.

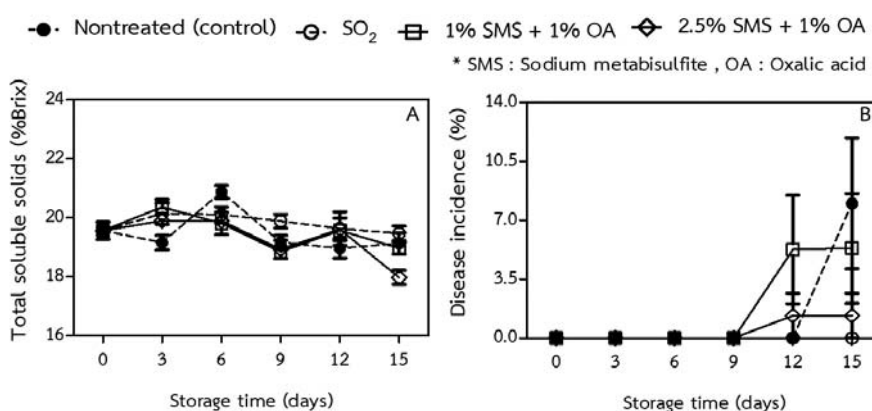


Figure 2 Changes in pulp soluble solids (A), and disease incidence (B) of longan fruit commercially fumigated with SO<sub>2</sub>, or dipped in 1%SMS+1%OA or 2.5%SMS+1%OA compared to non-treated control, and then stored at 5°C, 90-95% RH.

อย่างไรก็ตามผลลำไยที่รอม SO<sub>2</sub> มีสารชัลเฟอร์ตกค้างในเปลือก 1,200-1,300 ppm ตลอดการเก็บรักษา ส่วนในเนื้อพบร 72.8 ppm ในช่วง 6 วันแรกแต่ตรวจไม่พบในวันที่ 15 ส่วนผลที่แช่ SMS+OA มีชัลเฟอร์ตกค้างในเปลือกน้อยกว่า 10 ppm และไม่พบสารตกค้างในเนื้อตลอดการเก็บรักษา ยังคงเป็นเรื่องท้าทายอย่างมากในการหาวิธีการอื่นแทนการรวมด้วย SO<sub>2</sub> เพื่อป้องกันการเก็บรักษาผลลำไยสด หากผู้บริโภคยังไม่เป็นเปลี่ยนทัศนคติในการบริโภค อย่างไรก็ต้องการแช่ผลลำไยใน 1%SMS+

1%OA ช่วยรักษาคุณภาพผลลำไยหลังเก็บเกี่ยว และเป็นวิธีการทางเลือกหนึ่งเพื่อทดแทนการรวมด้วย  $\text{SO}_2$  โดยอาจนำไปใช้ร่วมกับวิธีการอื่นๆ ในการเก็บรักษาผลลำไยสดต่อไป

**Table 1** Sulfur compounds remaining in fruit parts of longan commercial fumigated with  $\text{SO}_2$  or dipped in 1%SMS + 1%OA and stored at 5°C, 90-95% RH

Treatments	Fruit Part	Sulfur compounds (mg/kg FW)		
		D0	D6	D15
$\text{SO}_2$	Pericarp	1,247.9±40.4	1,197.5±3.6	1,310.3±14.2
	Pulp	35.6±2.8	110.0±19.0	ND
1%SMS	+	Pericarp	<10	<10
1%OA		Pulp	ND	ND

### สรุปผลการทดลอง

การแข่งผลลำไยใน 1%SMS+1%OA และ 2.5%SMS+1%OA จะลดลงการเกิดสีน้ำตาลในระหว่างการเก็บรักษาที่ 5 องศาเซลเซียสได้นาน 9 วัน เมื่อเปรียบกับผลปกติที่เปลือกคล้ำตั้งแต่วันแรกของการเก็บรักษา ขณะที่การรวม  $\text{SO}_2$  สามารถยับยั้งการเกิดสีน้ำตาลได้ดีตลอดการเก็บรักษา แต่มีสารชั้บเฟอร์ติกค้างในผลสูง

### คำขอบคุณ

งานวิจัยนี้ได้รับเงินสนับสนุนจากศูนย์นวัตกรรมเทคโนโลยีหลังการเก็บเกี่ยว กระทรวงการอุดมศึกษา วิทยาศาสตร์ วิจัยและนวัตกรรม (รหัสโครงการ PS.P.8/2561) และขอขอบคุณ UGSAS, Gifu University, Japan สำหรับคุปกรโน๊ วิทยาศาสตร์ในการทำงานวิจัยครั้งนี้

### เอกสารอ้างอิง

- กรมการค้าต่างประเทศ. 2564. สินค้าที่มีมาตรฐาน นำเข้า-ส่งออก-นำผ่าน – ลำไยสด. [ออนไลน์]. แหล่งที่มา : <https://www.dft.go.th/th/Search-Results?search=%E0%B8%A5%E0%B8%84%E0%B8%A2> (27 May 2021).
- พรรณทิพา บุญอินทร์, กานดา วงศ์ชัย, กอบเกียรติ แสงนิล และจำนาค อุทัยบุตร. 2549. ผลของสารยับยั้งการเกิดสีน้ำตาลต่อสีเปลือกและคุณภาพของผลลำไยพันธุ์อ่อนหัวระหว่างการเก็บรักษา. วารสารวิทยาศาสตร์เกษตรฯ. 37(5 พิเศษ): 144-147.
- พนิดา พวงพันธ์, ชัยรัตน์ เดชวุฒิพง, อภิรดี อุทัยรัตนกิจ, ผ่องเพ็ญ จิตอาเรียร์ตัน และวาริช ศรีละออง. 2554. การใช้สารตัดแทนโซเดียมเมตาไบฟัลก์เพื่อยับยั้งการเกิดสีน้ำตาลในมะพร้าวน้ำหอม. วารสารวิทยาศาสตร์เกษตรฯ 42 (3 พิเศษ): 53-56.
- ลัดดาวัลย์ โภวิทย์เจริญ, วาริช ศรีละออง, เฉลิมชัย วงศ์อารี, ผ่องเพ็ญ จิตอาเรียร์ตัน และ ชัยรัตน์ เดชวุฒิพง. 2552. การยับยั้งการเกิดสีน้ำตาลบนเปลือกมะพร้าวน้ำหอมโดยใช้สารป้องกันการเกิดสีน้ำตาล. วารสารวิทยาศาสตร์เกษตรฯ 40 (3 พิเศษ) : 315-318.
- Castle, M.S.L. 2004. Chemical Interactions between additives in foodstuffs: A Review. Food Additives and Contaminants 21(2): 93-124.
- FAO/WHO. 2006. Codex Alimentarius. Codex General Standard for Food Additives. CODEX STAN 192-1995, Rev. 7-2006. 120 pp.
- Jiang, Y., Z. Zhang, D.C. Joyce and S. Ketsa. 2002. Postharvest biology and handling of longan fruit (*Dimocarpus longan* Lour.). Postharvest Biology and Technology 26: 241-252.
- Nwachukwu, I.D., A.J. Slusarenko and M.C.H. Gruhlke. 2012. Sulfur and sulfur compounds in plant defence. Natural Product Communications 7(3): 395-400.
- Subhadrabandhu, S. and C. Yap Wattanaphun. 2000. Lychee and longan production in Thailand. The First International Symposium on Litchi and Longan, Guangzhou, China, 19-23 June, 2000.446 p.

**ผลของแคลเซียมคลอไรด์และบรรจุภัณฑ์สภาพบรรยายการแบบดัดแปลงต่อคุณภาพ  
ของลำไยสดพร้อมบริโภค**

**Effects of Calcium Chloride and Modified Atmosphere Packaging on Qualities of Fresh-cut Longan**

สิทธิชัย เตชะดิลก<sup>1</sup> กัลย์ กัลยาณมิตร<sup>1,2</sup> อิดารัตน์ แก้วคำ<sup>1,3</sup> แพรวพรรณ จอมงาม<sup>1,3</sup> และ ดวงใจ น้อยวัน<sup>1,3\*</sup>  
Sittichai Techadilok<sup>1</sup>, Kal Kalayanamitra<sup>1,2</sup>, Tidarat Kaewkham<sup>1,3</sup>, Praewphan Jomngam<sup>1,3</sup> and Duangjai Noiwan<sup>1,3\*</sup>

**Abstract**

Effect of calcium chloride on sensory quality and overall acceptability of fresh-cut longan was investigated. The fruit were peeled, and seeds were removed prior to dipping the pulp into calcium chloride ( $\text{CaCl}_2$ ) solution at 0.5, 1.0, 1.5 and 2.0% w/v for 2 min. Pulp firmness and sensory quality were determined and compared with control treatment (without  $\text{CaCl}_2$  dipping). Fresh-cut longan dipped in  $\text{CaCl}_2$  at 2.0% w/v had the highest pulp firmness compared to those values from dipping at 1.5, 1.0, 0.5% w/v and control, respectively. As for overall acceptability evaluation, longan pulp dipped in  $\text{CaCl}_2$  at 1.5% w/v gave the highest acceptability score, while dipping at a higher concentration provided negative effects on odor and sweetness. Effect of modified atmosphere packaging (MAP) on qualities of fresh-cut longan was investigated. Fresh-cut longan (dipped in  $\text{CaCl}_2$  solution at 1.5% w/v) was placed on a plastic tray and subsequently over-wrapped by polyethylene (PE) or microperforated polyethylene (MPE) films compared with control. The samples were thereafter stored at 5 °C, RH 95%. Changes of oxygen and carbon dioxide concentrations, weight loss, soluble solid content, and color were daily evaluated. The results showed that packing fresh-cut longan pulp with PE and MPE could reduce  $\text{O}_2$  and induce  $\text{CO}_2$  concentration in the package headspace. For instance, the packaging treatments could also delay the changes of weight loss, soluble solid content, and color. To sum up, the uses of  $\text{CaCl}_2$  and MAP could effectively maintain fresh-cut longan quality.

**Keywords:** fresh-cut longan, calcium chloride, modified atmosphere packaging

**บทคัดย่อ**

ผลของแคลเซียมคลอไรด์ ( $\text{CaCl}_2$ ) ต่อคุณภาพด้านเนื้อสัมผัสและการยอมรับโดยรวมของลำไยสดพร้อมบริโภค โดยแกะเปลือกลำไย ครัวน้ำเม็ดออกและแช่ด้วยสารละลาย  $\text{CaCl}_2$  ความเข้มข้น 0.5, 1.0, 1.5 และ 2.0% w/v นาน 2 นาที รดความแน่นเนื้อและประเมินทางด้านປراسาทสัมผัส เปรียบเทียบกับมาตรฐานคุณที่ไม่ผ่านการแช่สารละลาย พบว่า ลำไยสดที่แช่ด้วยสารละลาย  $\text{CaCl}_2$  ความเข้มข้น 2.0% w/v มีค่าความแน่นเนื้อสูงที่สุด รองลงมา คือ ลำไยที่แช่ในสารละลาย  $\text{CaCl}_2$  ความเข้มข้น 1.5, 1.0, 0.5% w/v และมาตรฐานคุณ ตามลำดับ สำหรับผลการประเมินด้านປراسาทสัมผัส พบว่า การยอมรับคุณภาพโดยรวมของลำไยที่ใช้  $\text{CaCl}_2$  ความเข้มข้น 1.5% w/v ได้รับคะแนนสูงที่สุด ในขณะที่การใช้สารละลาย  $\text{CaCl}_2$  ความเข้มข้น 2.0% w/v ผลงานให้ลำไยสดพร้อมบริโภคสูญเสียก่อนและมีค่าแนวโน้มการประเมินความหวานลดลง ผลของบรรจุภัณฑ์สภาพบรรยายการแบบดัดแปลงต่อคุณภาพของลำไยสดพร้อมบริโภค โดยนำเนื้อลำไยที่ผ่านการแช่ด้วยสารละลาย  $\text{CaCl}_2$  ความเข้มข้น 1.5% w/v บรรจุในถาดพลาสติกและหุ้มด้วย polyethylene (PE) และ microperforated polyethylene (MPE) เปรียบเทียบกับมาตรฐานคุณ แล้วเก็บรักษาที่อุณหภูมิ 5 °C ความชื้นสมพัทธ์ 95% บันทึกข้อมูล ได้แก่ การเปลี่ยนแปลงออกซิเจน ( $\text{O}_2$ ) และคาร์บอนไดออกไซด์ ( $\text{CO}_2$ ) ภายในบรรจุภัณฑ์ การสูญเสียน้ำหนัก การเปลี่ยนแปลงสี ปริมาณของเข็งที่ละลายน้ำได้ ทุก ๆ วัน พบว่า การหุ้มน้ำเนื้อลำไยด้วยพลาสติก PE และ MPE ทำให้บรรยายการในบรรจุภัณฑ์มีค่าความเข้มข้นของ

<sup>1</sup> สาขาวิชาเทคโนโลยีหลังการเก็บเกี่ยว คณะวิศวกรรมและอุตสาหกรรมเกษตร มหาวิทยาลัยแม่โจ้ เชียงใหม่ 50290

<sup>1</sup> Department of Postharvest Technology, Faculty of Engineering and Agro-Industry, Maejo University, Chiang Mai 50290, Thailand.

<sup>2</sup> ศูนย์นวัตกรรมเทคโนโลยีหลังการเก็บเกี่ยว กระทรวงการอุรุคีศึกษา วิทยาศาสตร์ วิจัยและนวัตกรรม กทม. 10400

<sup>2</sup> Postharvest Technology Innovation Center, Ministry of Higher Education, Science, Research and Innovation, Bangkok 10400, Thailand.

<sup>3</sup> หน่วยวิจัยและพัฒนาผลผลิตทางการเกษตรและอาหารเพื่ออนาคต มหาวิทยาลัยแม่โจ้ เชียงใหม่ 50290

<sup>3</sup> Future of Agriculture and Food Research Development Unit, Maejo University, Chiang Mai 50290, Thailand.

$O_2$  ลดลง และมีความเข้มข้นของ  $CO_2$  เพิ่มขึ้น อีกทั้งยังสามารถชะลอการเปลี่ยนแปลงคุณภาพ ได้แก่ การสูญเสียน้ำหนัก ปริมาณของแข็งที่ละลายน้ำได้ และการเปลี่ยนแปลงสีของเนื้อสำลายได้ ดังนั้น การใช้แคลเซียมคลอไรด์ร่วมกับการบรรจุใน สภาพบรรจุภัณฑ์แบบดัดแปลงสามารถรักษาคุณภาพของสำลายสดพร้อมบริโภคได้

**คำสำคัญ:** สำลายสดพร้อมบริโภค แคลเซียมคลอไรด์ สภาพบรรจุภัณฑ์แบบดัดแปลง

### คำนำ

ปัญหาสำคัญที่มีผลต่อการสูญเสียภายในห้องหลังการเก็บเกี่ยวสำลายได้ คือ การสูญเสียน้ำ การเปลี่ยนเป็นสีเปลือก และการ เข้าทำลายของโรค โดยเฉพาะการเกิดสีน้ำตาลของเปลือกผล ซึ่งทำให้การยอมรับของผู้บริโภคลดลง แม้ว่าการเปลี่ยนแปลง ดังกล่าวจะไม่影ผลกระทบต่อสารตัดของเนื้อผลก็ตาม เพื่อแก้ปัญหาดังกล่าว การเพิ่มน้ำผลิตสำลายได้ อย่างไรก็ตามอาหารประเท่านี้มี ลักษณะเฉพาะด้วยการมีพื้นผิวที่ไม่ผ่านการสำลัก และเนื้อเยื่อที่เสียหายจากการหันตัวซึ่งอาจเกิดการเสียหายจากการ เข้าทำลายของจุลินทรีย์ได้ง่าย (Olaimat and Holley, 2012) หรือแม้แต่เกิดการเสื่อมเสียเนื่องจากการเปลี่ยนแปลงทางสรีรวิทยา และกายภาพที่กระทบต่อคุณภาพของผลิตภัณฑ์ ความสูญเสียหลักมีแนวโน้มที่จะเกิดขึ้นเนื่องจากการจัดการ การจัดเก็บและ บรรจุภัณฑ์ที่ไม่เหมาะสม ระบบการบรรจุด้วยสภาพบรรจุภัณฑ์แบบดัดแปลง (modified atmosphere packaging; MAP) จึงได้ถูก นำมาใช้อย่างกว้างขวางเพื่อรักษาคุณภาพของผักและผลไม้รวมถึงของสด แคลเซียมคลอไรด์มักใช้ในอุตสาหกรรมเพื่อเป็น รักษาเนื้อสัมผัสของผักผลไม้โดยการจุ่ม ผลของแคลเซียมคลอไรด์สามารถช่วยในการสุก และกระบวนการที่เกี่ยวข้องกับการ เสื่อมสภาพ รวมถึงการสูญเสียทางคุณค่าทางอาหารและความไวต่อเชื้อโรค (de Freitas et al., 2012; Saure, 2014) การใช้ แคลเซียมคลอไรด์จะให้ผลดียิ่งขึ้นหากใช้ร่วมกับวิธีการหลังการเก็บเกี่ยวอื่น ๆ เช่น การใช้ร่วมกับโคโคโซนและนาโนโคโคโซน สามารถยืดอายุการเก็บรักษาส่วนตัวเบอร์รีได้ (Nguyen and Nguyen, 2020) แม้ว่าการใช้แคลเซียมหลังการเก็บเกี่ยวจะดีต่อ คุณภาพของผลไม้ แต่ความเข้มข้นของแคลเซียมที่มากเกินไปอาจทำให้การเปลี่ยนสีและรสชาติทางประสาทสัมผัสที่ไม่เพียง ปราบ paran จึงต้องใช้แคลเซียมคลอไรด์ในปริมาณที่ไม่ให้ส่งผลกระทบต่อสารตัดของผลิตภัณฑ์ ดังนั้น การศึกษาในครั้นี้จึงมี วัตถุประสงค์เพื่อศึกษาคุณภาพของสำลายสดพร้อมบริโภคที่คงสภาพด้านเนื้อสัมผัสโดยการจุ่มด้วยแคลเซียมคลอไรด์ ร่วมกับ การบรรจุด้วยฟิล์มที่มีการซึมผ่านของก๊าซสูง

### อุปกรณ์และวิธีการ

#### 1. ศึกษาผลของแคลเซียมคลอไรด์ต่อคุณภาพด้านเนื้อสัมผัสและการยอมรับโดยรวมของสำลายสดพร้อมบริโภค

ทำการทดลองโดยแบ่งเป็นกลุ่มสำลายแคลเซียมคลอไรด์ ความเข้มข้น 0.5, 1.0, 1.5 และ 2.0% (w/v) เป็นเวลา 2 นาที เปรียบเทียบกับควบคุมที่ไม่ผ่านการแช่สารละลายแคลเซียม- คลอไรด์ โดยจัดการทดลองแบบสุ่มสมบูรณ์ (Completely Randomized Design; CRD) ตรวจดูคุณภาพของสำลายสดพร้อม บริโภค ได้แก่ คุณภาพด้านเนื้อสัมผัสและการยอมรับโดยรวม ทำการทดลองคราวละ 3 ชุด

#### 2. ศึกษาผลของบรรจุภัณฑ์แบบสภาพบรรจุภัณฑ์แบบดัดแปลงต่อคุณภาพของสำลายสดพร้อมบริโภคเมื่อเก็บรักษาที่ อุณหภูมิ $5\pm2^{\circ}\text{C}$

นำเนื้อสำลายที่คั่วในเมล็ดออกแล้วแช่สารละลายแคลเซียมคลอไรด์ความเข้มข้น 1.5% (w/v) เป็นเวลา 2 นาที เมื่อ ครบกำหนดน้ำเสียเดือน้ำและบรรจุด้วยฟิล์มโพลีเอทิลีน (polyethylene; PE) ความหนา 0.65 μm และฟิล์มโพลีเอทิลีนที่มี ค่าการซึมผ่านของก๊าซสูง (microporous polyethylene; MPE) ความหนา 0.45 μm เปรียบเทียบกับควบคุมเก็บรักษาไว้ ที่อุณหภูมิ  $5\pm2^{\circ}\text{C}$  วัดการเปลี่ยนแปลงของก๊าซภายในภาชนะ ( $O_2$ ,  $CO_2$ ) และคุณภาพของสำลายทุกวัน ดังนี้ การสูญเสีย น้ำหนัก ปริมาณของเม็ดทั้งหมดที่ละลายน้ำได้ และการเปลี่ยนแปลงสีทุกวัน

### ผลและวิจารณ์ผลการทดลอง

ความแน่นเนื้อของเนื้อสำลายเมื่อผ่านการแช่ด้วยสารละลาย  $\text{CaCl}_2$  นาน 2 นาที แสดงใน Figure 1 ซึ่งการแช่ด้วย สารละลาย  $\text{CaCl}_2$  ความเข้มข้น 2.0% มีค่าความแน่นเนื้อของสำลายสดสูงที่สุด เท่ากับ 6.43 N รองลงมาคือ 1.5%, 1.0% และ 0.5% มีค่าเท่ากับ 5.43, 4.99 และ 4.18 N ตามลำดับ ขณะที่ควบคุม (ไม่แช่สารละลาย) มีค่าน้อยที่สุดเท่ากับ 2.22 N ค่าที่ วัดได้ไม่มีความแตกต่างกันทางสถิติ ที่ระดับความเชื่อมั่น 95% เนื่องจาก แคลเซียมเป็นธาตุอาหารที่ช่วยส่งเสริมการดูดซึมธาตุ

อาหารอื่น ๆ เกี่ยวกับการดูดซึมน้ำเข้าสู่เซลล์ กระตุ้นการทำงานของเอนไซม์ ที่รับผิดชอบในกระบวนการห่อหุ้นของเพคติน ซึ่งเป็นองค์ประกอบสำคัญของชั้น middle lamella ที่ทำหน้าที่เชื่อมยึดผังเซลล์ที่อยู่ติดกันให้ผังเซลล์แข็งแรง มีความยืดหยุ่นมากขึ้น และ  $\text{CaCl}_2$  เป็นสารที่ช่วยให้ผักและผลไม้มีเนื้อสัมผัสแข็ง (firming agent) นิยมใช้กับผลไม้ก่อนนำไปบรรจุกรอบป้อง เช่น ลิ้นจี่ ลำไย แอปเปิล มะเขือเทศ และมันฝรั่ง ความเข้มข้นไม่เกิน 1.0% การใช้ปริมาณ  $\text{CaCl}_2$  มากหรือน้อยจะขึ้นอยู่กับปริมาณเพคตินที่มีอยู่ในผักและผลไม้ชนิดนั้น ๆ เนื่องจากความเข้มข้นของ  $\text{CaCl}_2$  ความเข้มข้น 1.5% มีค่าแนนทรัฟอร์มรับโดยรวมสูงที่สุด เนื่องมาจากมีค่าแนนทรัฟอร์มด้านเนื้อสัมผัส รสชาติ และสีสูงที่สุด โดยที่ค่าแนนทรัฟอร์มด้านเนื้อสัมผัสมีผลลัพธ์ที่ดีกว่าสูงขึ้นตามความเข้มข้นของ  $\text{CaCl}_2$  อย่างไรก็ตาม  $\text{CaCl}_2$  ความเข้มข้น 2.0% มีค่าแนนทรัฟอร์มด้านเนื้อสัมผัสน้อยที่สุด เนื่องจากแข็งเกินไป และส่งผลต่อการยอมรับโดยรวมทำให้ค่าแนนทรัฟอร์มด้านรสชาติ และกลิ่นลดลง (Figure 2) จากการทดสอบด้านประสิทธิภาพของ  $\text{CaCl}_2$  ของ Luna-Guzmán and Barrett (2000) พบว่า ในแคนตาลูปที่แช่ในสารละลาย  $\text{CaCl}_2$  ความเข้มข้น 1.0% และ 2.5% มีค่าแนนทรัฟอร์มสูงกว่าชุดที่ไม่ผ่านการแช่ด้วยสารละลาย  $\text{CaCl}_2$  และหากเพิ่มความเข้มข้นของ  $\text{CaCl}_2$  จาก 1.0 เป็น 2.5% จะทำให้แคนตาลูปมีรสขมขึ้น สำหรับสตอว์เบอร์รี่ที่แช่ด้วย  $\text{CaCl}_2$  ความเข้มข้น 3.0% ร่วมกับนาโนไครานไม่พบว่าเกิดรสขมเนื่องจากความเข้มข้นของ  $\text{CaCl}_2$  จะถูกยับยั้งด้วยการดูดซึมน้ำที่มีอยู่ในสตอว์เบอร์รี่ (Nguyen and Nguyen, 2020)

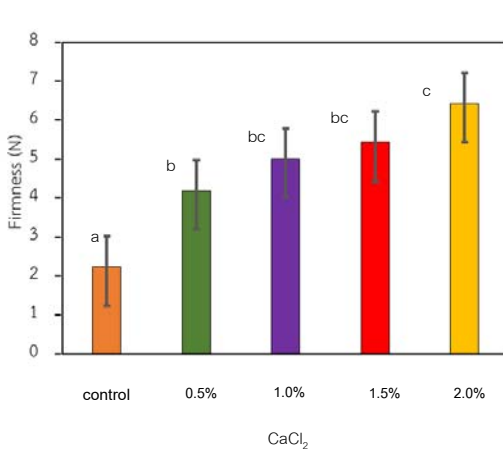


Figure 1 Effect of  $\text{CaCl}_2$  dipped on firmness of fresh-cut longan

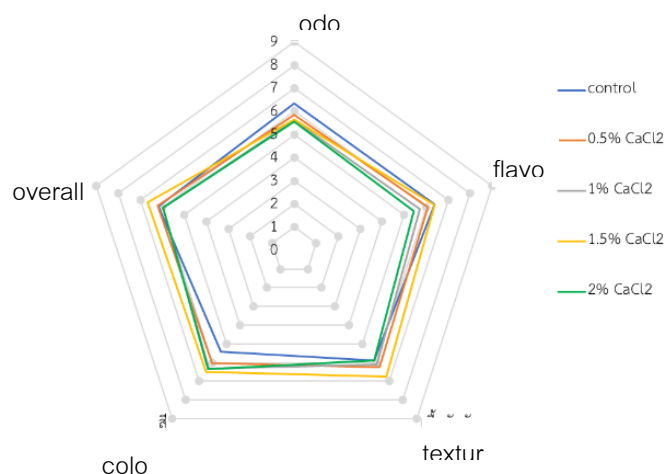


Figure 2 Effect of  $\text{CaCl}_2$  dipped on sensory quality of fresh-cut longan

Table 1 แสดงการเปลี่ยนแปลง  $\text{O}_2$   $\text{CO}_2$  และปริมาณ SSC ของลำไยสดพร้อมบริโภค ซึ่งพบว่า ในวันเริ่มต้นปริมาณ  $\text{O}_2$  และ  $\text{CO}_2$  มีค่าเทียบเท่ากับบรรจุภัณฑ์พลาสติก PE และมีค่าคงที่ตลอดการเก็บรักษา ส่วนการเปลี่ยนแปลงภายใต้บรรจุภัณฑ์พลาสติก PE และ MPE นั้น พบร่วมกับ  $\text{O}_2$  ภายในบรรจุภัณฑ์พลาสติก PE ค่าลดลงต่อวัน การบรรจุด้วยพลาสติก MPE ตลอดการเก็บรักษา ในทางตรงกันข้ามกับมีการสะสม  $\text{CO}_2$  ภายในบรรจุภัณฑ์พลาสติก PE สูงกว่าพลาสติก MPE ตัวอย่าง เนื่องจากพลาสติก PE มีการแตกเปลี่ยนก้าช์ต่ำกว่าชุด MPE จึงมีการแตกเปลี่ยนก้าช์  $\text{O}_2$  กับบรรจุภัณฑ์ภายในได้ต่ำกว่าพลาสติก MPE โดย Khan et al. (2020) รายงานว่าลำไยที่บรรจุในพลาสติก PE ที่มีคุณสมบัติในการแตกเปลี่ยนก้าช์สูง แล้วเก็บรักษาที่อุณหภูมิ  $5\pm2^\circ\text{C}$  สามารถเข้าสู่บรรจุภัณฑ์แบบสมดุลได้ภายใน 7 วัน ซึ่งมีค่าความเข้มข้นของ  $\text{CO}_2$  ประมาณ 7% ซึ่งเป็นความเข้มข้นที่เหมาะสมในการเก็บรักษาลำไย และ  $\text{O}_2$  ประมาณ 3% ไม่เท่ากับค่าเด็กถังสูงสุดปกติ และหาก  $\text{O}_2$  ต่ำกว่า 3% จะทำให้เกิดเดหานอกภายในเนื้อผลลำไย สำหรับการเปลี่ยนแปลงปริมาณ SSC นั้น พบร่วมกับคุณสมบัติเพิ่มสูงขึ้นตลอดอายุการเก็บรักษา 5 วัน อาจเนื่องมาจากการสูญเสียน้ำ (ไม่ได้แสดงข้อมูล) ซึ่งมีค่ามากกว่าลำไยที่บรรจุในพลาสติก PE และ PE ที่มีแนวโน้มของค่า SSC คงที่ตลอดอายุการเก็บรักษา 5 วัน (Table 1)

การเปลี่ยนแปลง  $L^*$  คือค่าความส่องสว่างของเนื้อลำไย เมื่อบรรจุโดยพลาสติก PE และ MPE เปรียบเทียบกับชุดควบคุมซึ่งไม่ได้หุ้มพลาสติก  $5\pm2^\circ\text{C}$  พบร่วมกับค่า  $L^*$  ของทุกชุดการทดลอง มีค่าเปลี่ยนแปลงเพียงเล็กน้อยต่อตลอดการเก็บรักษา และไม่แตกต่างกันทางสถิติ เช่นเดียวกับค่า  $a^*$  ซึ่งไม่แตกต่างกันทางสถิติและมีค่าคงข้างคงที่ สำหรับค่า  $b^*$  คือค่าสีเหลือง ทุกชุดการทดลองมีค่าลดลง เมื่อเก็บรักษานานขึ้น ซึ่งวันที่ 4 ของการเก็บรักษา พบร่วมกับค่า  $b^*$  ของชุดควบคุมมีค่าต่างจากชุดการทดลองอื่นอย่างมีนัยสำคัญ เท่ากับ 4.95 สำหรับเนื้อลำไยที่บรรจุในพลาสติก PE และ MPE นั้น มีค่าเท่ากับ 3.77 และ 2.05 ตามลำดับ (Table 2)

**Table 1** Effect of modified atmosphere packaging on O<sub>2</sub>, CO<sub>2</sub> and SSC changes of fresh-cut longan during storage at 5±2°C

treatments		Storage time (day)					
		0	1	2	3	4	5
O <sub>2</sub> (%)	Control	20.8	20.8b	19.1	19.0a	18.6	19.1b
	MPE	20.8	19.2a	18.6	18.5b	18.6	19.3b
	PE	20.8	18.1a	17.1	17.3b	16.9	17.6a
P-value		-	*	ns	*	ns	*
SD		-	1.41	1.04	0.92	0.97	0.93
CO <sub>2</sub> (%)	Control	0.03	0.05a	0.57a	0.11a	0.07a	0.06a
	MPE	0.03	0.05a	2.07b	0.21a	0.16a	0.15a
	PE	0.03	3.29b	2.21b	2.54b	2.36b	1.89b
P-value		-	*	*	*	*	*
SD		-	1.61	0.82	1.13	1.15	0.93
SSC (%)	Control	21.9	22.8b	25.4b	27.3a	28.0b	25.2b
	MPE	20.8	20.2a	18.8a	20.5a	20.5a	19.4a
	PE	21.7	20.1a	19.8a	19.4b	19.9a	19.0a
P-value		-	*	*	*	*	*
SD		-	1.52	3.56	4.28	4.51	3.46

**Table 2** Effect of modified atmosphere packaging on color changes (L\*, a\* and b\*) of fresh-cut longan during storage at 5±2°C

treatments		Storage time (day)					
		0	1	2	3	4	5
L*	Control	40.14	40.16	41.36	40.56	40.56	39.47
	MPE	40.14	39.89	38.93	41.36	42.06	41.13
	PE	40.14	40.40	40.56	38.93	39.17	42.15
P-value		-	ns	ns	ns	ns	ns
SD		-	0.24	1.24	1.24	1.45	1.12
a*	Control	-3.08	-3.08	-3.05	-2.53	-0.53	-0.52
	MPE	-3.08	-3.02	-2.77	-3.05	-0.68	-2.96
	PE	-3.08	-3.13	-2.53	-2.77	-0.62	-3.40
P-value		-	ns	ns	ns	ns	ns
SD		-	0.05	0.26	0.26	0.07	0.44
b*	Control	5.06	6.03b	6.47	4.95	4.95b	2.39
	MPE		4.70a	4.62	6.47	3.77a	3.43
	PE		4.43a	4.95	5.09	2.05a	4.88
P-value		-	*	ns	ns	*	ns
SD		-	0.86	0.99	0.84	1.46	1.23

### สรุปผลการทดลอง

การใช้สารละลายน้ำและแก๊สออกไซด์ความเข้มข้น 1.5% สามารถปรับปูรุนเนื้อสัมผัสของลำไยสดพร้อมบริโภคให้ดีขึ้นได้ แต่หากเพิ่มความเข้มข้นมากกว่า 1.5% จะทำให้ลำไยสดพร้อมบริโภคเสียรสชาติ สำหรับการบรรจุแบบสภาพบรรจุภัณฑ์ดัดแปลงโดยใช้ฟิล์มพลาสติกชนิด polyethylene (PE) และ microperforated polyethylene (MPE) ไม่ทำให้คุณภาพของลำไยสดพร้อมบริโภคแตกต่างกันตลอดอายุการเก็บรักษาที่อุณหภูมิ 5±2 °C

### คำขอบคุณ

งานวิจัยนี้ได้รับการสนับสนุนเครื่องมือจากศูนย์นวัตกรรมเทคโนโลยีไลฟ์สแลบ ภาควิชาระบบทดลอง คณะวิศวกรรมศาสตร์ มหาวิทยาลัยแม่โจ้ สำหรับอุปกรณ์ เครื่องมือ และสถานที่ทำการทดลอง

### เอกสารอ้างอิง

- de Freitas, S.T., A.K Handa, Q. Wu, S. Part and E.J. Mitcham. 2012. Role of pectin methylesterases in cellular calcium distribution and blossom-end rot development in tomato fruit. *The Plant Journal* 71: 824–835.
- Khan, M.R., W. Chinsirikul, A. Sane and V. Chonhencob. 2020. Combined effects of natural substances and modified atmosphere packaging on reducing enzymatic browning and postharvest decay of longan fruit. *International Journal of Food Science and Technology* 55: 500–508.
- Olaimat, N.A. and R.H. Holley. 2012. Factors influencing the microbial safety of fresh produce. *Food Microbiology* 32: 1-19.
- Nguyen, H.V.H. and D.H.H. Nguyen. 2020. Effects of nano-chitosan and chitosan coating on the quality, polyphenol oxidase activity and malondialdehyde content of strawberry (*Fragaria x ananassa* Duch.). *Journal of Horticulture and Postharvest Research* 3(1): 11-24.
- Luna-Guzmán, I. and D.M. Bareet. 2000. Comparison of calcium chloride and calcium lactate effectiveness in maintaining shelf stability and quality of fresh-cut cantaloupes. *Postharvest Biology and Technology* 19: 61-72.
- Saure, C.M. 2014. Why calcium deficiency is not the cause of blossom-end rot in tomato and pepper fruit – a reappraisal. *Scientia Horticulturae* 174: 151-154.

**ผลของการเคลือบผิวด้วยเซลล์แล็คที่มีผงเปลือกมะม่วงแก้วขมีเป็นส่วนประกอบต่อคุณภาพระหว่างการเก็บรักษาของหอมแดงตัดแต่งสด**

**Effects of Shellac Coating Material Containing Kaew Ka Min Mango Peel Powder on Storage Quality of Fresh-cut Shallots**

พนิดา พิมพ์สุวรรณ<sup>1</sup> วีรเวที อุทโธ<sup>1,2</sup> เรewan ชัยราช<sup>1,2</sup> วัชรพงษ์ วัฒนกุล<sup>3</sup> อุดมย์ อภินันทร์<sup>4</sup> นิตยา ภูงาม<sup>5</sup> และ จินดาภรณ์ แสงกาญจนวนิช<sup>1</sup>

Panida Pimsuwan<sup>1</sup>, Weerawate Utto<sup>1,2</sup>, Raywat Chairat<sup>1,2</sup>, Watcharapong Wattanakul<sup>3</sup>, Adul Apinan<sup>4</sup>, Nittaya Phungam<sup>5</sup> and Jindamanee Saengkanjanawanich<sup>1</sup>

### Abstract

Fresh-cut shallot is popular among consumers because of its convenience for cooking and consumption. However, its qualities become quickly changed during storage particularly visual brown color at cut tissues and weight losses. This study purposely was to test effects of shellac coating material 20% w/v mixed with Kaew Ka Min mango peel powder, either 1% or 3% w/v, on qualities of the fresh-cut shallot kept in clamshell packages averagely weighed 125g. These were stored at 10°C for 14 days and were compared to those which were either coated with only shellac or uncoated (control). Experimental results showed that respiration rates of the shallot coated with both shellac types were lower than those of the control ( $p<0.05$ ). The shallot coated with the shellac containing mango peel powder (SHL-MPP) had lower respiration rate than coated with only shellac. Although the SHL-MPP material reduced losses of vitamin C contents better than other treatments, both coating materials had no significant effects on ethanol contents in tissues, color, and firmness. In addition, the coating reduces weight losses but adding the powder by 3% (w/v) increased weight loss and reduced glossiness. Overall, incorporations of mango peel powder to the shellac coating material delayed quality changes of fresh-cut shallot.

**Keywords:** fresh-cut shallot, shellac, mango peel powder

### บทคัดย่อ

หอมแดงตัดแต่งสดเป็นที่นิยมของผู้บริโภคเนื่องจากสะดวกในการประกอบอาหารและบริโภค อย่างไรก็ตามผลิตผลมีการเปลี่ยนแปลงคุณภาพได้รวดเร็วในระหว่างการเก็บรักษาโดยเฉพาะการเกิดสีน้ำตาลที่ร้อยตัดและสูญเสียน้ำหนัก การศึกษา นี้มีวัตถุประสงค์เพื่อทดสอบผลของการใช้สารเคลือบผิวเซลล์แล็ค (20% w/v) ที่มีส่วนผสมของผงเปลือกมะม่วงแก้วขมี (1% และ 3% w/v) ต่อคุณภาพของหอมแดงตัดสดในบรรจุภัณฑ์แคลมเชล (น้ำหนักเฉลี่ย 125g) เก็บรักษาที่อุณหภูมิ 10°C เป็นเวลา 14 วัน โดยเปรียบเทียบกับหอมแดงที่เคลือบด้วยสารเคลือบผิวเซลล์แล็คเพียงอย่างเดียว หรือไม่ได้เคลือบผิว (อุดมควบคุม) ผลการศึกษาพบว่าหอมแดงที่เคลือบผิวด้วยสารเคลือบผิวเซลล์แล็คทั้งสองประเภทมีอัตราการหายใจต่ำกว่าชุดควบคุม ( $p<0.05$ ) ทั้งนี้หอมแดงที่เคลือบผิวด้วยเซลล์แล็คผสมผงเปลือกมะม่วง (SHL-MPP) มีอัตราการหายใจต่ำกว่าเมื่อเปรียบเทียบ กับการเคลือบผิวด้วยเซลล์แล็คอย่างเดียว แม้ว่าการเคลือบผิวด้วยสาร SHL-MPP ลดการสูญเสียวิตามินซีได้กว่ารวมวิตามินที่มีอยู่ในตัว แต่สารเคลือบผิวทั้งสองไม่มีผลอย่างมีนัยสำคัญต่อปริมาณออกทานอลในเนื้อเยื่อ สีและความแน่นเนื้อของหอมแดง นอกจากนี้ การเคลือบผิวช่วยลดการสูญเสียน้ำหนักแต่การเติมผงเปลือกมะม่วงในระดับ 3% (w/v) เพิ่มการสูญเสียน้ำหนักและลดความมันวาว ในภาพรวมการรวมผงเปลือกมะม่วงกับสารเคลือบผิวเซลล์แล็ค สามารถช่วยลดการเปลี่ยนแปลงคุณภาพของหอมแดงตัดแต่งสด

**คำสำคัญ:** หอมแดงตัดแต่งสด เซลล์แล็ค ผงเปลือกมะม่วง

<sup>1</sup> คณะเกษตรศาสตร์ มหาวิทยาลัยอุบลราชธานี สำนักวาริตน์ ตำบลวาริน อำเภอวาริน จังหวัดอุบลราชธานี 34190

<sup>1</sup> Faculty of Agriculture, Ubon Ratchathani University, Warin Chamrap, Ubon Ratchathani 34190

<sup>2</sup> ศูนย์นวัตกรรมเทคโนโลยีหลังการเก็บเกี่ยว กระทรวงการอุดมศึกษา วิทยาศาสตร์ วิจัยและนวัตกรรม กรุงเทพฯ 10400

<sup>2</sup> Postharvest Technology Innovation Center, Ministry of Higher Education, Science, Research and Innovation, Bangkok 10400

<sup>3</sup> คณะเทคโนโลยีการเกษตร มหาวิทยาลัยราชภัฏเชียงใหม่ อำเภอเมือง จังหวัดเชียงใหม่ 50000

<sup>3</sup> Faculty of Agricultural Technology, Rajabhat Chiangmai University, Chiangmai 50000

<sup>4</sup> สถาบันวิจัยและพัฒนา มหาวิทยาลัยราชภัฏริษัท อำเภอเมือง จังหวัดบุรีรัมย์ 31000

<sup>4</sup> Research and Development Institute, Rajabhat Buriram University, Buriram 31000

<sup>5</sup> คณะเกษตรศาสตร์และเทคโนโลยี มหาวิทยาลัยเทคโนโลยีราชมงคลล้านนา วิทยาเขตสุรินทร์ อำเภอเมือง จังหวัดสุรินทร์ 32000

<sup>5</sup> Faculty of Agriculture and Technology, Rajamangala University of Technology Isan, Surin Campus, Surin 32000

## คำนำ

ห้อมแดงเป็นผลิตผลที่สำคัญต่อเศรษฐกิจของจังหวัดศรีสะเกษ ซึ่งเป็นแหล่งเพาะปลูกหอมแดงที่สำคัญของประเทศไทย การเกิดภาวะหอมแดงล้นตลาดทำให้มูลค่าการตลาดและผลตอบแทนในเชิงอุปทานลดลง (วันสันนิษ์ และคณะ, 2562) ดังนั้นการเพิ่มมูลค่ามีความสำคัญ ห้อมแดงเปรี้ยวปะแนบตัดแต่งสดในลักษณะตัดๆ กุ้นแล้วกานเป็นการเพิ่มมูลค่ารูปแบบหนึ่ง วางจำหน่ายในชั้นวางในชั้นปูเปอร์มาร์เก็ตมีราคาเท่ากับ 25-30 บาท ต่อ 5 หัวต่อครัวเรือนที่ ซึ่งมีมูลค่าสูงกว่าการจำหน่ายแบบพวง/มัดที่มีราคา 100-120 บาท ต่อ 3-4 กิโลกรัม อย่างไรก็ตามผลิตภัณฑ์เหล่านี้มีเดียง่ายโดยเฉพาะการเกิดสิน้ำตาลคล้ำบริเวณรอยตัด และสูญเสียน้ำหนักสด ทำให้มีอายุการเก็บรักษาเพียง 7 วัน ที่  $10-12^{\circ}\text{C}$  (Utto et al., 2018) ผู้ประกอบการนิยมบรรจุห้อมแดงตัดแต่งสดในกล่องพลาสติกใส่สีเหลือง (กล่องแคลมเซล) ที่ใช้เทปการห่อหุ้ดเย็บเพื่อยืดฝาด้านบนและด้าน ทำให้มีช่องว่างระหว่างฝาและอากาศเกิดการผ่านเข้าออกได้สะดวก การปิดกล่องลักษณะดังกล่าวไม่ได้สร้างสภาวะบรรจุภัณฑ์แบบ (modified atmosphere; MA) ซึ่งความเข้มข้นของแก๊ส  $\text{O}_2$  ควรมีค่าต่ำและแก๊ส  $\text{CO}_2$  ควรมีค่าสูงกว่าความเข้มข้นของแก๊สทั้งสองชนิดในบรรจุภัณฑ์ และสามารถลดการเปลี่ยนแปลงกิจกรรมทางชีวีเคมีและคุณภาพ ทั้งนี้สภาวะ MA เกิดจากสมดุลระหว่างอัตราการหายใจและการซึมผ่านวัสดุพลาสติกซึ่งมีสมบัติการเลือกและยอมให้แก๊สผ่าน (selective permeation) (วีเรทัย, 2562) จากข้อมูลข้างต้น พบว่า การเคลือบผิวหน้าด้วยสารเคลือบผิว เช่น เซลแล็ก ควรใช้เป็นแนวทางร่วมกับการบรรจุด้วยกล่องพลาสติก เนื่องจากการเคลือบผิวจะลดการแลกเปลี่ยนแก๊สและโอน้ำระหว่างผลิตภัณฑ์และสิ่งแวดล้อมนอกจากรากน้ำในการเคลือบผิวทำได้หลายวิธี เช่น จุ่ม ทา หรือพ่นสเปรย์ (Phungam et al., 2018)

ปัจจุบันมีการพัฒนาเพื่อเพิ่มสมบัติเชิงหน้าที่ (functional property) ของสารเคลือบผิวโดยการเพิ่มสารเติมแต่งที่มีสมบัติต้านอนุมูลอิสระหรือเชื้อจุลทรรศ (วีรเวทย์, 2562) การศึกษาของ Rojas-Bravo *et al.* (2019) ผสมผงเปลือกมะม่วงในสารเคลือบผิวทำจากแบงค์ข้าวโพด พบว่า ชลอการเปลี่ยนแปลงคุณภาพของเปลือกสัดหันขึ้นดีกว่าการใช้สารเคลือบผิวที่ไม่เติมผงเปลือกมะม่วง เนื่องจากผงเปลือกมะม่วงมีสมบัติต้านอนุมูลอิสระและเพิ่มการต้านการซึมผ่านในโครงสร้างพอลิเมอร์ของสารเคลือบผิว ผลการศึกษาดังกล่าวสอดคล้องกับงานวิจัยอื่นๆ ซึ่งใช้เปลือกแพร่/หรือสารสกัดร่วมกับสารเคลือบผิวสำหรับผลิตผล เช่น ลูกพีช (Torres-León *et al.*, 2018) จากการค้นคว้ายังไม่พบการศึกษาผงเปลือกมะม่วงแก้วข้มิ้น ทั้งนี้ผู้วิจัยดำเนินโครงการพัฒนาผลผลิตและผลิตภัณฑ์มะม่วงแก้วข้มิ้นสำหรับเกษตรกรในจังหวัดเด่นราฐ ราชอาณาจักรกัมพูชา ระหว่างปี พ.ศ. 2563-2565 ตลอดจนได้ให้คำปรึกษาด้านการแปรรูปแก่เกษตรกรผู้ปลูกห้อมแดง ดังนั้นผู้วิจัยจึงมีความสนใจใช้ผงเปลือกมะม่วงแก้วข้มิ้นเป็นสารเติมแต่งในสารเคลือบผิวเซลล์แล็ค เพื่อใช้ประไนซ์จากของเหลือในการการเกษตร และลดการสูญเสียของห้อมแดงตัดแต่งสัดด้วยการเคลือบผิวหน้า โดยมีวัตถุประสงค์ของการวิจัยเพื่อทดสอบผลของการใช้สารเคลือบผิวเซลล์แล็คที่มีส่วนผสมของผงเปลือกมะม่วงแก้วข้มิ้นต่อการเปลี่ยนแปลงคุณภาพของห้อมแดงตัดแต่งสัดในระหว่างการรักษา

## อปกรณ์และวิธีการ

การเตรียมผงเปลือกมะม่วง มะม่วงแก้วขึ้นรากที่คัดเลือกสีขาว (สีเขียวอ่อน) ให้มีความสม่ำเสมอ/ไม่มีรอยชำรุด นำหัวหนักในช่วง 200-220g ต่อผล นำมาทำความสะอาดและปอกเปลือก ตัดเปลือกให้มีขนาดประมาณ  $20 \times 50$  mm (กว้าง  $\times$ ยาว) จากนั้นนำไปแช่ในสารละลายน้ำเดี่ยมไฮโดรคลอโรฟิลล์ 150 mg l<sup>-1</sup> เป็นเวลา 30 วินาที แล้วนำไปลวกในสารละลายน้ำเดี่ยมไฮโดรคลอริก 5% w/v ที่อุณหภูมิ 60 °C เป็นเวลา 5 นาที เพื่อชะลอการลดลงของสีเขียวในระหว่างการทำแห้ง นำเปลือกมะม่วงขึ้นจากสารละลายมาผ่านไฟแห้งบนกระดาษทิชชู จากนั้นทำแห้งเปลือกมะม่วงด้วยการประยุกต์วิธีของ Rojars-Bravo *et al.* (2019) อบแห้งที่ 60 °C ในตู้อบลมร้อน จนได้ความชื้นเท่ากับ 14% (w/w) นำเปลือกแห้งมาบีบแห้งด้วยเครื่องบดลงละเอียด และร่อนด้วยตะแกรง 80 Mesh ผงที่ได้นำมาบรรจุใส่ถุงพลาสติก LDPE เก็บรักษาในที่มีดี การเตรียมสารเคลือบผิว นำเซลล์แล็ค (Food grade, บริษัท เอกเซลล์แล็คส์ จำกัด) ละลายในเอทานอล 20% (w/v) จากนั้นเติมกลีเซอรอล 1% (v/v) พร้อมคนให้เข้ากัน แล้วนำผงผสมในสารละลายน้ำเซลล์แล็ค โดยมีระดับการเติมเท่ากับ 1% และ 3% (w/v) ผสมให้เข้ากันด้วยการใช้ hotplate stirrer/500 rpm เป็นเวลา 15 นาที การเคลือบผิวและการเก็บรักษา นำห้องแห้งมาปอกเปลือกตัดหัวและบริเวณราก ล้างทำความสะอาด จากนั้นนำไปแช่ในสารละลายน้ำเดี่ยมไฮโดรคลอโรฟิลล์ตั้งที่ใช้ข้างต้น นำห้องแห้งลงในน้ำและปั่นให้แห้ง จากนั้นนำไปเคลือบผิวด้วยสารเคลือบผิว โดยการจุ่มให้ทั่วห้องห้องแห้ง พร้อมกับที่ไว้ให้แห้ง ชั้นหัวหนักประมาณ 125 กรัม แล้วจึงบรรจุในกล่องพลาสติก (กว้าง  $\times$ ยาว  $\times$ สูง เท่ากับ 100x150x40 มิลลิเมตร) รวมวิธีของการวิจัยประกอบด้วย (1) สารเคลือบผิวผสมผงเปลือกมะม่วง 1% (w/v) (SHL-MPP1) (2) สารเคลือบผิวผสมผงเปลือกมะม่วง 3% (w/v) (SHL-MPP3) (3) สารเคลือบผิว ที่ไม่มีผงเปลือกมะม่วง (SHL-MPPO) และ (4) ไม่มีการเคลือบผิว (ชุดควบคุม หรือ CTRL) โดยเก็บรักษาห้องแห้งที่อุณหภูมิ 10 °C ความชื้นสัมพัทธ์ 80-85% RH เป็นเวลา 14 วัน การทดสอบคุณภาพ ประกอบด้วย อัตราการหายใจ วัดอัตราการผลิตแก๊ส CO<sub>2</sub> ในระบบปิด ด้วยการประยุกต์วิธีของ Phungam *et al.* (2018) การวิเคราะห์สีผิวบวมเรืองรอย

ตัด (วัดความสว่าง หรือค่า L\* ด้วยเครื่อง Hunter Lab Colorflex model 4510) ความแన่นเนื้อ (หน่วย N วัดด้วยเครื่อง LLODY model LR, US) ความเข้มข้นเอกทานอลในเนื้อเยื่อ (หน่วย  $\text{mg kg}^{-1}$  วิเคราะห์ด้วยเครื่อง FID-GC, GC2014, Shimadzu, Japan) และร้อยละการสูญเสียน้ำหนัก ประยุกต์ตัวที่รายงานใน Utto *et al.* (2018) และปริมาณวิตามินซีโดยวิธีการไฟทรต ซึ่งประยุกต์ตัวที่รายงานโดย วีเวทัย และคณะ (2555) จากการศึกษาเบื้องต้นพบว่าห้อมแดงตัดแต่งสดในสภาวะการเก็บรักษาไม่พบเชื้อจุลินทรีย์ที่มองเห็นด้วยตาเปล่า และปริมาณเชื้อจุลินทรีย์ทั้งหมดมีค่าอยู่ในมาตรฐานของกรมวิทยาศาสตร์การแพทย์ ( $< 6 \log \text{CFU g}^{-1}$ ) ดังนั้นจึงไม่ศึกษาเชื้อจุลินทรีย์ในการวิจัยนี้ การวางแผนการทดลอง วางแผนการทดลองแบบสุ่มบล็อกสมบูรณ์ จำนวน 2 ชั้นการทดลอง วิเคราะห์ความแปรปรวน (ANOVA) ที่ระดับความเชื่อมั่น 95% ทำการเปรียบเทียบความแตกต่างของค่าเฉลี่ยด้วยวิธี Least Significant Difference (LSD) ซึ่งใช้โปรแกรมสถิติ SPSS

### ผล

อัตราการหายใจของห้อมแดงที่เคลือบผิวทุกกรรมวิธีมีค่าเฉลี่ยต่ำกว่าอัตราการหายใจของห้อมแดงที่ไม่ได้เคลือบผิวประมาณ 1.5-2 เท่า (Figure 1) ห้อมแดงที่เคลือบผิวด้วยเซลล์กี้ซึ่งมีส่วนผสมของผงเปลือกมะม่วงมีอัตราการหายใจต่ำกว่าที่เคลือบด้วยเซลล์กอย่างเดียวแม้ว่าจะไม่แตกต่างอย่างมีนัยสำคัญทางสถิติ ทั้งนี้อัตราการหายใจมีค่าลดลงเมื่อมีการเพิ่มปริมาณผงเปลือกมะม่วงในสารเคลือบผิว ปริมาณวิตามินซีของห้อมแดงที่ไม่เคลือบผิวมีการลดลงในอัตราเร็วกว่าในห้อมแดงที่มีการเคลือบผิวทุกกรรมวิธี อย่างไรก็ตามสารเคลือบผิวที่มีส่วนผสมของผงมะม่วงมีแนวโน้มลดการลดลงของปริมาณวิตามินได้ดีกว่าการเคลือบผิวด้วยเซลล์กเพียงอย่างเดียว การเคลือบผิวจะลดการสูญเสียน้ำหนักได้ดีกว่าการไม่เคลือบผิว แต่การเพิ่มผงมะม่วง 3% (w/v) (SHL-MPP3) ทำให้เกิดการสูญเสียน้ำหนักได้ในระดับที่สูงกว่าการผสาน 1% (w/v) (SHL-MPP1) ทั้งนี้ความแన่นเนื้อไม่มีการเปลี่ยนแปลงอย่างมีนัยสำคัญระหว่างการเก็บรักษาในทุกสิ่งทดลอง (ไม่แสดงข้อมูล)

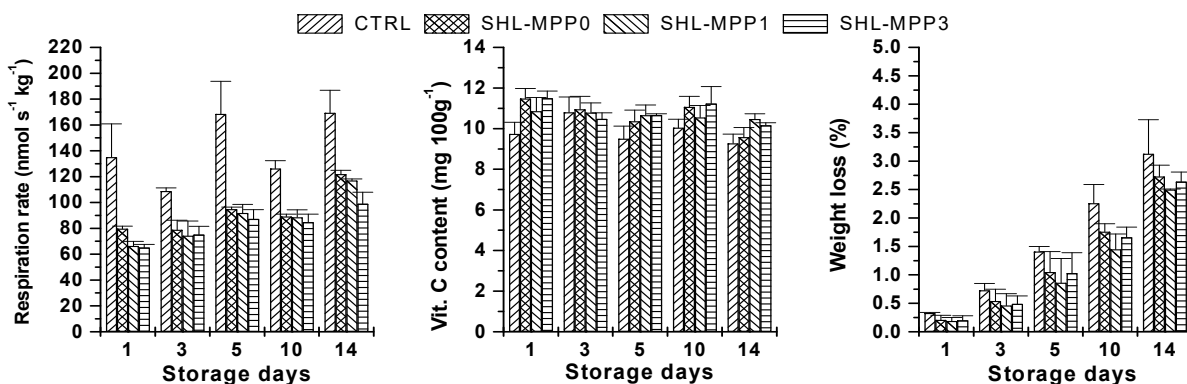


Figure 1 Effects of shellac coating material containing dried mango peel powder (1% and 3% w/v) on respiration rate, vitamin C contents and weight loss of fresh-cut shallots kept at 10°C for 14 days

ค่า L\* บริเวณรอยตัดมีแนวโน้มลดลงในระหว่างการเก็บรักษา ค่า L\* ของห้อมแดงที่ไม่เคลือบผิวมีค่าต่ำกว่าห้อมแดงที่เคลือบแม้ว่าไม่มีความแตกต่างอย่างมีนัยสำคัญทางสถิติ นอกจากนี้ไม่พบความแตกต่างในค่า L\* ระหว่างห้อมแดงที่เคลือบเซลล์กอย่างเดียวหรือมีส่วนผสมของผงเปลือกมะม่วง (Figure 2) การเคลือบผิวทำให้ปริมาณเอกทานอลในเนื้อเยื่อสูงขึ้นถึง  $250 \text{ mg kg}^{-1}$  ในช่วง 5 วันแรก จากนั้นได้ลดลงอย่างรวดเร็วและเหลืออยู่ในช่วง  $25-70 \text{ mg kg}^{-1}$  เมื่อสิ้นสุดการทดลอง ในขณะที่ปริมาณเอกทานอลในเนื้อเยื่อของห้อมแดงที่ไม่เคลือบผิวมีค่าเท่ากับ  $0 \text{ mg kg}^{-1}$  ตลอดระยะเวลาการเก็บรักษา (Figure 2)

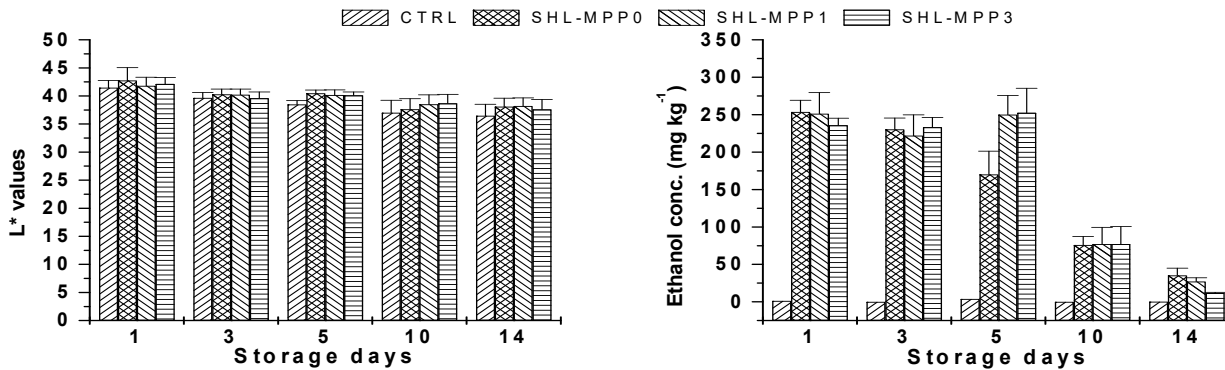


Figure 2 Effects of shellac coating material containing dried mango peel powder (1% and 3% w/v) on L\* values and ethanol concentration in tissues of fresh-cut shallots kept at 10°C for 14 days

### วิจารณ์ผลการทดลอง

การเคลือบผิวสัมผัลให้อัตราการหายใจลดลง (Figure 1) เนื่องจากชั้นฟิล์มที่ก่อตัวขึ้นจากสารเคลือบที่บีริเวนผิวน้ำของหอยแดง ส่งผลให้การแพร่ของแก๊ส O<sub>2</sub> จากสิ่งแวดล้อมเข้าสู่เนื้อเยื่อเพื่อใช้ในกระบวนการก้าวหายใจเกิดขึ้นในอัตราเร็วที่ลดลง ปรากฏการณ์ดังกล่าวอธิบายด้วย Fick's law of diffusion กล่าวคือ อัตราเร็วของการแพร่ซึ่งเป็นก่อไปสำคัญของการแลกเปลี่ยนแก๊สระหว่างผลิตผลและสิ่งแวดล้อมมีความสัมพันธ์แบบผกผันกับความหนาของฟิล์ม (วีรวิทย์, 2562) และนำไปสู่การลดลงของอัตราเร็วในการแลกเปลี่ยนทั้งแก๊ส O<sub>2</sub> และ CO<sub>2</sub> (Phungam *et al.* 2018) การเพิ่มผิวมะม่วงในสารเคลือบผิวเซลล์แลกสัมผัลให้อัตราการหายใจลดลง อาจเป็นผลจากการเพิ่มความคงต้อง หรือ tortuosity ในเส้นทางการแพร่ของแก๊สในโครงสร้างพอลิเมอร์ ดังกรณีการเพิ่มวัตถุต้านออกไซด์ในโครงสร้างของฟิล์มสตาร์ช (Ortega *et al.*, 2017) นอกจากนี้อาจเกิดจากความสามารถด้านอนุมูลอิสระของผิวเปลือกมะม่วงที่ช่วยลดกระบวนการเมแทบoliซึมของผลิตผล (Rojars-Bravo *et al.*, 2019) ผลของการเคลือบผิวต่อปริมาณวิตามินซีมีทิศทางเดียวกันกับอัตราการหายใจ (Figure 1) ในขณะที่สารเคลือบผิวลดการสูญเสียน้ำหนักสดได้ดีกว่าชุดควบคุม แต่การเพิ่มผิวมะม่วงในระดับ 3% (w/v) ทำให้สูญเสียน้ำหนักสูงกว่า 1% (w/v) หรือการใช้สารเคลือบเซลล์แลกเพียงอย่างเดียว ผู้วิจัยตั้งสมมติฐานว่าเป็นผลจากการคุณภาพขึ้นที่สูญเสียจากหอยแดงซึ่งอยู่ในชั้นสารเคลือบผิวโดยผิวมะม่วงที่มีสมบัติคุณภาพ ภาวะคุณภาพทำให้ความคงตันลดลง จึงทำให้ความแตกต่างของความตันเพิ่มขึ้นและนำไปสู่การเพิ่มขึ้นของอัตราเร็วของการแพร่ โดยระดับการคุณภาพผันแปรตามปริมาณของวัตถุคุณภาพ (Adamson and Gast, 1997)

การเคลือบผิวจะลดการลดลงของความส่วนของจราจรสัมผัล (Figure 2) เนื่องจากชั้นฟิล์มจะลดการแพร่ของแก๊ส O<sub>2</sub> ซึ่งทำให้อัตราการเกิดปฏิกิริยาสิน้ำตาลที่เกี่ยวข้องกับเอนไซม์เกิดขึ้นได้ช้าลง (Robertson, 2012) อย่างไรก็ตามการเพิ่มผิวมะม่วงทำให้ความคงตันลดลงบ้าง การเคลือบผิวทำให้ปริมาณเอกทานอลในเนื้อเยื่อสูงขึ้นกว่าหอยแดงที่ไม่เคลือบผิวในช่วงเวลา 5 วันแรก ซึ่งเป็นผลจากความเครียดของการเคลือบผิวที่เหนี่ยวาระสร้างสารให้กัลลินสและเอกทานอล (Kato-Noguchi and Watada, 1997) การลดลงของเอกทานอลในช่วงท้ายอาจเป็นผลจากการระเหยสูบราชากาสและ/or การเปลี่ยนเป็น酛เทอร์ เน่น เอทิลแอลกอฮอล โดยเอนไซม์ alcohol acyl transferase (AAT) (Jin *et al.* 2013)

### สรุปผลการทดลอง

สารเคลือบผิวเซลล์แลกซึ่งมีส่วนผสมของผิวมะม่วงแก้วขึ้น 1% (w/v) มีศักยภาพในการชะลอการเปลี่ยนแปลงคุณภาพของหอยแดงตัดแต่งสัด ในระหว่างการเก็บรักษา ทั้งนี้ผิวเปลือกมะม่วงเป็นแนวทางการใช้ประโยชน์จากของเหลวในภาคเกษตรต่อไป ผลกระทบวิจัยนี้สนับสนุนความรู้ด้านการยกระดับสมบัติ เชิงหน้าที่ของสารเคลือบผิวตัวอย่างสารเติมแต่ง และควรมีการศึกษาต่อไป เช่น สมบัติด้านอนุมูลอิสระ หรือการประยุกต์ใช้ผิวเปลือกมะม่วงกับสารเคลือบผิวประเภทอื่นๆ

### คำขอบคุณ

ขอขอบคุณสำนักงานความร่วมมือเพื่อการพัฒนาระหว่างประเทศ กระทรวงต่างประเทศ และห้องปฏิบัติการเทคโนโลยีหลังการเก็บเกี่ยว คณะเกษตรศาสตร์ มหาวิทยาลัยอุบลราชธานี ที่ให้การสนับสนุนสถานที่และอุปกรณ์การวิจัย

### เอกสารอ้างอิง

- วนัสนันท์ วงศ์ชัย, พงศธร ชัยสวัสดิ์, เกษม เปนาลวด, วิรัฒนวงศ์ บุญหนุน และกาญจน์เกล้า พลเดน. 2562. การวิเคราะห์ต้นทุนและผลกระทบแทนจากการปลูกห้อมแดงในพื้นที่ยางชุมน้อย จังหวัดศรีสะเกษ. วารสารวิชาการ มหาวิทยาลัยราชภัฏศรีสะเกษ 18(3): 118-123.
- วีรวิทย์ อุทิช. 2562. งานบรรจุภัณฑ์บรรณาการดัดแปลงแอคทีฟสำหรับผักและผลไม้. พิมพ์ครั้งที่ 2. โรงพิมพ์มหาวิทยาลัยอุบลราชธานี. 192 หน้า.
- วีรวิทย์ อุทิช, เอกสิทธิ์ อ่อนสะอาด และร่วด ชัยราษ. 2555. การพัฒนาของควบคุมการปล่อยไออกซีเจนและเหล็กออกไซด์. วารสารเกษตรพระจอมเกล้า 30: 39-49.
- Adamson, A.W. and G.A. Gast. 1997. Physical Chemistry of Surfaces. 6<sup>th</sup> edition. Wiley & Son Ltd. 808 p.
- Jin, Y.Z., D.Q. Lv, W.W. Liu, H.Y. Qi and X.H. Bai. 2013. Ethanol vapor treatment maintains postharvest storage quality and inhibits internal ethylene biosynthesis during storage of oriental sweet melons. Postharvest Biology and Technology 86: 372-380.
- Kato-Noguchi, H. and A.E. Watada. 1997. Effects of low oxygen atmosphere on ethanolic fermentation in fresh-cut carrots. Journal of the American Society of Horticultural Science 122: 107-111.
- Ortega, F., L. Giannuzzi, V.B. Arce, and M.A. Garcia. 2017. Active composite starch films containing green synthetized silver nanoparticles. Food Hydrocolloids 70: 152-162.
- Phungam, N., W. Utto and R. Pruthikul. 2018. Interaction between surface coating using cabbage leaf wax extract and temperature on water vapour and gas exchange properties of fresh okra (*Abelmoschus esculentus* (L.) Moench). International Food Research Journal 25(5): 1885-1892.
- Robertson, G.L. 2012. Food Packaging. Principles and Practice. 3<sup>rd</sup> edition. CRC Press. 568 p.
- Rojas-Bravo, M., E.G. Rojas-Zenteno, P. Hernandez-Carranza, R. Avila-Sosa, R. Aguilar-Sanchez, I.I. Ruiz-Lopez and C.E. Ochoa-Velasco. 2019. A potential application of mango (*Mangifera indica* L. cv Manila) peel powder to increase the total phenolic compounds and antioxidant capacity of edible films and coatings. Food and Bioprocess Technology 12: 1584-1592.
- Torres-León, C., A.A. Vicente, M.I. Flores-López, R. Rojas, L. Serna-Cock, O.B. Alvarez-Perez and C.N. Aguilar. 2018. Edible films and coatings based on mango (var. Ataulfo) by-products to improve gas transfer rate of peach. LWT-Food Science and Technology 97: 624-631.
- Utto, W., P. Rittirong, P. Malila, A. Noomhorm and J.E. Bronlund. 2018. Delaying microbial proliferation in freshly peeled shallots by active packaging incorporating ethanol vapour-controlled release sachets and low storage temperature. Food Science and Technology International 24(2): 132-144.

**ผลของสารเคลือบผิวไข่สั่งต่อคุณภาพของส้มซ่าระหว่างการขนส่งแบบจำลอง**  
**Effect of Bee Wax Coatings on Quality of Sour Orange (*Citrus aurantium*) during Simulated Transportation**

ศรัณยา เพ่งผล<sup>1</sup> ณัฐชา ชื่นเนียม<sup>1</sup> และวิลาวัลย์ คำปวน<sup>2</sup>  
Sarunya Pengphol<sup>1</sup>, Natcha Chuenniam<sup>1</sup> and Wilawan Kumpoun<sup>2</sup>

### Abstract

Effect of bee wax coating on quality during simulated transportation at 29°C was investigated. The experimental design was a Completely Randomized Design (CRD) with 7 treatments (3 replicates): unwashed, washed, bee wax coating concentration at 4 and 6%, bee wax coating concentration at 4% with antifungal, commercial coating (Teva) and plastic wrap (polyethylene). Then fruit were packed in the cardboard boxes, after that transport qualities were analysis every 3 days. It was found that the sour orange of unwashed and polyethylene plastic wrap treatments had storage time 12 days, while the coating treatments can extend shelf life of the orange up to 15 days. In addition, the 6% bee wax coating was reduced weight loss and slow down the yellowing of the peel. Treatment of 4% bee wax coating with anti-fungal had the highest score of consumer sensory such as color, flavor and freshness, followed by 6% bee wax coating treatment. However, total soluble solids (TSS) and titratable acidity (TA) in sour orange of all treatments were not significantly throughout transportation time.

**Keywords:** bee wax coating, sour orange, transportation

### บทคัดย่อ

การศึกษาผลของสารเคลือบผิวไข่สั่งต่อคุณภาพของส้มซ่าระหว่างการขนส่งแบบจำลองที่อุณหภูมิ 29 องศาเซลเซียส โดยวางแผนการทดลองแบบสุ่มสมบูรณ์ (Completely Randomized Design (CRD)) ประกอบด้วย 7 กรรมวิธี (3 ชุด) ได้แก่ ไม่ล้างผล ล้างผล การเคลือบผิวด้วยไข่สั่งความเข้มข้น 4 และ 6 เปอร์เซ็นต์ การเคลือบผิวด้วยไข่สั่ง 4 เปอร์เซ็นต์ ร่วมกับสารกันรา การเคลือบผิวทางการค้า (Teva) และการหุ้มผลด้วยพลาสติกชนิดพอลิเอทิลีนชนิดยีด จากนั้นบรรจุผลส้มซ่าในกล่องกระดาษ และทำการวิเคราะห์คุณภาพของส้มซ่าระหว่างการขนส่งทางไปรษณีย์ทุก 3 วัน พบว่า กรรมวิธีไม่ล้าง และการใช้พลาสติกพอลิเอทิลีนชนิดยีดมีอายุการเก็บรักษาเพียง 12 วัน ในขณะที่กรรมวิธีที่เคลือบผิวสามารถยืดอายุการเก็บรักษาผลส้มซ่าได้ถึง 15 วัน นอกจากนี้ผลการทดลองยังพบว่ากรรมวิธีที่เคลือบผิวด้วยไข่สั่ง 6 เปอร์เซ็นต์ สามารถลดการสูญเสียน้ำหนักชั่วคราวได้มากกว่ากรรมวิธีที่เคลือบผิวด้วยไข่สั่ง 4 เปอร์เซ็นต์ ร่วมกับสารกันรา มีคะแนนความพึงพอใจของผู้บริโภคด้านสี กลิ่น และความสดมากที่สุด รองลงมาคือ กรรมวิธีที่เคลือบผิวด้วยไข่สั่ง 6 เปอร์เซ็นต์ อย่างไรก็ตามปริมาณของแข็งทั้งหมดที่ละลายน้ำได้ (TSS) และปริมาณกรดทั้งหมดที่ให้เทเรตได้ (TA) ของผลส้มซ่าทุกกรรมวิธีมีแนวโน้มไม่แตกต่างกันทางสถิติโดยอยู่ในกรอบมาตรฐานส่ง

**คำสำคัญ:** สารเคลือบผิวไข่สั่ง ส้มซ่า การขนส่ง

### คำนำ

ส้มซ่า (Seville orange) มีผลกลมเส้นผ่านศูนย์กลางผลประมาณ 5-8 เซนติเมตร เปลือกผลหนา ผิวขรุขระมีกลิ่นหอมผลดิบสีเขียว ผลสุกสีเหลือง เนื้อขาวน้ำ รสเปรี้ยวปานหวาน ในปัจจุบันมีการใช้สารเคลือบผิวกันอย่างแพร่หลายเพื่อยืดอายุผลไม้หลังการเก็บเกี่ยว โดยเฉพาะส้มซ่า ซึ่งสารเคลือบผิวหรือไข่ (wax) คือสารในกลุ่มลิพิด (lipid) ไข่ที่พบในธรรมชาติเป็นสารประกอบประเภทเอสเทอร์ของกรดไขมันกับแอลกอฮอล์ที่มีน้ำหนักโมเลกุลต่ำและเป็นแอลกอฮอล์ที่มีหมู่ไฮดรอกซิลเพียงหมู่เดียว (monohydric alcohol) มีจุดหลอมเหลวสูง เป็นของแข็งที่อุณหภูมิห้อง ได้แก่ ไข่ที่ผลิตจากส่วนประกอบจากพืช เช่น

<sup>1</sup> คณะเทคโนโลยีการเกษตรและเทคโนโลยีอุตสาหกรรม มหาวิทยาลัยราชภัฏสวนสุนันทา นครสวรรค์ 60000

<sup>1</sup> Faculty of Agricultural Technology and Industrial Technology, Nakhon Sawan Rajabhat University, Nakhon Sawan, 60000

<sup>2</sup> สถาบันวิจัยวิทยาศาสตร์และเทคโนโลยี มหาวิทยาลัยเชียงใหม่ เชียงใหม่ 50200

<sup>2</sup> Science and Technology Research Institute, Chiang Mai University, Chiang Mai, 50200

## อุปกรณ์และวิธีการ

การศึกษาผลของสารเคลือบผิวต่อคุณภาพระหว่างการขันส่งของส้มช้ำที่อุณหภูมิห้อง ( $29^{\circ}\text{C}$ ) โดยวางแผนการทดลองแบบ Completely Randomized Design (CRD) ประกอบไปด้วย 7 กรรมวิธี (3 ชั้น 1 ไม่ล้าง 2 ล้าง 3 ล้าง + สารเคลือบผิวไวนิล 4% 4) ล้าง + สารเคลือบผิวไวนิล 6% 5) ล้าง + สารเคลือบผิวไวนิล 4% + สารกันรา 6) ล้าง + สารเคลือบผิวทางการค้า (Teva) และ 7) หุ้มผลด้วยพลาสติกพอลิเอทิลีนชนิดเยื่อ จากนั้นหุ้มผลส้มช้ำแต่ละกรรมวิธีด้วยตาข่ายโพฟมห่อผลไม้แล้วบรรจุลงในกล่องกระดาษสาแพสมีอนการขันส่งทางไปรษณีย์แบบจำลองที่อุณหภูมิ  $29^{\circ}\text{C}$  และวิเคราะห์ผลการทดลองระหว่างการขันส่ง ได้แก่ การสูญเสียน้ำหนัก (%) ปริมาณของแข็งทั้งหมดที่ละลายน้ำได้ (Total soluble solids; TSS) ปริมาณกรดทั้งหมดที่ไหเตรตได้ (Titratable acidity; TA) การเกิดสีเหลือง โดยทำการเบรย์บเทียบพื้นที่เกิดสีเหลืองจากพื้นที่ทั้งหมดของผล (%) และคะแนนการยอมรับของผู้บริโภคด้านสี กลิ่น และความสด โดยวิเคราะห์คุณภาพทุก 3 วัน เป็นระยะเวลา 15 วัน จำนวนวิเคราะห์ข้อมูลความแปรปรวนและทดสอบความแตกต่างของค่าเฉลี่ยด้วยวิธี Least Significant Difference (LSD) ในโปรแกรม (Statistical Package for the Social Science for Windows, SPSS)

၂၈

จากการศึกษาผลของสารเคลือบผิวไนฟ์ต่อคุณภาพสัมชาระระหว่างการขนส่งที่อุณหภูมิ 29°C พบว่า ทุกกรรมวิธีมีการสูญเสียเพิ่มขึ้นตลอดอายุการเก็บรักษาในระหว่างการขนส่ง และสัมชารกรรมวิธีไม่ล้างแล้วหุ้มด้วยพลาสติกยึดมีอายุการเก็บรักษาเพียง 12 วัน และเมื่อเก็บรักษาเป็นเวลา 15 วัน พบร่วงผลลัพธ์ซ้ำในกรุณาวิธีที่เฝ้าระวังลักษณะการสูญเสียน้ำหนักของผลมากที่สุดตลอดอายุการเก็บรักษา ส่วนกรรมวิธีที่เคลือบผิวด้วยไนฟ์ 6% มีแนวโน้มการสูญเสียน้ำหนักน้อยที่สุดตลอดอายุการเก็บรักษา ซึ่งมีความแตกต่างกันทางสถิติอย่างมีนัยสำคัญที่ระดับความเชื่อมั่น 99% (Figure 1A) นอกจากนี้การทดลองยังพบร่วงผลลัพธ์ทุกกรรมวิธีเปลือกผลเป็นสีเหลืองเพิ่มขึ้นตลอดอายุการเก็บรักษา ผลของสัมชารที่ไม่ได้เคลือบผิว 2 กรรมวิธี คือ กรรมวิธีไม่ล้าง และกรรมวิธีล้าง พบร่วงเป็นสีเหลืองของเปลือกมากกว่าผลลัพธ์ที่เคลือบผิวทุกกรรมวิธีตลอดอายุการเก็บรักษา นอกจากนี้ผลลัพธ์ที่เคลือบผิวด้วยไนฟ์ 6% และที่เคลือบผิวด้วยไนฟ์ 4% ร่วมกับสารกันราภัยแนวโน้มการเกิดสีเหลืองน้อยที่สุดตลอดอายุการเก็บรักษา ซึ่งมีความแตกต่างกันทางสถิติอย่างมีนัยสำคัญที่ระดับความเชื่อมั่น 95% (Figure 1B และ Figure 2)

ประเมินของแข็งทั้งหมดที่ละลายน้ำได้และประเมินกรดทั้งหมดที่ไก่เกรตได้ของสัมช่าทุกกรรรมวิธีมีการเปลี่ยนแปลงเพียงเล็กน้อยตลอดอายุการเก็บรักษา โดยไม่มีความแตกต่างกันทางสถิติ (Figure 3) ขณะที่ผลสัมช่าที่เคลือบผิวด้วยไข่ผึ้ง 4% ร่วมกับสารกันรา米คัมแบนความพึงพอใจของผู้บริโภคต้านสี กลิ่น และความสดมากที่สุดตลอดอายุการเก็บรักษา 15 วัน โดยมีความแตกต่างกันทางสถิติ (Figure 4)

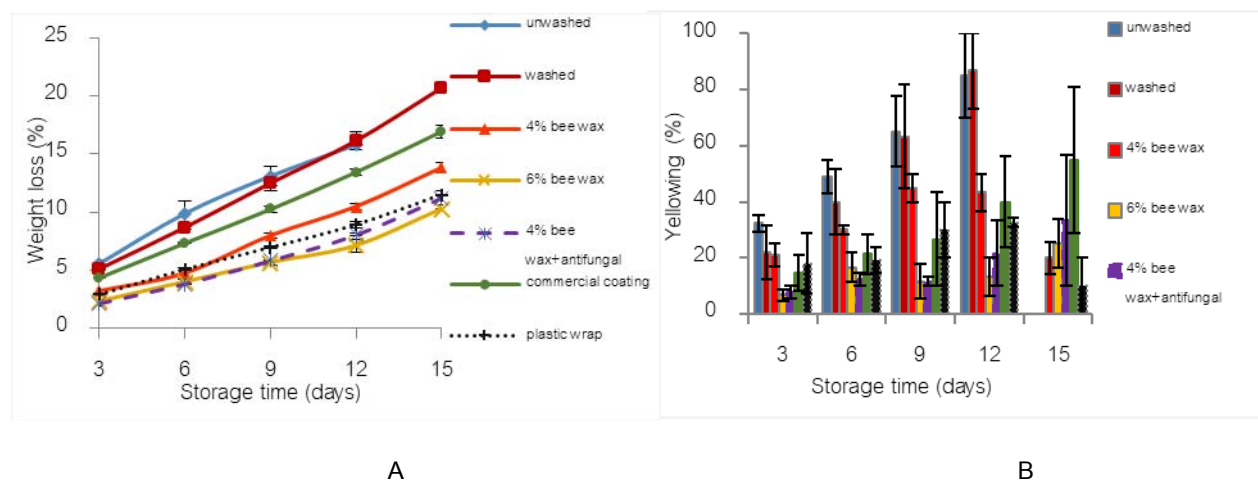


Figure 1 Weight loss (A) and peel yellowing (B) of sour orange with difference coating materials during simulated transportation at 29°C.

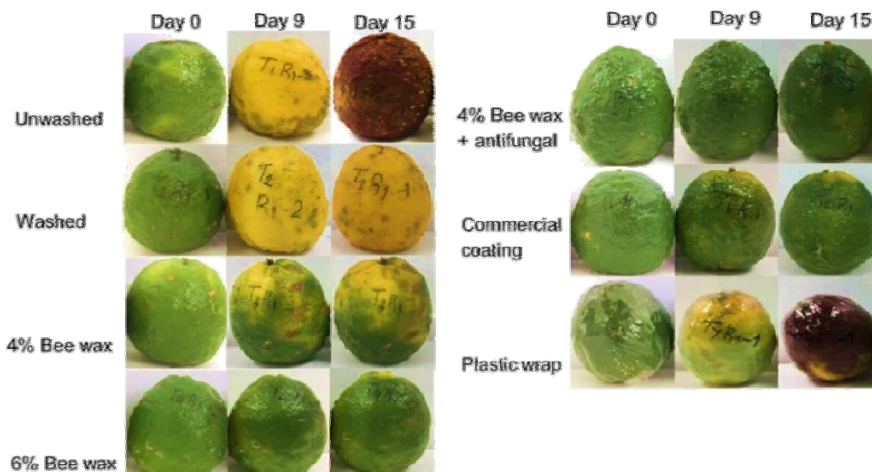


Figure 2 Appearance of sour orange coating with difference materials during simulated transportation at 29°C.

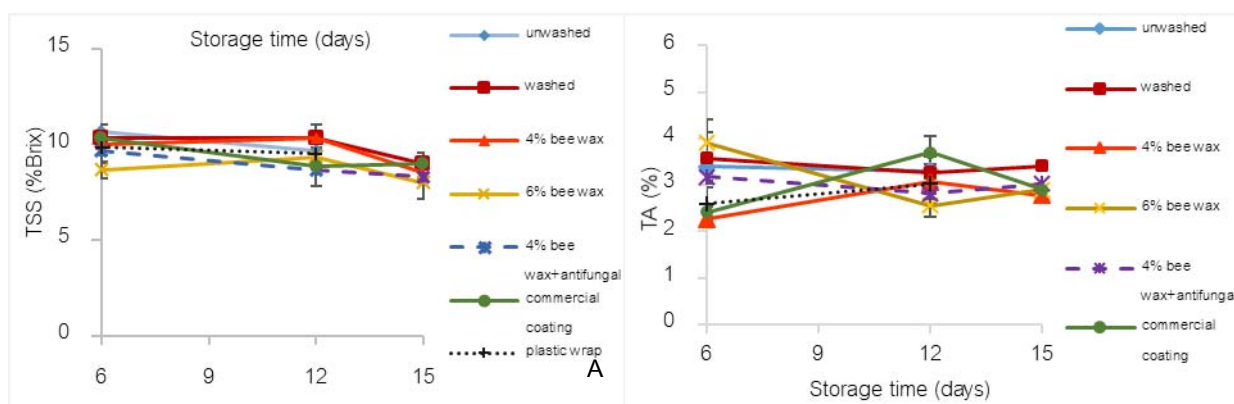


Figure 3 Total soluble solids (A) and titratable acidity (B) of sour orange coated with difference coating materials during simulated transportation at 29°C.

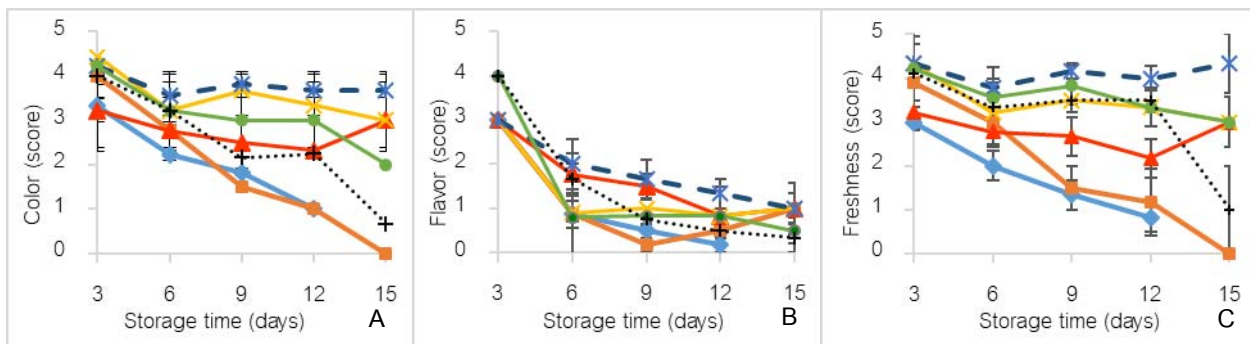


Figure 4 Sensory evaluation of color (A), flavor (B) and freshness (C) of sour orange coated with difference coating materials during simulated transportation at 29°C.

### วิจารณ์ผล

การเคลือบผิวผลส้มซ่าด้วยไข่ผึ้งซึ่งเป็นสารเคลือบผิวจากธรรมชาติสามารถลดการสูญเสียน้ำหนักของผลส้มซ่าได้เนื่องจากสารเคลือบผิวสามารถปิดช่องเปิดต่างๆ เช่น ปากใบ และเลนติเซลล์ จึงทำให้มีการคายน้ำลดลง (สายชล, 2538) นอกจากนี้สารเคลือบผิวตามธรรมชาติยังช่วยลดอัตราการแผลเปลี่ยนกลิ่นก้าว ส่งผลให้กระบวนการอาหารหายใจช้าลง ผลไม้จึงมีลักษณะปราศจากหือด (กรมวิทยาศาสตร์บริการ กระทรวงวิทยาศาสตร์และเทคโนโลยี, 2557) จากการทดลองพบว่าผลส้มซ่าที่เคลือบผิวด้วยไข่ผึ้ง 6% มีการสูญเสียน้ำหนักของผลส้มซ่าน้อยที่สุด เนื่องจากสารเคลือบผิวมีปริมาณไข่ผึ้งมากกว่ารวมวิธีอื่น จึงมีผลทำให้เกิดการคายน้ำออกผลน้อยกว่า โดยปัจจัยที่มีผลต่อการใช้สารเคลือบผิวกับผลิตผลแต่ละชนิด ได้แก่ ความแตกต่างของสารเคลือบผิวแต่ละชนิด และความเข้มข้น เนื่องจากผลไม้มีไข่ธรรมชาติเคลือบผิวอยู่แล้ว ซึ่งปริมาณอาจแตกต่างกัน การใช้สารเคลือบผิวกับผลิตผลอีกครั้งหนึ่งต้องใช้ในความเข้มข้นที่เหมาะสมจึงจะสามารถรักษาคุณภาพ เช่น การสูญเสียน้ำของผลิตผลได้ดี นอกจากนี้การเคลือบผิวมีผลลดอัตราการสลายตัวของคลอโรฟิลล์ อาจเนื่องมาจากการใช้สารเคลือบผิวมีผลลดหรือชะลอปฏิกิริยาเคมีต่าง ๆ ภายในผลลงได้ สอดคล้องกับงานนิจย์ที่ใช้วิธีการลดปริมาณออกซิเจนลงเพื่อชะลอการสลายตัวของคลอโรฟิลล์ และสามารถยืดอายุการเก็บรักษาของผลไม้ได้ (จิงแท้, 2541) ทั้งนี้จากการทดลองแสดงให้เห็นว่าผลส้มซ่าที่ไม่ล้างและหุ้มผลด้วยพลาสติกโพลีเอทิลีนชนิดมีอายุการเก็บรักษาเพียง 12 วัน โดยผลส้มซ่าที่ไม่ล้างทำความสะอาดอาจมีเชื้อติดมากทำให้เกิดการเน่าเสีย ส่วนผลส้มซ่าที่หุ้มผลด้วยพลาสติกชนิดมีเด็กสภาพดัดแปลงบรรยายกาศภายในผลทำให้การคายน้ำ การหายใจ และการแผลเปลี่ยนเข้าออกของแก๊สภายในและภายนอกไม่ปกติ จึงส่งผลทำให้เกิดลักษณะผิดปกติของผลส้มซ่า แต่จากการทดลองใช้สารเคลือบผิวไข่ผึ้งทุกร่วมวิธี พบว่า มีปริมาณ TSS และ TA ไม่แตกต่างกันทางสถิติ สอดคล้องกับ Kumpoun and Uthaibuttra (2018) ซึ่งใช้สารเคลือบผิวไข่ผึ้งเคลือบผิวนานาพันธุ์เป็นที่ผลิตจาก 2 แหล่ง ผลิตในพื้นที่สูง และพื้นที่ลุ่ม พบว่า การเคลือบผิวด้วยไข่ผึ้งความเข้มข้น 6% สามารถช่วยลดการเสื่อมสภาพของนานาพันธุ์ เป็นทั้ง 2 แหล่งผลิตได้ เมื่อเปรียบเทียบกับนานาที่ไม่ได้เคลือบผิว แต่การเคลือบผิวไม่มีผลต่อปริมาณ TSS และ TA ของนานา

### สรุป

การเคลือบผิวด้วยไข่ผึ้ง 6% ช่วยลดการสูญเสียน้ำหนักของส้มซ่า และสามารถชะลอการเปลี่ยนแปลงจากสีเขียวเป็นเกิดสีเหลืองได้ดีเมื่อเทียบกับทุกร่วมวิธี สำหรับผลส้มซ่าที่เคลือบผิวด้วยไข่ผึ้ง 4% ร่วมกับสารกันร้ายมีค่าแทนการประเมินคุณภาพทางประสาทสัมผัสสูงที่สุด รองลงมาคือร่วมวิธีที่เคลือบผิวด้วยไข่ผึ้ง 6% โดยการเคลือบผิวไม่มีผลต่อปริมาณ TSS และ TA ตลอดอายุการเก็บรักษาเป็นเวลา 15 วัน

### คำขอบคุณ

ขอขอบคุณกลุ่มผู้ผลิตส้มซ่า จากจังหวัดอุทัยธานี และขอบคุณสถาบันวิจัยวิทยาศาสตร์และเทคโนโลยี มหาวิทยาลัยเชียงใหม่ ที่เอื้อเฟื้อสารเคลือบผิวไข่ผึ้งในการทำงานวิจัย และขอบคุณห้องปฏิบัติการสรีริวิทยาพิชและวิทยาการหลังการเก็บเกี่ยว ภาควิชาเทคโนโลยีการเกษตรและเทคโนโลยีอุตสาหกรรม มหาวิทยาลัยราชภัฏสวนสุรเวช สำหรับการเอื้อเฟื้อสถานที่ และอุปกรณ์ในการทำวิจัยในครั้งนี้

### เอกสารอ้างอิง

- กรมวิทยาศาสตร์บริการ กระทรวงวิทยาศาสตร์และเทคโนโลยี. 2557. งานวิจัยสารเคลือบผิวผลไม้ยึดระยะเวลาในการสุกตัวลดการสูญเสียจากการขนส่งสินค้าในระยะเวลาnan. [ระบบออนไลน์]. แหล่งที่มา: [http://oldweb.most.go.th/main/index.php/org/40\\_50.html](http://oldweb.most.go.th/main/index.php/org/40_50.html). (18 กุมภาพันธ์ 2563).
- จริงแท้ ศิริพานิช. 2541. สรีรวิทยาและเทคโนโลยีหลังการเก็บเกี่ยวผักและผลไม้. มหาวิทยาลัยเกษตรศาสตร์. กรุงเทพมหานคร. 396 น.
- วิภาวดย์ คำปวน และจำรงค์ อุทัยบุตร. 2553. การใช้ไข่ผึ้งเป็นสารเคลือบผิวสำหรับลดระยะเวลาคงทนของมะม่วงนำเข้าจาก 2 แหล่งผลิต. วารสารวิทยาศาสตร์เกษตร 41(1): 130-133.
- สายชล เกตุชา. 2538. สรีรวิทยาและเทคโนโลยีหลัง การเก็บเกี่ยวผักและผลไม้. โรงพิมพ์ศูนย์ ส่งเสริมและฝึกอบรมแห่งชาติ. นครปฐม. 364 น.
- Kumpoun, W. and J. Uthaibuttra. 2018. Shelf and storage life extension by beeswax coating for 'Pan' lime fruit from two production locations. *Acta Horticulturae* 1213: 171-176.

## ผลกระทบความไม่ต่อเนื่องของห่วงโซ่ความเย็นต่อคุณภาพภายหลังการเก็บเกี่ยวของผักสลัดคอส

### Effect of Breaking the Cold Chain on Postharvest Quality of Cos Lettuce

วรินทร์ มนีวรรณ<sup>1,2</sup> ดาวร์ บันทูรัตน์<sup>1,2,3</sup> และ วิบูลย์ ช่างเรือ<sup>1,2,3</sup>  
Warintorn Maneewan<sup>1,2</sup> Damorn Bundhurat<sup>1,2,3</sup> and Viboon Changrue<sup>1,2,3</sup>

#### Abstract

The quality changes of trimmed cos lettuce (*Lactuca sativa* var. *longifolia*) packaged in a polyethylene bag were studied. Subsequently, cos lettuce was stored 4 °C, RH >80%. Simulated summer interruptions in Thailand at 35 °C for 15 and 30 minutes, respectively. Quality changes were evaluated everyday until the qualities were unacceptable by trained panelists. The qualities evaluated were percentage of weight loss, change in chlorophyll contents and color changes. The results revealed that in broken cold chain condition resulted in decreasing shelf life of cos lettuce from 5 days to 3 days after harvested with increasing weight loss throughout the storage. Cos lettuce in cold chain condition exhibited increasing in chlorophyll contents during the first 2 days of storage and gradually decreased at a later time. Total chlorophyll content of cos lettuce in broken cold chain at 35 °C for 15 and 30 minutes declined over the shelf life. The color of the leaves had changed from green to brown and began to deteriorate. This study indicated that the lack of cold chain had an effect on reducing in quality of cos lettuce.

**Keywords:** cos lettuce, quality change, cold chain

#### บทคัดย่อ

การเปลี่ยนแปลงคุณภาพของผักสลัดคอส (*Lactuca sativa* var. *longifolia*) ที่ผ่านการตัดแต่งและบรรจุในถุงพลาสติกพอลิเอทิลีนโดยเก็บรักษาผักสลัดคอสที่อุณหภูมิ 4 องศาเซลเซียส ความชื้นสัมพัทธ์มากกว่า 80 เปอร์เซ็นต์ และจำลองการขาดตอนในช่วงฤดูร้อนของประเทศไทยที่อุณหภูมิ 35 องศาเซลเซียส เป็นเวลา 15 และ 30 นาที ตามลำดับ วัดการเปลี่ยนแปลงคุณภาพทุกวันจนคุณภาพไม่เป็นที่ยอมรับของผู้บริโภคโดยผู้ประเมินที่ผ่านการฝึกฝนแล้ว คุณภาพที่ทำการวิเคราะห์ได้แก่ ร้อยละของการสูญเสียน้ำหนัก การเปลี่ยนแปลงปริมาณของคลอโรฟิลล์ และการเปลี่ยนแปลงสี พบร่วมกับการเปลี่ยนแปลงสี พบว่าผักสลัดคอสที่ผ่านการขาดตอนของห่วงโซ่ความเย็นมีอายุการวางจำหน่ายลดลงเหลืออยู่ 3 วัน จากเดิมที่มีอายุการวางจำหน่าย 5 วัน นับตั้งแต่วันเก็บเกี่ยว และมีแนวโน้มการสูญเสียน้ำหนักเพิ่มขึ้นตามระยะเวลาในการเก็บรักษา ผักสลัดคอสที่ไม่ผ่านการขาดตอนของห่วงโซ่ความเย็นมีปริมาณของคลอโรฟิลล์เพิ่มขึ้นในช่วง 2 วันแรกของการเก็บรักษาและคงอยู่ยาวนานกว่า ผลลัพธ์จากการเปลี่ยนแปลงสีของใบในลักษณะคล้ำและซีดจากลง เกิดการเน่าเสียที่บริเวณรอยตัด ซึ่งแสดงให้เห็นว่าการขาดตอนของห่วงโซ่ความเย็นมีผลต่อการลดลงของคุณภาพของผักสลัดคอส

**คำสำคัญ:** สลัดคอส การเปลี่ยนแปลงคุณภาพ ห่วงโซ่ความเย็น

#### คำนำ

ผักสลัดคอส (*Lactuca sativa* var. *longifolia*) นิยมนำมาบริโภคเป็นผักสด เป็นผักที่มีปริมาณน้ำเยื่อ 70-95% (Noumedem et al., 2017) ทำให้เกิดการบอบช้ำง่าย สงผลกระทบต่อคุณภาพของผักและอายุการวางจำหน่าย โดยคุณภาพเป็นปัจจัยหนึ่งที่มีผลต่อคุณภาพหลังการเก็บเกี่ยวของผัก ปัจจุบันมีการนำระบบห่วงโซ่ความเย็นเข้ามาควบคุมคุณภาพการเก็บรักษาผลผลิตให้เหมาะสมสมดังตั้งแต่กระบวนการหลังการเก็บเกี่ยวจนถึงมือผู้บริโภค เพื่อให้ผลผลิตคงคุณภาพสูงและช่วยยืดอายุในการเก็บรักษาในการจัดการห่วงโซ่ความเย็นมักจะมีขั้นตอนที่จัดการรักษาความเย็นได้ยาก เช่น การเคลื่อนย้ายผักจากห้องเย็นไปยังรถขนส่งและการเคลื่อนย้ายผักจากกรตขนส่งไปยังชั้นวางจำหน่าย ซึ่งมักมีการตั้งรองผลิตผลที่อุณหภูมิห้องเป็นระยะเวลา

<sup>1</sup> ศูนย์วิจัยเทคโนโลยีหลังการเก็บเกี่ยว คณะเกษตรศาสตร์ มหาวิทยาลัยเชียงใหม่ เชียงใหม่ 50200

<sup>1</sup> Postharvest Technology Research Center, Faculty of Agriculture, Chiang Mai University, Chiang Mai 50200, Thailand

<sup>2</sup> ศูนย์นวัตกรรมเทคโนโลยีหลังการเก็บเกี่ยว กระทรวงอุดมศึกษา วิทยาศาสตร์ วิจัยและนวัตกรรม, กรุงเทพฯ 10400

<sup>2</sup> Postharvest Technology Innovation Center, Ministry of Higher Education, Science, Research and Innovation, Bangkok 10400, Thailand

<sup>3</sup> ภาควิชาชีววิศวกรรมเครื่องกล คณะวิศวกรรมศาสตร์ มหาวิทยาลัยเชียงใหม่, เชียงใหม่ 50200

<sup>3</sup> Chiang Mai University, Faculty of Engineering, Department of Mechanical Engineering, Chiang Mai University, Chiang Mai 50200, Thailand

หนึ่ง อย่างไรก็ตาม ยังไม่มี มาตรฐานการทำงานที่แน่นอนที่ระบุระยะเวลาที่อนุญาตให้การหางผลิตผลผักแต่ละชนิดในอุณหภูมิห้องโดยไม่ส่งผลกระทบต่อคุณภาพของผลิตผล ด้วยเหตุนี้การวิจัยผลจากการหางไม่ต่อเนื่องของห่วงใช้ความเย็นต่อคุณภาพและอายุการเก็บรักษาผลผักจึงมีความสำคัญต่อการพัฒนาการจัดการกระบวนการขนส่งผลิตผลผักภายในห่วงใช้จ่ายในการดำเนินการที่สูงและเป็นแนวทางปฏิบัติที่ดีต่อไป

### อุปกรณ์และวิธีการ

นำผักสลัดคอสที่ผ่านการตัดแต่งและบรรจุในถุงพลาสติกpolyethylene ห้องเย็นในคงคัดบรรจุโครงการหลวงแม่เที่ยบบรรจุไส้กล่องโพเมที่มีสารเก็บความเย็นชนิดมากที่ห้องทดลอง คณะวิศวกรรมศาสตร์ มหาวิทยาลัยเชียงใหม่ ทำการแบ่งตัวอย่างออกเป็น 2 ชุด คือ 1. ชุดควบคุม 2. ชุดทดลอง โดยในตัวอย่างชุดทดลองจะทำการขาดตอนของห่วงใช้ความเย็นที่อุณหภูมิ 35 องศาเซลเซียส เป็นเวลา 15 และ 30 นาที ตามลำดับ เก็บรักษาตัวอย่างทั้ง 2 ชุด ที่อุณหภูมิ 4 องศาเซลเซียส ความชื้น 85% ที่มีพื้นที่มากกว่า 80 เบอร์เซ็นต์ วัดการเปลี่ยนแปลงคุณภาพทุกวันจนคุณภาพไม่เป็นที่ยอมรับของผู้บริโภคโดยผู้ประเมินที่ผ่านการฝึกฝนแล้ว คุณภาพที่ทำการวิเคราะห์ได้แก่ ร้อยละของการสูญเสียน้ำหนักตามวิธีของ Tao et al. (2006) โดยชั่งน้ำหนักสดของผักสลัดคอสโดยใช้เครื่องชั่งแบบศนยุ์ 2 ตำแหน่ง แล้วนำมารวบรวมหารร้อยละการสูญเสียน้ำหนักสด การเปลี่ยนแปลงปริมาณของคลอโรฟิลล์ด้วยเครื่อง UV-Visible spectrophotometer ตามวิธีของ Witham et al. (1971) และการเปลี่ยนแปลงสี โดยทำการวัดค่าสีบิวตันใบของผักสลัดคอสโดยทำการกำหนดดุดวัดของผักหัวละ 2 ชุด ทำการทดลอง 10 ตัวอย่าง/ชุดการทดลอง โดยการวัดค่าสีนี้จะใช้เครื่อง CR-300 ของบริษัท Minolta หัววัด รุ่น CR-310 วัดสีออกมาเป็นค่า L\*, Chroma และ Hue angle

### ผล

ผักสลัดคอสในชุดควบคุมสามารถเก็บรักษาได้ 5 วัน ส่วนผักสลัดคอสในชุดทดลองสามารถเก็บรักษาได้ 3 วัน มีแนวโน้มของการสูญเสียน้ำหนักเพิ่มสูงขึ้นตามระยะเวลาในการเก็บรักษา เมื่อเปรียบเทียบในวันที่ 3 ของการเก็บรักษาผักสลัดคอสที่ผ่านการขาดตอนของห่วงใช้ความเย็นที่อุณหภูมิ 35 องศาเซลเซียส เป็นเวลา 30 นาที มีอัตราการสูญเสียน้ำหนักสูงสุดเท่ากับ 4.82% รองลงมาคือผักสลัดคอสที่ผ่านการขาดตอนของห่วงใช้ความเย็นที่อุณหภูมิ 35 องศาเซลเซียส เป็นเวลา 15 นาที มีอัตราการสูญเสียน้ำหนักเท่ากับ 3.91% และผักสลัดคอสในชุดควบคุม มีอัตราการสูญเสียน้ำหนักเท่ากับ 2.92% ตามลำดับ (Figure 1) การเปลี่ยนแปลงปริมาณของคลอโรฟิลล์พบว่ามีปริมาณคลอโรฟิลล์ทั้งหมดอยู่ในช่วง 0.12-0.30 มิลลิกรัม/กรัมน้ำหนักสด มีแนวโน้มลดลงในทุกชุดการทดลองตลอดการเก็บรักษาแต่ในช่วง 2 วันแรกของการเก็บรักษา ผักสลัดคอสในชุดควบคุมจะมีปริมาณคลอโรฟิลล์เพิ่มขึ้นและอยู่ต่ำกว่าชุดทดลองในเวลาต่อมาจนหมดอายุการเก็บรักษา (Figure 2) การเปลี่ยนแปลงสีของใบ พบว่าค่า L\* ในทุกชุดการทดลองมีค่าไม่แตกต่างกันมากนัก มีค่าอยู่ในช่วง 48.39 – 49.86 ค่า Chroma พบว่าผักสลัดคอสในชุดการทดลองที่ผ่านการขาดตอนของห่วงใช้ความเย็น มีค่าอยู่ในช่วง 11.92 – 12.98 ต่ำกว่าชุดควบคุมที่มีค่าอยู่ในช่วง 14.71 – 16.93 และค่า Hue angle พบว่าผักสลัดคอสในทุกชุดการทดลองมีค่าอยู่ในช่วง 128 – 137 อยู่ในช่วงของสีเขียว แต่พบว่าผักสลัดคอสที่ผ่านการขาดตอนของห่วงใช้ความเย็นมีค่าสูงกว่าชุดควบคุมเล็กน้อย (Figure 3)

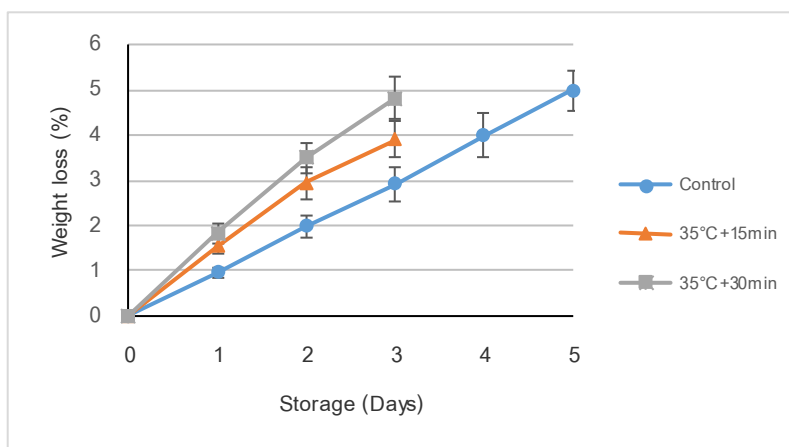


Figure 1 The percentage of weight loss in cos lettuce storage at 4 °C RH>80%

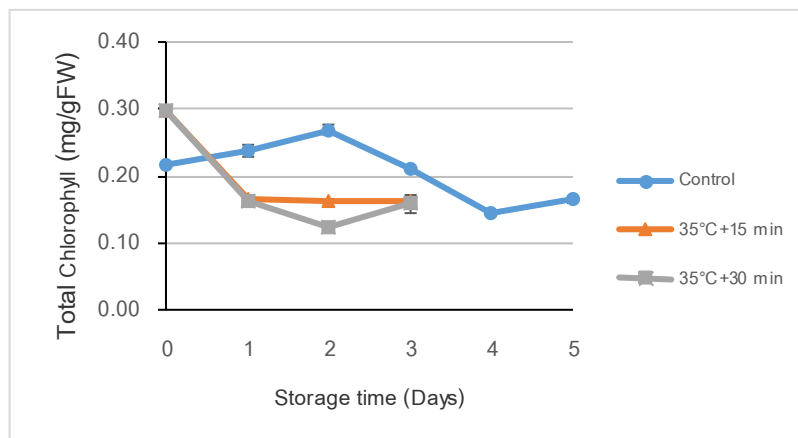


Figure 2 The percentage of total chlorophyll content in cos lettuce storage at 4 °C RH>80%

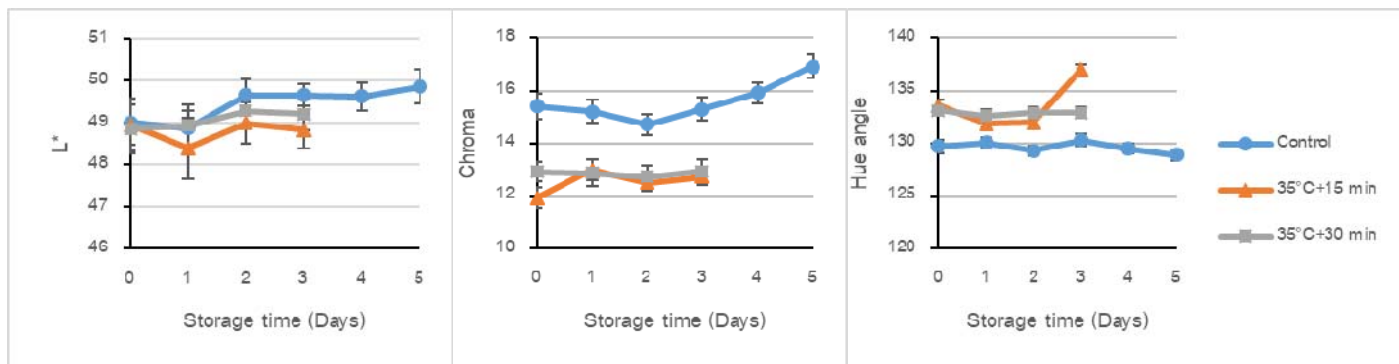


Figure 3 Colour change ( $L^* C^* h^{\circ}$ ) in cos lettuce storage at 4 °C RH>80%

### วิจารณ์ผล

การประเมินอายุการวางจำหน่ายของผักสดคอกอส ได้พิจารณาจากคุณภาพโดยรวมพบว่าสารเอนไซม์จากการเยียวยาในสอดคล้องกับเปลือกหัตถกรรมที่เพิ่มขึ้นตามระยะเวลาในการเก็บรักษา โดยจริงแท้ (2538) ได้รายงานว่า ผักรับประทานในเป็นผลิตผลสดที่มีน้ำเป็นส่วนประกอบ อ่อนนิ่ม บอบช้ำง่าย มีอัตราการหายใจและการหายใจความร้อนสูง ส่งผลให้ผักรสื่อมสภาพได้ง่าย โดยผักแสดงอาการ บอบช้ำ เน่า หักง่วง เหี่ยง และเหลืองจึงไม่เป็นที่ต้องการของผู้บริโภค ส่วนการลดลงของปริมาณคลอร์ฟิลล์ทั้งหมดสอดคล้องกับการเปลี่ยนแปลงค่าสี ( $L^* C^* h^{\circ}$ ) พบว่า เมื่ออายุการเก็บรักษามากขึ้นส่งผลให้ความสดของผักสดลดลง เกิดการซีดจาง และมีการเกิดสีเขียวในลักษณะที่คล้ำขึ้นเนื่องจากการสลายตัวของคลอร์ฟิลล์จึงเกิดการพัฒนาสีเหลืองขึ้น (Mutui et al., 2021)

### สรุป

ความไม่ต่อเนื่องของห่วงโซ่ความเย็นมีผลต่อคุณภาพภายหลังการเก็บเกี่ยวของผักสดคอกอส โดยทำให้มีอายุการวางจำหน่ายลดลงเหลือ 3 วัน จาก 5 วัน มีร้อยละการสูญเสียน้ำหนักเพิ่มสูงขึ้นเมื่อเทียบกับชุดควบคุม การเปลี่ยนแปลงสีของใบไม่แตกต่างกันมากโดยจะเกิดในลักษณะการเปลี่ยนเป็นสีเขียวคล้ำขึ้น และมีปริมาณคลอร์ฟิลล์ทั้งหมดลดลงตั้งแต่วันแรกของการเก็บรักษา

### คำขอบคุณ

ขอขอบคุณ ศูนย์นวัตกรรมเทคโนโลยีหลังการเก็บเกี่ยว กระทรวงการอุดมศึกษา วิทยาศาสตร์ วิจัยและนวัตกรรม สำหรับการสนับสนุนทุนศึกษาวิจัย

**เอกสารอ้างอิง**

- จริงแท้ ศิริพานิช. 2538. สรีรัชยาและเทคโนโลยีหลังการเก็บเกี่ยวผักและผลไม้. พิมพ์ครั้งที่ 5. มหาวิทยาลัยเกษตรศาสตร์, กรุงเทพฯ. 398 หน้า
- Mutui, T.M., H. Mibus and M. Serek. 2012. Effect of meta-topolin on leaf senescence and rooting in *Pelargonium x hortorum* cuttings. Postharvest Biology and Technology 63(1): 107-110.
- Noumedem, J.A.K., D.E. Djeuissi, L. Hritcu, M. Mihasan and V. Kuete. 2017. *Lactuca sativa*. pp.437–449. In: K. Victor (Ed.). Medicinal spices and vegetables from Africa. Academic Press, Cameroon.
- Tao, F., M. Zhang, Y. Hangqing and S. Jincai. 2006. Effects of different storage conditions on chemical and physical properties of white mushrooms after vacuum cooling. Journal of Food Engineering 77(3): 545-549.
- Whitham, F.H., D.H. Blaydes, R.M. Devin and D. Van. 1971. Experiments in Plant Physiology. Nostrand company, New York. 245 pp.

ผลของกรดออกซัลิกและเมทิลจัสมโนแนสต์คุณภาพและอายุการเก็บรักษาของใบโภระพา  
ระหว่างการเก็บรักษาที่อุณหภูมิต่ำ

Effect of Oxalic Acid and Methyl Jasmonate on Quality and Storage Life of Sweet Basil During Low Temperature Storage

อินทิรา ลิจันทร์พร<sup>1</sup> นันท์ชนก นันทะไชย<sup>1</sup> และปาลิดา ตั้งอนุรัตน์<sup>1</sup>  
Intira Lichanporn<sup>1</sup>, Nanchanok Nantachai<sup>1</sup> and Palida Tunganurat<sup>1</sup>

### Abstract

This research aimed to study the effect of oxalic acid (OA) and methyl jasmonate (MeJA) on quality and storage life of sweet basil. The herbs were dipped in 6 mM OA or MeJA for 5 min and were compared with the untreated herbs (control). They were air-dried and placed in polyethylene plastic bags and then stored  $8\pm2^\circ\text{C}$  for 8 days. Greenness ( $-a^*$ ), total chlorophyll, wiltness, chilling injury, weight loss, malondialdehyde (MDA), polyphenol oxidase (PPO) and peroxidase (POD) were monitored. The sweet basil dipped in OA or MeJA showed delaying color change ( $-a^*$ ), wiltness, chilling injury and weight loss, compared to the control herb. The sweet basil dipped in OA or MeJA maintained a higher total chlorophyll than the control after 8 days in storage. The activities of PPO and POD and MDA content of the sweet basil dipped in OA or MeJA were lower than those of the control. Dipping in MeJA had the highest influence on reducing chilling injury, wiltness, weight loss and PPO activity during storage. MeJA treatment was effective in maintaining the quality of sweet basil up to 8 days of low temperature storage. The highest storage life was observed in MeJA treatment (8 days), while they were only 6 and 4 days in OA and control, respectively.

**Keywords:** chilling injury, oxalic acid, methyl jasmonate, sweet basil

### บทคัดย่อ

งานวิจัยนี้มีวัตถุประสงค์เพื่อศึกษาผลของการดอออกซัลิก และเมทิลจัสมโนแนสต์คุณภาพและอายุการเก็บรักษาของใบโภระพา โดยทำการจุ่มใบโภระพาในกรดออกซัลิกหรือเมทิลจัสมโนแนสความเข้มข้น 6 มิลลิเมตร เป็นเวลา 5 นาที และเปรียบเทียบกับโภระพาที่ไม่จุ่มสารละลาย (ชุดควบคุม) ผึ่งให้แห้ง บรรจุในถุงพลาสติกโพลีเอทิลีน และนำไปเก็บรักษาที่อุณหภูมิ  $8\pm2$  องศาเซลเซียส เป็นเวลา 8 วัน ศึกษาค่าสีเขียว ( $-a^*$ ) ปริมาณคลอโรฟิลล์ทั้งหมด ดัชนีการเหลือง อาการสะท้านหน้า และการสูญเสียน้ำหนัก มวลอนไดอัลเดอร์ (MDA) เอนไซม์โพลีฟีนอลออกซิเดส (PPO) และเอนไซม์เพอร์ออกซิเดส (POD) พบว่าใบโภระพาที่จุ่มด้วยกรดออกซัลิกหรือเมทิลจัสมโนแนสจะลดอกราเบลี่ยนสีเขียว ( $-a^*$ ) ดัชนีการเหลือง อาการสะท้านหน้า และการสูญเสียน้ำหนักเมื่อเปรียบเทียบกับชุดควบคุม โภระพาที่จุ่มด้วยกรดออกซัลิกหรือเมทิลจัสมโนแนสนี้ปริมาณคลอโรฟิลล์สูงกว่าชุดควบคุมในวันที่ 8 ของการเก็บรักษา กิจกรรมของเอนไซม์โพลีฟีนอลออกซิเดส และเพอร์ออกซิเดส และปริมาณมวลอนไดอัลเดอร์ของใบโภระพาที่จุ่มด้วยกรดออกซัลิกหรือเมทิลจัสมโนแนสมีค่าต่ำกว่าชุดควบคุม การจุ่มด้วย เมทิลจัสมโนแนสให้ผลดีที่สุดในการลดอาการสะท้านหน้า ดัชนีการเหลือง การสูญเสียน้ำหนัก และกิจกรรมของเอนไซม์โพลีฟีนอลออกซิเดสระหว่างการเก็บรักษา การใช้เมทิลจัสมโนแนสมีประสิทธิภาพในการรักษาคุณภาพของใบโภระพาได้นานถึง 8 วัน เมื่อเก็บรักษาที่อุณหภูมิต่ำ โดยชุดที่จุ่มด้วยเมทิลจัสมโนแนสมีอายุการเก็บรักษาสูงสุด 8 วัน ขณะที่ชุดที่จุ่มด้วยกรดออกซัลิกและชุดควบคุมมีอายุเพียง 6 และ 4 วัน ตามลำดับ

**คำสำคัญ:** อาการสะท้านหน้า กรดออกซัลิก เมทิลจัสมโนแนส โภระพา

### คำนำ

ใบโภระพาเป็นสมุนไพรที่ช่วยเสริมสร้างสุขภาพและมีสรรพคุณทางยา ช่วยป้องกันและรักษาโรคหรืออาการต่าง ๆ เช่น ปวดหัว ไอ ท้องผูก โรคท้องร่วง น้ำดี และความผิดปกติของไต.(Giron et al., 1991) ใบสดใช้เป็นเครื่องปูรุ่งหรือเครื่องเทศใน

<sup>1</sup>สาขาวิชาศาสตร์และเทคโนโลยีการอาหาร คณะเทคโนโลยีการเกษตร มหาวิทยาลัยเทคโนโลยีราชมงคลธัญบุรี ปทุมธานี 12130

<sup>1</sup> Division of Food Science and Technology, Faculty of Agricultural Technology, Rajamangala University of Technology Thanyaburi, Bangkok 12130

ชอกสสตอร์ สลัดผักดอง น้ำส้มสายชู และน้ำมันหกม nokจากานี้ยังนำไปประดับตกแต่งงานอาหาร (Brown, 1991) ในอาหารไทยที่ใบอ่อนและยอดอ่อนเป็นผักสดเลิร์ฟพร้อมกับอาหารสเป็ด เช่น ลาบ กวยเตี๋ยวเนื้อหรือแกงเผ็ด nokจากานี้ในโภชนาจเป็นแหล่งสำคัญของคลอโรฟิลล์ สารต้านอนุมูลอิสระ และมีคุณค่าทางโภชนาการสูง ส่งผลต่อสุขภาพของผู้บริโภค แต่ไปให้ประโยชน์อย่างมากในการเก็บรักษาสัมภาระ เช่น ใบเหียง และเปลี่ยนเป็นสินัตตาล ก็ได้จากการสะท้อนหน้าเมื่อกีบรักษาที่อุณหภูมิต่ำ ถ้ามีสภาพการเก็บรักษาและการขนส่งที่ไม่เหมาะสมจะส่งผลเสียต่อคุณภาพและอายุการวางจำหน่าย (Aharoni *et al.*, 2010) มีรายงานการใช้กรดออกซอลิก และเมทิลจัสมโนเคนเพื่อลดอาการสะท้อนหน้า การเกิดสินัตตาล และการยืดอายุการเก็บรักษาในมะม่วง (Ding *et al.*, 2007) ผลท้อ (Zheng *et al.*, 2007) และฝรั่ง (Gonzalez-Aguilar *et al.*, 2004) โดยกรดออกซอลิก กระตุ้นการทำงานของระบบป้องกันตนเองในสภาวะเครียดและสามารถจับ旅游资源เดงของเอนไซม์โพลีฟีนอลออกซิเดส ทำให้เอนไซม์ไม่สามารถที่จะทำงานได้ รวมทั้งกรดออกซอลิกยังสามารถยับยั้งการทำงานแบบแบบแข็งข้นต่อเอนไซม์โพลีฟีนอลออกซิเดสที่สกัดได้จากเห็ด (Son *et al.*, 2001) และขี้นช่าย (Aydemir and Akkanl, 2006) ส่วนเมทิลจัสมโนเคนสามารถกระตุ้นให้พืชเกิดการเปลี่ยนแปลงทางชีวเคมีในการป้องกันตัวเอง (Cheong and Choi, 2003) และควบคุมการเกิดอาการสะท้อนหน้าในผลมะม่วง (Gonzalez-Aguilar *et al.*, 2004) มีการใช้กรดอินทรีย์ในการรักษาคุณภาพผลผลิตหลังการเก็บเกี่ยวและจัดเป็นสารเคมีที่มีความปลดปล่อย ดังนั้นงานวิจัยนี้มีวัตถุประสงค์เพื่อศึกษาผลของการใช้กรดออกซอลิกและเมทิลจัสมโนเคนต่อคุณภาพและอายุการเก็บรักษาไปให้พาระหว่างการเก็บรักษาที่อุณหภูมิต่ำ

### อุปกรณ์และวิธีการ

เก็บเกี่ยวให้ระหว่างจากต้นที่มีอายุ 60 วันนับตั้งแต่ปลูก และขนาดสมายังห้องปฏิบัติการวิทยาศาสตร์และเทคโนโลยีอาหาร คงเหลือในโลหะพากาตันที่มีอายุ 15-20 เซนติเมตร และคัดไปที่มีตำแหน่งออก ทำการสะกดด้วยน้ำประปา ทึ้งให้สะเด็ดน้ำ แล้วนำกิ่งให้ระหว่างๆ จุ่มน้ำลงในสารละลายกรดออกซอลิกหรือเมทิลจัสมโนเคนที่ความเข้มข้นดังนี้ สิ่งที่ทดลองที่ 1 ไม่จุ่มน้ำ (ชุดควบคุม) สิ่งที่ทดลองที่ 2 กรดออกซอลิก ความเข้มข้น 6 มิลลิโมลาร์ และสิ่งที่ทดลองที่ 3 กรดเมทิลจัสมโนเคน ความเข้มข้น 6 มิลลิโมลาร์ เป็นเวลา 5 นาที วางแผนการทดลองแบบสุ่มสมบูรณ์ สิ่งที่ทดลองมี 3 ชั้นต่อถุง ๆ ละ 3 กิ่ง บรรจุถุงพลาสติกโพลีเอทิลีนที่เจาะรูขนาดเส้นผ่าศูนย์กลาง 0.5 มม. จำนวน 10 ถุง ต่อถุง แล้วนำไปเก็บรักษาในตู้เย็นที่อุณหภูมิ  $8 \pm 2$  องศาเซลเซียส เป็นระยะเวลา 8 วัน วิเคราะห์ผลทุก 2 วัน ดังนี้ ค่าสีเชิง (-a\*) ด้วยเครื่องวัดสี ปริมาณคลอโรฟิลล์ (Arnon, 1949) ดัชนีการเกิดอาการสะท้อนหน้าและดัชนีการเรียก ตามวิธีการของสูริยันทร์ และคณะ (2558) การสูญเสียน้ำหนัก ปริมาณมวลอนไดอัลดีไซด์ดัดแปลงจากวิธีการของ Hodges *et al.* (1999) กิจกรรมเอนไซม์โพลีฟีนอลออกซิเดสและเพอร์ออกซิเดส ดัดแปลงจากวิธีการของ Huang *et al.* (1990)

### ผลและวิจารณ์

ระหว่างการเก็บรักษาปริมาณคลอโรฟิลล์ของไปให้ระหว่างทดลองเรื่อย ๆ โดยชุดที่จุ่มด้วยกรดออกซอลิกหรือเมทิลจัสมโนเคน มีปริมาณคลอโรฟิลล์สูงกว่าชุดควบคุม ซึ่งสัมพันธ์กับค่า  $a^*$  ของชุดที่จุ่มด้วยกรดออกซอลิกหรือเมทิลจัสมโนเคนมีค่าน้อยกว่าชุดควบคุม ทั้งนี้ชุดที่จุ่มด้วยเมทิลจัสมโนเคนสีปริมาณคลอโรฟิลล์สูงกว่าชุดที่จุ่มด้วยกรดออกซอลิก (Figure 1) ดัชนีการเรียกของไปให้ระหว่างเพิ่มขึ้นอย่างรวดเร็วใน 4 วันแรกของการเก็บรักษา หลังจากนั้นคงที่จนถึงวันที่ 8 ของการเก็บรักษา โดยดัชนีการเรียกของไปให้ระหว่างที่มีจุ่มด้วยเมทิลจัสมโนเคนสีค่าน้อยที่สุด ลดลงอย่างต่อเนื่อง แต่ดัชนีการเรียกของไปให้ระหว่างที่มีจุ่มด้วยเมทิลจัสมโนเคนที่มีค่าน้อยที่สุด ทั้งนี้เมทิลจัสมโนเคนสีอิทธิพลต่อการเปลี่ยนแปลงคุณลักษณะและช่วงรักษาคุณภาพของผักและผลไม้หลังการเก็บเกี่ยวในหลายด้าน เช่น ด้านองค์ประกอบทางเคมี สี และน้ำหนักสด เป็นต้น โดยพบว่าหัวผักกาดที่ได้รับเมทิลจัสมโนเคนสีมีการสูญเสียน้ำหนักลดลง ซึ่งเป็นผลจากการที่เมทิลจัสมโนเคนสีช่วยลดการคายน้ำ (Wang, 1998) nokจากานี้การใช้เมทิลจัสมโนเคนส์ร่วมกับอุณหภูมิต่ำสามารถลดการสูญเสียน้ำหนักสดได้ดีในผลมะม่วง (Gonzalez-Aguilar *et al.*, 2001)

อาการสะท้อนหน้าของทุกชุดทดลองมีแนวโน้มเพิ่มขึ้นตามอายุการเก็บรักษา โดยในชุดควบคุมและชุดที่จุ่มด้วยกรดออกซอลิกไม่มีความแตกต่างกัน ในขณะที่ชุดที่จุ่มด้วยเมทิลจัสมโนเคนสีช่วยเกิดอาการสะท้อนหน้าน้อยที่สุด การที่เมทิลจัสมโนเคนสีช่วยชะลอการเกิดอาการสะท้อนหน้าได้อาจเป็นผลมาจากการเมทิลจัสมโนเคนแสดงการเกิดอนุมูลอิสระ และช่วยสงเสริมการทำงานของเอนไซม์ในระบบการต้านออกซิเดชัน (สุทธิวิลัย และมัชณิมา, 2552) สำหรับเพิ่มขึ้นของปริมาณมวลอนไดอัลดีไซด์ ซึ่งเป็นดัชนีบ่งบอกความเสียหายของเยื่อหุ้มเซลล์และความสามารถในการย้อมให้สารซึมผ่านเข้าออกของเยื่อหุ้มเซลล์ส่งผลให้เกิดการรั่วไหลของสารอิเล็กโทรไลต์ภายในเซลล์ ซึ่งมักเกิดขึ้นในระหว่างที่มีพืชได้รับความเครียดจากอุณหภูมิต่ำ (Chai *et al.*, 2005; Moussa and Abdel-Aziz, 2008) นั้น พบว่าในชุดควบคุมมีปริมาณมวลอนไดอัลดีไซด์เพิ่มขึ้นสูงใน 4 วันแรก และ

ค่อนข้างคงที่จนสิ้นสุดการเก็บรักษา ซึ่งสัมพันธ์กับดัชนีการเกิดอาการสะท้านหนาว และการสูญเสียเนื้อน้ำหนักที่สูงในใบizophpa ของชุดควบคุม ทั้งนี้อาจเนื่องมาจากความเครียดจากอุณหภูมิต่ำกว่าให้เกิดการสะสมอนุมูลอิสระทำความเสียหายของเยื่อหุ้มเซลล์ เช่นเดียวกับที่เกิดกับกล้วยที่ได้รับความเครียดจากการขาดน้ำ (Chai et al., 2005) ส่วนใบizophpa ที่จุ่มด้วยกรดออกซัลิกหรือเมทิลจัสมโนเคน มีปริมาณมาลดลงได้อลดีไซด์น้อยกว่าชุดควบคุมสอดคล้องกับงานวิจัยของ Zheng et al. (2007) พบว่าการจุ่มผลท้อในกรดออกซัลิกสามารถชะลอการเสื่อมตามอายุและช่วยรักษาสภาพสมดุลของเยื่อหุ้มเซลล์ ดังนั้นใบizophpa ที่ผ่านการจุ่มในกรดออกซัลิกหรือเมทิลจัสมโนเคนสามารถให้เยื่อหุ้มเซลล์คงใบizophpa แข็งแรง ลดการสูญเสียน้ำหนัก ปริมาณมาลดลงได้อลดีไซด์ และการเที่ยว รวมทั้งรักษาปริมาณคลอโรฟิลล์ทำให้ใบมีสีเขียวได้ดีกว่าชุดควบคุม

กิจกรรมเอนไซม์โพลีฟีนอลออกซิเดสและเพอร์ออกซิเดสของใบizophpa เพิ่มขึ้นสูงสุดในวันที่ 2 ของการเก็บรักษา หลังจากนั้นแนวโน้มลดลงจนถึงวันสุดท้าย ซึ่งเชื่อว่าเกี่ยวข้องการเกิดสีน้ำตาลงใน โดยชุดที่จุ่มด้วยเมทิลจัสมโนเคน มีกิจกรรมเอนไซม์ทั้งสองตัวที่สูด รองลงมาคือชุดที่จุ่มด้วยกรดออกซัลิก และชุดควบคุม ตามลำดับ ทั้งกรดเมทิลจัสมโนเคน และกรดออกซัลิกสามารถยับยั้งการทำงานของเอนไซม์ทั้งสองได้ แต่ประสิทธิภาพการยับยั้งขึ้นอยู่กับชนิดพืช และสภาพแวดล้อมที่พืชได้รับ (Prenen et al., 1984) โดยพบว่าเมทิลจัสมโนเคนสามารถยับยั้งการทำงานเอนไซม์ทั้งโพลีฟีนอลออกซิเดส และเพอร์ออกซิเดสได้ดีในผลสับปะรด (Nilprapruks and Yodmingkhwan, 2009)

## สรุป

จากการศึกษาผลของการดออกซัลิกและเมทิลจัสมโนเคนสต่อคุณภาพและอายุการเก็บรักษาของใบizophpa พบว่าการจุ่มใบด้วยเมทิลจัสมโนเคน 6 มิลลิไมลาร์ ให้ผลดีที่สุดในการรักษาคุณภาพสี ปริมาณคลอโรฟิลล์ ชะลอสูญเสียน้ำหนัก การเที่ยว และการเกิดอาการสะท้านหนาว รวมทั้งอายุการเก็บรักษาใบizophpa ในระหว่างการเก็บรักษาที่อุณหภูมิ  $8\pm2$  องศาเซลเซียส เป็นระยะเวลา 8 วัน

## คำขอคุณ

บทความวิจัยนี้เป็นส่วนหนึ่งของงานวิจัยเรื่อง การใช้กรดออกซัลิกและเมทิลจัสมโนเคนสหนังการเก็บเกี่ยวเพื่อลดอาการสะท้านหนาวในใบizophpa โดยมหาวิทยาลัยเทคโนโลยีราชมงคลธัญบุรีได้รับการสนับสนุนจากการองทุนสงเคราะห์ หวานและหน่วย บพท ประจำปีงบประมาณ 2563

## เอกสารอ้างอิง

- สุทธิวัลย์ ลีลา และ มัชณิมา นราดิศร. 2552. บทความปริศนา: บทบาทของ methyl jasmonate ต่อคุณภาพภายหลังการเก็บเกี่ยวเพื่อส่วนราชการสาขาวิชาพืช วิชาการ พลวัสดุ พงษ์เทพ เพื่อปรับปรุง แล้ว ยุรนันท์ เทียนไพร. 2558. ผลของการใช้กรดชาลิกไซด์และเมทิลจัสมโนเคนต่อก่อนการเก็บเกี่ยวต่อคุณภาพของizophpa ระหว่างการเก็บรักษาที่อุณหภูมิต่ำ. การประชุมทางวิชาการของมหาวิทยาลัยเกษตรศาสตร์ ครั้งที่ 53: สาขาพืช สาขาวัสดุ์ สาขาวัสดุแพทพยศาสตร์ สาขาประมง สาขาวัสดุและกระบวนการเกษตรและคหกรรมศาสตร์ กรุงเทพฯ: สำนักงานกองทุนสนับสนุนการวิจัย. 1595 หน้า.
- Aharoni, N. D. Kenigsbuch, D. Chalupowicz, M. Faura-Milinski, Z. Aharon, D. Maurer, A. Ovadia and A. Lers. 2010. Reducing chilling injury and decay in stored sweet basil. Isr. J. Plant Sci 58: 167–181.
- Arnon, D.I. 1949. Copper enzymes in isolated chloroplasts. Phophyphenoloxidase in *B. vulgaris*. Plant Physiol 24: 1-15.
- Aydemir, T. and G. Akkanl. 2006. Partial purification and characterization of polyphenol celery root (*Apium graveolens* L.) and the investigation of the effects on the enzyme activity of some inhibitors. Int J Food Sci Tech 41(9):1090-8.
- Brown, S.H. 1991. Culinary herb use in southern California restaurants. California Agriculture 45: 4-6.
- Chai, T.T., N.M. Fadzillah, M. Kusnan and M. Mahmood. 2005. Water stress-induced oxidative damage and antioxidant responses in micropropagated banana plantlets. Biol. Plantarum 29:153-156.
- Cheong, J. and Y.D. Choi. 2003. Methyl jasmonate as a vital substance in plants. Trend in Genetics 19: 409-413.
- Ding, Z. S., S.P. Tian, X.L. Zheng, Z.W. Zhou and Y. Xu. 2007. Responses of reactive oxygen metabolism and quality in mango fruit to exogenous oxalic acid or salicylic acid under chilling temperature stress. Physiol. Plant 130: 112-121. <http://dx.doi.org/10.1111/j.1399-3054.2007.00893>.
- Giron, L.M., V. Freire, A. Alonso and A. Vaceres. 1991. Ethnobotanical survey of the medicinal flora used by the cribs of Guatemala. J. Ethnopharmacol 34: 173-187.
- Gonzalez-Aguilar, G.A., J.G. Buta and C.Y. Wang. 2001. Methyl jasmonate reduces chilling injury symptoms and enhances colour development of "Kent" mangoes. J. Sci. Food. Agric 81: 1244- 1249.
- Gonzalez-Aguilar, G.A., M.E. Tiznado-Hernandes, R. Zavaleta-Gatica and M.A. Martinez-Tellez. 2004. Methyl jasmonate treatment reduce chilling injury and activate the defense response of guava fruits. Biochem. Biophys. Res. Commun 313: 704-711.

- Hodges, D. M., J.M. DeLong, C.F. Forney and R.K. Prange. 1999. Improving the thiobarbituric acid-reactive-substances assay for estimating lipid peroxidation in plant tissues containing anthocyanin and other interfering compounds. *Planta.* 207: 604-611. <http://dx.doi.org/10.1007/s004250050524>.
- Huang, S., H. Hart., H. Lee and L. Wicker. 1990. A research note: Enzymatic and color change during postharvest storage of lychee fruit. *J. Food Sci* 55: 1762-1763.
- Moussa, H.R. and S.M. Abdel-Aziz. 2008. Comparative response of drought tolerant and drought sensitive maize genotypes to water stress. *Aust. J. Crop Sci* 1: 31-36.
- Nilprapruk, P. and P. Yodmingkhwan. 2009. Effect of exogenous methyl jasmonate on the internal browning of pineapple fruit (*Ananas comosus* L.) cv. Pattavia. *KKU. Res. J.* 14 (6): 489-498.
- Prenen, J.A.C., P. Boer and E.J.D. Mees. 1984. Absorption kinetics of oxalate from oxalate-rich food in man. *Am. J. Clin. Nutr.* 40(5): 1007-10
- Son, S.M., K.D. Moon and C.Y. Lee. 2001. Inhibitory effects of various antibrowning agents on apple slices. *Food Chem.* 73(1): 23-30.
- Wang, C.Y. 1998. Methyl jasmonate inhibits postharvest sprouting and improves storage quality of radishes. *Postharvest Biol. Technol.* 14: 179-183.
- Yörük, M.A., M. Gül, A. Hayırli and M. Karaoglu. 2004. Laying performance and egg quality of hens supplemented with sodium bicarbonate during the late laying period. *Int J Poult Sci* 3(4):272-8.
- Zheng, X., S. Tian, X. Meng and B. Li. 2007. Physiological and biochemical responses in peach fruit to oxalic acid treatment during storage at room temperature. *Food Chem.* 104(1): 156-62.

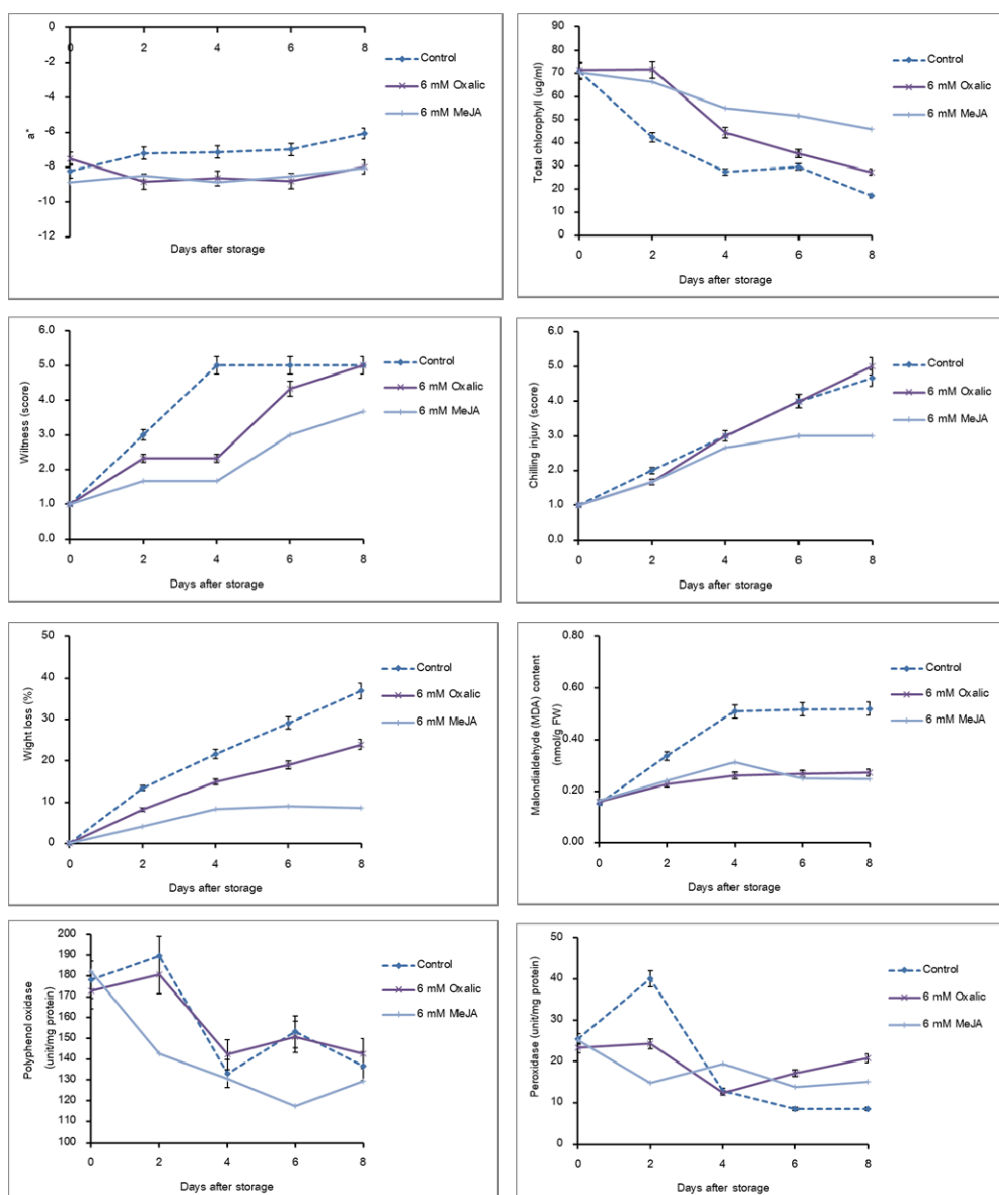


Figure 1 Changes in  $a^*$ , total chlorophyll, wiltness, chilling injury, weight loss, malondialdehyde, polyphenol oxidase and peroxidase of sweet Thai basil and then stored at  $8\pm 2$  °C for 8 days.

**ผลของ Indole-3-Acetic Acid จากแบคทีเรีย (*Micrococcus yunnanensis*) ต่ออายุการปักแจกัน  
ของดอกกล้วยไม้สกุล hairyพันธุ์ข่าวสารน**

**Effect of Indole-3-Acetic Acid from Bacteria (*Micrococcus yunnanensis*) on Vase Life  
of *Dendrobium* cv. Khao Sanan**

อัญชิสา อินอัว<sup>1</sup> สาวิตร ตระกูลนำเลื่อมไส<sup>2,3</sup> และ อัณณ์ชญา มงคลชัยพฤกษ์<sup>1,4</sup>  
Unchisa Inoiew<sup>1</sup>, Savitr Trakulnaleamsai<sup>2,3</sup> and Anchaya Mongkolchaiyaphruek<sup>1,4</sup>

**Abstract**

Cut *Dendrobium* orchid flowers are popular for the export market. Short vase life caused by inappropriate post-harvest handling is an important problem. Thus, vase solution technology is used to delay and extend the vase life of flowers. Indole-3 -Acetic-Acid (IAA) is one of the chemicals used in vase solutions. Now, IAA can produce from bacteria and bacterial IAA are beneficial since it is easy to produce, light-resistant, slowly decay and safe for the environment. Thus, this research aimed to investigate the effects of IAA from *Micrococcus yunnanensis* bacteria on senescence and vase life of cut *Dendrobium* orchid flowers (*Dendrobium* cv. Khao Sanan). Bud and open flowers were separately cut then immersed into vase solutions containing bacterial IAA at 0 (control), 0.05, 0.1, 0.3, 0.5 and 1 ppm. The treated inflorescences were placed under  $4 \mu\text{mol m}^{-2}\text{s}^{-1}$  fluorescent light intensity at  $25 \pm 2^\circ\text{C}$  temperature and 70-80% relative humidity. The percentage of senescence was recorded every two days. The results showed that bacterial IAA at 0.5 ppm was an appropriate concentration for extending the vase life of open flowers. It significantly decreased flower drooping and color changes ( $p \leq 0.05$ ) and extended vase life of open flower up to  $24.3 \pm 1.0$  days, while control treatment (0 ppm IAA) showed the lower vase life for  $18.0 \pm 1.0$  days ( $p \leq 0.01$ ). However, bacterial IAA had no significant effect on extending the vase life of bud flowers.

**Keywords:** senescence, vase life, bacterial IAA

**บทคัดย่อ**

กล้วยไม้ตัดดอกสกุล hairy เป็นที่นิยมสำหรับการส่งออก แต่เนื่องด้วยปัจจัยทางเคมีที่มีอายุการปักแจกันสั้น ซึ่งเกิดจากการจัดการหลังการเก็บเกี่ยวที่ไม่เหมาะสม จึงมีการใช้เทคโนโลยีสารละลายสำหรับยืดอายุการปักแจกัน สาร Indole-3-Acetic-Acid (IAA) จัดเป็นสารเคมีนิคหนึ่งที่ใช้ในสารละลายปักแจกัน ปัจจุบัน IAA สามารถผลิตได้จากแบคทีเรียและมีการใช้ประโยชน์จาก IAA ที่ผลิตได้จากแบคทีเรีย เนื่องจากสามารถผลิตได้ง่าย ทนต่อแสง сл่ายตัวช้ำ และปลอดภัยต่อสิ่งแวดล้อม ดังนั้นงานวิจัยนี้จึงมีวัตถุประสงค์เพื่อตรวจสอบผลของ IAA จากแบคทีเรีย *Micrococcus yunnanensis* ต่อการเสื่อมสภาพและอายุการปักแจกันของดอกกล้วยไม้ตัดดอกสกุล hairy พันธุ์ข่าวสาร (*Dendrobium* cv. Khao Sanan) โดยตัดแยกดอกตูมและออกบาน แล้วลงในสารละลายปักแจกันที่มี IAA จากแบคทีเรีย ความเข้มข้น 0 (ชุดควบคุม) 0.05 0.1 0.3 0.5 และ 1 ppm จากนั้นวางภายใต้แสงฟลูโตรเชนต์ความเข้มแสง  $4 \mu\text{mol m}^{-2}\text{s}^{-1}$  อุณหภูมิ  $25 \pm 2$  องศาเซลเซียส ความชื้น 70-80% เบอร์เท็นต์ บันทึกเบอร์เท็นต์การเสื่อมสภาพทุก ๆ สองวัน จากผลการศึกษาพบว่า IAA จากแบคทีเรีย ความเข้มข้น 0.5 ppm เป็นความเข้มข้นที่เหมาะสมสำหรับการยืดอายุการปักแจกันของดอกบาน โดยดอกบานมีอาการร้าวและการเปลี่ยนแปลงสีลดลงอย่าง มีนัยสำคัญทางสถิติ ( $p \leq 0.05$ ) และสามารถยืดอายุการปักแจกันของดอกบานได้นาน  $24.3 \pm 1.0$  วัน ขณะที่ชุดควบคุมมีอายุการปักแจกันน้อยกว่า คือ  $18.0 \pm 1.0$  วัน ( $p \leq 0.01$ ) อย่างไรก็ตาม IAA จากแบคทีเรียไม่มีผลต่อการยืดอายุการปักแจกันของดอกตูม

**คำสำคัญ:** การเสื่อมสภาพ อายุการปักแจกัน ไอโคเอเจนแบคทีเรีย

<sup>1</sup> ภาควิชาพืชสวน คณะเกษตรฯ มหาวิทยาลัยเกษตรศาสตร์ กรุงเทพฯ 10900

<sup>1</sup> Department of Horticulture, Faculty of Agriculture, Kasetart University, Bangkok 10900

<sup>2</sup> ภาควิชาจุลวิทยา คณะวิทยาศาสตร์ มหาวิทยาลัยเกษตรศาสตร์ กรุงเทพฯ 10900

<sup>2</sup> Department of Microbiology, Faculty of Science, Kasetart University, Bangkok 10900

<sup>3</sup> วิทยาลัยนวัตกรรมศาสตร์ มหาวิทยาลัยเกษตรศาสตร์ กรุงเทพฯ 10900

<sup>3</sup> School of Integrated Science (SIS), Kasetart University, Bangkok 10900

<sup>4</sup> ศูนย์นวัตกรรมเทคโนโลยีหลังการเก็บเกี่ยว กระทรวงการอุดมศึกษา วิทยาศาสตร์ วิจัยและนวัตกรรม กทม. 10400

<sup>4</sup> Postharvest Technology Innovation Center, Ministry of Higher Education, Science, Research and Innovation, Bangkok 10400, Thailand

## คำนำ

กล่าวไปไม้สกุลหวายมีความสำคัญต่อการส่งออกไม้ตัดออกของประเทศไทย โดยปัจุหานี้พบส่วนใหญ่คือการสูญเสียคุณภาพระหว่างการขนส่งและจำหน่าย เนื่องด้วยการจัดการหลังการเก็บเกี่ยวที่ไม่เหมาะสม ส่งผลให้ผู้ส่งออกนิยมใช้สารละลายเพื่อช่วยลดการเสื่อมสภาพและยืดอายุการปักแจกันให้นานยิ่งขึ้น IAA เป็นสารในกลุ่มออกซิน ซึ่งอยู่ในรูปที่พิชั้งสร้างและนำไปใช้ได้มีบทบาทสำคัญในการยับยั้งการสร้างรอยแยกบริเวณการร่วง (abscission zone) ส่งผลทำให้เกิดการหลุดร่วงน้อยลง (ทวีศักดิ์, 2559) แต่เนื่องด้วย IAA สังเคราะห์สามารถถลایตัวได้ง่ายและมีราคาจำหน่ายสูง จึงไม่นิยมน้ำมานำมาใช้ในทางการเกษตร อย่างไรก็ตาม มีการศึกษาวิจัยทางด้านแบคทีเรีย พบว่าแบคทีเรียบางกลุ่ม เช่น Plant Growth Promoting Rhizobacteria (PGPR) สามารถผลิต IAA ได้และถูกนิยมมาใช้ประโยชน์มากขึ้น (Zahir et al., 2010) ทั้งนี้ IAA ที่ได้จากแบคทีเรียนนี้สามารถผลิตได้ง่าย ทนต่อแสง ถลایตัวช้า ราคาถูก และปลดปล่อยต่อสิ่งแวดล้อม ดังมีรายงานว่าแบคทีเรีย *M. yunnanensis* สามารถถังเคราะห์ IAA ได้สูงถึง 23.12 ไมโครกรัมต่อมิลลิลิตร และสามารถส่งเสริมการเจริญเติบโตของพืชได้ (จันทร์แม่ และคณะ, 2559) อย่างไรก็ตาม ยังไม่มีรายงานการใช้ IAA จากแบคทีเรียเพื่อยืดอายุการปักแจกันของกลั่วไม้ตัดออกสกุลหวาย ดังนั้นงานวิจัยนี้จึงมุ่งศึกษาผลของการใช้ IAA ที่ได้จากแบคทีเรีย *M. yunnanensis* P2-23 ต่อการเสื่อมสภาพของดอกกลั่วไม้ตัดออกสกุลหวายพันธุ์ข้าวสารnan (*Dendrobium* cv. Khao Sanan)

## อุปกรณ์และวิธีการ

### การผลิต IAA โดยเชื้อแบคทีเรีย *M. yunnanensis*

ทำการเพาะเลี้ยงแบคทีเรียนที่พันธุ์ *M. yunnanensis* P2-23 ในอาหารเหลว Haloalkaliphile medium (HA) pH 8 ที่เติม L-tryptophan ความเข้มข้น 30 mM ในถังหมักขนาด 1.5 ลิตร ควบคุมอุณหภูมิที่ 35 องศาเซลเซียส อัตราการ 260 รอบต่อนาที โดยให้ห้าอากาศ 1 ลิตรต่อนาที ทำการเพาะเลี้ยงเป็นเวลา 96-120 ชั่วโมง วิเคราะห์ปริมาณ IAA ด้วยวิธีทางเคมี โดยทำปฏิกิริยากับ Salkowski reagent วัดค่าดูดกลืนแสงด้วยเครื่อง Spectrophotometer ที่ช่วงคลื่นแสง 530 นาโนเมตร เปรียบเทียบกับสารละลายมาตรฐาน IAA บริสุทธิ์ (จันทร์แม่ และคณะ, 2559)

### ศึกษาระดับความเข้มข้นที่เหมาะสมของ Indole-3-Acetic Acid (IAA) จากแบคทีเรีย (*M. yunnanensis* P2-23) ต่ออายุการปักแจกันของดอกกลั่วไม้สกุลหวายพันธุ์ข้าวสารnan

คัดเลือกดอกกลั่วไม้ที่มีคุณภาพดี มีความสม่ำเสมอ ปราศจากโรคและแมลง วางแผนการทดลองแบบสุ่มสมบูรณ์ (Completely Randomized Design; CRD) โดยแบ่งเป็น 6 กรรมวิธี กรรมวิธีละ 10 ช่อ (ช่อละ 1 ช่อ) โดยตัดแยกดอกตูมและดอกบานออกจากกัน จากนั้นแช่ลงในสารละลายปักแจกันที่มี IAA จากแบคทีเรีย *M. yunnanensis* P2-23 ความเข้มข้น 0 (ขาดควบคุม) 0.05, 0.1, 0.3, 0.5 และ 1 ppm นำไปวัดที่อุณหภูมิ  $25 \pm 2$  องศาเซลเซียส ความชื้นสัมพัทธ์ 70-80 เปอร์เซ็นต์ บันทึกผลการทดลองทุกสองวัน ดังนี้ เปอร์เซ็นต์น้ำหนักสด อัตราการดูดน้ำ เปอร์เซ็นต์การเสื่อมสภาพของดอกตูมและดอกบาน (อาการดอกตูมเหลืองและดอกบานดำ) การเปลี่ยนแปลงสีของกลีบดอกရยางานผลเป็นค่า L\* และ b\* และอายุการปักแจกันโดยประเมินจากการเสื่อมสภาพเกิน 50 เปอร์เซ็นต์ของช่อดอกถือว่าเป็นช่อดอกที่หมดอายุการใช้งาน

## ผล

การศึกษาระดับความเข้มข้นที่เหมาะสมของ IAA ที่ได้จากแบคทีเรียต่อการเปลี่ยนแปลงคุณภาพและอายุการปักแจกันของกลั่วไม้ตัดออกสกุลหวายพันธุ์ข้าวสารnan พบว่า การเปลี่ยนแปลงน้ำหนักสดของดอกบานมีแนวโน้มลดลงอย่างต่อเนื่อง โดยกลั่วไม้ที่ได้รับ IAA จากแบคทีเรีย ความเข้มข้น 0.5 ppm มีน้ำหนักสดลดลงน้อยที่สุด รองลงมาคือ 0.05, 0.3, 1 และ 0.1 ppm ตามลำดับ (Figure 1A) ในขณะที่ดอกตูมมีการเปลี่ยนแปลงน้ำหนักสดเพิ่มมากขึ้นในช่วง 8 วันแรกของการปักแจกัน จากนั้นลดลงอย่างต่อเนื่อง (Figure 1B) อย่างไรก็ตามไม่พบความแตกต่างของการเปลี่ยนแปลงน้ำหนักสดอย่างมีนัยสำคัญทางสถิติทั้งในดอกบานและดอกตูมที่ได้รับ IAA ทุกระดับความเข้มข้น นอกเหนือจากการได้รับ IAA ความเข้มข้น 0.5 ppm ที่ให้ดอกบานมีอัตราการดูดน้ำมากกว่า (Figure 1C) รวมทั้งเกิดการเสื่อมสภาพของดอกบาน คือ เกิดอาการดำ (Figure 1E) และการเปลี่ยนแปลงสีดอก (Figure 2A) น้อยและช้ากว่าดอกบานที่ร่วง 0.5 ppm มีการค่าว่าของดอกบานน้อยที่สุด รองลงมาคือ 0 (ขาดควบคุม) 1, 0.3, 0.05 และ 0.1 ppm ตามลำดับ ในขณะที่ไม่พบความแตกต่างอย่างมีนัยสำคัญทางสถิติของอัตราการดูดน้ำและการเหลืองของดอกตูมที่ได้รับ IAA จากแบคทีเรีย ความเข้มข้น 0.5 ppm มีการค่าว่าของดอกบานน้อยที่สุด รองลงมาคือ 0 (ขาดควบคุม) 1, 0.3, 0.05 และ 0.1 ppm ตามลำดับ ในขณะที่ไม่พบความแตกต่างอย่างมีนัยสำคัญทางสถิติของอัตราการดูดน้ำและการเหลืองของดอกตูมที่ได้รับ IAA ทุกระดับความเข้มข้น (Figure 1D,F) ทั้งนี้การเปลี่ยนแปลงค่าความสว่างของสี (L\*) ในดอกบานจะลดลง

คง่างต่อเนื่องเมื่อดอกกลั่วยไม้เกิดการเสื่อมสภาพ โดยในช่วง 14 วันของการศึกษา พบว่า ดอกกลั่วยไม้ที่ได้รับ IAA จากแบคทีเรีย ความเข้มข้น 0.5 ppm มีค่าความสว่างของสีลดลงช้าที่สุด รองลงมาคือ ดอกกลั่วยไม้ที่ได้รับ IAA ความเข้มข้น 1, 0.05, 0.3, 0 (ชุดควบคุม) และ 0.1 ppm ตามลำดับ (Figure 2A) และพบการเปลี่ยนแปลงค่า  $b^*$  น้อยที่สุดในดอกกลั่วยไม้ที่ไม่ได้รับ IAA (ชุดควบคุม) รองลงมาคือ ดอกบานที่ได้รับ IAA ความเข้มข้น 0.05, 0.5, 0.3, 1 และ 0.1 ppm มีการเพิ่มขึ้นของค่าสี  $b^*$  ตามลำดับ (Figure 2B) ซึ่งการเปลี่ยนแปลงสี (ค่า  $L^*$  และ  $b^*$ ) ของดอกกลั่วยไม้แต่ละกรุณฑ์มีความแตกต่างกันอย่างมีนัยสำคัญทางสถิติ ( $p \leq 0.05$ )

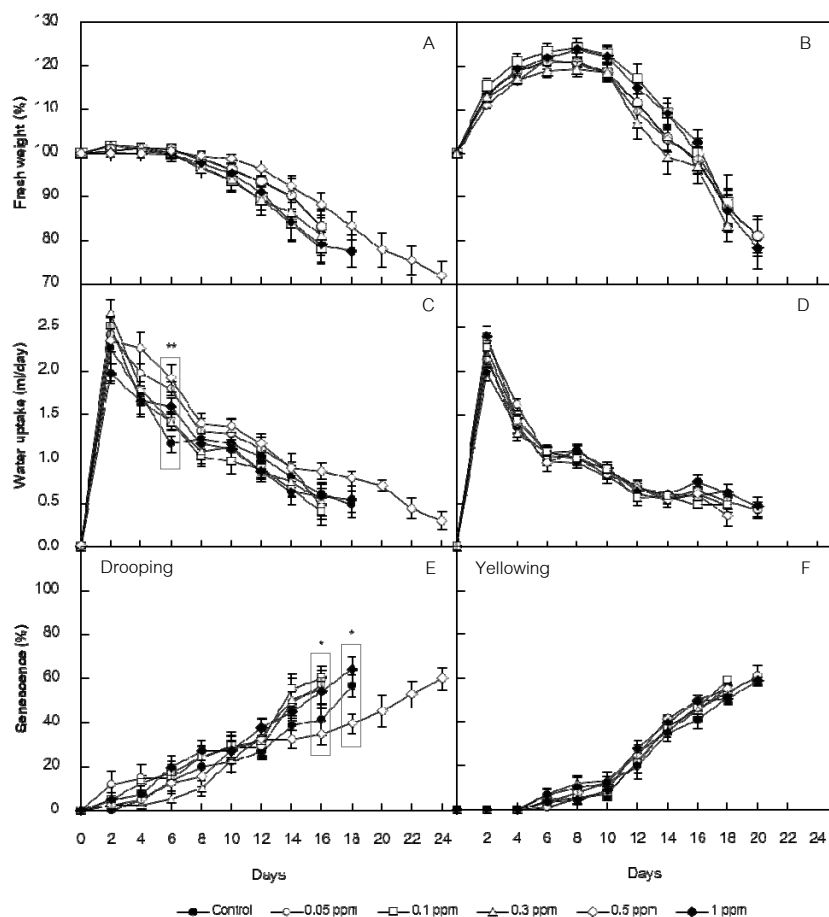


Figure 1 Fresh weight (A,B), water uptake (C,D) and senescence (E,F) of open and bud flowers treated with/b without bacterial IAA

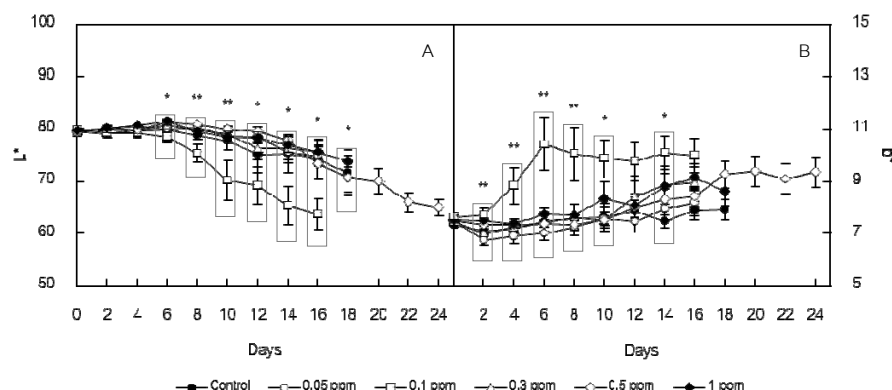


Figure 2 Color change  $L^*$  (A) and  $b^*$  (B) of open flowers treated with/b without bacterial IAA

ทั้งนี้การเปลี่ยนแปลงคุณภาพที่เกิดขึ้นส่งผลต่ออายุการปักเจกันของดอกกลั่วยไม้ โดยพบว่า ดอกบานที่ได้รับ IAA ความเข้มข้น 0.5 ppm มีอายุการปักเจกันเพิ่มขึ้นเป็น  $24.3 \pm 1.0$  วัน ซึ่งแตกต่างอย่างมีนัยสำคัญทางสถิติ ( $p \leq 0.01$ ) เมื่อเปรียบเทียบกับดอกบานที่ได้รับ IAA ความเข้มข้น 0 (ชุดควบคุม) 1, 0.3, 0.1 และ 0.05 ppm ที่มีอายุการปักเจกันโดยเฉลี่ย

$18.0 \pm 1.0$ ,  $18.0 \pm 0.6$ ,  $16.3 \pm 1.6$ ,  $16.0 \pm 1.2$  และ  $15.7 \pm 0.7$  วัน ตามลำดับ ในขณะที่ไม่เพบความแตกต่างอย่างมีนัยสำคัญทางสถิติของอายุการปักเจกันของดอกตูมที่ได้รับ IAA ทุกระดับความเข้มข้น (Table 1)

Table 1 Effects of IAA from bacteria (*M. yunnanensis* P2-23) on vase life of *Dendrobium* cv. Khao sanan

Treatment	Vase life (Days)	
	Open flower	Bud flower
Control	$18.0 \pm 1.0$ b	$18.2 \pm 0.9$
0.05 ppm IAA	$15.7 \pm 0.7$ b	$19.8 \pm 0.8$
0.1 ppm IAA	$16.0 \pm 1.2$ b	$17.6 \pm 0.4$
0.3 ppm IAA	$16.3 \pm 1.6$ b	$18.8 \pm 0.7$
0.5 ppm IAA	$24.3 \pm 1.0$ a	$17.8 \pm 0.6$
1 ppm IAA	$18.0 \pm 0.6$ b	$19.6 \pm 0.5$
<i>F-test</i>	**	ns
C.V. (%)	22.0	11.8

### วิจารณ์ผล

กล่าวไปแล้วที่ได้รับ IAA จากแบคทีเรีย ความเข้มข้น  $0.5$  ppm สามารถช่วยลดการเปลี่ยนแปลงน้ำหนักสด อัตราการดูดน้ำ อาการคำว่า การเปลี่ยนแปลงสี และเพิ่มอายุการปักเจกันของดอกบานได้ ในขณะที่ความเข้มข้นต่ำ ( $0.05$   $0.1$  และ  $0.3$  ppm) และความเข้มข้นสูง ( $1$  ppm) ไม่สามารถช่วยลดการเสื่อมสภาพของดอกบานได้ ดังที่มีรายงานในดอกลั่วยไม้สกุลมหาภูมิ ใช้พันธุ์หมูแดงที่ใช้ NAA ซึ่งเป็นออกซินสังเคราะห์ความเข้มข้น  $200$   $\mu$ M สามารถช่วยลดลงของอัตราการดูดน้ำ การผลิตเอนไซม์ การหลุดร่วง และสามารถยืดอายุการปักเจกันได้ (ขัยภูมิ และคณะ, 2554) และกล่าวไปแล้วว่าในสกุลมหาภูมิและออกซินสังเคราะห์ IBA ความเข้มข้น  $50$  ppm พบร่วมกับ สามารถลดการเกิดเส้นเร้นของดอกบานและการเหลืองของดอกตูม ลดการหลุดร่วง และสามารถยืดอายุการปักเจกันได้ (กฤษณา และ อรุณรัตน์, 2553) ทั้งนี้ออกซินความเข้มข้นสูง ส่งผลให้ดอกกล่าวไปเกิดการเสื่อมสภาพมาก อาจเป็นผลเนื่องมาจากออกซินในปริมาณมากไปกระทบต่อการทำงานของเอนไซม์ ACC synthase ในกระบวนการสังเคราะห์เอนไซม์ ผลงานให้พีชผลต่อเอนไซม์และเกิดการเสื่อมสภาพเร็วขึ้น (จริงแท้, 2553) จากผลการทดลองจะเห็นได้ว่า IAA จากแบคทีเรียซึ่งเป็นออกซินจากธรรมชาติทุกระดับความเข้มข้นไม่สามารถช่วยลดการเสื่อมสภาพของดอกตูมได้ ซึ่งอาจเป็นผลจากการความเข้มข้นของ IAA ต่ำเกินไป เนื่องจากดอกตูมมีการสร้างเอนไซม์มากกว่าดอกบาน (Ketsa and Thampitakorn, 1995)

### สรุป

การให้สารละลาย IAA จากแบคทีเรีย *M. yunnanensis* P2-23 ความเข้มข้น  $0.5$  ppm สามารถยืดอายุการปักเจกันของดอกบานของกล่าวไปแล้วด้วยไม้ตัดดอกสกุลมหาภูมิขาวสนานได้ แต่ไม่มีผลต่อการยืดอายุการปักเจกันของดอกตูม โดยสามารถช่วยลดการเปลี่ยนแปลงน้ำหนักสด อัตราการดูดน้ำ อาการคำว่า และการเปลี่ยนแปลงสีของดอกบาน

### คำขอบคุณ

งานวิจัยนี้ได้รับการเอื้อเฟื้อสถานที่ เครื่องมือ และอุปกรณ์การทำการวิจัยจากภาควิชาพืชสวน คณะเกษตรฯ ภาควิชาจุลทรรศน์วิทยา คณะวิทยาศาสตร์ และศูนย์วิทยาการข้าวสูงเพื่อเกษตรและอาหาร มหาวิทยาลัยเกษตรศาสตร์

### เอกสารอ้างอิง

- กฤษณา รุ่งรักษานนท์ และอรุณรัตน์ อนันตพัตน์. 2553. ผลของสาร IBA และ BAP ต่อคุณภาพหลังการเก็บเกี่ยวดอกกล่าวไปแล้วด้วยมหาภูมิขาวสนาน. นิตยสารวิทยาศาสตร์เกษตรฯ 41 (พิเศษ): 110-113.
- จริงแท้ ศิริพานิช. 2553. ชีววิทยานหลังการเก็บเกี่ยวน้ำและกระบวนการขยายของพืช. พิมพ์ครั้งที่ 3. มหาวิทยาลัยเกษตรศาสตร์. นครปฐม. 453 น.
- จันทร์เรม รูปจำ, สาวิตรา ตระกูลนำเลื่อมใส, อนุภูมิ มนิบุญ, ศิริรัลย์ สร้อยกล่อม และน้ำผึ้ง อุนกุล. 2559. การศึกษาความสามารถทนของแบคทีเรีย กลุ่มที่ขอใบอนุญาตและพื้นที่เชิงเด่นที่แยกได้จากเดินด้วยเบโนสแตนไนท์จิกาญจนบุรีในการเป็นเชื้อส่งเสริมการเจริญเติบโตของพืช. การประชุมทางวิชาการของมหาวิทยาลัยเกษตรศาสตร์ ครั้งที่ 54. มหาวิทยาลัยเกษตรศาสตร์, กรุงเทพฯ. 159 น.
- ขัยภูมิ สุขสำราญ, มัณฑนา บัวหนอง และศิริรัชย์ กัลยาณรัตน์. 2554. ผลของ 1-Naphthaleneacetic acid (NAA) ต่อการลดการหลุดร่วงของดอกกล่าวไปแล้วด้วยไม้ตัดดอกสกุลมหาภูมิ. วารสารวิทยาศาสตร์เกษตรฯ 42 (พิเศษ): 183-185.
- ทวีศักดิ์ แสงอุ่น. 2559. การแบ่งกลุ่มสารควบคุมการเจริญเติบโตพืช. เอกสารเผยแพร่ทางวิชาการ: สารควบคุมการเจริญเติบโตพืชและแนวทางการใช้กับไม้ผล. สถาบันวิจัยพืชสวน กรมวิชาการเกษตร, กรุงเทพฯ. 42 น.
- Ketsa, S. and F. Thampitakom. 1995. Characteristics of ethylene production of *Dendrobium* orchid flowers. Acta Horticulture. 405: 253-263.
- Zahir, Z.A., M.K. Shah., M. Naveed and M.J. Akhter. 2010. Substrate-dependent auxin production by *Rhizobium phaseoli* improves the growth and yield of *Vigna radiata* L. under salt stress conditions. Journal of Microbiology and Biotechnology 20: 1288-1294.

## การลดความชื้นกาแฟลาโภราบิกาโดยใช้พลังงานแสงอาทิตย์แบบควบคุมอุณหภูมิอัตโนมัติ

### Arabica Parchment Coffee Drying Using Solar Energy with Automatic Temperature Control

พงษ์รุ่ง นามวงศ์<sup>1</sup>, บริชา อานันดรัตนกุล<sup>2</sup>, สนอง ออมฤกษ์<sup>1</sup>, มนพ รักยาติ<sup>1</sup>, นิติ ผูกจิต<sup>1</sup>, สรวิศ จันทร์เจนjob<sup>1</sup>, ปริญญาวดัน<sup>1</sup>, อุ่งทองอินทร์<sup>2</sup>, คงธอร์ อาจบุญพงษ์<sup>2</sup>, และศรีญานา มาปลูก<sup>3</sup>  
Pongrawee Namwong<sup>1</sup>, Preecha Ananrattanakul<sup>2</sup>, Sanong Oмароек<sup>1</sup>, Manop Rakyat<sup>1</sup>, Niti Pookjit<sup>1</sup>, Sorawit Junjenjob<sup>1</sup>, Parinyawat Yoothongin<sup>2</sup>, Kochathorn Angboonpong<sup>2</sup> and Sarinna Maplook<sup>3</sup>

#### Abstract

Arabica parchment coffee drying study was conducted using solar energy equipped in 4 x 6 m<sup>2</sup> curved-roof drying house. The automated drying system controlled the maximum temperature of 45 °C and 75% relative humidity. Two 30-watt fans were used to provide flow rate of 700 m<sup>3</sup>/hr for removing heat and moisture from the drying house. There were 8 drying racks inside the unit, holding at least 1.5 ton of coffee parchment. In this study, the test was conducted during January to March. Every hour along the test, 2.5 kg of coffee sample were taken out in order to track the moisture content. The study found that coffee parchment had initial moisture content of 55%. Maximum and minimum temperature in the drying house was 39.4 and 6.1 °C, respectively. Average temperature and relative humidity were 18.73 °C and 57.27%, respectively. The drying process took about 7 to 10 days, making moisture content in coffee parchment declined to 12.0%. The drying rate was 0.2665%/hr. At last, obtained coffee samples from solar energy drying house showed no physical damage; i.e., breaking and bending, compared with ones from conventional drying process which took much longer time (3 times).

**Keywords:** Arabica coffee, drying, solar drying

#### บทคัดย่อ

การศึกษาวิจัยการลดความชื้นเมล็ดกาแฟลาบิกาด้วยพลังงานแสงอาทิตย์ ด้วยโรงตากแบบหลังคาโค้งขนาดกว้าง 4 เมตร ยาว 6 เมตร สั่งงานระบบควบคุมอัตโนมัติด้วยสมองกลฝังตัว ทำงานอัตโนมัติที่การตั้งค่าอุณหภูมิที่ไม่เกิน 45 องศาเซลเซียส และความชื้นสัมพัทธ์ 75 เปอร์เซ็น ใช้พัดลมระบายอากาศขนาด 30 วัตต์ 2 ตัว อัตราการไห่ 700 ลูกบาศก์เมตรต่อชั่วโมง จะเริ่มทำงานเพื่อรับายความร้อนและความชื้นออกจากโรงตาก ภายในโรงตากบรรจุชั้นตากกาแฟ 8 ชั้น สามารถตากกาแฟได้ครั้งละไม่น้อยกว่า 1.5 ตัน ทดสอบในช่วงเดือนมีนาคม สมuga กาแฟสดครั้งละ 2.5 กิโลกรัม ทุกๆ 1 ชั่วโมง เพื่อบันทึกการเปลี่ยนแปลงความชื้น มีอุณหภูมิตลอดการทดลองสูงสุด 39.4 องศาเซลเซียส ต่ำสุด 6.1 องศาเซลเซียส เฉลี่ย 18.73 องศาเซลเซียส ความชื้นสัมพัทธ์เฉลี่ย 57.27% ใช้ระยะเวลา 7-10 วัน กาแฟแห่มีความชื้นเริ่มต้น 55% w.b. ได้เมล็ดกาแฟความชื้นสุดท้าย 12% w.b. อัตราการอบแห้งเฉลี่ย 0.2665% w.b. ต่อชั่วโมง การแฟกตากหลังตากแห้ง มีลักษณะทางกายภาพที่ดี ไม่แตกร้าวและบิดงอ ไม่ต่างจากการผึ่งลมในปัจจุบัน ซึ่งใช้เวลานานกว่าถึงสามเท่า

**คำสำคัญ:** กาแฟลาบิกา อบแห้ง แสงอาทิตย์

#### คำนำ

กาแฟเป็นพืชเศรษฐกิจที่สำคัญในโลกมีอยู่ 70 ชนิด ถือกำเนิดดังเดิมอยู่ในบริเวณแถบรออยต่อประเทศเอธิโอเปีย อาบีสซีเนีย และ อาราเบีย ทวีปแอฟริกาเจริญเติบโตได้ดีในสภาพอากาศค่อนข้างเย็น อุณหภูมิระหว่าง 17-22 องศาเซลเซียส จัดเป็นพืชที่กึ่งเมืองหนาว ถ้าปลูกในเขตวันต้องปลูกบนพื้นที่สูง ส่วนใหญ่ที่ปลูกแห่งหลาย มี 4 กลุ่มได้แก่ กาแฟสายพันธุ์อาราบิกา กาแฟพันธุ์โรบัสตา กาแฟ พันธุ์เอ็กเซลช่า และกาแฟพันธุ์ลิเบอเรกา โดยเฉพาะอย่างยิ่งนั้นกาแฟลาบิก้า (Arabica

<sup>1</sup> ศูนย์วิจัยเกษตรวิศวกรรมเชียงใหม่ กรมวิชาการเกษตร 50100

<sup>1</sup> Chiangmai Agricultural Engineering Research Institute, Department of Agriculture 50100

<sup>2</sup> ภาควิชาวิศวกรรมหลังการเก็บเกี่ยว กรมวิชาการเกษตร 12120

<sup>2</sup> Post-Harvest Engineering Research Group, Department of Agriculture 12120

<sup>3</sup> สาขาวิชาสถิติ คณะวิทยาศาสตร์ มหาวิทยาลัยแม่จ๊ะ 50290

<sup>3</sup> Statistics, Faculty of Science, Maejo University 50290

coffee) ในอดีตให้เป็น พืชที่ปลูกทดลองพืชเดียว เนื่องจากความชื้นสูง 700 เมตร จากระดับน้ำทะเล (พงษ์ศักดิ์, 2542)

กระบวนการห้องการเก็บเกี่ยว นับเป็นจุดสำคัญหนึ่งในการผลิตผลิตภัณฑ์กาแฟ ซึ่งสามารถเพิ่มมูลค่าได้ ดังนั้นความจำเป็นต้องทำการศึกษาวิจัย เพื่อหาวิธีการผลิตที่ได้ผลดีที่สุด ที่ช่วยเพิ่มศักยภาพการผลิต เผยแพร่ข้อมูลเทคโนโลยีการผลิตที่สามารถประยุกต์ให้เหมาะสมกับบุญชัน ผู้ประกอบการขนาดย่อม สำหรับการแปรรูปกาแฟระดับชาติ มีกระบวนการห้องการเก็บเกี่ยว วิธีการปฏิบัติ การแปรรูปแตกต่างกัน ทำให้ผลผลิตที่ได้มีความแตกต่างกัน สงผลลั่งรสชาติของกาแฟ คุณภาพที่แตกต่างกัน ทำให้เกิดปัญหาทางการตลาด และเป็นตัวแปรสำคัญในการกำหนดราคา

ปัจจุบันการตากแห้งกาแฟลา เกษตรกรยังไม่มีเครื่องอบแห้งที่เหมาะสม ยังต้องใช้พลังงานจากแสงอาทิตย์เป็นหลัก และต้องตากบนพื้นดินหรือพื้นคอนกรีต ทำให้กาแฟบางส่วนไม่ได้คุณภาพและต้องใช้เวลาในการตากให้แห้งนาน ใช้พื้นที่ในการตากมากซึ่งล้วนเป็นปัญหาต่อการผลิตกาแฟของเกษตรกรในพื้นที่ทางภาคเหนือ จากการเก็บข้อมูลโรงอบแสงอาทิตย์ของกระทรวงพลังงาน(แบบ พพ.1) (กระทรวงพลังงาน, 2560) มาทดสอบอบแห้งกาแฟลา พบร้า อุณหภูมิในห้องอบแห้งนั้น สูงถึง 62 องศาเซลเซียส อุณหภูมิกาแฟลดลงขณะอบแห้งสูงถึง 72 องศาเซลเซียส ทำให้กาแฟเสียหาย เช่นการคงอแห้งเกินไป ซึ่งส่งผลทำให้กาแฟมีคุณภาพต่ำ (สถาบันวิจัยพืชสวน, 2553)

### อุปกรณ์และวิธีการ

#### อุปกรณ์และเครื่องมือวัด

1. เครื่องบันทึกอุณหภูมิและความชื้น
2. เครื่องชั่งแบบบันทึกน้ำหนักอัตโนมัติ



Figure 1 Automatic data logging scales

ศึกษาวิจัยการลดความชื้นเมล็ดกาแฟระดับชาติ ด้วยโถงตากแบบหลังคาโค้งขนาดกว้าง 4 เมตร ยาว 6 เมตร ล่างงานระบบควบคุมอัตโนมัติ ด้วยสมองกลฝังตัว ทำงานอัตโนมัติที่การตั้งค่าอุณหภูมิที่ไม่เกิน 45 องศาเซลเซียส และความชื้นสัมพัทธ์ 75 เปอร์เซ็น ใช้พัดลมระบายอากาศขนาด 30 วัตต์ 2 ตัว อัตราการไหลด 700 ลูกบาศก์เมตรต่อชั่วโมงจะเริ่มทำงานเพื่อรับความร้อนและความชื้นออกจากใบตาก ภายในโถงตากบรรจุชั้นตากกาแฟ 8 ชั้น สามารถตากกาแฟได้ครั้งละไม่น้อยกว่า 1.5 ตัน ทดสอบในช่วงเดือนมีนาคม ใช้กาแฟลาสดสูมตัวอย่างทดสอบ 2.5 กิโลกรัมต่อครั้ง บันทึกน้ำหนักที่เปลี่ยนแปลงทุก 1 ชั่วโมง

### ผล

การลดความชื้นด้วยโถงตากพลังงานแสงอาทิตย์ กาแฟลา มีความชื้นเริ่มต้นร้อยละ 55 มาตรฐานเปียก (w.b.) มีอุณหภูมิลดลง สูงสุด 39.4 องศาเซลเซียส ต่ำสุด 6.1 องศาเซลเซียส เฉลี่ย 18.73 องศาเซลเซียส ความชื้นสัมพัทธ์เฉลี่ย 57.27% (Figure 2)

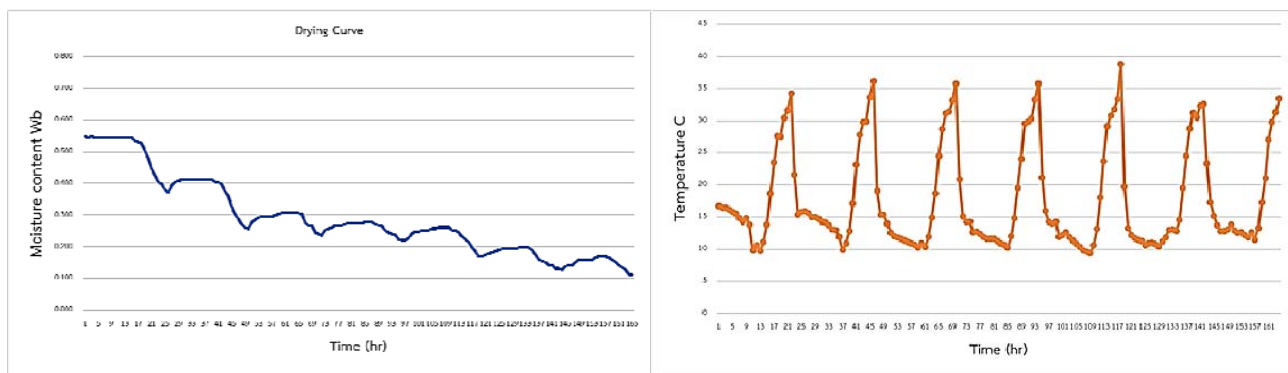


Figure 2 Drying curve and drying temperature



Figure 3 Parchment Arabica coffee after drying

### วิจารณ์ผล

การทดสอบตากแห้งกาแฟแบบรากวินิกา ใช้ระยะเวลา 7-10 วัน ขึ้นอยู่กับอุณหภูมิและความชื้นของช่วงเวลาที่ตากแห้ง ได้เมล็ดกาแฟความชื้นสุดท้ายร้อยละ 12 w.b. อัตราการอบแห้งเฉลี่ย 0.2665 %w.b. ต่อชั่วโมง อุณหภูมิเฉลี่ยตลอดการทดลอง 18.73 องศาเซลเซียส ความชื้นสัมพัทธ์เฉลี่ย 57.27% มีอัตราการอบแห้งเฉลี่ย 0.2665 %w.b. ต่อชั่วโมง การแฟกจะลดลงตากแห้ง มีลักษณะทางกายภาพที่ดี ไม่แตกร้าวและบิดงอ (Figure 3)

### สรุปผล

การลดความชื้นด้วยโรงตากพลังงานแสงอาทิตย์ใช้กาแฟจะลดลงต่อครั้ง 7-10 วัน ขึ้นอยู่กับอุณหภูมิและความชื้นของช่วงเวลาที่ตากแห้ง ได้เมล็ดกาแฟความชื้นสุดท้ายร้อยละ 12 w.b. อัตราการอบแห้งเฉลี่ย 0.2665 %w.b. ต่อชั่วโมง อุณหภูมิเฉลี่ยตลอดการทดลอง 18.73 องศาเซลเซียส ความชื้นสัมพัทธ์เฉลี่ย 57.27% ใช้ระยะเวลา 7-10 วัน ได้เมล็ดกาแฟความชื้นสุดท้าย 12 %w.b. (เดียงแแลบคุณ, 2549) อัตราการอบแห้งเฉลี่ย 0.2665 %w.b. ต่อชั่วโมง การแฟกจะลดลงตากแห้ง มีลักษณะทางกายภาพที่ดี ไม่แตกร้าวและบิดงอ ไม่ต่างจากการผึ่งลมในปัจจุบัน ซึ่งใช้เวลานานกว่าถึงสามเท่า

### เอกสารอ้างอิง

- พงษ์ศักดิ์ อังกิสิทธิ์. 2542. การส่งเสริมปลูกกาแฟอารบิก้าบานที่สูงในระบบเกษตรป่าไม้. คณะเกษตรศาสตร์ มหาวิทยาลัยเชียงใหม่: เชียงใหม่.
- เดียง อากรรัช, พิมล วุฒิสินธ์, วิบูลย์ เทพนทร์, นิทัศน์ ตั้งพินิจกุล, บริชา อาณันดรัตนกุล, ยงยุทธ คงช้าน และสุวัตถิ หนูสวัสดิ์. 2549. การพัฒนาเครื่องอบแห้งกาแฟแบบอบตัว. เอกสารรายงานผลการวิจัย สถาบันวิจัยเกษตรวิศวกรรม กรมวิชาการเกษตร, กรุงเทพฯ.
- สถาบันวิจัยพืชสวน. 2553. ภาจัดการความรู้ เทคโนโลยีการผลิตกาแฟครบวงจร. กรมวิชาการเกษตร, กรุงเทพฯ. 86 หน้า.
- กระทรวงพลังงาน. 2560. โครงการสนับสนุนการลงทุนติดตั้งใช้งานระบบอบแห้งพลังงานแสงอาทิตย์ (พาราโบลาโดม) ประจำปี 2560. [ออนไลน์]. แหล่งที่มา: <http://www.solardryerdeedede.com/?p=1823>. (19 มีนาคม 2562).

## การคัดแยกเมล็ดพันธุ์ดาวเรืองด้วยวิธีเคราะห์ภาพถ่ายและโครงข่ายไข่ประสาทเทียมแบบจุดจำรูปแบบ

### Classification of Marigold Seeds with Image Analysis and Pattern Recognition Artificial Neural Network

พูนพัฒน์ พูนน้อย<sup>1</sup> และ ปราณอม ยังคำมั่น<sup>2</sup>  
Poonpat Poonnoy<sup>1</sup> and Pranom Yangkhamman<sup>2</sup>

#### Abstract

An air separator is unable to separate some immature marigold seeds from the mature ones because the weight of these seeds can be in the same range. The average seed weight is 0.003 g. In order to separate these seeds, visual inspection is carried out by experts. The experts typically remove the brown seeds from the black ones as they are considered immature. This process is labor-intensive and time-consuming. This study, therefore, aimed to develop an image analysis technique for the classification of immature and mature marigold seeds based on colors. A computer software was created with MATLAB to determine the histogram of 1,428 immature and 1,460 mature marigold seeds in HSV mode. The histogram data was paired with the types of seeds, totaling 2,888 datasets. Consequently, a pattern recognition artificial neural network (ANN) model was created. The inputs of the ANN were the histogram data, and the outputs were the types of seeds. The classification results were compared with the expert. It was found that the results obtained from the ANN model were in good agreement with the expert at the accuracy of 99.2% and 97.2%, respectively. Therefore, image analysis and ANN model were considered promising approaches for the automated classification of marigold seeds.

**Keywords:** classification, artificial neural network, image analysis, marigold seed

#### บทคัดย่อ

การคัดแยกเมล็ดพันธุ์ดาวเรืองเป็นกระบวนการที่ต้องใช้ผู้เชี่ยวชาญร่วมกับเครื่องคัดแยกด้วยลมเป่า เนื่องจากเมล็ดอ่อนและเมล็ดแก่มีน้ำหนักใกล้เคียงกัน น้ำหนักเฉลี่ย 0.003 กรัมต่อมเมล็ด โดยทั่วไปแล้วหลังจากคัดด้วยเครื่องคัดแยกลมเป่า ผู้เชี่ยวชาญจะแยกเมล็ดอ่อนออกจากเมล็ดแก่โดยพิจารณาจากสีเปลือก ซึ่งเมล็ดแก่มีสีเข้ม (ดำ) กว่าเมล็ดอ่อน (น้ำตาล) ซึ่งเป็นกระบวนการที่ใช้แรงงานและเวลามาก การศึกษานี้จึงพัฒนาวิธีเคราะห์ภาพถ่ายเพื่อคัดแยกเมล็ดพันธุ์ดาวเรืองโดยอ่อน และแก่ด้วยโปรแกรมคอมพิวเตอร์ภาษา MATLAB ซึ่งตรวจวัดอิส托แกรมของเมล็ดอ่อน (1,428 ตัวอย่าง) และ เมล็ดแก่ (1,460 ตัวอย่าง) บนปริภูมิของสีแบบ HSV ค่าอิส托แกรมจะถูกจับคู่กับประเททของเมล็ดพันธุ์ รวมทั้งหมด 2,888 คู่ จากนั้นฝึกโครงข่ายไข่ประสาทเทียมแบบจุดจำรูปแบบเพื่อจำแนกประเททของเมล็ดพันธุ์ พบว่า วินัยสามารถคัดแยกเมล็ดพันธุ์แก่และเมล็ดพันธุ์อ่อนได้สอดคล้องกับผู้เชี่ยวชาญที่ระดับความถูกต้องเท่ากับ 99.2 และ 97.2 เปอร์เซ็นต์ ตามลำดับ ดังนั้นการวิเคราะห์ภาพถ่ายและโครงข่ายไข่ประสาทเทียมจึงเป็นวิธีที่สามารถพัฒนาเพื่อการคัดแยกเมล็ดพันธุ์ดาวเรืองโดยอัตโนมัติได้

**คำสำคัญ:** การคัดแยก การวิเคราะห์ภาพถ่าย โครงข่ายไข่ประสาทเทียม เมล็ดพันธุ์ดาวเรือง

#### คำนำ

ดาวเรืององเมริกัน (*Tagetes erecta*) เป็นไม้ดอกที่สร้างรายได้ให้เกษตรกรไทยทั่วทุกภาค ในปี พ.ศ. 2563 มีเนื้อที่เพาะปลูกทั่วประเทศ 2,931.75 ไร่ (ศูนย์วิทยบริการเพื่อส่งเสริมการเกษตร, 2564) ให้ผลผลิตเป็นต่อคาดว่าเรื่อง 2,413,929.50 กิโลกรัม (กรมส่งเสริมการเกษตร, 2564) นำไปใช้ทำพวงมาลัยเพื่อให้สีสันสดใสและใช้ประกอบพิธีในงานประเพณีทางศาสนา วันสำคัญ และงานมงคลต่าง ๆ ทั่วในประเทศไทยและต่างประเทศ เช่น อินโดนีเซีย มาเลเซีย สิงคโปร์ อินเดีย ลาพม่า เวียดนาม เป็นต้น นอกจากนั้นดาวเรืองยังสามารถนำไปใช้เป็นไม้ประดับได้ด้วย ความต้องการใช้งานดาวเรืองทั้งสองลักษณะส่งผลต่อปริมาณการใช้เมล็ดพันธุ์ดาวเรืองที่สูงถึง 320 กิโลกรัมต่อปี (คลมณส, 2559) เมล็ดพันธุ์ดาวเรืองที่ผู้เพาะปลูกต้องการนั้นจะต้องตรงตามพันธุ์ มีความบุกเบิกทางกายภาพ สมบูรณ์และสุกแก่เต็มที่ มีอัตราการงอกและความแข็งแรงสูง

<sup>1</sup> หน่วยวิจัยระบบควบคุมอัตโนมัติเพื่อการเกษตรและอาหาร คณะวิศวกรรมและอุตสาหกรรมเกษตร มหาวิทยาลัยแม่โจ้ เชียงใหม่ 50290

<sup>1</sup> Automatic Control System for Food and Agriculture Research Unit, Faculty of Engineering and Agro-Industry, Maejo University, Chiang Mai, 50290

<sup>2</sup> คณะผลิตกรรมการเกษตร มหาวิทยาลัยแม่โจ้ เชียงใหม่ 50290

<sup>2</sup> Faculty of Agricultural production, Maejo University, Chiang Mai, 50290

ผู้ผลิตเมล็ดพันธุ์จึงต้องจัดการปัจจัยที่เกี่ยวข้องกับการผลิตเมล็ดพันธุ์ดาวเรืองตั้งแต่แปลงเพาะปลูกต้นแม่พันธุ์ การเก็บเกี่ยวกับการจัดการหลังการเก็บเกี่ยว รวมถึงการเก็บรักษาระหว่างรอการจำหน่าย ซึ่งต้องใช้องค์ความรู้และเทคโนโลยีเพื่อควบคุมคุณภาพของเมล็ดพันธุ์ให้ตรงตามความต้องการของเกษตรกร ทั้งนี้ในการผลิตเมล็ดพันธุ์ดาวเรืองยังมีความต้องการเครื่องมือที่มีความแม่นยำเพื่อคัดแยกเมล็ดพันธุ์แก่เต็มที่และมีความสมบูรณ์ออกจากสิ่งเจือปน เมล็ดอ่อนและเมล็ดแตกหัก

การคัดแยกเมล็ดพันธุ์แก่ออกจากเมล็ดพันธุ์อ่อนสามารถทำได้เพราเมล็ดพันธุ์แก่ลักษณะทางกายภาพที่แตกต่างจากเมล็ดพันธุ์อ่อน คือ เมล็ดพันธุ์แก่เต็มที่และสมบูรณ์นั้นมีเปลือกหุ้มเมล็ดสีดำ รูปร่างแบบหนา ส่วนเมล็ดพันธุ์อ่อนและไม่สมบูรณ์มีเปลือกหุ้มเมล็ดสีน้ำตาลและรูปร่างแบบลีบ ดังนั้นการคัดแยกเมล็ดพันธุ์อ่อนออกจะใช้ลิมเป่าออกเพราเมล็ดพันธุ์อ่อนนี้บางส่วนมีน้ำหนักเบากว่าเมล็ดพันธุ์แก่เต็มที่และสมบูรณ์ แต่การใช้ลมเป่าไม่สามารถคัดแยกเมล็ดที่มีน้ำหนักใกล้เคียงกันแต่เป็นเมล็ดอ่อนที่มีเสียงเปลือกหุ้มสีน้ำตาลอกร้าวได้ ซึ่งลักษณะนี้จะมีความสัมพันธ์กับความแข็งแรงของเมล็ดที่ต่ำ หรือ เมล็ดจะเก็บรักษาได้ไม่นานเท่ากับเมล็ดที่สุกแก่เต็มที่ ดังนั้นเพื่อให้ได้เมล็ดพันธุ์ที่มีคุณภาพดีสำหรับจำหน่าย ผู้ผลิตเมล็ดพันธุ์จึงต้องใช้แรงงานคนเพื่อคัดแยกเมล็ดพันธุ์ที่มีเสียงเปลือกหุ้มสีอ่อนออก ซึ่งความสามารถในการคัดแยกเฉลี่ยต่อคนประมาณ 200 กรัมต่อวัน อนึ่งน้ำหนักเมล็ดแตกต่างกันตามขนาดและพันธุ์ โดยมีค่าเฉลี่ยระหว่าง 0.0017 ถึง 0.0031 กรัมต่อมেล็ด (กรรณิการ์, 2541) โดยเฉลี่ยประมาณการคัดแยกเมล็ดพันธุ์อยู่ระหว่าง 64,000 ถึง 120,000 เมล็ดต่อวันต่อคน ความเร็วและความถูกต้องในการคัดแยกขึ้นอยู่กับความเชี่ยวชาญของแต่ละคน ความเนี่ยอย่างไรห่วงการทำงานส่งผลต่อความเร็วและความถูกต้องในการคัดแยก ผู้ผลิตเมล็ดพันธุ์ดาวเรืองจึงต้องการเครื่องมือสำหรับคัดแยกเมล็ดพันธุ์ดาวเรืองที่มีความรวดเร็วและมีประสิทธิภาพเพื่อให้ตรงต่อความต้องการของเกษตรกร

ในปัจจุบันมีการประยุกต์ใช้ระบบคอมพิวเตอร์วิชันในการคัดแยกผลทางการเกษตรที่มีลักษณะเป็นเมล็ด เช่น ข้าว ถั่ว งา ข้าวโพด ฯลฯ ซึ่งเครื่องคัดแยกระบบคอมพิวเตอร์วิชันจะตรวจวัดสีของเมล็ดแล้วเบรี่บเทียบกับเกณฑ์ที่กำหนดไว้ เมล็ดที่มีสีในช่วงที่กำหนดจะถูกเลือกที่ลงไปในช่องรองรับ ส่วนเมล็ดหรือสิ่งเจือปนซึ่งมีสีแตกต่างจากที่กำหนดไว้จะถูกกลมจากหัวฉีดเป่าออก ทั้งนี้ยังไม่มีการศึกษาสมรรถนะของระบบคอมพิวเตอร์วิชันในการคัดแยกเมล็ดพันธุ์ดาวเรือง ในงานวิจัยนี้จึงทดสอบและประเมินความถูกต้องของการคัดแยกเมล็ดพันธุ์ดาวเรืองด้วยการวิเคราะห์ภาพถ่ายและโครงข่ายไปรษณีย์มูลค่าที่ได้สามารถใช้เป็นแนวทางพิจารณา narrowing ระบบคอมพิวเตอร์วิชันมาใช้ในอุตสาหกรรมผลิตเมล็ดพันธุ์ดาวเรืองต่อไป

### อุปกรณ์และวิธีการ

เมล็ดพันธุ์ดาวเรืองจำนวน 2,888 ตัวอย่าง ถูกคัดแยกเป็นสองกลุ่มโดยใช้ผู้เชี่ยวชาญ กลุ่มแรกเป็นเมล็ดแก่จำนวน 1,460 ตัวอย่าง กลุ่มที่สองเป็นเมล็ดอ่อนและสีน้ำเงินแบบปกปломจำนวน 1,428 ตัวอย่าง จากนั้นนำไปถ่ายภาพด้วยกล้องดิจิทัล (BASLER acA2500-14uc, Germany) ความละเอียด 2590×1942 พิกเซล ภาพดิจิทัลที่ได้ถูกประมวลผลด้วยภาษา MATLAB โดยโปรแกรมจะตรวจจับตำแหน่งของตัวอย่างแล้วตรวจวัดสีแบบปริภูมิแบบ HSV ค่าของแต่ละองค์ประกอบที่วัดได้มีค่าตั้งแต่ 0 ถึง 1 โปรแกรมจะสร้างข้อมูลแบบองค์ประกอบขนาด 100 ช่อง ขนาดช่องละ 0.01 ลักษณะของข้อมูลแกะรอยของเมล็ดพันธุ์ดาวเรืองแสดงใน Figure 1 ดังนั้นลักษณะของเมล็ดพันธุ์ต่อเมล็ดถูกแปลงเป็นรูปของตัวเลขจำนวนทั้งสิ้น 300 ตัว ชุดตัวเลขนี้จับคู่กับประเภท (class) ของตัวอย่าง รวมชุดข้อมูลทั้งหมด 2,888 คู่ ชุดข้อมูลแบ่งออกเป็น 3 กลุ่มย่อย คือ ชุดข้อมูลสำหรับฝึก (train) จำนวน 1,444 ตัวอย่าง (50 เปอร์เซ็นต์) ชุดข้อมูลสำหรับทวนสอบ (validate) จำนวน 722 ตัวอย่าง (25 เปอร์เซ็นต์) และชุดข้อมูลสำหรับทดสอบ (test) จำนวน 722 ตัวอย่าง (25 เปอร์เซ็นต์) ซึ่งโครงข่ายไปรษณีย์มีความเรียนรู้ความสัมพันธ์ระหว่างอินพุตและเอาต์พุตโดยใช้ชุดข้อมูลสำหรับฝึก ทั้งนี้เพื่อป้องกันไม่ให้โครงข่ายไปรษณีย์มีความจำเพาะกับชุดข้อมูลสำหรับฝึก (overfitting) โปรแกรมจะประเมินสมรรถนะของโครงข่ายไปรษณีย์จากค่า cross entropy ของชุดข้อมูลทวนสอบ หากค่า cross entropy เพิ่มขึ้นต่อเนื่องกัน 6 ครั้งกระบวนการเรียนรู้ของโครงข่ายไปรษณีย์จะหยุด และโปรแกรมจะเลือกใช้ค่า weight และ bias ที่ให้ค่า cross entropy ต่ำสุด

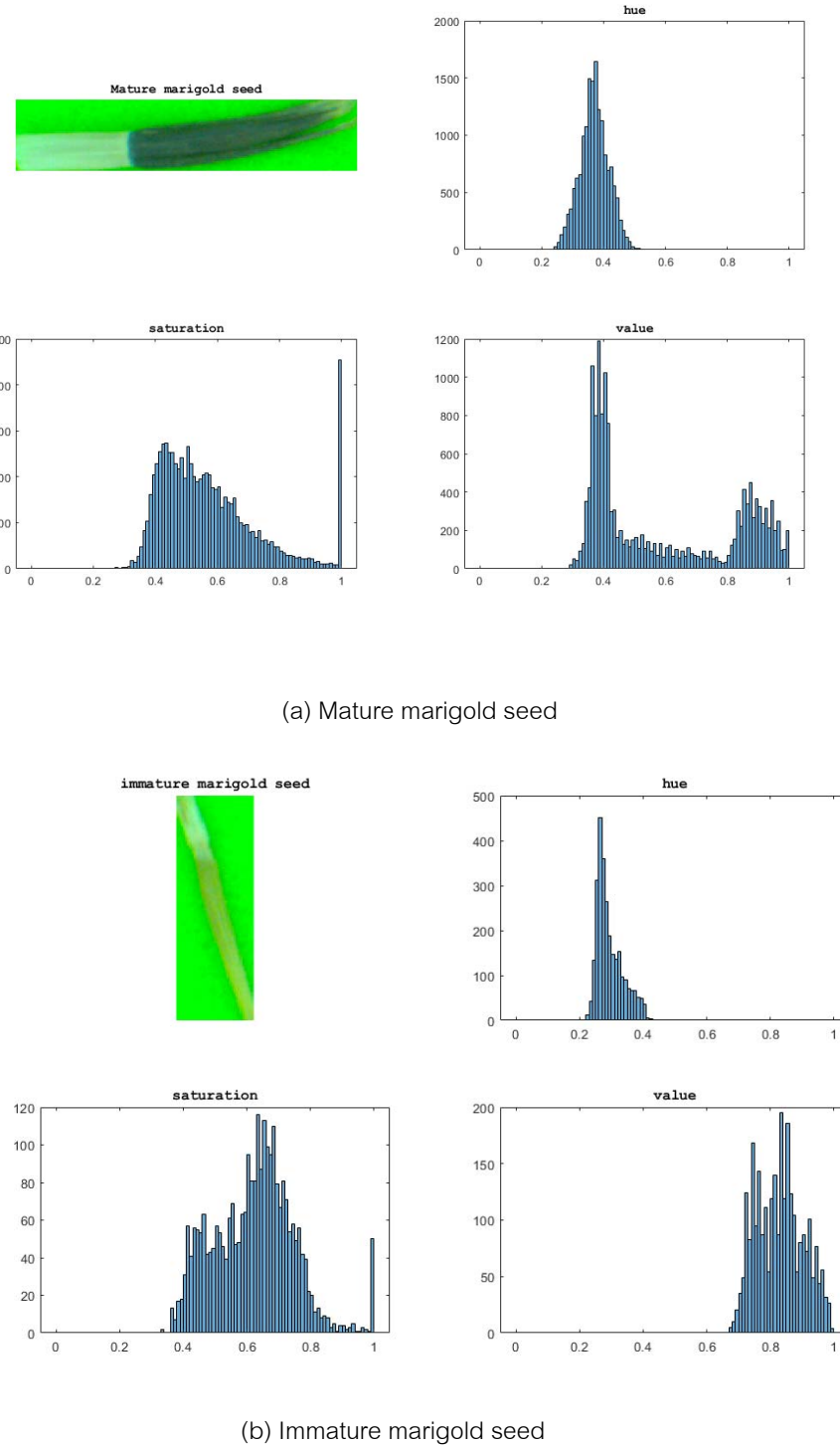


Figure 1 Characteristics and histogram of marigold seed

โครงข่ายไบโพรัสอาทเทียมที่ใช้จำแนกประเภทของเมล็ดพันธุ์ดาวเรืองเป็นแบบจดจำรูปแบบ (pattern recognition network) ที่มีชั้นซ่อน (hidden layer) จำนวน 1 ชั้น ภายในชั้นซ่อนมีปมประสาทเทียมตั้งแต่ 2 ถึง 100 ปม อินพุตของโครงข่ายไบโพรัสอาทเทียม คือ ยิสโทแกรมของสีที่ตรวจได้ ส่วนเอาต์พุตคือประเภทของเมล็ดพันธุ์ดาวเรือง โครงข่ายไบโพรัสอาทเทียมถูกฝึกด้วยวิธี Scaled Conjugate Gradient เมื่อกระบวนการฝึกสิ้นสุดลงโปรแกรมคอมพิวเตอร์จะทดสอบความสามารถของโครงข่ายไบโพรัสอาทเทียมในการจำแนกประเภทของเมล็ดพันธุ์ดาวเรืองโดยใช้ข้อมูลในชุดทดสอบ โครงข่ายไบโพรัสอาทเทียมที่จำแนกประเภทของเมล็ดพันธุ์ดาวเรืองได้สอดคล้องกับผู้ใช้ช่วยถือว่าเป็นโครงข่ายไบโพรัสอาทเทียมที่เหมาะสมที่สุด ค่าความถูกต้อง (A) ในการจำแนกคำนวณได้ดังสมการต่อไปนี้

$$A = \frac{N_{ANN}}{N_{exp}} \times 100$$

(1)

เมื่อ  $N_{ANN}$  คือ จำนวนของเมล็ดพันธุ์ที่คัดได้โดยโครงข่ายไปร่วมกันเทียม และ  $N_{exp}$  คือจำนวนเมล็ดพันธุ์ที่คัดโดยผู้เชี่ยวชาญ

## ผล

การคัดแยกประเภทของเมล็ดพันธุ์ดาวเรืองด้วยโครงข่ายไปร่วมโดยพิจารณาค่าสีบนบวกรูปแบบ HSV ให้ผลที่แตกต่างกัน จำนวนปมไปร่วมในชั้นช่องมีผลต่อความถูกต้องในการคัดแยก โครงข่ายไปร่วมที่มีจำนวนปมไปร่วมในชั้นช่อง 84 ปม คัดแยกเมล็ดพันธุ์ดาวเรืองทั้งหมด 722 ตัวอย่าง ประกอบไปด้วยเมล็ดพันธุ์แก่ จำนวน 365 ตัวอย่าง เมล็ดพันธุ์อ่อน จำนวน 357 ตัวอย่าง โดยโครงข่ายไปร่วมคัดแยกเมล็ดพันธุ์แก่ได้ตรงกับผู้เชี่ยวชาญ 362 ตัวอย่าง (99.2 เปอร์เซ็นต์) คัดแยกเมล็ดพันธุ์อ่อนได้ตรงกับผู้เชี่ยวชาญ 347 ตัวอย่าง (97.2 เปอร์เซ็นต์)

## วิเคราะห์ผล

จากการทดลองจะเห็นได้ว่าเมล็ดพันธุ์ดาวเรืองที่โครงข่ายไปร่วมคัดแยกได้ไม่ตรงกับผู้เชี่ยวชาญจำนวน 13 เมล็ด สำหรับเมล็ดพันธุ์ดาวเรืองที่ผู้เชี่ยวชาญคัดแยกเป็นเมล็ดพันธุ์แก่แต่โครงข่ายไปร่วมคัดแยกเป็นเมล็ดพันธุ์อ่อนจำนวน 3 เมล็ด (0.8 เปอร์เซ็นต์) มีลักษณะปรากฏเป็นสีน้ำตาลเข้มและอ่อนคลานกันโดยมีส่วนที่เป็นสีอ่อนมากกว่าคล้ายกับลักษณะปรากฏของเมล็ดพันธุ์อ่อน ส่วนเมล็ดพันธุ์ดาวเรืองที่ผู้เชี่ยวชาญคัดแยกเป็นเมล็ดพันธุ์อ่อนแต่โครงข่ายไปร่วมคัดแยกเป็นเมล็ดพันธุ์แก่จำนวน 10 เมล็ด (2.8 เปอร์เซ็นต์) มีลักษณะปรากฏเป็นสีน้ำตาลเข้ม ซึ่งอาจเป็นไปได้ว่าเมล็ดพันธุ์นี้มีลักษณะแบบลับ ผู้เชี่ยวชาญจึงคัดออกแต่การคัดแยกด้วยวิธีเคราะห์ภาพถ่ายแบบ 2 มิติ และโครงข่ายไปร่วมไม่สามารถตรวจจับความหนาของเมล็ดได้ เมื่อนำวิธีการนี้ไปใช้สำหรับคัดแยกเมล็ดพันธุ์จึงควรพิจารณาข้อจำกัดของเทคโนโลยีนี้

## สรุป

โครงข่ายไปร่วมแบบจุดจำ Ruiz แบบสามารถจำแนกเมล็ดพันธุ์ดาวเรืองแก่ออกจากเมล็ดพันธุ์อ่อนได้อย่างถูกต้องโดยพิจารณาข้อมูลแกรมของสีบนบวกรูปแบบ HSV การวิเคราะห์ภาพถ่ายและโครงข่ายไปร่วมที่เป็นวิธีที่สามารถพัฒนาเพื่อการคัดแยกเมล็ดพันธุ์ดาวเรืองโดยอัตโนมัติได้

## คำขอบคุณ

ผู้วิจัยขอขอบคุณบวชชันภิรัชต์ เอกะ อะโกร จำกัด ที่ให้ความอนุเคราะห์ตัวอย่างเมล็ดพันธุ์ดาวเรืองในการศึกษาวิจัยครั้งนี้

## เอกสารอ้างอิง

- กรมส่งเสริมการเกษตร. 2564. รายงานสถิติทางการเกษตร. ระบบสารสนเทศการผลิตทางด้านการเกษตร กรมส่งเสริมการเกษตร กระทรวงเกษตรและสหกรณ์. [ระบบออนไลน์]. แหล่งที่มา: <https://production.doae.go.th> (14 เมษายน 2564)
- กระทรวงการทุนฯ. 2541. การปลูกทดสอบดาวเรืองอเมริกัน (*Tagetes erecta*) 14 พันธุ์. ภาควิชาพืชสวน, มหาวิทยาลัยเกษตรศาสตร์. กรุงเทพฯ. 21 หน้า.
- คณะกรรมการส่งเสริมการเกษตรฯ. 2559. รายด้วย “ดาวเรือง” ปลูก 20 ไร่กำไร 4 ล้าน. [ระบบออนไลน์]. แหล่งที่มา: <https://www.komchadluek.net/news/agricultural/234323>. (14 เมษายน 2564)
- ศูนย์วิทยบริการเพื่อส่งเสริมการเกษตร. 2564. ดาวเรืองตัดดอก. สำนักงานเลขานุการกรม กรมส่งเสริมการเกษตร. [ระบบออนไลน์]. แหล่งที่มา: <https://esc.doae.go.th/wp-content/uploads/2018/11/calendula.pdf> (14 เมษายน 2564)